

**10192**

T. C.  
ULUDAG ÜNİVERSİTESİ  
FEN BİLİMLERİ ENSTİTÜSÜ  
MAKİNA MÜHENDİSLİĞİ ANABİLİM DALI

ABSORBSİYONLU SOĞUTMA SİSTEMLERİNDEN  
AMONYAK - SU ÇİFTİ İLE  
LİTYUM BROMÜR - SU ÇİFTİNİN  
MUKAYESESİ

W. G.  
Vakıfögretim Kurulu  
Doküman No: 10192

YÜKSEK LİSANS TEZİ

10192

İLHAMİ HORUZ

BURSA , AGUSTOS 1990

T. C.  
ULUDAG ÜNİVERSİTESİ  
FEN BİLİMLERİ ENSTİTÜSÜ  
MAKİNA MÜHENDİSLİĞİ ANABİLİM DALI

ABSORBSİYONLU SOĞUTMA SİSTEMLERİNDEN  
AMONYAK - SU ÇİFTİ İLE  
LİTYUM BROMÜR - SU ÇİFTİNİN  
MUKAYESESİ

YÜKSEK LİSANS TEZİ

V. E.  
Yükseköğretim Kurulu  
Dokümantasyon Merkez

İLHAMİ HORUZ

Sınav Günü : 31. 08. 1990  
Jury Üyeleri : Yrd. Doç. Dr. Recep YAMANKARADENİZ  
Prof. Dr. Mehmet KIRBIYIK  
Doç. Dr. Muhiddin CAN

BURSA , AGUSTOS 1990

**ABSTRACT**

Buhar Sıkıştırmalı Mekanik Soğutma Sistemindeki mekanik işlemin yerini, absorbsiyonlu soğutma sisteminde fiziko-kimyasal işlemler almıştır. Soğutma elde etmek için, buhar sıkıştırmalı mekanik soğutma sistemindeki mekanik ve elektrik enerjisi yerine absorbsiyonlu soğutma sistemlerinde ısı enerjisi kullanılmaktadır.

Absorbsiyonlu soğutma sistemlerinde amonyak-su çifti ve lityum bromür-su çifti yaygın olarak kullanılmaktadır. Arastırmalar lityum bromür-su çiftinin, amonyak-su çiftine nazaran daha iyi sonuçlar verdigini göstermiştir. Lityum bromür-su çiftinin bütün avantajlarına rağmen, dezavantajları kristalizasyon tehlikesi ve soğutucu akışkanın su olmasından dolayı çok düşük sıcaklıklara inilememesidir.

**ABSTRACT**

Mechanical process in Vapour Compression System is replaced by the physico-chemical processes in Absorption Refrigeration System. In order to obtain refrigeration, the heat energy is used in Absorption Refrigeration System instead of using the mechanical and electrical energy in Vapour Compression System.

Ammonia-water and lithium bromide-water solutions in Absorption Refrigeration System are widely used. Research studies have shown that the lithium bromide-water solution has provided the better results than the ammonia-water solution. In spite of all the advantages of the lithium bromide-water solution, disadvantages are the danger of crystallization and impossibility of working in very low temperatures because of the use of water as refrigerant.

## ÖNSÖZ

Absorbsiyonlu soğutma sistemleri, 1950' li yıllarda bulunmuş olmasına rağmen, daha sonraları kompresörlerin geliştirilmesi ile unutulmuş olup, günümüzde tekrar önem kazanmışlardır.

Soğutma elde etmek için, buhar sıkıştırılmış mekanik soğutma sistemindeki mekanik ve elektrik enerjisi yerine, absorbsiyonlu soğutma sistemlerinde ısı enerjisi kullanılmaktadır. Bunun sağlamış olduğu avantajlarla çeşitli endüstriyel tesislerdeki atık ısı enerjisinin değerlendirilmesi ve tükenmez bir enerji kaynağı olan güneş enerjisinin kullanılması yoluyla enerjinin pahalı olduğu günümüzde absorbsiyonlu soğutma sistemleri daha ekonomik olur.

Tez çalışmam esnasında, benden yardımlarını esirgemeyen danışmanım Yrd. Doç. Dr. Recep YAMANKARADENİZ' e ve Doç. Dr. Muhiddin CAN' a, Dr. Abdulvahap YİĞİT' e, ayrıca katkılarından dolayı bütün öğretim elemanlarına ve mesai arkadaşlarımı teşekkürü bir borç bilirim.

İLHAMİ HORUZ  
Ağustos - 1990

**iÇİNDEKİLER****Sayfa No:**

|  |            |
|--|------------|
| <b>ABSTRACT</b> .....  | <b>i</b>   |
| <b>ABSTRACT</b> .....  | <b>ii</b>  |
| <b>ÖNSÖZ</b> .....   | <b>iii</b> |
| <b>TERİMLER VE SEMBOLLER</b> .....   | <b>vi</b>  |
| <b>İNDİSLER</b> .....  | <b>vii</b> |
| <br>   |            |
| <b>1. GİRİŞ</b> .....  | <b>1</b>   |
| 1. 1. Giriş .....  | 1          |
| 1. 2. Soğutma Sistemleri .....   | 1          |
| 1. 3. Buhar Sıkıştırmalı Mekanik Soğutma Sisteminin Tanıtılması .....            | 2          |
| 1. 4. Absorbsiyonlu Soğutma Sisteminin Tanıtılması .....                         | 3          |
| 1. 5. Konu ile ilgili Önceki Çalışmalar .....                                    | 7          |
| 1. 6. Çalışmanın Amacı .....   | 11         |
| <b>2. TERMODİNAMİK ANALİZ</b> .....  | <b>13</b>  |
| 2. 1. Termodinamik Çevrim Analizi .....  | 13         |
| 2. 1. 1. Tersinir Absorbsiyonlu Soğutma Çevriminin Soğutma Tesir Katsayısı ..... | 14         |
| 2. 1. 2. Teorik Absorbsiyonlu Soğutma Çevriminin Soğutma Tesir Katsayısı .....   | 16         |
| <b>3. AKIŞKAN ÇİFTLERİNİN ÖZELLİKLERİ</b> .....                                  | <b>26</b>  |
| 3. 1. Soğutucu ve Soğurucu Akışkan Özellikleri .....                             | 26         |
| 3. 2. Akışkan Çiftlerinin Tanıtılması .....                                      | 27         |
| 3. 2. 1. Amonyak-su Eriyığının Tanıtılması .....                                 | 27         |
| 3. 2. 2. Lityumbromür-su Eriyığının Tanıtılması .....                            | 29         |
| 3. 2. 2. 1. Kristalizasyon .....   | 30         |
| 3. 2. 2. 2. Kristalleşmenin Önlenmesi .....                                      | 31         |
| 3. 3. Akışkan Çiftlerinin Hal Denklemleri .....                                  | 32         |
| 3. 3. 1. Lityumbromür-su Çiftinin Hal Denklemleri ..                             | 32         |
| 3. 3. 1. 1. Suyun Hal Denklemleri .....  | 32         |
| 3. 3. 1. 2. Lityumbromür-su Eriyığının Hal Denklemleri                           | 33         |

Sayfa No:

|  |            |
|--|------------|
| 3. 3. 2. Amonyak-su Çiftinin Hal Denklemleri .....             | 35         |
| 3. 3. 2. 1. Amonyağın Hal Denklemleri .....                    | 35         |
| 3. 3. 2. 2. Amonyak-su Eriyığının Hal Denklemleri ..           | 37         |
| <b>4. ABSORBSİYONLU SOĞUTMA SİSTEMLERİNİN HESAP TEKNİKLERİ</b> | <b>40</b>  |
| 4. 1. Bilinen Klasik Yolla ( Diyagramlar yardımıyla )          |            |
| Hesap Yöntemi .....  | 40         |
| 4. 1. 1. Lityumbromür-su Eriyigi Kullanan                      |            |
| Absorbsiyonlu Soğutma Sisteminin                               |            |
| Diyagramlar Yardımıyla Hesabı .....                            | 40         |
| 4. 1. 2. Amonyak-su Eriyigi Kullanan                           |            |
| Absorbsiyonlu Soğutma Sisteminin                               |            |
| Diyagramlar Yardımıyla Hesabı .....                            | 45         |
| 4. 2. Bilgisayar Yardımıyla Hesap Yöntemi .....                | 50         |
| 4. 2. 1. Lityumbromür-su Eriyigi Kullanan                      |            |
| Absorbsiyonlu Soğutma Sisteminin                               |            |
| Bilgisayar Yardımıyla Hesabı .....                             | 50         |
| 4. 2. 2. Amonyak-su Eriyigi Kullanan                           |            |
| Absorbsiyonlu Soğutma Sisteminin                               |            |
| Bilgisayar Yardımıyla Hesabı .....                             | 55         |
| <b>5. SONUÇ VE İRDELEME</b> .....                              | <b>61</b>  |
| <b>TARTIŞMA VE SONUÇ</b> .....                                 | <b>98</b>  |
| <b>ÖZET</b> .....  | <b>106</b> |
| <b>KAYNAKLAR</b> .....   | <b>107</b> |
| <b>EKLER</b> .....   | <b>112</b> |
| Ek1 : Sekiller   |            |
| Ek2 : Tablolar ve Diyagramlar                                  |            |
| Ek3 : Bilgisayar Programı                                      |            |

## TERİMLER VE SEMBOLLER

- q** : Birim kütle başına ısı kapasitesi ( kJ/kg ) ( kcal/kg )  
**Q** : Isı kapasitesi ( kW ) ( kcal/h )  
**U** : iç Enerji ( kW ) ( kcal/h )  
**W** : Birim zamanda yapılan iş ( kW ) ( kcal/h )  
**s** : Entropi ( kJ/kg K )  
**m** : Kütlesel debi ( kg/s )  
**T** : Sıcaklık ( °C ) ( K )  
**K<sub>y</sub>** : Kayıp iş ( kW ) ( kcal/h )  
**T<sub>o</sub>** : Çevre sıcaklığı ( °C )  
**STK** : Soğutma Tesir Katsayısı  
**(STK)<sub>ter</sub>**: ideal soğutma tesir katsayısı  
**x** : Kuruluk derecesi  
**h** : Antalpi ( kJ/kg )  
**P** : Basınç ( kPa )  
**TCR** : Kristalizasyon sıcaklığı ( K )  
**X** : Konsantrasyon  
**P<sub>d</sub>** : Doyma basıncı ( kPa )  
**T<sub>d</sub>** : Doyma sıcaklığı ( °C )  
**KV** : Kisılma vanası  
**Püst** : Üst basınç ( Yoğusturucu basıncı ) ( kPa )  
**Palt** : Alt basınç ( Buharlaştırıcı basıncı ) ( kPa )  
**h<sub>b</sub>** : Doymuş buhar antalpisi ( kJ/kg )  
**h<sub>s</sub>** : Doymuş sıvı antalpisi (kJ/kg )  
**ε** : Soğutma devresi eşanjörü etkenliği  
**T<sub>y</sub>** : Yoğusturucu sıcaklığı ( °C )  
**T<sub>b</sub>** : Buharlaştırıcı sıcaklığı ( °C )  
**T<sub>k</sub>** : Kaynatıcı sıcaklığı ( °C )  
**T<sub>a</sub>** : Absorber sıcaklığı ( °C )

## İNDİSLER

**ABS** : Absorber

**BUH** : Buharlaştırıcı ( Evaporatör )

**YOC** : Yogʊsturucu ( Kondenser )

**KAY** : Kaynatıcı

## I. BÖLÜM

### GİRİŞ

#### 1. 1 GİRİŞ

Absorbsiyonlu Soğutma Sisteminin, genel soğutma sistemleri sınıflandırılmasındaki yerinin tespiti ve Absorbsiyonlu Soğutma Sisteminin esasını teşkil eden Buhar Sıkıştırmalı Mekanik Soğutma sisteminden kısaca bahsetmek gereklidir.

#### 1. 2 SOĞUTMA SİSTEMLERİ

Soğutmanın amacı kapalı bir mahalde, çevre sıcaklığının altında sıcaklıklar elde etmek ve bu düşük sıcaklığı sürekli olarak muhafaza etmektir. Soğutma yapabilmek için mahalin ısısını çekmek gereklidir ve bunun için de daha soğuk olan bir soğutucu madde kullanılır. Soğutucu madde genellikle bir akışkanıdır ve soğutucu akışkan olarak adlandırılır. Soğutucu akışkan düşük basınc ve sıcaklıkta buharlaştırılır, buharlaşma ısısını akışkan dışındaki çevreden alır ve çevrenin soğumasına sebep olur.

Soğutma sistemleri açık değişim ve kapalı çevrim olarak ikiye ayrılır[56]:

Açık değişim;

- a-) Eriyik teşkili
- b-) Basınçlı gazların genişletilerek sıvılaştırılması
- c-) Suyun hava içinde buharlaşması

Kapalı çevrim;

- a-) Buhar Sıkıştırmalı Mekanik Soğutma Sistemi
- b-) Absorbsiyonlu Soğutma Sistemi
- c-) Adsorbsiyonlu Soğutma Sistemi
- d-) Havalı Soğutma Sistemi
- e-) Buhar-jet Sistemli Soğutma Çevrimi
- f-) Termo Elektrik Sistemli Soğutma Çevrimi

Bu çalışmanın amacını teşkil eden Absorbsiyonlu Soğutma Sistemi'nin incelenmesine geçmeden evvel çalışmamızı basamak teşkil eden Buhar Sıkıştırmalı Mekanik Soğutma Çevrimini kısaca tanıtmak gereklidir.

### 1. 3 BUHAR SIKISTIRMALI MEKANIK SOGUTMA SİSTEMİNİN TANITILMASI

En sık uygulanmakta olan bu tip soğutma sisteminde; sıvı halden buhar hale geçmekte olan soğutucu akışkanı içinde bulunduran Evaporatör(buharlaştırıcı), evaporatörde buharlaşan soğutucu akışkanı alçak basıncı tarafından emerek yüksek basıncı tarafından kondensere boyan bir Kompresör, soğutucu akışkanın daki isiyi alıp onu sıvılaştıran bir Kondenser ( yoğunluk ) ile sıvılaşan soğutucu akışkanının toplanabileceği bir Sıvı Deposu ( receiver ) ve soğutucu akışkanının evaporatöre yani alçak basıncı tarafına ölçülu ve gereken miktarlarda verilmesini saglayabilen bir Kısırlama vanası ( expansion valf ) bulunmaktadır[2].

Soğutucu akışkan olarak eskiden büyük tesislerde amonyak ( $NH_3$ ), küçük tesislerde metilklorür ( $CH_3Cl$ ) ve gemilerde karbondioksit ( $CO_2$ ) kullanılırdı. Günümüzde  $CO_2$  ve  $CH_3Cl$  tamamen terkedilmiştir ve genel olarak flüorlanmış hidrokarbonlar (freon) yaygın şekilde kullanılır.

Buhar sıkıştırmalı mekanik soğutma sisteminde, kompresörde çevrim üst basıncına kadar sıkıştırılan doymus

buhar veya kızgın buhar fazındaki soğutucu akışkan yoğunsturu-cuda sabit basınçta ısı vererek yoğunsur. Yoğunsturucuda dışarı atılan bu ısı hava veya su kullanılarak soğutucu akışından çekilir. Yoğunsturucudan doymuş sıvı veya sıkıştırılmış sıvı fazında çıkan soğutucu akışkan, bir genişleme valfinden gecerek çevrim alt basıncında bulunan buharlastırıcıya girer. Buharlastırıcıya giren soğutucu akışkan burada sıvı fazdan buhar fazına geçmesi için gerekli olan gizli ısıyı soğutulması istenilen ortamdan çeker. Bu işlem esnasında soğutucu akışkan sabit basınçda hal değişimine uğrayarak doymuş buhar veya kızgın buhar fazında buharlastırıcıyı terkeder. Buharlastırıcıdan çıkan soğutucu akışkan tekrar kompresöre girer. Böylece çevrim devam eder. Şekil 1. 1-a ' da buhar sıkıştırmalı mekanik soğutma sistemi şematik olarak gösterilmiştir.

#### 1. 4 ABSORBSİYONLU SOĞUTMA SİSTEMİNİN TANITILMASI

Absorbsiyonlu soğutma sistemi, buhar sıkıştırmalı mekanik soğutma sistemine oldukça benzerdir. Soğutma yükü, soğutucu akışkanın buharlastırıcıda buharlaşmasıyla karsılanır. Buhar sıkıştırmalı mekanik soğutma çevrimindeki mekanik işlemin yerini, absorbsiyonlu soğutma sisteminde fiziko kimyasal işlemler almıştır. Mekanik kompresör yerine absorbsiyonlu soğutma sisteminde termik kompresör kullanılmaktadır (Şekil 1.1). Soğutma elde etmek için, buhar sıkıştırmalı mekanik soğutma sistemindeki mekanik ve elektrik enerjisi yerine absorbsiyonlu soğutma sistemlerinde ısı enerjisini kullanılmaktadır. Bunun sağlamış olduğu avantajlarla çeşitli endüstriyel tesislerdeki atık ısı enerjisinin değerlendirilmesi ve tükenmez bir enerji kaynağı olan güneş enerjisinin kullanılması yoluyla enerjinin pahalı olduğu günümüzde absorbsiyonlu soğutma sistemleri daha ekonomik olur. Absorbsiyonlu soğutma sistemlerinin, dış hava sıcaklığının yüksek olduğu yörenlerde ve büyük tesislerde kullanılması çok uygundur.

Absorbsiyonlu soğutma çevriminde iki farklı akışkan dolaşır. Bunlardan birisi soğutucu akışkandır. Bu akışkan buharlaştırıcıda buharlaşarak soğutma yükünün ortamdan çekilmesini sağlar. Diğer akışkan, yutucu (absorbent veya soğurucu) akışkandır. Bu akışkan çevrimin belirli bir kısmında soğutucu akışkanı taşıır. Şekil 1. 1-b' den görüleceği üzere, soğutma sistemini meydana getiren başlıca elemanlar kaynatıcı, yoğunsturucu, buharlaştırıcı, absorber ve eriyik eşanjörü ( ekonomizer ) olarak tanımlanır. Soğutucu akışkan, soğutma sisteminin her tarafında dolaşır. Yutucu akışkan ise sadece kaynatıcı, absorber ve eriyik eşanjörü arasında dolasır.

Absorbsiyonlu Soğutma sistemlerinde kullanılan birçok soğutucu akışkan çifti vardır. Fakat günümüzde pratikte kullanılan başlıca akışkan çiftleri şunlardır;

- a-) Soğutucu akışkan olarak Amonyak, yutucu akışkan olarak Su-amonyak eriyiği
- b-) Soğutucu akışkan olarak Amonyak, yutucu akışkan olarak Su-amonyak ve hidrojen eriyiği
- c-) Soğutucu akışkan olarak Su, yutucu akışkan olarak LiBr-su eriyiği
- d-) Soğutucu akışkan olarak Dichloromethane, yutucu akışkan olarak Demethoxytetraethylene glycol eriyiği
- e-) Soğutucu akışkan olarak Amonyak, yutucu akışkan olarak Sodyum thiocyanate ( NaSCN ) ve amonyak eriyiği

Açık çevrimli absorbsiyonlu soğutma sistemlerinde kullanılan akışkan çiftleri ise şunlardır;

- a-) Soğutucu akışkan olarak Su, yutucu akışkan olarak Lithium chloride-su eriyiği
- b-) Soğutucu akışkan olarak Su, yutucu akışkan olarak Triethylene glycol-su eriyiği

Son yıllarda absorbsiyonlu soğutma sistemlerinde kullanılan en önemli akışkan çiftleri olarak LiBr-su ve Amonyak-su göze carpmaktadır.

Bu çalışmada LiBr-su ve Amonyak-su çiftleri seçildiği için; burada sözkonusu olan çiftlerin çalışma prensipleri hakkında kısaca bilgi vermek uygun görülmüştür.

Lityum bromür-su eriyiği kullanan absorbsiyonlu soğutma sisteminin çalışma prensibi şöyledir; absorberden çıkış bir pompa vasıtasyyla ısı değiştiricisinden geçerek ısınan LiBr bakımından fakir eriyik kaynاتıcıya gelir. Burada, dışardan verilen ısiyla, soğutucu akışkan buharının tamamı buharlaşarak eriyikten ayrılır. Buharlaşarak kaynaticayı terkeden soğutucu buhari, yoğunlukcuya girer. Kaynaticıda eriyik içinden soğutucu buharının ayrılmasıyla LiBr bakımından zenginleşen eriyik (zengin eriyik), ısı değiştiricisinden geçip, fakir eriyige ısı verdikten sonra absorbere geri döner. Kaynaticıdan buharlaşarak yoğunlukcuya giren soğutucu buharı burada yoğunlaşarak dışarıya ısı atar. Yoğunlaşma basıncı, izafi olarak buharlaşma basıncından büyüktür. Her iki basınç mutlak olarak atmosfer basıncının altındadır. Basınç kayıpları düşünülmemezse, kaynaticı yoğunlukcuya basıncında, absorber ise buharlaştırıcı basıncındadır. Yoğunlukcudan tamamen yoğunlaşmış olarak çıkan soğutucu akışkan, izafi olarak düşük basınçta çalışan buharlaştırıcıya girmeden evvel bir kısırlaşma vanasından geçirilir. Buharlaştırıcıya kısırlaşarak giren soğutucu akışkan, burada buharlaşarak, buharlaşma için gerekli ısiyi soğutulan ortamdan çeker. Buharlaştırıcıdan doymuş buhar veya kızgın buhar fazında çıkan soğutucu akışkan absorbere girer. Absorberde, ısı değiştiricisinden geçip ısı verdikten sonra bir kısırlaşma vanasında absorber basıncına kısılan zengin eriyik, buharlaştırıcıdan gelen soğutucu buharını yutar (absorbe eder). İşlem esnasında ısı açığa çıkar. Yutma işleminin iyi bir şekilde gerçekleşmesi için, açığa çıkan ısının, absorberden atılması gereklidir. Absorber içinde tekrar LiBr bakımından fakir hale gelen eriyik (fakir eriyik), bir pompa vasıtasyyla tekrar kaynaticiya gönderilir. Isı kayıplarını azaltmak için, absorberden kaynaticiya gönderilen fakir eriyik, kaynaticıdan dönen zengin eriyik tarafından bir ısı değiştiricisinde ısıtılır.

Amonyak-su çifti ile çalışan absorbsiyonlu soğutma makinasının çalışma prensibi şöyledir; absorberden çıkış bir pompa vasıtasıyla ısı değiştiricisinden geçerek ısınan amonyak bakımından zengin eriyik kaynاتıcıya gelir. Burada, dışardan verilen ısıyla, soğutucu akışkan buharının tamamı buharlaşarak eriyikten ayrılır. Buharlaşarak kaynaticıyı terkeden amonyak buharı, yoğunlukcuya girer. Kaynaticıda eriyik içinden amonyak buharının ayrılmasıyla amonyak bakımından fakirleşen eriyik (fakir eriyik), ısı değiştiricisinden geçip, zengin eriyige ısı verdikten sonra absorbere geri döner. Kaynaticıdan buharlaşarak yoğunlukcuya giren amonyak buharı burada yoğunlukcaya ısısı atar. Yoğunlukcudan doymuş sıvı veya sıkıştırılmış sıvı fazında çıkan amonyak bir kısılma vanası yardımıyla buharlaştırıcı basıncına genişletilir. Buharlaştırıcıda buharlaşırken buharlaşma için gerekli olan ısını soğutulan ortamdan çeker. Buharlaştırıcıdan doymuş buhar veya kızgın buhar fazında çıkan amonyak buharı absorbere girer. Absorberde, ısı değiştiricisinden geçip ısı verdikten sonra bir kısılma vanasında absorber basıncına sıkılan fakir eriyik, buharlaştırıcıdan gelen amonyak buharını yutar (absorbe eder). İşlem esnasında ısı açığa çıkar. Yutma işleminin iyi bir şekilde gerçekleşmesi için, açığa çıkan ısının absorberden atılması gereklidir. Absorber içinde tekrar amonyak bakımından zengin hale gelen eriyik (zengin eriyik), bir pompa vasıtasıyla tekrar kaynaticiya gönderilir. Isı kayıplarını azaltmak için, absorberden kaynaticiya gönderilen zengin eriyik, kaynaticıdan dönen fakir eriyik tarafından bir ısı değiştiricisinde ısıtılır.

Görüldüğü üzere pomپaya verilen küçük bir enerji haricinde, absorbsiyonlu soğutma sisteminin çalışması için dış bir mekanik enerjiye ihtiyaç yoktur. Kaynaticıda verilen ısı enerjisi ile sistem çalışır. Absorbsiyonlu soğutma sisteminde, soğutucu akışkan iki kere buharlaştırılıp yoğunlukluktadır. Oysa Buhar Sıkıştırmalı Mekanik Soğutma Sisteminde bu işlem bir kere olur. İflave buharlaşma-yoğunlaşma, mekanik enerjinin yerini alan fiziko-kimyasal bir işlemidir. Absorbsiyonlu Soğutma Sistemindeki kaynaticı ve absorber, Buhar Sıkıştırmalı

Mekanik Soğutma Sistemindeki kompresörün yerini almıştır ( Sekil 1. 1 ).

Cesitli firmalar tarafından üretilen farklı tiplerde Absorbsiyonlu Soğutma Makineleri vardır. Ek 1 Sekil 7'de ARKLA firması tarafından üretilen dört ayrı bölmeli soğutma makinasının sematik görünüsü verilmistir. Ek 1 Sekil 8' de TRANE firması tarafından üretilen iki bölmeli soğutma makinası, Ek 1 Sekil 9' da CARRIER firması tarafından üretilen soğutma makinası görülmektedir. iki bölmeli sistemlerde kaynatıcı ve yoğunsturucu ayrı, buharlaştırıcı ve absorber ise ayrı bir bölme içinde bulunmaktadır[63].

#### 1. 5 KONU İLE İLGİLİ ÖNCEKİ ÇALIŞMALAR

İlk defa Michael Faraday tarafından bir asırdan fazla bir zaman önce, Amonyağı ( NH<sub>3</sub> ) yoğunsturma denemeleri sırasında keşfedilen Absorbsiyon prensibi, daha sonra bir soğutma çevrimi olarak uygulanıp bundan yararlanılmaya başlanmıştır. Faraday'ın Ek 1 Sekil 10' da gösterilen deney aygıtı, absorbsiyonlu soğutma sisteminin kavranması bakımından ilginçtir. Deneyin birinci kısmında amonyaga karşı aşırı bir emiciliği olan, amonyakla doyurulmuş gümüş klorür ısıtılırken deney tüpünün karşı ucu soğutma suyuna daldırılmış vaziyette tutulur. Kısa süre sonra, deney tüpünün soğutulan ucunda amonyağın yoğunşarak birikmeye başladığı görülür. Isıtılan uçtan amonyak tamamiyle soğutulan uca gecip sıvı halde toplandıktan sonra deneyin ikinci kısmına geçilir. Isıtma işlemi durdurulup soğutma suyu alınır. Çok kısa bir süre içerisinde, deney tüpünün soğutulan ucunda yoğunşup toplanmış olan sıvı amonyağın kaynamaya başladığı ve tüpten bu kısmının aşırı derecede soğudugu görülür. Bu olay, sıvı amonyak tamamen buharlaşıp gümüş klorür tarafına taşınincaya kadar sürer. Deney tekrarlandığında aynı olayların tekrar olduğu görülür. Burada, gümüş klorür yutucu akışkan, amonyak da soğutucu akışkan rolünü oynamaktadır. Faraday deney aygılığında soğutma işlemi sürekli degildir, pratik uygulama için sonradan bunun giderilmesi gerekmistir[2].

Amonyak-su çifti ile çalışan ilk absorbsyonlu soğutma makinası Ferdinand Carre tarafından 1859 yılında yapılmıştır.

Absorbsyonlu soğutma sistemlerinde kullanılan ikili karışımalar üzerinde tam bir araştırma 1913 yılında Edmund Altenkirch tarafından yapılmıştır. 1979 yılında LOWELL A. McNEELY, LiBr-su akışkan çiftinin fiziksel ve termodinamik özelliklerini tablo ve diyagramlar halinde yayımlamıştır[29].

S. SCHULZ, birtakım boyutsuz sayıları baz alarak amonyağın sıvı ve gaz fazları için Gibbs fonksiyonlarını ve denklemlerdeki katsayıları vermiştir[10,44].

1984 yılında H. Perez-Blanco, değişik tiplerdeki eriyikler için absorbsyonlu ısı pompası performansını incelemiştir. Absorbsyonlu ısı pompalarına ilginin artması yeni akışkanların araştırılmasına vesile olmuştur. Bu sebeple H.Perez-Blanco bu çalışmada amonyak içeren hangi tip eriyigin optimum ısıl performans vereceğini araştırmak için, eryikleri basit bir ısı pompası modeline uygulamıştır[6].

P. H. G. VAN KASTEREN amonyak-su karışımlarının 70 K ile 300 K arasındaki kristalizasyon davranışını ve kalorik özelliklerini incelemiştir, amonyak-su karışımlarını araştırmış ve belirtilen sıcaklıklarda konsantrastona bağlı olarak erime noktalarını ve kristalizasyon sıcaklığına bağlı olarak spesifik ısı değişimini grafik halinde göstermiştir[36].

Burgess H. Jennings, amonyak-su karışımının termodinamik özelliklerini incelemiştir, basınç ve konsantrasyona bağlı olarak amonyak-su karışımının sıcaklık, doymus sıvı fazındaki antalpisi ve doymus buhar fazındaki antalpisini tablo halinde (doymus haller tablosu) vermiştir. Bu tablo Ek 2.'de Tablo 5. olarak sunulmuştur[16].

S. C. G. SCHULZ, amonyak-su karışımının ve saf amonyağın sıvı ve gaz fazında Gibbs fonksiyonlarını ve denklemlerdeki katsayıları vermiştir[10,44].

1985 yılında G. Grossman ve E. Michelson, absorbsiyonlu sistemlerin standart bir komüter simülasyonunu yapmış ve absorbsiyonlu sistemler için çeşitli çevrim konfigrasyonlarında çözüm veren standart bir komüter simülasyonu geliştirmiştir. Bu program Lityum bromür-su ve amonyak-su eriyiği kullanan tek kademeli ve çift kademeli absorbsiyonlu sistemlerde test edilmiş ve sonuçlar deneysel verilerle karşılaştırılmıştır[41].

1985 yılında M. McLinden ve R. Radermacher absorbsiyonlu ısı pompalarında amonyak-su ve amonyak-lityum bromür-su karışımı soğutucu akışkan çiftini deneysel olarak karşılaştırmış, amonyak-su ve amonyak-su-lityum bromür eriyiği kullanan absorbsiyonlu ısı pompası performanslarını kıyaslamıştır[58].

M. A. R. EISA, S. DEVOTTA ve F. A. HOLLAND 1985 yılında Lityum bromür-su çifti kullanan absorbsiyonlu bir soğutma makinasında ısı değiştiricisi performansını incelemiştir, Lityum bromür-su çifti kullanan absorbsiyonlu bir soğutma makinasında ısı değiştiricisi etkenliğinin, soğutma kapasitesi ve akış oranının artmasıyla azaldığını göstermiştir. Deneyler akış oranının dokuz değeri ve soğutma kapasitesinin altı derecesi için tatbik edilmiştir. Bu deneylerde kullanılan deneysel absorbsiyonlu soğutma makinasının sistematik diyagramı Ek 1.'deki Şekil 11'de gösterilmiştir[33].

P. Bourseau ve R. Bugarel 1986 yılında absorbsiyonlu soğutma sistemlerinde  $\text{NH}_3\text{-H}_2\text{O}$  ve  $\text{NH}_3\text{-NaSCN}$  soğutucu akışkan çiftlerinin performanslarının kıyasını yapmışlardır ve bu çiftlerin hal denklemlerini sunarak bu denklemlerdeki katsayıları vermişlerdir[7].

1987 yılında Levent Özal, Ö. Ercan Ataer ve Yalçın Göğüş, amonyak soğutuculu, su soğuruculu sistemin simülasyonunu yapmışlardır. Analizi yapılan sistemde performans katsayısı ve dolasım oranının, ayırıcı, soğurucu ve buharlaştırıcı sıcaklıklarıyla değişimlerini incelemiştir. Ayrıca bu çalışmada ısı değiştirgeçerindeki tersinmezlikler ve sistemdeki basınç

kayıpları dikkate alınarak, sistemin performans katsayısını artırmak için zengin karışımın bir miktarı soğurucu çıkışından ayrılarak ayırcıya verilmiştir[11].

1988 yılında M. R. Patterson ve H. Perez-Blanco, Lityum bromür-su eriyiğinin termodinamik ve taşının özeliklerinin komputer yardımıyla sayısal uydurulmasını sunmuşlardır[37].

1988 yılında Ö. Ercan Ataer ve Yalçın Gögüs, amonyak-su soğurmali sistemlerin analizini yapmış ve ıslı süreçlerdeki tersinmezlikleri karşılaştırmışlardır. Bu çalışmada, önce amonyak-su soğurmali soğutma sisteminin termodinamik analizi yapılmıştır. Analizi yapılan soğutma sistemi yoğunsturucu, buharlaştırıcı, soğurucu, pompa, genleşme vanaları, ayırcı ile eriyik ısı değiştigeci, soğutkan ısı değiştirgeci ve üst ayırcıdan oluşmaktadır. Analizde soğutma etkinliği ve dolasım oranının, ayırcı, soğurucu ve buharlaştırıcı sıcaklıklar ile değişimlerini incelemiştir. İşlerlik(energy) analizinde içeren çalışmada benzetişim hesaplarıyla boyutsuz tersinmezliklerin parametrelerle değişimleri elde edilmiştir. Grafikler halinde verilen sonuçlar literatürdeki sonuçlarla karşılaştırılmıştır[62].

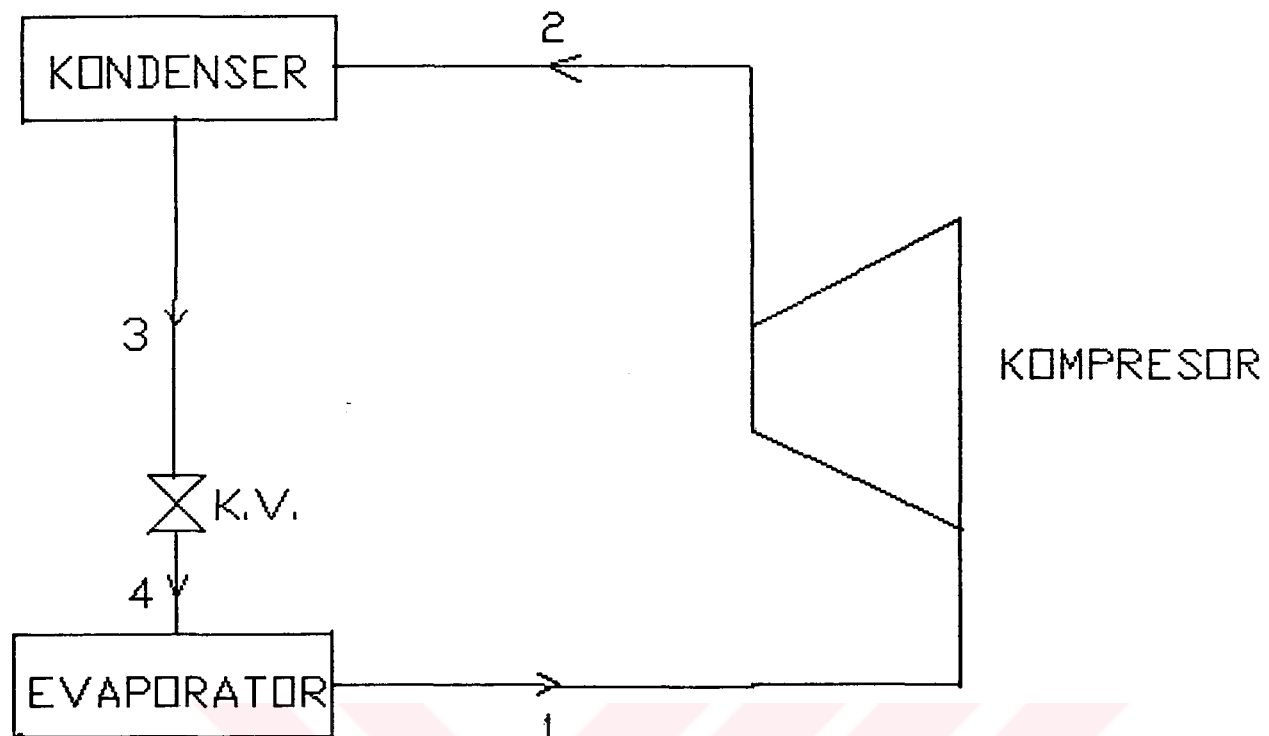
1989 yılında Abdülvahap Yiğit, Absorbsiyonlu Soğutma Sisteminin simülasyonu adlı bir çalışma yapmış, bu çalışmasında absorbsiyonlu soğutma sistemi elemanlarını ayrı ayrı modelleyerek tüm sistemin simülasyonunu yapmıştır. Özellikle absorber üzerinde durduğu bu çalışmasında soğutucu akışkan çifti olarak Lityum bromür-su çiftini almıştır.[63]

## 1. 6 ÇALIŞMANIN AMACI

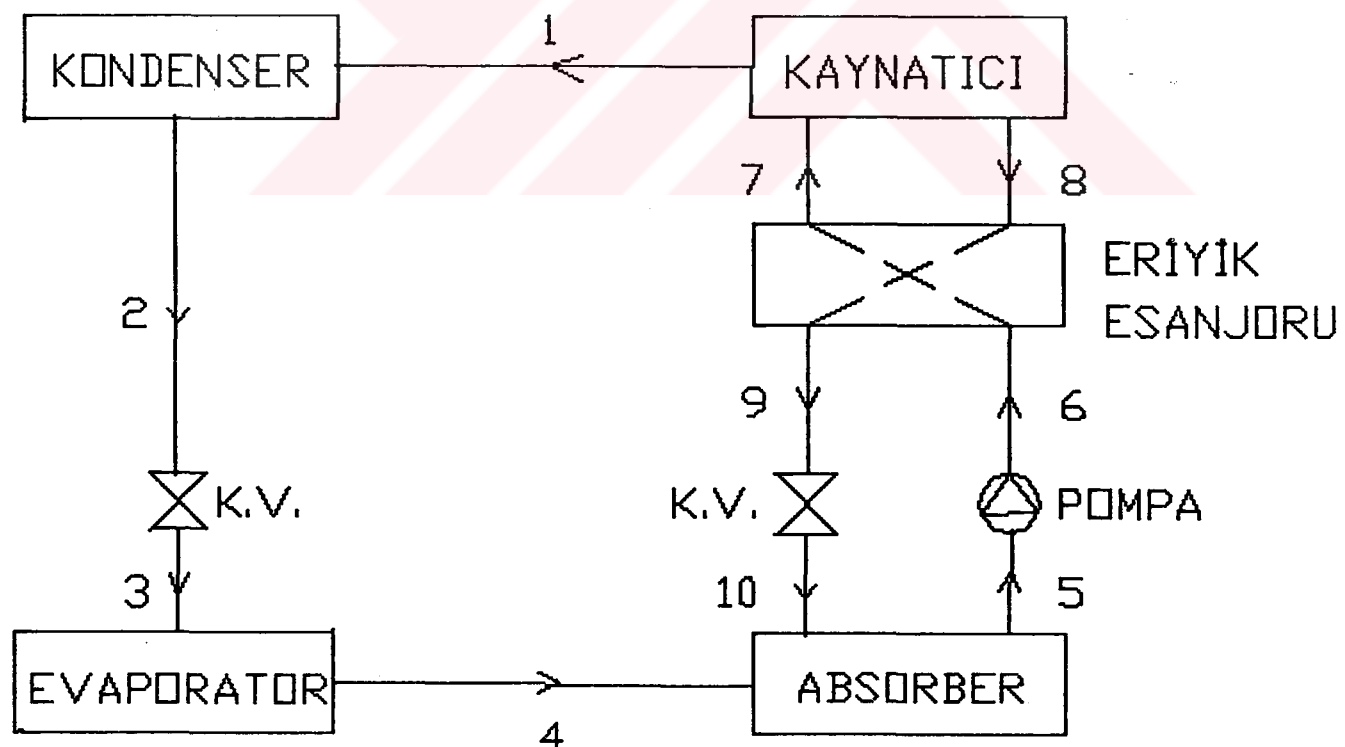
Çalışmanın amacı, absorbsiyonlu soğutma sisteminin, genel soğutma sistemleri sınıflandırılmasındaki yerinin belirlenmesi, ana elemanlarının tanıtılması, çalışma prensiplerinin anlatılması yanında bu sistemlerde kullanılan soğutucu akışkan çiftlerinden amonyak-su çifti ile lityum bromür-su çiftinin kıyaslanmasıdır.

Bölüm 1. 2' deki literatür araştırmasından da görüleceği üzere, Absorbsiyonlu Soğutma Sistemleri Üzerinde yapılan deneysel ve teorik çalışmalar oldukça fazla olmasına rağmen, bu sistemlerde çok yaygın olarak kullanılan soğutucu akışkan çiftlerinden amonyak-su çifti ve lityum bromür-su çifti hakkında detaylı bir araştırmaya ve bu iki soğutucu akışkan çiftinin birbirlerine göre kıyaslanması rastlanılmıştır.

Bu çalışmada, kısaca Absorbsiyonlu Soğutma Sistemleri tanıtılip, bu sistemlerde kullanılan soğutucu akışkanlardan bahsedildikten sonra, amonyak-su çifti ve lityum bromür-su çifti, Üzerinde detaylı olarak durulmuştur. Bu iki soğutucu akışkan çiftinin, gerek diyagramlardan ve gerekse bilgisayar yardımıyla hal denklemlerinden özelliklerinin nasıl bulunacağı ve bu özelliklerin hesaplarda ne şekilde kullanılabileceğinden bahsedilmiştir. Bilgi-islem programıyla her iki akışkan çifti için çizilen diyagramlar yardımıyla, bu iki soğutucu akışkan çifti kıyaslanmıştır.



(a) : Buhar Sıkıştırmalı Mekanik Soğutma Sistemi



(b) : Absorbsiyonlu Soğutma Sistemi

Sekil 1. 1 Buhar Sıkıştırmalı ve Absorbsiyonlu Soğutma  
Sistemlerinin Sematik Gösterimleri

## 2. BÖLÜM

### TERMODİNAMİK ANALİZ

#### 2. 1 TERMODİNAMİK ÇEVİRİM ANALİZİ

Absorbsiyonlu soğutma sistemi, ideal Carnot çevrimi olarak düşünüldüğünde, termodinamik sistemin analiz edilmesi için termodinamığın birinci ve ikinci kanunlarının yazılması gereklidir. Genel halde çevrim için termodinamığın birinci kanunu,

$$\delta Q_i - \delta W = dE \quad (2.1)$$

şeklindedir. Burada,  $dE$ ; sistem sınırları içindeki enerji değişimi,  $\delta Q_i$ ; toplam ısı giriş ve çıkışı ve  $\delta W$ ; toplam is alışverişidir.

Termodinamığın ikinci kanunu ise,

$$dS = \sum \frac{Q_i}{T_i} + \frac{K_y}{T_0} \quad (2.2)$$

dir. Burada,  $dS$ ; sistem sınırları içindeki entropi değişimi,  $T_i$ ; bölge ( eleman ) sıcaklığını,  $T_0$ ; çevre sıcaklığını ve  $K_y$ ; kayıp ısı göstermektedir.

Bir soğutma sisteminde, olay bir çevrim boyunca gerçekleştiğinden,  $dE = dS = 0$  olur. Eriyik pompasının ısı ihmali edilirse ( $W_p = 0$ ), Şekil 1. 1-b' deki sisteme göre I. kanun,

$$Q_{KAY} + Q_{BUH} + Q_{ABS} + Q_{YOG} = 0 \quad (2.3)$$

şeklini alır.

Yine Şekil 2. 1'e göre II. kanun yazılacak olursa;

$$\frac{Q_{KAY}}{T_{KAY}} + \frac{Q_{BUH}}{T_{BUH}} + \frac{Q_{ABS}}{T_{ABS}} + \frac{Q_{YOG}}{T_{YOG}} + \frac{K_y}{T_0} = 0 \quad (2.4)$$

olur.

Bu soğutma sisteminin termodinamik olarak mümkün olabilmesi için soğutma sistemi, (2.3) ve (2.4) eşitliklerini sağlamalı ve (2.4) eşitliğinden kayıp iş ( $K_y$ ) pozitif değer olmalıdır.

### 2. 1. 1 TERSİNİR ABSORBSİYONLU SOĞUTMA ÇEVİRİMİNİN SOĞUTMA TESİR KATSAYISI

ideal absorbsiyonlu soğutma çevriminin soğutma tesir katsayısı,

$$STK = \frac{\frac{Q_{BUH}}{Q_{KAY}}}{\frac{Q_{KAY}}{Q_{KAY}}} \quad (2.5)$$

bağıntısıyla tarif edilir.

Tersinir ideal bir çevrim için kayıp işin sıfır olduğu düşünülerek, (2.3) ve (2.4) eşitlikleri su şekilde düzenlenebilir;

$$1 + x + y + z = 0 \quad (2.6)$$

$$1 + ax + by + cz = 0 \quad (2.7)$$

$$\text{Burada, } x = \frac{\frac{Q_{BUH}}{Q_{KAY}}}{\frac{Q_{KAY}}{Q_{KAY}}}, \quad y = \frac{\frac{Q_{ABS}}{Q_{KAY}}}{\frac{Q_{KAY}}{Q_{KAY}}}, \quad z = \frac{\frac{Q_{YOG}}{Q_{KAY}}}{\frac{Q_{KAY}}{Q_{KAY}}}$$

seklindedir. Ayrıca,  $a = \frac{\frac{T_{KAY}}{T_{BUH}}}{\frac{T_{BUH}}{T_{BUH}}}$ ,  $b = \frac{\frac{T_{KAY}}{T_{ABS}}}{\frac{T_{ABS}}{T_{ABS}}}$ ,  $c = \frac{\frac{T_{KAY}}{T_{YOG}}}{\frac{T_{YOG}}{T_{YOG}}}$  dir.

Tersinir Carnot Çevrimi için,

$$\frac{Q_{BUH}}{T_{BUH}} = \frac{Q_{YOG}}{T_{YOG}} \quad (2.8)$$

olduğundan (2.8) eşitliği, (2.4) eşitliğine taşınacak olursa, (2.7) eşitliğinden

$$1 + 0 + by + 0 = 0 \quad (2.9)$$

elde edilir. (2.6), (2.7) ve (2.9) eşitliklerinden x çözülecek olursa;

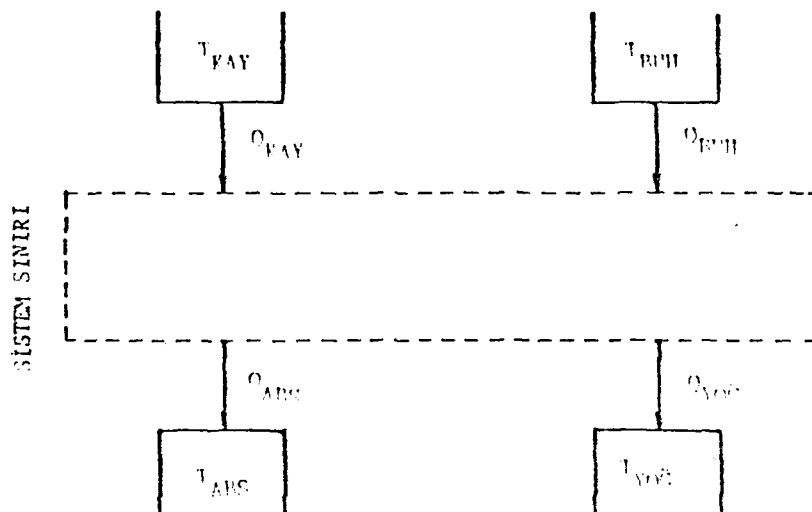
$$x = (STK)_{ter} = c \left[ \frac{b - 1}{b - (a - c)} \right] \quad (2.10)$$

bulunur. Diger bir ifadeyle

$$ISTK = (STK)_{ter} = \frac{\frac{T_{BUH}}{T_{KAY}} - \frac{(T_{KAY} - T_{ABS})}{(T_{YOG} - T_{BUH})}}{\frac{T_{KAY}}{T_{YOG}}} \quad (2.11)$$

şeklindedir.

Ideal absorbşyonlu soğutma çevriminde, (2.11) eşitliğinden görüleceği üzere, soğutma tesir katsayısı çevre özelliklerinden bağımsızdır.



Sekil 2. 1 Absorbsiyonlu Soğutma Sisteminin Carnot Makinası  
Seklinde Gösterimi

## 2. 1. 2 TEORİK ABSORBSİYONLU SOĞUTMA ÇEVİRİMİNİN SOĞUTMA TESİR KATSAYISI

Absorbsiyonlu soğutma çevriminin teorik tersinmez soğutma tesir katsayısını bulabilmek için çeşitli kabuller yapılması gereklidir.

1. Değişik elemanların sıcaklıklarları uniform ve sabit değerlerdedir.
2. Kaynatıcı ve yoğunsturucu basıncı, yoğunlaşma sıcaklığına karşılık gelen doyma basıncıdır.
3. Buharlastırıcı ve absorber basıncı, buharlaşma sıcaklığına karşılık gelen doyma basıncıdır.
4. Kaynaticıdan ayrılan soğutucu buharının sıcaklığı ve basıncı, kaynatıcı sıcaklığı ve basıncındadır.
5. Yoğunsturucudan ayrılan soğutucu akışkan, doymuş sıvı halindedir ( $x = 0$ ).
6. Buharlastırıcıdan ayrılan soğutucu buharı, kuru doymuş buhar halindedir ( $x = 1$ ).
7. Absorberden ayrılan eriyik, absorber basıncı ve sıcaklığında denge halindedir.
8. Kaynaticıdan ayrılan eriyik, kaynatıcı sıcaklığı ve basıncında denge halindedir.
9. Aynı sıcaklık ve derişiklik için, denge halindeki entalpi ile dengesiz haldeki entalpi eşittir.
10. Absorber, kaynatıcı, yoğunsturucu ve buharlastırıcı gibi elemanların çevreye ısı kaybı yoktur.
11. Sistemde basınç kaybı meydana gelmemektedir.
12. Sisteme iş girişi ihmali edilebilir.
13. Yoğunsturucu ve absorberde aynı soğutma suyu kullanıldığından eriyığın absorberden çıkış sıcaklığı, yoğunlaşma sıcaklığına eşittir ( $T_{a2} = T_y$ ) [56].

Özellikle yukarıda belirtilen (11) ve (12) kabullerini pratikte gerçekleştirmek çok zordur. Buharlastırıcı ve absorber arasındaki çok küçük basınç düşümleri bile buharlastırıcı sıcaklığını büyük ölçüde etkiler.

Absorbsiyonlu soğutma çevrimi için karalı halde temodinamığın birinci kanunu yazılırsa,

$$0 = Q_{KAY} + Q_{BUH} + Q_{YOG} + Q_{ABS} + Q_O + W \quad (2.12)$$

olur. (10) ve (12) kabullerinden;  $Q_O = W = 0$  dır. Buradan;

$$0 = Q_{KAY} + Q_{BUH} + Q_{YOG} + Q_{ABS} \quad (2.13)$$

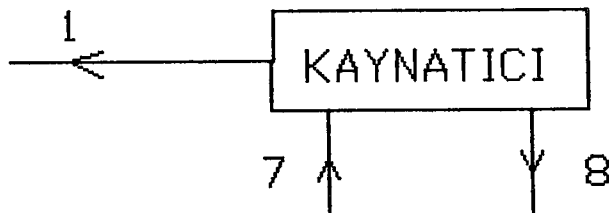
eşitliği elde edilir.

Açık sistemler için termodinamiğin birinci kanunu ve süreklilik denklemi hatırlanıp, 1 kg soğutucu buharı için ( $m_1 = 1 \text{ kg}$ ), Şekil 1. 1-b' ye göre, kaynatıcı için bu denklemler yazılırsa,

Lityum bromür-su çifti kullanan absorbsiyonlu soğutma sistemi için;

$$WZ = \frac{m_8}{m_1} \quad \text{ve} \quad WF = \frac{m_7}{m_1} \quad \text{olmak üzere};$$

KAYNATICI      SASA



$$\text{Süreklik denklemi} \quad \sum m_g = \sum m_C \quad (2.14)$$

$$m_7 = m_8 + m_1$$

$$\text{Lityum bromür dengesi} \quad m_7x_7 = m_8x_8$$

$$(m_8 + m_1)x_7 = m_8x_8$$

$$m_1x_7 = m_8(x_8 - x_7)$$

$$\frac{m_1}{m_8} = \frac{x_8 - x_7}{x_7}$$

$$WZ = \frac{m_8}{m_1} = \frac{x_7}{x_8 - x_7}$$

$$\frac{m_7}{m_1} = \frac{m_8}{m_1} + 1$$

$$\frac{m_7}{m_1} = WZ + 1$$

$$WF = \frac{m_7}{m_1} = \frac{x_8}{x_8 - x_7}$$

Ana elemanların ısıl hesapları;

Kaynatıcı için süreklilik denklemi (2.14) ve termodinamığın I. kanunu yazılırsa;

$$\Sigma Q - \Sigma W = \Sigma H_C - \Sigma H_B$$

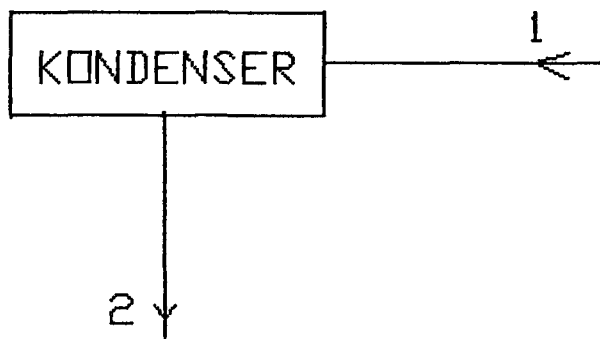
$P_{KAY}$  = sabit olduğundan  $\Sigma W = 0$  olur ve

$$\Sigma Q = Q_{KAY} = m_1h_1 + m_8h_8 - m_7h_7$$

Denklemin her tarafı  $m_1$ ' e bölünürse;

$$q_{KAY} = h_1 + WZ h_8 - WF h_7 \quad (2.15)$$

YOGUŞTURUCU ( KONDENSER ) SASA



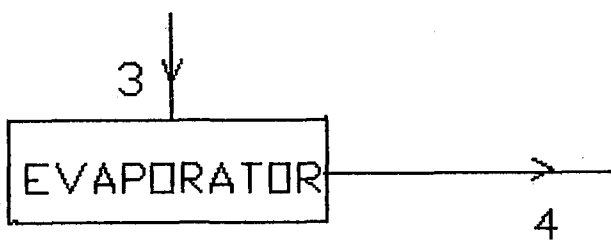
$P_{YOG}$  = sabit olduğundan  $\Sigma W = 0$  olur ve I. kanundan;

$$Q_{YOG} = m_1 ( h_2 - h_1 )$$

Denklemin her tarafı  $m_1$ ' e bölünürse;

$$q_{YOG} = h_2 - h_1 \quad ( 2. 16 )$$

BUHARLASTIRICI ( EVAPORATOR ) SASA



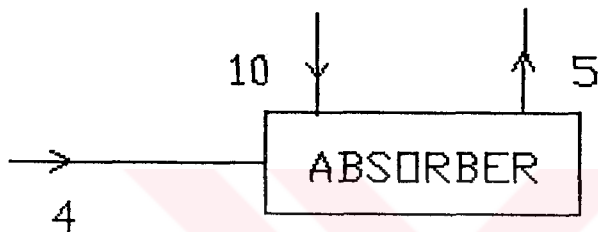
$P_{BUH}$  = sabit olduğundan  $\Sigma W = 0$  olur ve I. kanun;

$$Q_{BUH} = m_1 ( h_4 - h_3 )$$

Denklemin her tarafı  $m_1$ ' e bölünürse;

$$q_{BUH} = h_4 - h_3 \quad (2.17)$$

ABSORBER      SASA



Absorber için süreklilik denklemi ve termodinamığın I. kanunu yazılacak olursa;

$$m_5 = m_{10} + m_4$$

$P_{ABS}$  = sabit olduğundan  $\sum W = 0$  olur ve I.kanun;

$$\sum Q = Q_{ABS} = m_5 h_5 - m_4 h_4 - m_{10} h_{10}$$

$m_4 = m_1$  ,  $m_5 = m_7$  ,  $m_{10} = m_8$  olduğu da bilindigine göre denklemin her tarafı  $m_4$ ' e bölünürse;

$$q_{ABS} = WF h_5 - h_4 - WZ h_{10} \quad (2.18)$$

Absorber kapasitesini bulmak için ikinci bir yol ise (2.13) denkleminden  $q_{ABS}$  değerini çekmek olabilir.

BÜTÜN bu eşitlikler, (2.5) eşitliğine taşınacak olursa soğutma sisteminin soğutma tesir katsayısı için,

$$STK = \frac{h_4 - h_3}{h_1 + WZ h_8 - WF h_7} \quad (2.19)$$

esitliği bulunur.

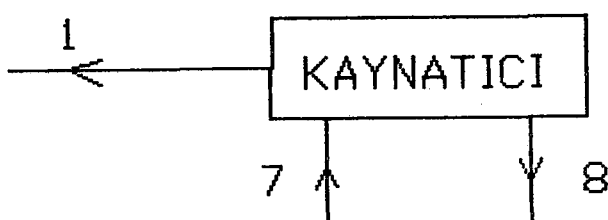
Yukarıdaki eşitlikten görüleceği üzere, soğutma sisteminin soğutma tesir katsayısı, soğutucu akışkanın buharlaşma gizli ısısına ( $h_4 - h_3$ ) büyük ölçüde bağlıdır. Soğutucu akışkanın buharlaşma gizli ısısı ne kadar büyükse, soğutma tesir katsayısı o ölçüde büyük olacaktır. Dolasım oranı ise eşitliğin paydasında olduğu için, artan dolasım oraniyla soğutma tesir katsayısı azalacaktır. Dolasım oranı, Lityum bromür-su eriyiği kullanan absorbsiyonlu soğutma sisteminde kristalizasyon olayı ve film kararlılığı ile direkt ilgili olduğundan, pratikte belirli bir değerin altına düşmemesi gereklidir.

Amonyak-su çifti kullanan absorbsiyonlu soğutma sistemi için;

$$WZ = \frac{m_7}{m_1} \quad \text{ve} \quad WF = \frac{m_8}{m_1} \quad \text{olmak üzere;}$$

KAYNATICI

SASA



Sürekllilik denklemi       $\Sigma m_g = \Sigma m_c$

$$m_7 = m_8 + m_1$$

Amonyak dengesi       $m_7x_7 = m_8x_8 + m_1$

$$(m_8 + m_1)x_7 = m_8x_8 + m_1$$

$$m_8(x_7 - x_8) = m_1(1 - x_7)$$

$$\frac{m_8}{m_1} = \frac{1 - x_7}{x_7 - x_8}$$

$$WF = \frac{m_8}{m_1} = \frac{1 - x_7}{x_7 - x_8}$$

$$\frac{m_7}{m_1} = \frac{m_8}{m_1} + 1$$

$$\frac{m_7}{m_1} = WF + 1$$

$$WZ = \frac{m_7}{m_1} = \frac{1 - x_8}{x_7 - x_8}$$

Ana elemanların ısıl hesapları;

Kaynatıcı için süreklilik denklemi (2.14) ve termodinamığın I. kanunu yazılırsa;

$$\Sigma Q - \Sigma W = \Sigma H_c - \Sigma H_g$$

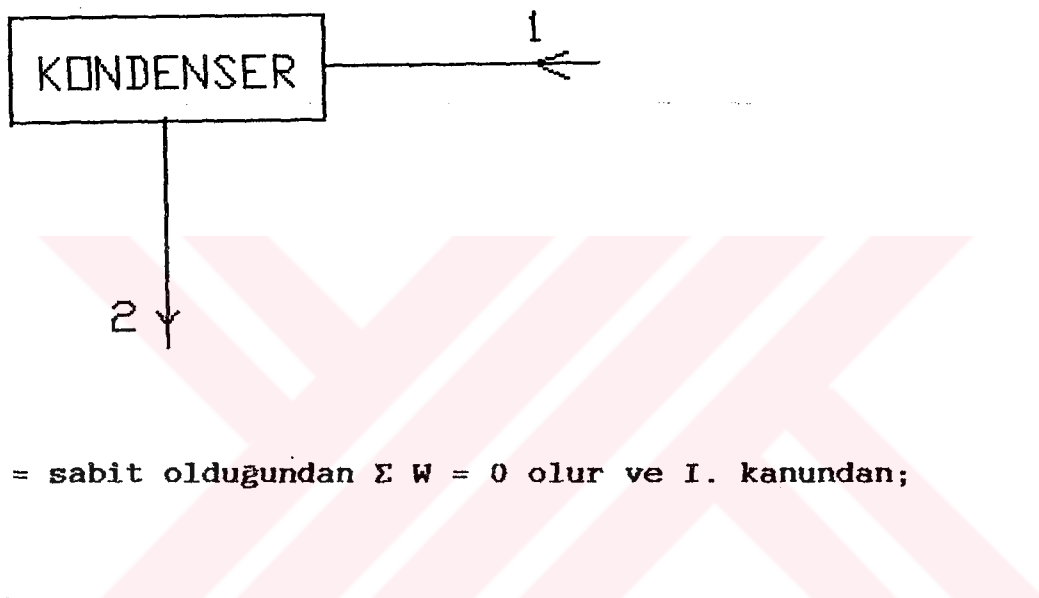
$P_{KAY}$  = sabit olduğundan  $\Sigma W = 0$  olur ve

$$\Sigma Q = Q_{KAY} = m_1h_1 + m_8h_8 - m_7h_7$$

Denklemin her tarafı  $m_1'$  e bölünürse;

$$q_{\text{KAY}} = h_1 + WF \cdot h_8 - WZ \cdot h_7 \quad (2.20)$$

YOGUŞTURUCU ( KONDENSER ) SASA



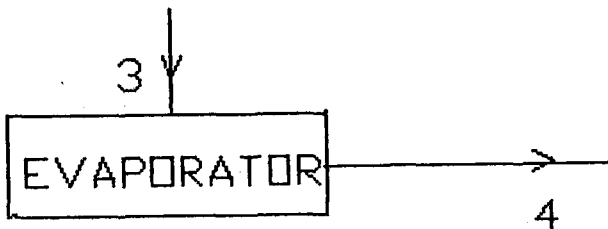
$P_{\text{YOG}} = \text{sabit olduğundan } \sum W = 0 \text{ olur ve I. kanundan;}$

$$Q_{\text{YOG}} = m_1 ( h_2 - h_1 )$$

Denklemin her tarafı  $m_1'$  e bölünürse;

$$q_{\text{YOG}} = h_2 - h_1 \quad (2.21)$$

BUHARLAŞTIRICI ( EVAPORATOR ) SASA



$P_{BUH}$  = sabit olduğundan  $\Sigma W = 0$  olur ve I. kanun;

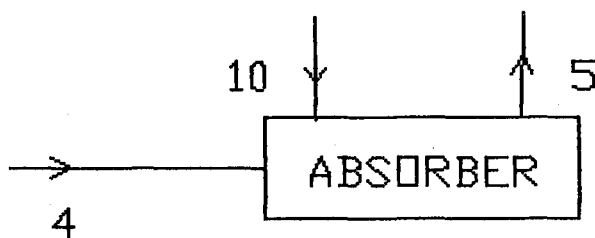
$$Q_{BUH} = m_1 ( h_4 - h_3 )$$

Denklemin her tarafı  $m_1$ ' e bölünürse;

$$q_{BUH} = h_4 - h_3$$

( 2. 22 )

ABSORBER SASA



Absorber için süreklilik denklemi ve termodinamigin I. kanunu yazılıacak olursa;

$$m_5 = m_{10} + m_4$$

$P_{ABS}$  = sabit olduğundan  $\Sigma W = 0$  olur ve I. kanun;

$$\Sigma Q = Q_{ABS} = m_5 h_5 - m_4 h_4 - m_{10} h_{10}$$

$m_4 = m_1$  ,  $m_5 = m_7$  ,  $m_{10} = m_8$  olduğu da bilindigine göre denklemin her tarafı  $m_4$ ' e bölünürse;

$$q_{ABS} = WZ h_5 - h_4 - WF h_{10} \quad (2.23)$$

Absorber kapasitesini bulmak için ikinci bir yol ise (2.13) denkleminden  $q_{ABS}$  değerini çekmek olabilir.

BÜTÜN bu eşitlikler, (2.5) eşitliğine taşınacak olursa soğutma sisteminin soğutma tesir katsayısı için,

$$STK = \frac{h_4 - h_3}{h_1 + WF h_8 - WZ h_7} \quad (2.24)$$

eşitliği bulunur.

### 3. BÖLÜM

#### AKİŞKAN ÇİFTLERİNİN ÖZELLİKLERİ

##### 3. 1 SOĞUTUCU VE SOĞURUCU AKİŞKAN ÖZELLİKLERİ

Absorbsiyonlu soğutma sisteminde kullanılacak akışkan çiftinin aşağıdaki özelikleri taşıması gerekmektedir;

- Soğutucu ve soğurucu akışkan çifti, çevrimin çalışacağı sıcaklıklarda katı fazda bulunmamalıdır. Oluşacak çözeltinin derisikliği hiçbir zaman katı fazın meydana gelebileceği değerlere düşmemelidir. Aksi takdirde çevrim içindeki akış duracak ve çevrim çalışmayaacaktır.

- Soğutucu akışkan, soğurucu akışından daha çabuk buharlaşabilmelidir. Böylece kaynaticıda soğutucu-soğurucu eriyiği ısıtıldığında soğutucu akışkan kolayca ayrılarak yoğunlukluya gidebilir. Bu özellik var olmadığı takdirde kaynaticiya daha çok ısı vermek gerekeceğinden çevrimin verimi düşecektir.

- Absorbsiyonun gerçekleştiği şartlarda soğurucu akışkanın soğutucu akışına eğiliminin büyük olması gereklidir. Zira akışkan çifti moleküller arasındaki çekim kuvveti büyük olursa, bu da kaynaticı ile absorber arasında kullanılan termik kompresörün boyutlarını küçültecektir.

- Soğutucu akışkan özelliklerinin büyük ölçüde etkilediği çevrim basınçlarının çok yüksek ve çok alçak olması istenmez. Basıncın çok yüksek olması kullanılacak donanımın daha kalın olmasını gerektirdiğinden maliyeti artıracaktır. Çok düşük basınçlarda donanımların daha korunumlu olması, içeriye hava kaçığı olmaması gerekmektedir. Hava kaçığı çevrimin yapısına etki ederek istenmeyen hallerin doğmasına sebep olacaktır.

- Uzun yıllar değişik ve zor şartlarda hizmet verecek akışkanların kimyasal olarak kararlı olması istenir. Kararsızlık çevrimde istenmeyen gaz ve katı oluşumuna neden olabilecegi gibi, korazif etkilerin oluşumuna neden

olabilir.

- Soğutucu ve sogurucu akışkanların, donanımda kullanılan malzemelere korazif etkisi olmamaları gereklidir.

- Soğutucu ve sogurucu akışkanlar, zehirli ve yanıcı olmamalıdır.

- Isı ve kütle geçişinin kolay olabilmesi, pompa işinin fazla olmaması için soğutucu ve sogurucu akışkanların viskozitelerinin düşük olması istenir.

- Soğutucu akışkanın buharlaşma gizli ısısının yüksek olması çevrimde dolaşacak soğutucu akışkan ve dolayısıyla sogurucu akışkan miktarını azaltacaktır.

Bu çalışmanın amacı, Absorbsiyonlu soğutma sistemlerinde amonyak-su ve lityum bromür-su çiftlerini incelemek olduğuna göre bu soğutucu akışkan çiftleri hakkında bilgi vermek gereklidir.

### 3. 2 AKIŞKAN ÇİFTLERİNİN TANITILMASI

#### 3. 2. 1 AMONYAK-SU ERİYİĞİNİN TANITILMASI

Hacimsel özgül soğutma yükünün büyük olması nedeniyle özellikle büyük endüstri tesislerinde amonyak kullanılır. Bakır, bakır çinko alasımları ve galvaniz kaplamalı malzeme üzerinde korozif etkisi vardır. Tesisatta yalnız çelik ve dökme demir kullanılması zorunludur. Bronza fazla tesir etmez.

Atmosfer basıncında amonyağın buharlaşma sıcaklığı -33 °C civarında olduğundan bu sıcaklığın altına inmek sisteme hava sızmasına yol açabilir. Ancak çok düşük sıcaklıklara inildiginde bu sızma pek tehlikeli değildir, zira amonyak sisteme sızan suda eridiğinden donma noktası alçalır, böylece katılışma ve tikanma tehlikesi azalır. Suda kolayca erimesi ve ısıtıldığında sudan kolayca ayrılması nedeniyle amonyak, absorbsiyonlu soğutma makinalarında çok kullanılır.

Amonyak küçük soğutma yükleri için pek elverişli bir akışkan değildir, çünkü sisteme dolaşan akışkan miktarı çok

az olunca ayar ve kontrol güçlesir.

Yüksek özgül soğutma yükü sayesinde kompresör boyutları küçük tutulur.

Yanıcı bir gaz değildir, ancak hava ile karışım halinde olunca 650 °C gibi yüksek sıcaklıklarda tutuşabilir. Solunum organlarına, cilde, gözlere hoş olmayan etkiler yapar, sıvısı ciltte yanmalar metdana getirir. Çok miktarda amonyak teneffüs edilirse, insana şok tesiri yapar.

Soğutma devresinde, amonyağın çarpıcı bir kokusu olduğu için kaçak olup olmadığı kolayca anlaşılır. Ancak bunun yerini saptamak biraz güçtür. Kaçakların yerini saptamakta kükürtdioksitten yararlanılır. Amonyak kükürtdioksite karışınca beyaz bir duman oluşturur. Bu da kaçakların yerinin kolayca belirlenmesini sağlar. Coğu zaman kaçakların yerini belirlemekte daha güvenilir olduğu için sabun köpüğünden yararlanmak gereklidir.

Amonyak yiyecek maddesi muhafazasında kullanıldığından sistemin sızdırmaz olmasına özellikle özen gösterilmelidir, çünkü amonyaga bulasmış besin maddeleri yenmez.

Soğutma tesislerinde soğutucu akişkan olarak amonyağın kullanılmasının ve tercih edilmesinin nedenlerini söyle sıralayabiliriz;

- Buharlaşma gizli ısisı yüksektir.
- Yoğunlaşma basıncı ve yoğunlaşma sıcaklığı düşüktür.
- Üretimi kolay, maliyeti yüksek değildir.
- Kokulu olduğu için soğutma tesisinde kaçak olup olmadığı kolayca anlaşılabilir.

### 3. 2. 2 LİTYUM BROMÜR-SU ERİYİĞİNİN TANITILMASI

Bu çift, son yıllarda oldukça ehemmiyet kazanmış durumdadır.

Lityum bromür'ün kaynama noktası, sudan  $540^{\circ}\text{C}$  ( $1000^{\circ}\text{F}$ ) daha fazladır. Bu da kaynatıcı içinde suyun lityum bromürden kolayca ayrılmasını sağlar. Lityum bromür kolayca elde edilebileceği için maliyeti çok ucuzdur.

Lityum bromür-su eriyiği, sistem konstrüksiyonunda kullanılan malzemelere karşı son derece korozif tesiri vardır. Bu eriyığın Roult's kanunundan en geniş sapması bilindiginden uygun operasyon şartları ve performans katsayısı verir. Lityum bromür eriyiği suya göre daha büyük yüzey gerilmesine sahiptir. Bu eriyığın viskozitesi, kullanılan konsantrasyon değerleri için çok küçüktür. Bu eriyığın övgül ısısında saf suyunkine göre çok küçüktür.

Lityum bromür-su eriyiği, ideal bir eriyikten istenen şartların çoğu sahiptir. En büyük mahsuri korozif tesiridir. Bu tesirine karşı eriyige inhibitörler katılır.

Bu eriyığın başlıca avantajları söyle sıralanabilir;

- Aynı sıcaklıklar arasında çalışan diğer akışkan çiftlerine göre daha yüksek soğutma katsayısı sağlar.
- Bu sistemlerde ilave bir rektifikasyon kolonuna ihtiyaç olmadığından nispeten basit elemanlardan meydana gelir.
- Dolasım pompası için gerekli olan mekanik iş çok azdır. Bu iş, amonyak-su çifti ile çalışan sistemin işinin yüzde biri kadardır.

Yukarıda sayılan avantajların yanında, Lityum bromür-su eriyigiyle çalışan soğutma sisteminin bazı dezavantajları da vardır. Bunlar;

- Buharlaştırıcı sıcaklığı, suyun donma noktası ile

sınırlanmıştır. Bu akışkan çifti sadece iklimlendirme tesisatlarında kullanılabılır.

- Kristallenme olayı, çevrimin çalışma şartlarını sınırlar.

- Soğutma sistemi, düşük basınçlarda çalışır. Bu durum önlenemeyen hava sızmalarına sebep olur.

### 3. 2. 1 KRİSTALİZASYON

Lityum bromür katı haldeyken kristal yapıya sahiptir. Tuzların çoğu gibi Lityum bromür'de suda çözülebilir. Lityum bromürün su ile yaptığı çözeltinin belirli bir konsantrasyon değerinde belirli bir minimum çözelti sıcaklığı vardır. Bu minimum sıcaklığın altında tuz çözeltiden ayrılmaya başlar. Yani katı hale gelmeye başlar, kristalleşme olur.

Absorbsiyonlu soğutma sistemlerinde kristalleşme olayının olma ihtimalinin en fazla olduğu yer ısı değiştirgecidir. İsi değiştirgecinde zengin çözelti kristalleşme sıcaklığına kadar inebilir. Bu durumda kristal haldeki tuz, ısı değiştirgecinin borularına yerlesir ve boruları tıkayarak cihazın çalışması için gerekli olan akışı durdurur. Sistem çalışmaz hale gelir.

Kristalizasyon olayının temelde üç nedeni vardır;

- Pompalama sisteminde güç düşümü olduğunda, otomatik dekristalizasyon sistemi çalışmaz.

- Soğutma suyu sıcaklığında anı bir düşüş de kristalizasyona yol açar. Soğutma suyu, örneğin  $30^{\circ}\text{C}$ 'de gelmesi gerektiği halde  $12^{\circ}\text{C}$ 'de gelirse yoğunluk soğutma suyunun sıcaklığı çok düşmüştür. Bu su absorberde de kullanıldığından esanjörden geçen zayıf eriyiğin sıcaklığı  $24^{\circ}\text{C}$ 'ye kadar düşer. Bu da zengin eriyiğin yaklaşık  $15^{\circ}\text{C}$ 'ye, yani kristalleşme noktasına yaklaşmasına neden olur. Bu durumda yoğunluk soğutma suyunun kesilmesi kristallesmeyi önler.

- Hava sızıntılarında kristalizasyona sebep olur. Absorber basıncının artışı buharlaştırıcıının kapasitesini sınırlar. Basıncın artışına sebep olan hava kabarcıkları buharlaştırıcı-

cının soğutma suyu sıcaklığını yükseltir. Buharlaştırıcıdaki bu sıcaklık yükselmesi otomatik bir düzenle kaynatıcıyı uyararak daha fazla ısı yükünün kaynatıcıya verilmesini sağlar. Böylece kaynatıcıda Lityum bromür yüzdesi daha yüksek olan eriyigin kalmasına sebep olur. Çünkü soğutucu akışkanın çoğu yoğunşturucuya gitmiştir. Şimdi absorberde daha az bir ısı yükü vardır. Bu nedenle absorberi terk eden zayıf çözeltinin sıcaklığı düşer ve eşanjörde zengin çözeltinin sıcaklığını düşürerek kristalleşmeye neden olur.

### 3. 2. 2 KRİSTALLESMENİN ÖNLENMESİ

Kristalleşme olduğu zaman ısı değiştirgecinin absorbere dönüş borusu tıkandığından zengin eriyik absorbere dönemez. Böylece kaynatıcıda eriyik seviyesi yükselir. Bu eriyik bir by-pass borusu vasıtasyyla absorbere gönderilebilir. Absorberdeki eriyige böyle bir ilave yapıldığında absorberin sıcaklığı yükselecektir. Sulandırılmış eriyik tekrar kaynatıcıya gönderilmek üzere ısı değiştirgecine pompalanır. Zayıf çözelti sıcaklığı bu işlemler neticesinde yüksek olduğundan eşanjör borularını ısıtır ve tıkalı olan zengin eriyik dönüş borusunun tekrar açılmasına yardım eder. Kaynatıcıdaki eriyik seviyesi düşer ve sistem tekrar normal hale gelmiş olur. Bu işleme otomatik dekristalizasyon denir.

Yogunşturucu ve absorberin soğutma suları aynı anda kesilirse kristalleşme önlenebilir.

### 3. 3 AKIŞKAN ÇİFTLERİNİN HAL DENKLEMLERİ

#### 3. 3. 1 LİTYUM BROMÜR-SU ÇİFTİNİN HAL DENKLEMLERİ

##### 3. 3. 1. 1 SUYUN HAL DENKLEMLERİ

Suyun doyma basıncı  $P_d = f(T)$  [29]

$$\log P = k_0 + \frac{k_1}{TP} + \frac{k_2}{TP^2} \quad (3.1)$$

$$k_0 = 6.21147$$

$$k_1 = -2886.373$$

$$k_2 = -337269.46$$

T : Suyun sıcaklığı ( °C )

$$TP1 = [(T * 1.8) + 32] ( ^\circ F )$$

$$TP = (TP1 + 459.7) ( ^\circ R )$$

P : Suyun doyma basıncı ( PSI )

$$P_d = 6.89643 * P$$

$P_d$  : Suyun doyma basıncı ( kPa )

Doymus sıvı fazındaki su buharının antalpisi  $HS = f(T)$

$$THS = (T * 1.8) + 32$$

$$HS = 2.326 ( a * THS + b ) \quad (3.2)$$

$$a = 1.001$$

$$b = -32.05$$

T : Suyun sıcaklığı ( °C )

HS : Doymus sıvı fazındaki su buharının antalpisi ( kJ / kg )

Doymus buhar fazındaki su buharının antalpisi  $HB = f(T)$

$$THB = (T * 1.8) + 32$$

$$HB = 2.326 [(a_0 * THB + a_1) * P_d + (a_2 * THB + a_3)] \quad (3.3)$$

$$\begin{aligned}a_0 &= 0.00274 \\a_1 &= -0.989805 \\a_2 &= 0.44942 \\a_3 &= 1060.8\end{aligned}$$

T : Suyun sıcaklığı ( °C )

P<sub>d</sub> : Suyun doyma basıncı ( kPa )

HB : Doymuş buhar fazındaki su buharının antalpisi ( kJ / kg )

Kızgın buhar fazındaki su buharının antalpisi HK = f(P, T)

$$THK = ( T * 1.8 ) + 32$$

$$HK = 2.326 [ ( b_0 * THK + b_1 ) * P + ( b_2 * THK + b_3 ) ] \quad ( 3. 4 )$$

$$b_0 = 0.00274$$

$$b_1 = -0.989805$$

$$b_2 = 0.44942$$

$$b_3 = 1060.8$$

T : Suyun sıcaklığı ( °C )

P : Suyun basıncı ( kPa )

HK : Kızgın buhar fazındaki su buharının antalpisi ( kJ / kg )

### 3. 3. 1. 2 LİTYUM BROMÜR-SU ERIYİĞİNİN HAL DENKLEMLERİ

Lityum bromür-su eriyiği kristalizasyon sıcaklığı

$$TCR = f( X )$$

$$XX = X/100$$

$$TCR = A_0 + A_1 * XX + A_2 * XX^2 + A_3 * XX^3 \quad ( 3. 5 )$$

$$A_0 = -24482.8251$$

$$A_1 = 119660.035$$

$$A_2 = -193206.971$$

$$A_3 = 104338.263$$

X : Lityum bromür kütle yüzdesi ( konsantrasyon )

TCR : Lityum bromür-su eriyiğinin kristalizasyon sıcaklığı ( K )

Lityum bromür-su eriyiğinin sıcaklığı TE = f ( TAK, X )

$$TE = ( A_0 + A_1 * X + A_2 * X^2 + A_3 * X^3 ) * TAK + \\ ( B_0 + B_1 * X + B_2 * X^2 + B_3 * X^3 ) \quad ( 3. 6 )$$

$$A_0 = -2.00755$$

$$B_0 = 124.937$$

$$A_1 = 0.16976$$

$$B_1 = -7.7165$$

$$A_2 = -3.1333E-3$$

$$B_2 = 0.152286$$

$$A_3 = 1.97668E-5$$

$$B_3 = -7.9509E-4$$

TE : Eriyik sıcaklığı ( °C )

X : Lityum bromür kütle yüzdesi ( konsantrasyon )

TAK : Soğutucu akışkan sıcaklığı ( °C )

Lityum bromür-su eriyiğinin antalpisi H = f ( TE , X )

$$TH = ( TE * 1.8 ) + 32$$

$$H = 2.326 ( A + B * TH + C * TH^2 ) \quad ( 3. 7 )$$

$$A = -1015.07 + 79.5387 * X - 2.358016 * X^2 \\ + 0.03031583 * X^3 - ( 1.400261E-4 ) * X^4$$

$$B = 4.68108 - 0.3037766 * X + ( 8.44845E-3 ) * X^2 \\ - ( 1.047721E-4 ) * X^3 + ( 4.80097E-7 ) * X^4$$

$$C = -0.0049107 + ( 3.83184E-4 ) * X - ( 1.078963E-5 ) * X^2 \\ + ( 1.3152E-7 ) * X^3 - ( 5.897E-10 ) * X^4$$

TE : Eriyik sıcaklığı ( °C )

X : Lityum bromür kütle yüzdesi ( konsantrasyon )

H : Eriyik antalpisi ( kJ / kg )[29].

### 3. 3. 2 AMONYAK-SU ÇİFTİNİN HAL DENKLEMLERİ

#### 3. 3. 2. 1 AMONYAĞIN HAL DENKLEMLERİ

Amonyak buharının doyma basıncı  $P_d = f(T)$

$$\log P = A_0 + \frac{A_1}{TP} + \frac{A_2}{TP^2} \quad (3.8)$$

$$A_0 = 6.59924$$

$$A_1 = -1721.24882$$

$$A_2 = -112599.5598$$

T : Amonyağın sıcaklığı ( °C )

TP1 = [ ( T \* 1.8 ) + 32 ] ( °F )

TP = ( TP1 + 459.7 ) ( °R )

$P_d$  = Suyun doyma basıncı ( kPa )

, Doymus sıvı fazındaki amonyak buharının antalpisi

$HS = f(T)$

$$THS = ( T * 1.8 ) + 32$$

$$HS = 2.326 ( a * THS + b ) \quad (3.9)$$

$$a = 1.110633419$$

$$b = 42.318715981$$

T : Amonyağın sıcaklığı ( °C )

HS : Doymus sıvı fazındaki amonyak buharının antalpisi  
( kJ / kg )

Doymuş buhar fazındaki amonyak buharının antalpisi

$HB = f(T)$

$$HB = a_0 + a_1 \cdot T + a_2 \cdot T^2 + a_3 \cdot T^3 \quad (3.10)$$

$$a_0 = 1443.5$$

$$a_1 = 1.0577$$

$$a_2 = -0.00766$$

$$a_3 = -0.000011$$

T : Amonyağın sıcaklığı ( °C )

HB : Doymuş buhar fazındaki amonyağın buharının antalpisi  
( kJ / kg )

Kızgın buhar fazındaki amonyak buharının antalpisi

$HK = f(P, T)$

$$THK = (T \cdot 1.8) + 32$$

$$HK = 2.326 [(b_0 \cdot THK + b_1) \cdot P + (b_2 \cdot THK + b_3)] \quad (3.11)$$

$$b_0 = 0.00015$$

$$b_1 = 0.04061$$

$$b_2 = 0.5066901$$

$$b_3 = 620.97863$$

T : Amonyağın sıcaklığı ( °C )

P : Amonyağın basıncı ( kPa )

HK : Kızgın buhar fazındaki amonyak buharının antalpisi  
( kJ / kg )

### 3. 3. 2. 2 AMONYAK-SU ERIYİĞİNİN HAL DENKLEMLERİ

#### Amonyak-su eriyığının doyma basıncı $P = f(T, X)$

$$P = M + \frac{N}{T} \quad (3.12)$$

$$M = 10.44 - 1.767 \cdot X + 0.9823 \cdot X^2 + 0.3627 \cdot X^3$$

$$N = 2013.8 - 2155 \cdot X + 1540.9 \cdot X^2 - 194.7 \cdot X^3$$

T : Eriyik sıcaklığı ( °C )

X : Eriyikteki amonyak kütle yüzdesi ( konsantrasyon )

P : Eriyik doyma basıncı ( kPa )

#### Amonyak-su eriyığının antalpisi $H = f(T, X)$

$$\Theta = \frac{T}{T_B}, \quad \pi = \frac{P}{P_B}, \quad H_a = \frac{H}{R T_B}, \quad C_{pa} = \frac{C_p}{R}$$

$T_B = 100$  K,  $P_B = 10^6$  Pascal olmak üzere,

Sıvı fazındaki amonyak ve su için geçerli ortak antalpi denklemi;

$$C_{pa} = B_1 + B_2 \Theta$$

$$H_{as} = H_{os} + \int_{\Theta_0}^{\Theta} C_{pa} d\Theta + A_1(\pi - \pi_0) + \frac{A_2}{2} (\pi^2 - \pi_0^2)$$

$$- A_4(\pi - \pi_0)\Theta^2 \quad (3.13)$$

Buhar fazındaki amonyak ve su için geçerli ortak antalpi denklemi;

$$C_{pa} = D_1 + D_2\theta + D_3\theta^2$$

$$H_{ab} = H_{ob} + \int_{\theta_0}^{\theta} C_{pa} d\theta + C_2(\pi - \pi_0) + 2C_3 \left( \frac{\pi}{\theta} - \frac{\pi_0}{\theta_0} \right) \quad (3.14)$$

Sıvı fazındaki amonyak-su eriyığının antalpisini veren denklem

$$H_a = (1-x) H_{as} \text{ su} + x H_{as} \text{ amonyak} + x (1-x) \{ F_1 + F_2\pi + F_3\pi^2 + 2(F_4 + F_5\pi)/\theta + 3(F_6 + F_7\pi)/\theta^2 + 4F_8/\theta^3 + \{ F_9 + F_{10}\pi + F_{11}\pi^2 + 2(F_{12} + F_{13}\pi)/\theta \} (2x - 1) + (F_{14} + F_{15}\pi + 2F_{16}/\theta) (2x - 1)^2 \} \quad (3.15)$$

Gaz fazındaki amonyak-su eriyığının antalpisini veren denklem;

$$H_{ab} = (1 - x) H_{ab} \text{ su} + H_{ab} \text{ amonyak} \quad (3.16)$$

Denklemlerin katsayıları aşağıda belirtilmiştir[9];

| Katsayılar | Su         | Amonyak    |
|------------|------------|------------|
| $A_1$      | 2.6949E-2  | 3.18219E-2 |
| $A_2$      | -9.958E-6  | -5.0416E-5 |
| $A_4$      | 7.7344E-4  | 2.6517E-3  |
| $B_1$      | 7.72211    | 6.18881    |
| $B_2$      | 3.93864E-1 | 1.26706    |
| $C_2$      | 2.30417    | 1.83950    |
| $C_3$      | -8.28598   | -4.69069   |
| $D_1$      | 4.09249    | 3.82918    |
| $D_2$      | -8.9058E-2 | 2.369E-2   |
| $D_3$      | 2.3875E-2  | 4.495E-2   |
| $\Theta_0$ | 5.0699     | 3.2515     |
| $\pi_0$    | 3.0000     | 2.1410     |
| $H_{ob}$   | 60.9347    | 26.6392    |
| $H_{os}$   | 21.7697    | 5.20916    |

#### Amonyak-su eriyiği

| Katsayılar |             |
|------------|-------------|
| $F_1$      | 25.5078     |
| $F_2$      | 4.935E-1    |
| $F_3$      | -1.15994E-2 |
| $F_4$      | -165.353    |
| $F_5$      | -2.57531    |
| $F_6$      | 256.593     |
| $F_7$      | 3.25854     |
| $F_8$      | -149.857    |
| $F_9$      | 1.60532     |
| $F_{10}$   | 2.84681E-1  |
| $F_{11}$   | -5.3865E-3  |
| $F_{12}$   | -7.84621E-1 |
| $F_{13}$   | -7.85995E-1 |
| $F_{14}$   | 3.78720E-1  |
| $F_{15}$   | 2.25936E-2  |
| $F_{16}$   | 8.00572     |

## 4 . B Ö L Ü M

### ABSORBSİYONLU SOĞUTMA SİSTEMLERİNİN HESAP TEKNİKLERİ

#### 4. 1 BİLINEN KLASİK YOLLA ( DİYAGRAMLAR YARDIMIYLA ) HESAP YÖNTEMİ

İkinci bölümde anlatılan Termodinamik Analiz incelenirse Absorbsiyonlu soğutma sisteminin hesabı için zengin ve fakir eriyik konsantrasyonları ve her noktanın antalpilerinin bilinmesi, ana elemanların boyutlandırılmasına ve dolayısıyla soğutma tesir katsayısunun bulunmasına yeterli olacaktır. Görüldüğü üzere zengin ve fakir eriyigin konsantrasyonlarının ve her noktanın antalpilerinin bulunması yeterli olduğundan sadece bu değerlerin bilinmesi bizi sonuca götürecektir. Hesaplar da Sekil 1. 1-b' de gösterilen sistem gözönüne alınacaktır.

#### 4. 1. 1 LİTYUM BROMÜR-SU ERIYİĞİ KULLANAN ABSORBSİYONLU SOĞUTMA SİSTEMLİNİN DİYAGRAMLAR YARDIMIYLA HESABI

Cözüm için gerekli verileri bulmak için hemen hemen her yerde bulunabilecek tablolar olan su buharı için doymuş haller tablosu ve kızgın buhar fazındaki su buharının özelliklerini veren tabloların yanında Lityum bromür-su eriyığının sıcaklık-basınç-konsantrasyon diyagramı ile Lityum bromür-su eriyığının konsantrasyon-sıcaklık-antalpi diyagramı yeterli olacaktır.

Hesabın daha iyi anlaşılması açısından çözüm sayısal olarak yapılmıştır. Kabul edilen değerler aşağıda verilmiştir;

Kaynatıcı sıcaklığı .....  $T_k = 100^{\circ}\text{C}$

Buharlaştırıcı sıcaklığı ...  $T_b = 10^{\circ}\text{C}$

Yoguşturucu sıcaklığı .....  $T_y = 40^{\circ}\text{C}$

Absorber sıcaklığı .....  $T_a = T_y = 40^{\circ}\text{C}$  (Kabul no:13)

2. 1. 2' de belirtilen kabüller ışığında;

Çevrim üst basıncı hesabı;

$T_y = 40^{\circ}\text{C}$  kabül no 2' den  $T_y$ ' ye karşılık gelen doyma basıncı  $P_y$ , su buharı doymuş haller tablosundan,

$$P_y = P_{üst} = 7.375 \text{ kPa} \quad (\text{Ek2 Tablo 1' den})$$

Çevrim alt basıncı hesabı;

$T_b = 10^{\circ}\text{C}$  kabul no 3' den  $T_b$ ' ye karşılık gelen doyma basıncı  $P_b$ , su buharı doymuş haller tablosundan,

$$P_b = P_{alt} = 1.2277 \text{ kPa} \quad (\text{Ek2 Tablo 1' den})$$

1. nokta ( Yoğusturucu giriş ) ( Kaynatıcı çıkış )

$$\begin{aligned} T_1 &= T_k = 100^{\circ}\text{C} && \text{Su buharı kızgın buhar tablosundan} \\ P_1 &= P_{üst} = 7.375 \text{ kPa} && \text{Ek2 Tablo2' den } h_1 = 2688.34 \text{ kJ / kg} \end{aligned}$$

2. nokta ( Yoğusturucu çıkış ) ( KV giriş )

$$\begin{aligned} T_2 &= T_y = 40^{\circ}\text{C} && \text{Su buharı doymuş haller tablosundan} \\ P_2 &= P_{üst} = 7.375 \text{ kPa} && h_2 = h_s = 167.50 \text{ kJ / kg} \\ x_2 &= 0.0 \end{aligned}$$

3. nokta ( Kisılma vanası çıkış ) ( Buharlaştırıcı giriş )

$$\begin{aligned} T_3 &= T_b = 10^{\circ}\text{C} && \text{Kisılma vanasında antalpi sabit} \\ P_3 &= P_{alt} = 1.2277 \text{ kPa} && h_3 = h_2 = 167.50 \text{ kJ / kg} \end{aligned}$$

4. nokta ( Buharlaştırıcı çıkış )

$$\begin{aligned} T_4 &= T_b = 10^{\circ}\text{C} && \text{Su buharı doymuş haller tablosundan} \\ P_4 &= P_{alt} = 1.2277 \text{ kPa} && h_4 = h_b = 2519 \text{ kJ / kg} \\ x_4 &= 1.0 \end{aligned}$$

5. nokta ( Absorber çıkış ) ( Pompa giriş )

$$\begin{aligned} T_5 &= T_a = 40^{\circ}\text{C} && \text{Diyagram 1' den } X_5 = 0.55 \\ P_5 &= P_{alt} = 1.2277 \text{ kPa} && \text{Diyagram 2' den } h_5 = 93 \text{ kJ / kg} \end{aligned}$$

6. nokta ( Pompa çıkış ) ( Eşanjör çıkış )

$$\begin{aligned} T_6 &= T_5 = 40^{\circ}\text{C} \\ P_6 &= P_{üst} = 7.375 \text{ kPa} \\ X_6 &= X_5 = 0.55 \\ h_6 &= h_5 = 93 \text{ kJ / kg} \end{aligned}$$

8. nokta ( Kaynatıcı çıkışı ) ( Eşanjör girişi )

$$\begin{aligned} T_8 &= T_k = 100^{\circ}\text{C} & \text{Ek2 Diyagram 1' den } X_8 = 0.66 \\ P_8 &= P_{üst} = 7.375 \text{ kPa} & \text{Ek2 Diyagram 2' den } h_8 = 260 \text{ kJ/kg} \end{aligned}$$

9. nokta ( Eşanjör çıkışı ) ( KV girişi )

$$P_9 = P_{üst} = 7.375 \text{ kPa}$$

$$\epsilon = \frac{\text{Gerçek ısı geçisi}}{\text{Olabilecek en büyük ısı geçisi}} = \frac{T_{SIC\ g} - T_{SIC\ c}}{T_{SIC\ g} - T_{soğ\ g}}$$

$$\epsilon = \frac{h_8 - h_9}{h_8 - h_6}$$

$$h_9 = h_8 - \epsilon(h_8 - h_6)$$

$\epsilon = 0.6$  kabül edilirse;

$$h_9 = 260 - 0.6(260 - 93) = 159.8 \text{ kJ / kg}$$

$$X_9 = X_8 = 0.66$$

9 noktasının antalpisi ve konsantrasyonu bilindigine göre;

$$\text{Diyagram 2' den } T_9 = 45^{\circ}\text{C}$$

10. nokta ( KV çıkışı ) ( Absorber girişi )

$$T_{10} = T_9 = 45^{\circ}\text{C}$$

$$P_{10} = P_9 = 1.2277 \text{ kPa}$$

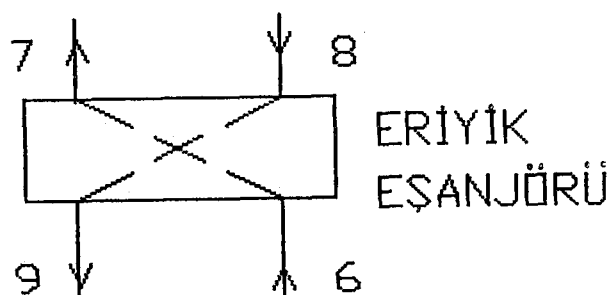
$$h_{10} = h_9 = 159.8 \text{ kJ / kg}$$

$$X_{10} = X_9 = 0.66$$

7. nokta ( Kaynatıcı girişi ) ( Eşanjör çıkışı )

$$P_7 = P_{üst} = 7.375 \text{ kJ / kg}$$

$$X_7 = X_6 = 0.55$$



Eşanjör dengesi

$$WZ(h_8 - h_9) = WF(h_7 - h_6)$$

$$h_7 = h_6 + \frac{WZ}{WF} (h_8 - h_9)$$

$$WZ = \frac{x_7}{x_8 - x_7} = \frac{0.55}{0.66 - 0.55} = 5$$

$$WF = \frac{x_8}{x_8 - x_7} = \frac{0.66}{0.66 - 0.55} = 6$$

$$h_7 = 93 + \frac{5}{6}(260 - 159.8) = 176.5 \text{ kJ / kg}$$

Eşanjör dengesinden,

$$WF(T_7 - T_6) = WZ(T_8 - T_9)$$

$$T_7 = T_6 + \frac{WZ}{WF}(T_8 - T_9)$$

$$T_7 = 40 + \frac{5}{6}(100 - 45) = 85 \text{ }^{\circ}\text{C}$$

Denklem 2.16 ' dan

$$q_{YOG} = h_1 - h_2 = 2688.34 - 167.50 = 2520.84 \text{ kJ / kg}$$

Denklem 2.17 ' den

$$q_{BUH} = h_4 - h_3 = 2519 - 167.50 = 2351.5 \text{ kJ / kg}$$

Denklem 2.15 ' den

$$q_{KAY} = h_1 + WZ \cdot h_8 - WF \cdot h_7$$

$$q_{KAY} = 2688.34 + 5 \cdot 260 - 6 \cdot 176.5 = 2929.34 \text{ kJ / kg}$$

Denklem 2.18 ' den

$$q_{ABS} = WF \cdot h_5 - WZ \cdot h_{10} - h_4$$

$$q_{ABS} = 6 \cdot 93 - 5 \cdot 159.8 - 2519 = 2760 \text{ kJ / kg}$$

$$\text{Alinan isi} = q_{KAY} + q_{BUH} = 2929.34 + 2351.5 = 5280.84 \text{ kJ / kg}$$

$$\text{Verilen isi} = q_{YOG} + q_{ABS} = 2520.84 + 2760 = 5280.84 \text{ kJ / kg}$$

$$STK = \frac{q_{BUH}}{q_{KAY}} = \frac{2351.5}{2929.34} = 0.803$$

$$ITK = \frac{q_{YOG} + q_{ABS}}{q_{KAY}} = \frac{2520.84 + 2760}{2929.34} = 1.803$$

#### 4. 1. 2 AMONYAK-SU ERİYİĞİ KULLANAN ABSORBSİYONLU SOĞUTMA SİSTEMİNİN DİYAGRAMLAR YARDIMIYLA HESABI

Cözüm için gerekli verileri bulmak için her yerde bulunabilecek tablolar olan amonyak buharı için doymuş haller tablosu ve kızgın buhar fazındaki amonyak buharının özeliklerini veren tabloların yanında amonyak-su eriyiğinin antalpi-konsantrasyon ( $h-x$ ) ( $i-w$ ) diyagramı yeterli olacaktır.

Hesabın daha iyi anlaşılmasına açısından çözüm sayısal olarak yapılmıştır. Kabul edilen değerler aşağıda verilmüştür;

Kaynatıcı sıcaklığı .....  $T_k = 100 ^\circ C$

Buharlaştırıcı sıcaklığı ...  $T_b = 10 ^\circ C$

Yogosturucu sıcaklığı .....  $T_y = 40 ^\circ C$

Absorber sıcaklığı .....  $T_a = T_y = 40 ^\circ C$  (Kabul no:13)

##### 2. 1. 2' de belirtilen kabüller ısığında;

Cevrim üst basıncı hesabı;

$T_y = 40 ^\circ C$  kabül no 2' den  $T_y$ ' ye karşılık gelen doyma basıncı  $P_y$ , amonyak buharı doymuş haller tablosundan,

$P_y = P_{üst} = 1554.33 \text{ kPa}$  ( Ek2 Tablo 3' den )

Cevrim alt basıncı hesabı;

$T_b = 10 ^\circ C$  kabul no 3' den  $T_b$ ' ye karşılık gelen doyma basıncı  $P_b$ , amonyak buharı doymuş haller tablosundan,

$P_b = P_{alt} = 614.95 \text{ kPa}$  ( Ek2 Tablo 3' den )

##### 1. nokta ( Yogosturucu giriş ) ( Kaynatıcı çıkış )

$T_1 = T_k = 100 ^\circ C$  } Amonyak kızgın buhar tablosundan  
 $P_1 = P_{üst} = 1554.33 \text{ kPa}$  } Ek2 Tablo 4'den  $h_1 = 1647.89 \text{ kJ/kg}$

##### 2. nokta ( Yogosturucu çıkış ) ( KV giriş )

$T_2 = T_y = 40 ^\circ C$  } Amonyak doymuş haller tablosundan  
 $P_2 = P_{üst} = 1554.33 \text{ kPa}$  }  $h_2 = h_s = 371.7 \text{ kJ / kg}$   
 $x_2 = 0.0$

3. nokta ( Kisılma vanası çıkışı ) (Buharlaştırıcı girişi)

$$T_3 = T_b = 10 \text{ } ^\circ\text{C} \quad , \quad \text{Kisılma vanasında antalpi sabit}$$
$$P_3 = P_{\text{alt}} = 614.95 \text{ kPa} \quad h_3 = h_2 = 371.7 \text{ kJ / kg}$$

4. nokta ( Buharlaştırıcı çıkışı )

$$T_4 = T_b = 10 \text{ } ^\circ\text{C} \quad , \quad \text{Amonyak doymuş haller tablosundan}$$
$$P_4 = P_{\text{alt}} = 614.95 \text{ kPa} \quad h_4 = h_b = 1453.3 \text{ kJ / kg}$$
$$x_4 = 1.0$$

5. nokta ( Absorber çıkışı ) ( Pompa girişi )

$$T_5 = T_a = 40 \text{ } ^\circ\text{C} \quad , \quad \begin{array}{l} \text{Ek2 Diyagram 3' den } x_5 = 0.55 \\ \text{Ek2 Diyagram 4' den } h_5 = 27.3 \text{ kcal / kg} = 114.3 \text{ kJ / kg} \end{array}$$
$$P_5 = P_{\text{alt}} = 614.95 \text{ kPa}$$

6. nokta ( Pompa çıkışı ) ( Eşanjör çıkışı )

$$T_6 = T_5 = 40 \text{ } ^\circ\text{C}$$
$$P_6 = P_{\text{üst}} = 1554.33 \text{ kPa}$$
$$x_6 = x_5 = 0.55$$
$$h_6 = h_5 = 114.3 \text{ kJ / kg}$$

8. nokta ( Kaynatıcı çıkışı ) ( Eşanjör girişi )

$$T_8 = T_k = 100 \text{ } ^\circ\text{C} \quad , \quad \text{Diyagram 1' den } x_8 = 0.40$$
$$P_8 = P_{\text{üst}} = 1554.33 \text{ kPa} \quad h_8 = 86.4 \text{ kcal / kg} = 361.74 \text{ kJ / kg}$$

9. nokta ( Eşanjör çıkışı ) ( KV girişi )

$$P_9 = P_{\text{üst}} = 1554.33 \text{ kPa}$$

$$\epsilon = \frac{\text{Gerçek ısı geçisi}}{\text{Olabilecek en büyük ısı geçisi}} = \frac{T_{\text{sic}} g - T_{\text{sic}} c}{T_{\text{sic}} g - T_{\text{soğ}} g}$$

$$\epsilon = \frac{h_8 - h_9}{h_8 - h_6}$$

$$h_9 = h_8 - \epsilon(h_8 - h_6)$$

$$\epsilon = 0.6 \text{ kabül edilirse;}$$

$$h_9 = 361.74 - 0.6(361.74 - 114.3) = 213.3 \text{ kJ / kg}$$

$$x_9 = x_8 = 0.40$$

9. noktasının antalpisi ve konsantrasyonu bilindigine göre;

Diyagram 3' den  $T_9 = 68^{\circ}\text{C}$

10. nokta ( KV çıkış ) ( Absorber girişi )

$$T_{10} = T_9 = 68^{\circ}\text{C}$$

$$P_{10} = P_9 = 614.95 \text{ kPa}$$

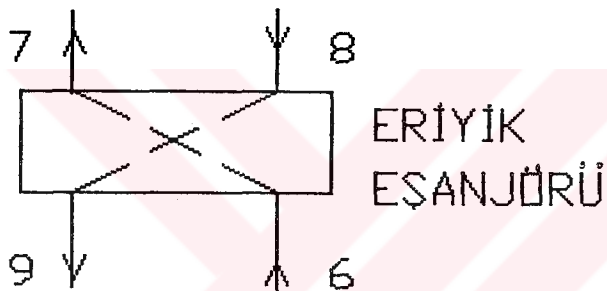
$$h_{10} = h_9 = 213.3 \text{ kJ / kg}$$

$$x_{10} = x_9 = 0.40$$

7. nokta ( Kaynatıcı girişi )

$$P_7 = P_{\text{üst}} = 1554.33 \text{ kJ / kg}$$

$$x_7 = x_6 = 0.55$$



Eşanjör dengesi

$$WF(h_8 - h_9) = WZ(h_7 - h_6)$$

$$h_7 = h_6 + \frac{WF}{WZ} ( h_8 - h_9 )$$

$$WF = \frac{1 - x_7}{x_7 - x_8} = \frac{1 - 0.55}{0.55 - 0.40} = 3$$

$$WZ = \frac{1 - x_8}{x_7 - x_8} = \frac{1 - 0.40}{0.55 - 0.40} = 4$$

$$h_7 = 114.3 + \frac{3}{4}(361.74 - 213.3) = 225.63 \text{ kJ / kg}$$

Eşanjör dengesinden,

$$WZ(T_7 - T_6) = WF(T_8 - T_9)$$

$$T_7 = T_6 + \frac{WF}{WZ}(T_8 - T_9)$$

$$T_7 = 40 + \frac{3}{4}(100 - 68) = 64 \text{ }^{\circ}\text{C}$$

Denklem 2.21 ' den

$$q_{YOG} = h_1 - h_2 = 1647.8 - 371.7 = 1276.19 \text{ kJ / kg}$$

Denklem 2.22 ' den

$$q_{BUH} = h_4 - h_3 = 1453.3 - 371.7 = 1081.6 \text{ kJ / kg}$$

Denklem 2.20 ' den

$$q_{KAY} = h_1 + WF h_8 - WZ h_7$$

$$q_{KAY} = 1647.89 + 3*361.74 - 4*225.63 = 1830.59 \text{ kJ / kg}$$

Denklem 2.23 ' den

$$q_{ABS} = WZ h_5 - WF h_{10} - h_4$$

$$q_{ABS} = 4*114.3 - 3*213.3 - 1453.3 = 1636 \text{ kJ / kg}$$

$$\text{Alınan ısı} = q_{\text{KAY}} + q_{\text{BUH}} = 1830.59 + 1081.6 = 2912.19 \text{ kJ / kg}$$

$$\text{Verilen ısı} = q_{\text{YOG}} + q_{\text{ABS}} = 1276.19 + 1636 = 2912.19 \text{ kJ / kg}$$

$$STK = \frac{q_{\text{BUH}}}{q_{\text{KAY}}} = \frac{1081.6}{1830.59} = 0.591$$

$$ITK = \frac{q_{\text{YOG}} + q_{\text{ABS}}}{q_{\text{KAY}}} = \frac{1276.19 + 1636}{1830.59} = 1.591$$

#### 4. 2 BİLGİSAYAR YARDIMI İLE HESAP YÖNTEMİ

Absorbsiyonlu soğutma sisteminin hesabı için zengin ve fakir eriyik konsantrasyonları ve her noktanın antalpilerinin bilinmesi, ana elemanların boyutlandırılmasına ve dolayısıyla soğutma tesir katsayısunun bulunmasına yeterli olacağı daha önce belirtildi.

Hem kıyas açısından hem de doğruluğun kontrolü açısından aynı sayısal değerler alınarak, yine Şekil 1. 1-b' de gösterilen sistem için hesaplar yapılacaktır.

#### 4. 2. 1 LİTYUM BROMÜR-SU ERYİĞİ KULLANAN ABSORBSİYONLU SOĞUTMA SİSTEMİNİN BİLGİSAYAR YARDIMIYLA HESABI

Hesap için kabul edilen değerler aşağıda verilmistir:

Kaynatıcı sıcaklığı .....  $T_k = 100 ^\circ C$

Buharlaştırıcı sıcaklığı ...  $T_b = 10 ^\circ C$

Yoğuşturucu sıcaklığı .....  $T_y = 40 ^\circ C$

Absorber sıcaklığı .....  $T_a = T_y = 40 ^\circ C$  (Kabul no:13)

2. 1. 2' de belirtilen kabüller ıslığında;

Cevrim Üst basıncı hesabı;

$T_y = 40 ^\circ C$ , kabül no 2' den  $T_y$ ' ye karşılık gelen doyma basıncı  $P_y$ , 3.33 nolu denklemden,

$$TP_1 = [ ( 40 * 1.8 ) + 32 ] = 104 ^\circ F$$

$$TP = 104 + 459.7 = 563.7 ^\circ R$$

$$P = 1.070678 \text{ PSI}$$

$$P_d = 6.89643 * 1.070678 = 7.3838 \text{ kPa}$$

$$P_y = P_{üst} = 7.3838 \text{ kPa}$$

Çevrim alt basıncı hesabı;

$T_b = 10^{\circ}\text{C}$  kabul no 3' den  $T_b'$  ye karşılık gelen doyma basıncı  $P_b$ , 3. 34 nolu denklemden,

$$TP_1 = [ ( 10 * 1.8 ) + 32 ] = 50^{\circ}\text{F}$$

$$TP = 50 + 459.7 = 509.7^{\circ}\text{R}$$

$$P = 0.1779777 \text{ PSI}$$

$$P_d = 6.89643 * 0.1779777 = 1.2274 \text{ kPa}$$

$$P_b = P_{\text{alt}} = 1.2274 \text{ kPa}$$

1. nokta ( Yoğusturucu girişi ) ( Kaynatıcı çıkışı )

$$T_1 = T_k = 100^{\circ}\text{C}$$

$$P_1 = P_{\text{üst}} = 7.3838 \text{ kPa}$$

3. 4 nolu denklemden kızgın buhar fazındaki su buharının antalpisi;

$$THK = ( 100 * 1.8 ) + 32 = 212^{\circ}\text{C}$$

$$h_1 = HK = 2682.012 \text{ kJ / kg}$$

2. nokta ( Yoğusturucu çıkışı ) ( KV girişi )

$$T_2 = T_y = 40^{\circ}\text{C}$$

$$P_2 = P_{\text{üst}} = 7.3838 \text{ kPa}$$

$$x_2 = 0.0$$

3. 36 nolu denklemden doymus sıvı fazındaki suyun antalpisi;

$$THS = ( 40 * 1.8 ) + 32 = 104^{\circ}\text{F}$$

$$h_2 = HS = 167.5976 \text{ kJ / kg}$$

3. nokta ( Kisılma vanası çıkışı )(Buharlaştırıcı girişi)

$$T_3 = T_b = 10^{\circ}\text{C}$$

$$P_3 = P_{\text{alt}} = 1.2274 \text{ kPa}$$

Kisılma vanasında antalpi sabittir,

$$h_3 = h_2 = 167.5976 \text{ kJ / kg}$$

4. nokta ( Buharlaştırıcı çıkışı )

$$T_4 = T_b = 10 \text{ } ^\circ\text{C}$$

$$P_4 = P_{\text{alt}} = 1.2274 \text{ kPa}$$

$$x_4 = 1.0$$

3. 3 nolu denklemden doymuş buhar fazındaki su buharının antalpisi;

$$THB = ( 10 * 1.8 ) + 32 = 50 \text{ } ^\circ\text{F}$$

$$h_4 = HB = 2517.254 \text{ kJ / kg}$$

5. nokta ( Absorber çıkışı ) ( Pompa girişi )

$$T_5 = T_a = 40 \text{ } ^\circ\text{C}$$

$$P_5 = P_{\text{alt}} = 1.2274 \text{ kPa}$$

3. 6 nolu denklem yardımıyla eriyik konsantrasyonunu bulabiliyoruz. Bu denklemde konsantrasyon ( $X$ ), direkt olarak eşitliğin diğer tarafına kolayca çekilemediğinden çeşitli  $X$  değerlerine karşılık gelen eriyik sıcaklığıyla yapılan kıyas sonucunda (ki bu bilgisayarda çok kolaydır) aranılan  $X$  değeri kolayca bulunur.

$$TE = T_5 = 40 \text{ } ^\circ\text{C}$$

TAK =  $T_b = 10 \text{ } ^\circ\text{C}$  olmak üzere denklemi sağlayan  $X$  değeri,

$x_5 = 55$  olarak bulunur.

3. 7 nolu denklem yardımıyla 5 noktasının antalpisini bulabiliyoruz,

$$TH = ( 40 * 1.8 ) + 32 = 104 \text{ } ^\circ\text{C}$$

$$h_5 = H = 93.7 \text{ kJ / kg}$$

6. nokta ( Pompa çıkışı ) ( Eşanjör çıkışı )

$$T_6 = T_5 = 40 \text{ } ^\circ\text{C}$$

$$P_6 = P_{\text{üst}} = 7.3838 \text{ kPa}$$

$$x_6 = x_5 = 0.55$$

$$h_6 = h_5 = 93.7 \text{ kJ / kg}$$

8. nokta ( Kaynatıcı çıkış ) ( Eşanjör girişi )

$$T_8 = T_k = 100 \text{ } ^\circ\text{C}$$

$$P_8 = P_{üst} = 7.3838 \text{ kPa}$$

Basınç ve sıcaklık belli olduğuna göre 3. 6 nolu denklem yardımıyla eriyik konsantrasyonu,

$$X_8 = 66 \text{ olarak bulunur.}$$

Yine 3. 7 nolu denklem yardımıyla bu noktanın antalpisi de  $h_8 = H = 258.4554 \text{ kJ / kg}$  bulunur.

9. nokta ( Eşanjör çıkış ) ( KV girişi )

$$P_9 = P_{üst} = 7.3838 \text{ kPa}$$

$$\epsilon = \frac{\text{Gerçek ısı geçisi}}{\text{Olabilecek en büyük ısı geçisi}} = \frac{T_{sic\ g} - T_{sic\ c}}{T_{sic\ g} - T_{soğ\ g}}$$

$$\epsilon = \frac{h_9 - h_8}{h_8 - h_6}$$

$$h_9 = h_8 - \epsilon(h_8 - h_6)$$

$\epsilon = 0.6$  kabül edilirse;

$$h_9 = 258.4554 - 0.6(258.4554 - 93.7) = 159.6 \text{ kJ / kg}$$

$$X_9 = X_8 = 0.66$$

9 noktasının basıncı, antalpisi ve konsantrasyonu bilindiğine göre 3. 7 nolu denklemden;

$$T_9 = 44 \text{ } ^\circ\text{C} \text{ bulunur.}$$

10. nokta ( KV çıkış ) ( Absorber girişi )

$$T_{10} = T_9 = 44 \text{ } ^\circ\text{C}$$

$$P_{10} = P_9 = 1.2274 \text{ kPa}$$

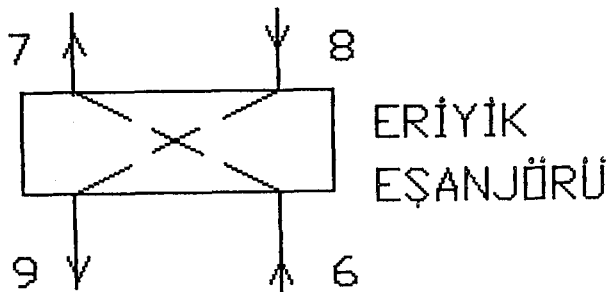
$$h_{10} = h_9 = 159.6 \text{ kJ / kg}$$

$$X_{10} = X_9 = 0.66$$

7. nokta ( Kaynatıcı girişi )

$$P_7 = P_{üst} = 7.3838 \text{ kJ / kg}$$

$$x_7 = x_6 = 0.55$$



Eşanjör dengesi

$$WZ(h_8 - h_9) = WF(h_7 - h_6)$$

$$h_7 = h_6 + \frac{WZ}{WF}(h_8 - h_9)$$

$$WZ = \frac{x_7}{x_8 - x_7} = \frac{0.55}{0.66 - 0.55} = 5$$

$$WF = \frac{x_8}{x_8 - x_7} = \frac{0.66}{0.66 - 0.55} = 6$$

$$h_7 = 93.7 + \frac{5}{6}(258.4544 - 159.6) = 176 \text{ kJ / kg}$$

3. 7' den  $T_7 = 75^{\circ}\text{C}$  olarak bulunur.

Denklem 2.16' dan

$$q_{YOG} = h_1 - h_2 = 2688.012 - 167.5976 = 2514.414 \text{ kJ / kg}$$

Denklem 2.17' den

$$q_{\text{BUH}} = h_4 - h_3 = 2517.254 - 167.5976 = 2349.656 \text{ kJ / kg}$$

Denklem 2.15' den

$$q_{\text{KAY}} = h_1 + WZ h_8 - WF h_7$$

$$q_{\text{KAY}} = 2682.012 + 5*258.4544 - 6*176.077 = 2917.818 \text{ kJ / kg}$$

Denklem 2.18' den

$$q_{\text{ABS}} = WF h_5 - WZ h_{10} - h_4$$

$$q_{\text{ABS}} = 5*93.7 - 4*159.6 - 2517.254 = 2753.059 \text{ kJ / kg}$$

$$\text{Alınan ısı} = q_{\text{KAY}} + q_{\text{BUH}} = 2917.818 + 2349.656 = 5267.474 \text{ kJ / kg}$$

$$\text{Verilen ısı} = q_{\text{YOG}} + q_{\text{ABS}} = 2514.414 + 2753.059 = 5267.473 \text{ kJ / kg}$$

$$\text{STK} = \frac{q_{\text{BUH}}}{q_{\text{KAY}}} = \frac{2349.656}{2917.818} = 0.805$$

$$\text{ITK} = \frac{q_{\text{YOG}} + q_{\text{ABS}}}{q_{\text{KAY}}} = \frac{2514.414 + 2753.059}{2917.818} = 1.805$$

#### 4. 1. 2 AMONYAK-SU ERIYİĞİ KULLANAN ABSORBSİYONLU SOĞUTMA SİSTEMİNİN BİLGİSAYAR YARDIMIYLA HESABI

Hesap için kabul edilen değerler aşağıda verilmiştir;

Kaynاتıcı sıcaklığı .....  $T_k = 100^\circ\text{C}$

Buharlaştırıcı sıcaklığı ...  $T_b = 10^\circ\text{C}$

Yoğusturucu sıcaklığı .....  $T_y = 40^\circ\text{C}$

Absorber sıcaklığı .....  $T_a = T_y = 40^\circ\text{C}$  (Kabul no:13)

2. 1. 2' de belirtilen kabüller ısılığında;

Cevrim üst basıncı hesabı;

$T_y = 40^\circ\text{C}$ , kabül no 2' den  $T_y$ ' ye karşılık gelen doyma basıncı  $P_y$ , 3.33 nolu denklemden,

$$TP_1 = [ ( 40 * 1.8 ) + 32 ] = 104 \text{ } ^\circ\text{F}$$

$$TP = 104 + 459.7 = 563.7 \text{ } ^\circ\text{R}$$

$$P = 225.307 \text{ PSI}$$

$$P_d = 6.89643 * 225.307 = 1553.815 \text{ kPa}$$

$$P_y = P_{üst} = 1553.815 \text{ kPa}$$

Cevrim alt basinci hesabi;

$T_b = 10 \text{ } ^\circ\text{C}$  kabul no 3' den  $T_b'$  ye karşılık gelen doyma basinci  $P_b$ , 3. 34 nolu denklemden,

$$TP_1 = [ ( 10 * 1.8 ) + 32 ] = 50 \text{ } ^\circ\text{F}$$

$$TP = 50 + 459.7 = 509.7 \text{ } ^\circ\text{R}$$

$$P = 89.16883083 \text{ PSI}$$

$$P_d = 6.89643 * 89.16883083 = 614.9466 \text{ kPa}$$

$$P_b = P_{alt} = 614.9466 \text{ kPa}$$

1. nokta ( Yoğuturucu girişi ) ( Kaynatıcı çıkışı )

$$T_1 = T_k = 100 \text{ } ^\circ\text{C}$$

$$P_1 = P_{üst} = 1553.815 \text{ kPa}$$

3. 35 nolu denklemden kızgın buhar fazındaki su buharının antalpisi;

$$THK = ( 100 * 1.8 ) + 32 = 212 \text{ } ^\circ\text{C}$$

$$h_1 = HK = 1646.23 \text{ kJ / kg}$$

2. nokta ( Yoğuturucu çıkışı ) ( KV girişi )

$$T_2 = T_y = 40 \text{ } ^\circ\text{C}$$

$$P_2 = P_{üst} = 1553.815 \text{ kPa}$$

$$x_2 = 0.0$$

3. 36 nolu denklemden doymus sıvı fazındaki suyun antalpisi;

$$THS = ( 40 * 1.8 ) + 32 = 104 \text{ } ^\circ\text{F}$$

$$h_2 = HS = 367.1 \text{ kJ / kg}$$

3. nokta ( Kisılma vanası çıkışı ) (Buharlaştırıcı girişi)

$$T_3 = T_b = 10 \text{ } ^\circ\text{C}$$

$$P_3 = P_{alt} = 614.9466 \text{ kPa}$$

Kisılma vanasında antalpi sabittir,

$$h_3 = h_2 = 367.1 \text{ kJ / kg}$$

4. nokta ( Buharlaştırıcı çıkışı )

$$T_4 = T_b = 10 \text{ } ^\circ\text{C}$$

$$P_4 = P_{alt} = 614.9466 \text{ kPa}$$

$$x_4 = 1.0$$

3. 36 nolu denklemden doymuş buhar fazındaki su buharının antalpisi;

$$THB = ( 10 * 1.8 ) + 32 = 50 \text{ } ^\circ\text{F}$$

$$h_4 = HB = 1453.3 \text{ kJ / kg}$$

5. nokta ( Absorber çıkışı ) ( Pompa girişi )

$$T_5 = T_a = 40 \text{ } ^\circ\text{C}$$

$$P_5 = P_{alt} = 614.9466 \text{ kPa}$$

3. 37 nolu denklem yardımıyla eriyik konsantrasyonunu bulabiliyoruz. Bu denklemde konsantrasyon (X), direkt olarak eşitliğin diğer tarafına kolayca çekilemediğinden çeşitli X değerlerine karşılık gelen eriyik sıcaklığıyla yapılan kıyas sonucunda (ki bu bilgisayarda çok kolaydır) aranılan X değeri kolayca bulunur.

$$TE = T_5 = 40 \text{ } ^\circ\text{C}$$

TAK =  $T_b = 10 \text{ } ^\circ\text{C}$  olmak üzere denklemi sağlayan X değeri,

$x_5 = 55$  olarak bulunur.

3. 39 nolu denklem yardımıyla 5 noktasının antalpisini bulabiliyoruz,

$$TH = ( 40 * 1.8 ) + 32 = 104 \text{ } ^\circ\text{C}$$

$$h_5 = H = 117 \text{ kJ / kg}$$

6. nokta ( Pompa çıkışı ) ( Eşanjör Çıkışı )

$$T_6 = T_5 = 40 \text{ } ^\circ\text{C}$$

$$P_6 = P_{üst} = 1553.815 \text{ kPa}$$

$$X_6 = X_5 = 0.55$$

$$h_6 = h_5 = 117 \text{ kJ / kg}$$

8. nokta ( Kaynatıcı çıkışı ) ( Eşanjör girişi )

$$T_8 = T_k = 100 \text{ } ^\circ\text{C}$$

$$P_8 = P_{üst} = 1553.815 \text{ kPa}$$

Basınç ve sıcaklık belli olduğuna göre 3. 37 nolu denklem yardımıyla eriyik konsantrasyonu,

$$X_8 = 40 \text{ olarak bulunur.}$$

Yine 3. 39 nolu denklem yardımıyla bu noktanın antalpisi de

$$h_8 = H = 371 \text{ kJ / kg bulunur.}$$

9. nokta ( Eşanjör çıkışı ) ( KV girişi )

$$P_9 = P_{üst} = 1553.815 \text{ kPa}$$

$$\epsilon = \frac{\text{Gerçek ısı geçisi}}{\text{Olabilecek en büyük ısı geçisi}} = \frac{T_{SICg} - T_{SICc}}{T_{SICg} - T_{Sogg}}$$

$$\epsilon = \frac{h_8 - h_9}{h_8 - h_6}$$

$$h_9 = h_8 - \epsilon(h_8 - h_6)$$

$\epsilon = 0.6$  kabül edilirse;

$$h_9 = 371 - 0.6(371 - 117) = 218.6 \text{ kJ / kg}$$

$$X_9 = X_8 = 0.40$$

9. noktasının basıncı, antalpisi ve konsantrasyonu bilindiğine göre 3. 37 nolu denklemden;

$$T_9 = 38 \text{ } ^\circ\text{C bulunur.}$$

10. nokta ( KV çıkışı ) ( Absorber girişi )

$$T_{10} = T_9 = 38 \text{ } ^\circ\text{C}$$

$$P_{10} = P_9 = 614.9466 \text{ kPa}$$

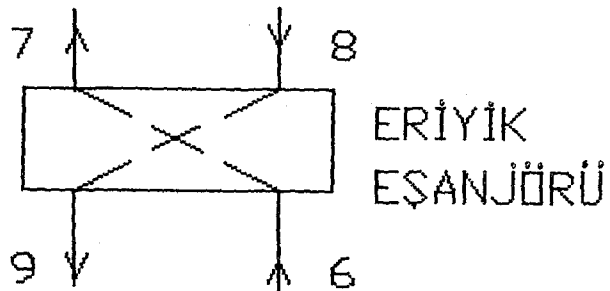
$$h_{10} = h_9 = 218.6 \text{ kJ / kg}$$

$$X_{10} = X_9 = 0.40$$

7. nokta ( Kaynaticı girişi )

$$P_7 = P_{\text{üst}} = 1553.815 \text{ kJ / kg}$$

$$x_7 = x_6 = 0.55$$



Eşanjör dengesi

$$WF(h_8 - h_9) = WZ(h_7 - h_6)$$

$$h_7 = h_6 + \frac{WF}{WZ} (h_8 - h_9)$$

$$WF = \frac{1 - x_7}{x_7 - x_8} = \frac{1 - 0.55}{0.55 - 0.40} = 3$$

$$WZ = \frac{1 - x_8}{x_7 - x_8} = \frac{1 - 0.40}{0.55 - 0.40} = 4$$

$$h_7 = 117 + \frac{3}{4} (371 - 218.6) = 231.3 \text{ kJ / kg}$$

Eşanjör dengesinden,

$$WZ(T_7 - T_6) = WF(T_8 - T_9)$$

$$T_7 = T_6 + \frac{WF}{WZ} (T_8 - T_9)$$

$$T_7 = 40 + \frac{3}{4}(100 - 68) = 64 \text{ } ^\circ\text{C}$$

Denklem 2.21 ' den

$$q_{YOG} = h_1 - h_2 = 1646.23 - 367.1 = 1279.13 \text{ kJ / kg}$$

Denklem 2.22 ' den

$$q_{BUH} = h_4 - h_3 = 1453.3 - 367.1 = 1086.2 \text{ kJ / kg}$$

Denklem 2.20 ' den

$$q_{KAY} = h_1 + WF \cdot h_8 - WZ \cdot h_7$$

$$q_{KAY} = 1646.23 + 3 \cdot 371 - 4 \cdot 231.3 = 1834.03 \text{ kJ / kg}$$

Denklem 2.23 ' den

$$q_{ABS} = WZ \cdot h_5 - WF \cdot h_{10} - h_4$$

$$q_{ABS} = 4 \cdot 117 - 3 \cdot 218.6 - 1453.3 = 1641.1 \text{ kJ / kg}$$

$$\text{Alinan isi} = q_{KAY} + q_{BUH} = 1834.03 + 1086.2 = 2912.19 \text{ kJ / kg}$$

$$\text{Verilen isi} = q_{YOG} + q_{ABS} = 1279.13 + 1641.1 = 2912.19 \text{ kJ / kg}$$

$$STK = \frac{q_{BUH}}{q_{KAY}} = \frac{1086.2}{1834.03} = 0.5922$$

$$ITK = \frac{q_{YOG} + q_{ABS}}{q_{KAY}} = \frac{1279.13 + 1641.1}{1834.03} = 1.5922$$

## 5. BÖLÜM

### S O N U C   V E   İ R D E L E M E

Bu bölümde sunulan bütün grafikler Ek 3' de sunulan bilgisayar programı yardımıyla çizilmiştir.

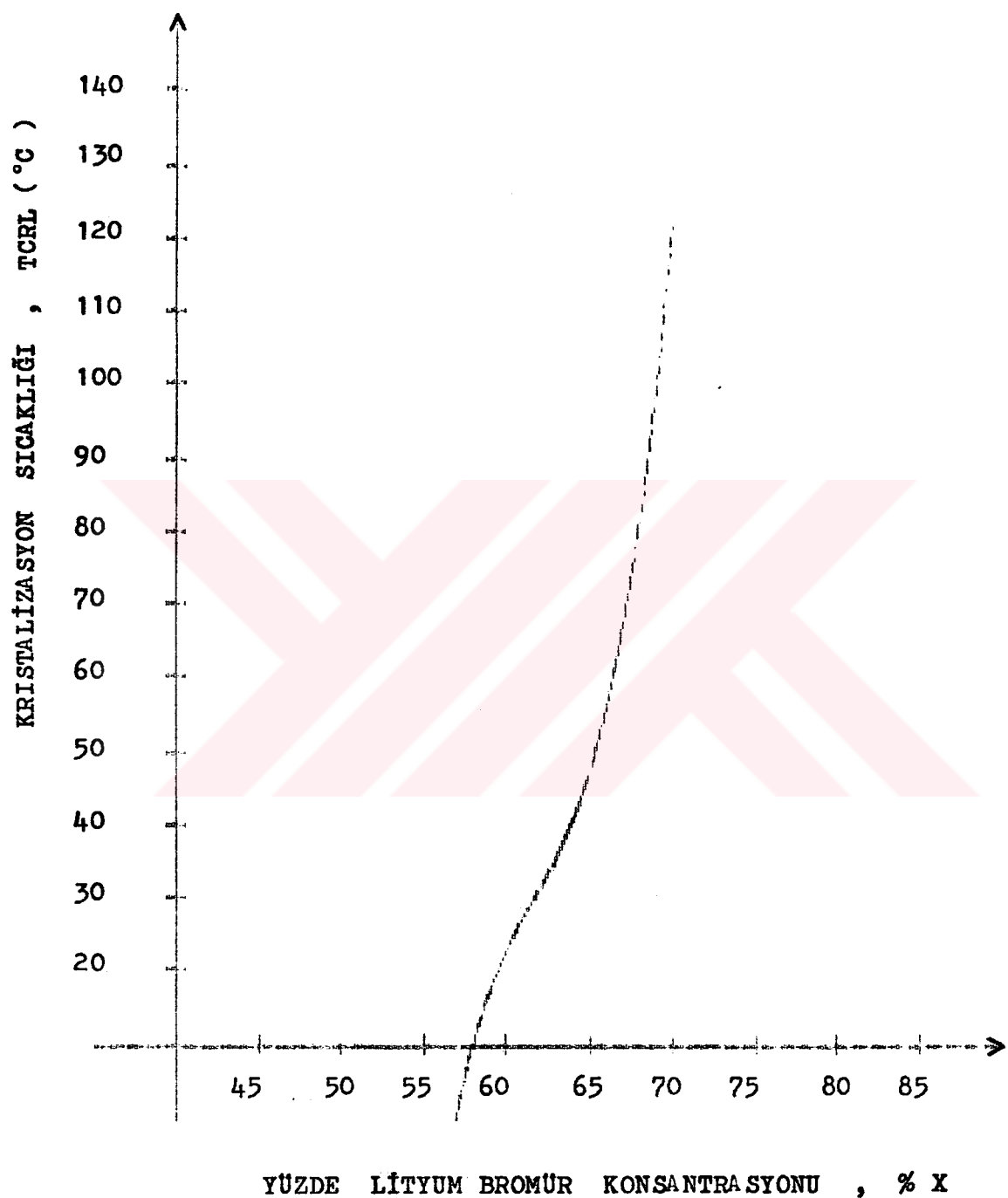
Lityum bromür katı haldeyken kristal yapıya sahiptir. Tuzların çoğu gibi Lityum bromür'de suda çözülebilir. Lityum bromürün su ile yaptığı çözeltinin belirli bir konsantrasyon değerinde belirli bir minimum çözelti sıcaklığı vardır. Bu minimum sıcaklığın altında tuz çözeltiden ayrılmaya başlar. Yani katı hale gelmeye başlar, kristalleşme olur.

Şekil 5. 1' de kristalleşme sıcaklığının konsantrasyona bağlı olarak değişimi grafik halinde verilmiştir. 3. 5 nolu denklemden de görüleceği üzere Lityum bromür-su eriyiğinin kristalizasyon sıcaklığı sadece Lityum bromür konsantrasyonuna bağlıdır. Şekil 5. 1' den de görüldüğü gibi Lityum bromür konsantrasyonu arttıkça, kristalizasyon sıcaklığı artmaktadır.

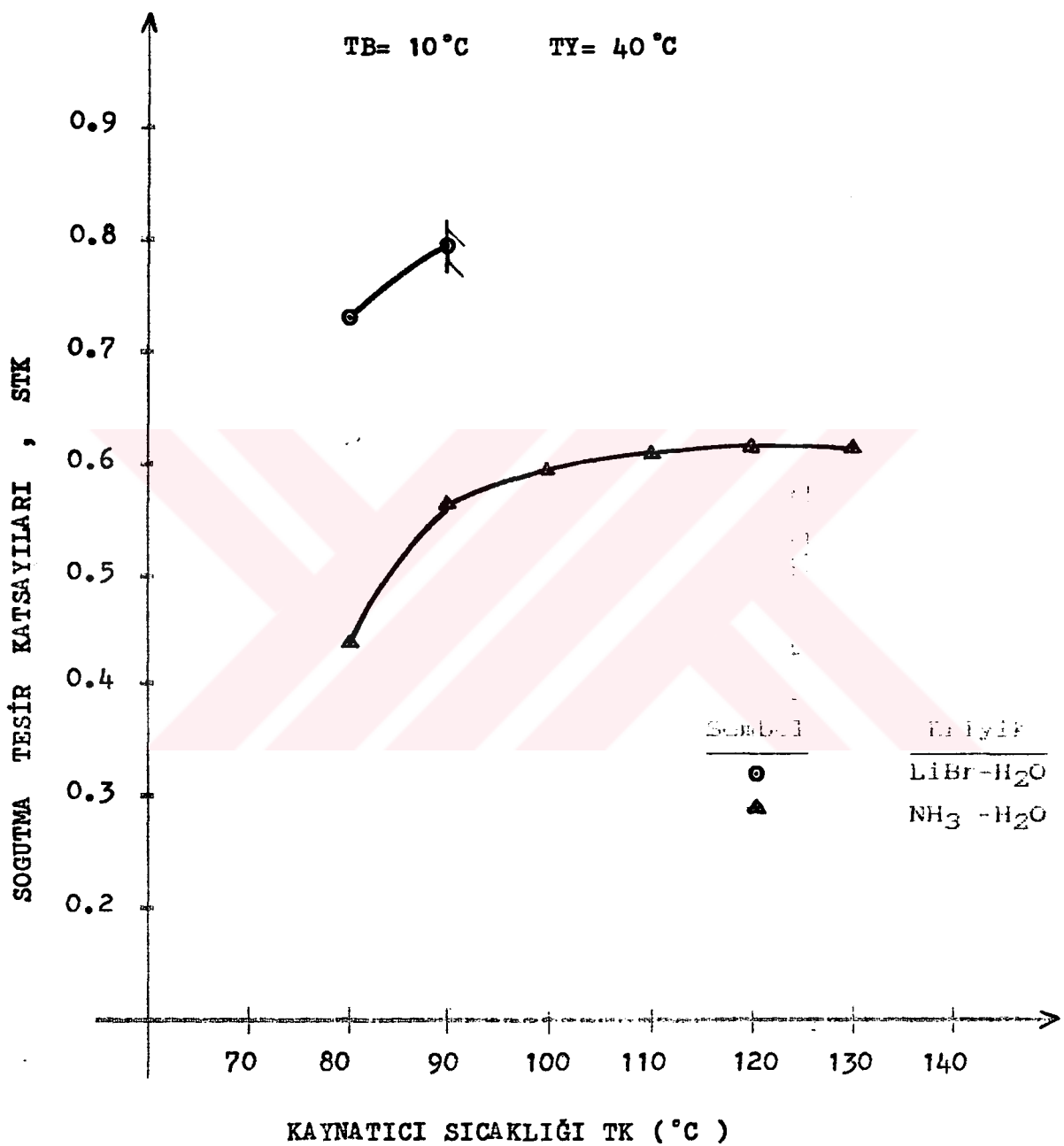
Şekil 5. 2' de yoğunstırucu ve buharlaştırıcı sıcaklığı sabit olmak üzere soğutma tesir katsayılarının kaynatıcı sıcaklığına bağlı değişimleri görülmektedir. Buharlaştırıcı ve absorber sıcaklıklarının sabit olması sebebiyle, fakir eriyiğin konsantrasyon değeride sabit kalacaktır. Yoğunstırucu sıcaklığının sabit tutulup kaynatıcı sıcaklığının artırılması, kaynatıcıdan过分 zengin eriyiğin konsantrasyonundaki bu değişim dolasım oranına etkiyecek, dolasım oranının azalmasına sebep olacaktır. Dolasım oranının azalmasıyla soğutma tesir katsayısı artacaktır. Şekil 5. 2' den de görüleceği gibi Lityum bromür-su eriyiği kullanan absorpsiyonlu soğutma sisteminin soğutma tesir katsayısı, amonyak-su eriyiği kullanan absorpsiyonlu soğutma sisteminin soğutma tesir

katsayılarından daha büyüktür. Lityum bromür-su eriyikli sistemin soğutma tesir katsayısının fazla olması iyi bir avantaj olmasına rağmen sekilden de görüldüğü gibi alt ve üst sınırlar arasında çalışır. Bu sınırlamayı kristalizasyon tehlikesi oluşturur. Bunun yanında amonyak-su eriyikli sistemin soğutma tesir katsayısı düşüktür fakat sınırlayıcı etkeni yoktur.

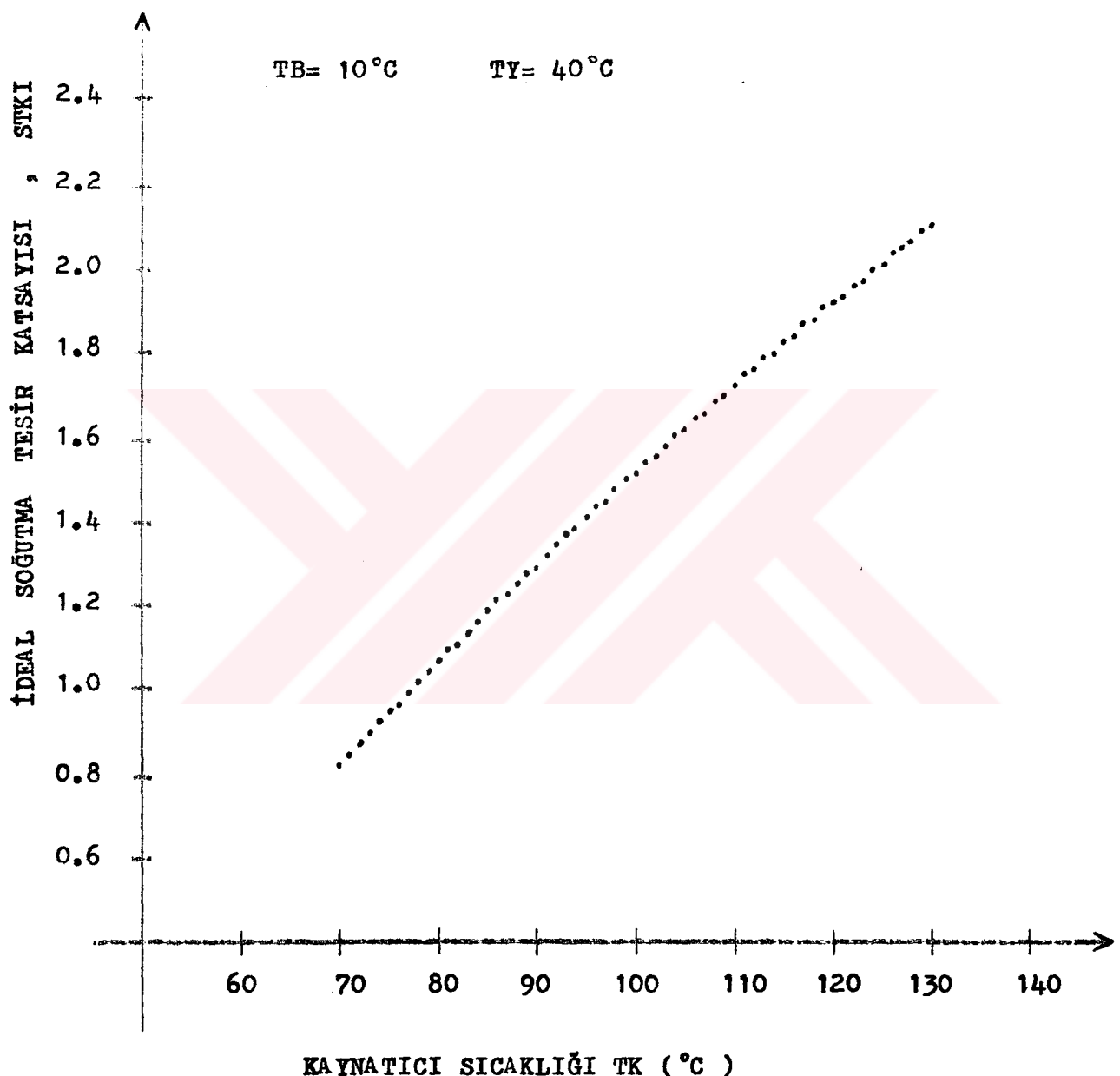
Sekil 5. 3' de yoğunluk ve buharlastırıcı sıcaklıklarını sabit olmak üzere ideal soğutma tesir katsayısının kaynatıcı sıcaklığına bağlı değişimi görülmektedir. 2. 11 nolu denklemden de görüldüğü gibi ideal soğutma tesir katsayısı direkt olarak kaynatıcı, yoğunluk ve buharlastırıcı sıcaklıklarına bağlıdır. Kaynatıcı sıcaklığı arttıkça ideal soğutma tesir katsayıısında lineer olarak artmaktadır. Bu denklemdeki sıcaklıkların K cinsinden olduğu unutulmamalıdır.



Sekil 5. 1. Lityum bromür-su eriyiginin kristalizasyon sıcaklığının, lityum bromür konsantrasyonuna bağlı diyagramı



Sekil 5. 2. Yoğusturucu ve buharlaştırıcı sıcaklığı sabit olmak üzere soğutma tesir katsayılarının, kaynatıcı sıcaklığına bağlı değişimleri



Sekil 5. 3. Yoğusturucu ve buharlaştırıcı sıcaklıkları sabit olmak üzere ideal soğutma tesir katsayısının, kaynاتıcı sıcaklığına bağlı değişimi

Sekil 5. 4' de buharlaştırıcı ve kaynatıcı sıcaklığı sabit olmak üzere soğutma tesir katsayılarının yoğunsturucu sıcaklığına bağlı olarak değişimleri görülmektedir. Yoğunsturucu sıcaklığının, absorber sıcaklığına eşit olduğu unutulmamalıdır. Sekil 5. 4 düşük yoğunsturucu sıcaklıklarında soğutma tesir katsayılarının maksimum değerlerini aldığı ve yoğunsturucu sıcaklığı arttıkça soğutma tesir katsayılarının soğutma tesir katsayılarının azaldığı görülmektedir.

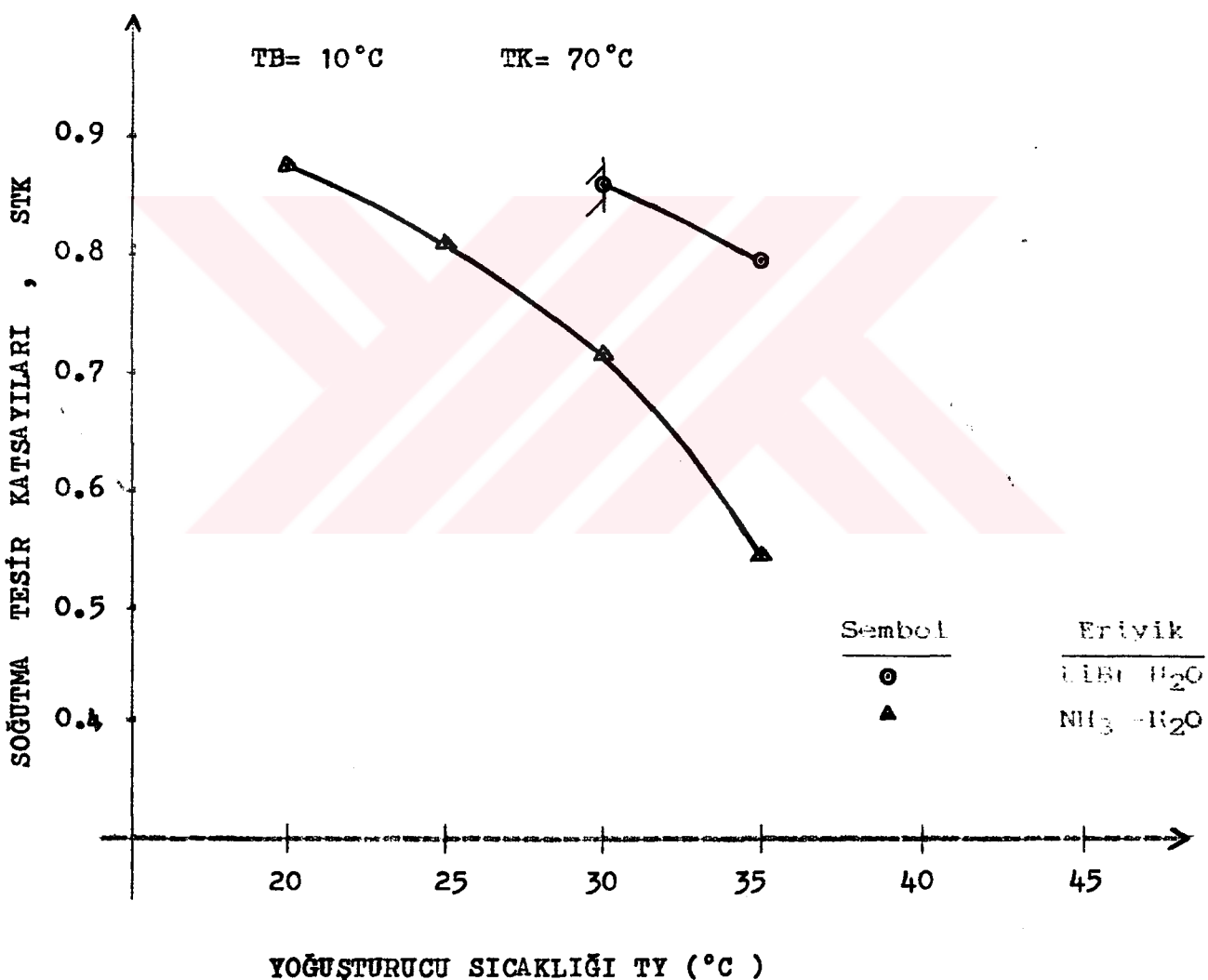
Yoğunsturucu sıcaklığının, kaynatıcı sıcaklığına yaklaşma derecesine göre soğutma tesir katsayılarının azaldığı görülmüş olup, bu duruma müsade edilmemesi gereği anlaşılmıştır. Lityum bromür-su eriyiği kullanan sistemin daha avantajlı olduğu, fakat kritalizasyon tehlikesi sebebiyle alt ve üst sınırlar arasında çalıştığı gözlenmiştir. Sınırlayıcı etkenin olmadığı amonyak-su eriyikli sistemin soğutma tesir katsayısının daha düşük olduğu görülmüştür.

Buharlaştırıcı sıcaklığının sabit olması nedeniyle çevrim alt basıncı değeri sabit bir değerde durmaktadır. Oysa yoğunsturucu sıcaklığının artması üst basıncı değerini gittikçe yükseltmektedir. Bu iki basıncı seviyesi arasındaki fark büyündüğünden Buhar Sıkıştırmalı Mekanik Soğutma Sistemindeki kompresör sıkıştırma ısı artmaktadır. Absorbsiyonlu Soğutma Sisteminde, de aynı görevi görmekte olan kaynatıcı ve absorberin ıslı kapasiteleri artmakta olduğundan, soğutma tesir katsayısı azalmaktadır.

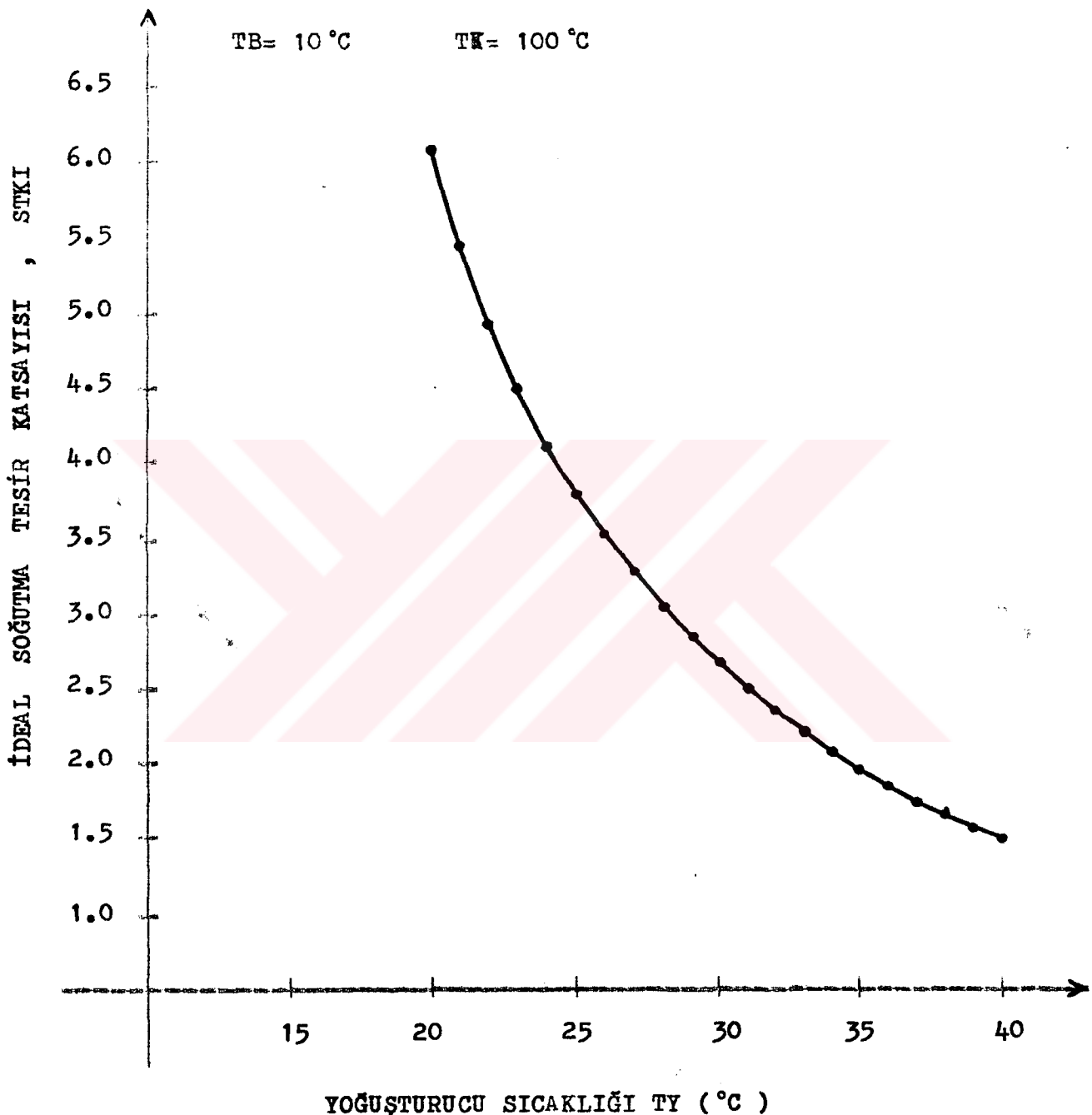
Sekil 5. 5' de buharlaştırıcı ve kaynatıcı sıcaklıklar sabit olmak üzere ideal soğutma tesir katsayısının yoğunsturucu sıcaklığına bağlı olarak değişimini görülmektedir. Yoğunsturucu sıcaklığı arttıkça ideal soğutma tesir katsayısının azaldığı gözlenmektedir.

Yoğunsturucu sıcaklığı sabit tutulup, kaynatıcı sıcaklığı artırıldığında soğutma tesir katsayılarının arttığı, fakat çok yüksek kaynatıcı sıcaklıklarında soğutma tesir katsayılarının azaldıkları görülmüştür. Bu durumu düzeltmek için yoğunsturucu

sıcaklığı ile kaynاتıcı sıcaklığı arasındaki optimum çalışma aralığını seçmek gereklidir. Yoğuturucu sıcaklığının azalmasıyla soğutma tesir katsayılarının arttığı, fakat bu seferde çevrimin üst basınc değerinin azalması ve buna bağlı olarak soğutma gücünün azaldığı görülür.



Sekil 5. 4 Buharlaştırıcı ve kaynaticı sıcaklığı sabit olmak üzere soğutma tesir katsayılarının, yoğusturucu sıcaklığına bağlı olarak değişimleri

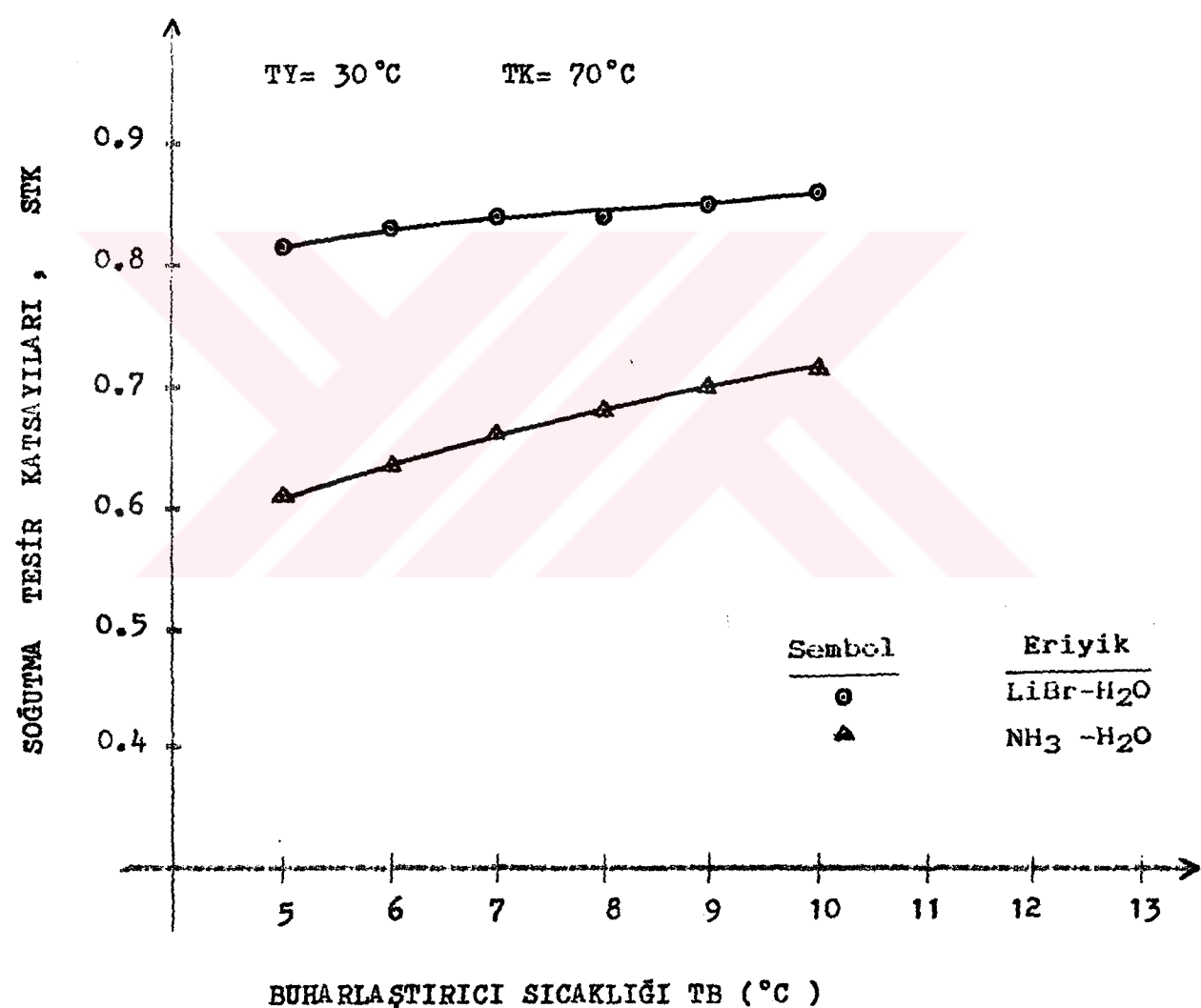


Sekil 5. 5 Buharlaştırıcı ve kaynatıcı sıcaklıklarını sabit  
olmak üzere ideal soğutma tesir katsayısının,  
yoğusturucu sıcaklığına bağlı olarak değişimi

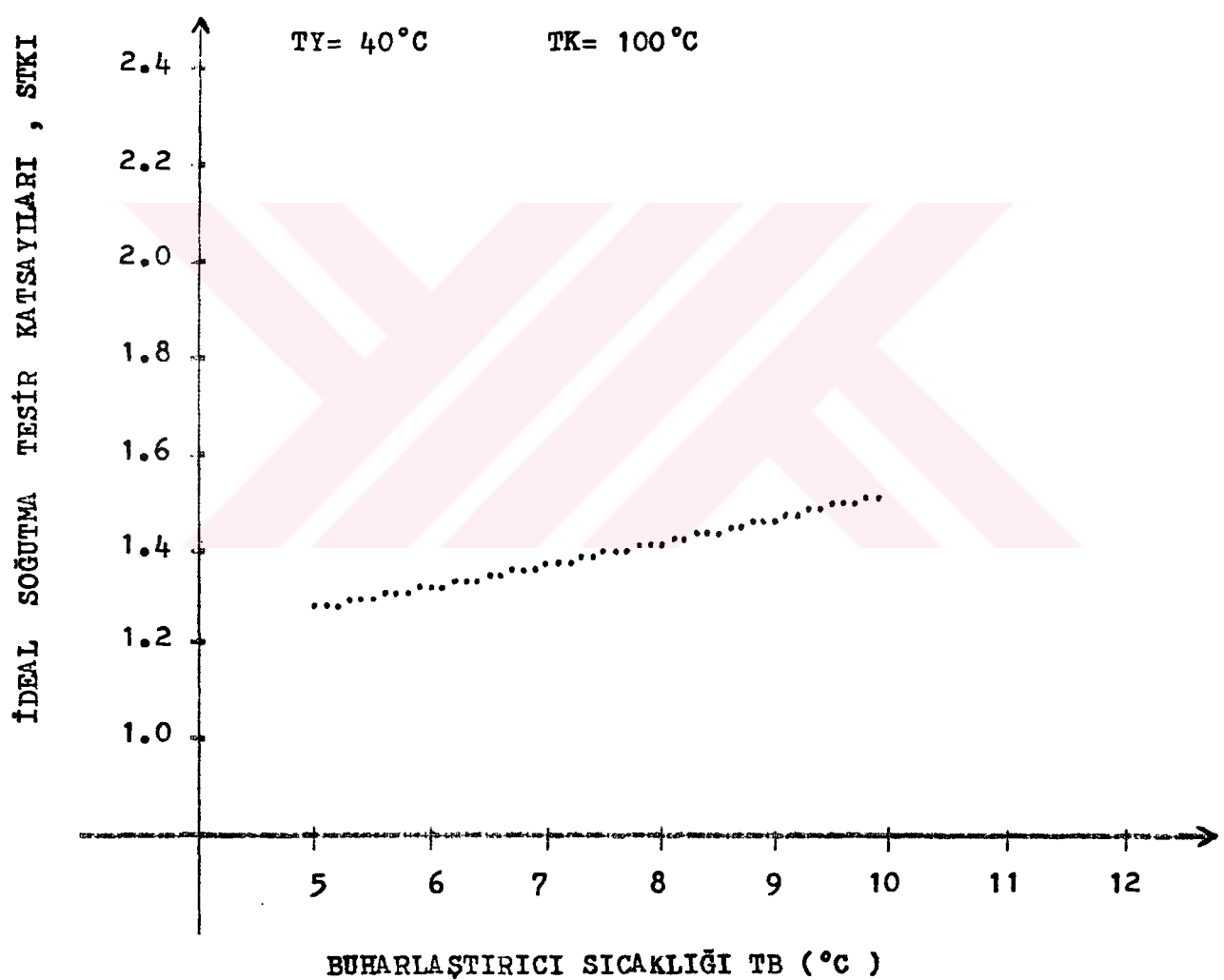
Sekil 5. 6' da yoğundurucu ve kaynatıcı sıcaklıkları sabit olmak üzere soğutma tesir katsayılarının buharlaştırıcı sıcaklığına bağlı olarak değişimleri görülmektedir.

Sekil 5. 6' dan da görüldüğü gibi buharlaştırıcı sıcaklığı arttıkça soğutma tesir katsayıları artmaktadır. Buharlaştırıcı sıcaklığı arttıkça buharlaşma gizli ısısı artmakta olduğundan 2. 19 nolu denklemden de görüleceği üzere soğutma tesir katsayıları artar. Lityum bromür-su eriyiği kullanan sistemin soğutma tesir katsayısı büyük olmasına rağmen, alttan soğutucu akışkanın su olmasından dolayı donma tehlikesi yüzünden bir alt sınır, üstte ise kristalizasyon tehlikesi yüzünden bir üst sınır söz konusudur. Sınırlayıcı etkeni olmayan amonyak-su eriyiği kullanan absorbsiyonlu soğutma sisteminin soğutma tesir katsayısı Lityum bromür-su eriyiği kullanan sisteme göre düşüktür.

Sekil 5. 7' de yoğundurucu ve kaynatıcı sıcaklığı sabit olmak üzere ideal soğutma tesir katsayısının buharlaştırıcı sıcaklığına bağlı değişimini görülmektedir. Sekil 5. 7' den de görüldüğü gibi yoğundurucu ve kaynatıcı sabit tutulup, buharlaştırıcı sıcaklığı artırıldığında ideal soğutma tesir katsayısı artar. Fakat bu artış yoğundurucu sıcaklığının artısına karşılık ideal soğutma tesir katsayısının artışı kadar fazla değildir.



Sekil 5. 6 Yoğunurucu ve kaynatıcı sıcaklıklarını sabit olmak üzere soğutma tesir katsayılarının, buharlastırıcı sıcaklığına bağlı olarak değişimleri



Sekil 5. 7 Yoğuturucu ve kaynatıcı sıcaklığı sabit  
olmak üzere ideal soğutma tesir katsayısının,  
buharlaştırıcı sıcaklığına bağlı değişimi

Sekil 5. 8' de yoğunsturucu, buharlastırıcı ve kaynatıcı sıcaklıkları sabit olmak üzere soğutma tesir katsayılarının, eriyik eşanjörü etkenliğine göre değişimini görmektedir. Diğer bütün diyagramlarda eriyik eşanjörü etkenliği 0.6 alınmıştır. Eriyik eşanjörü etkenliğinin, soğutma tesir katsayılarına etkisini su şekilde gösterebiliriz;

Lityum bromür-su çifti için,

$$q_{KAY} = h_1 + WZ h_8 - WF h_7$$

$$h_8 - h_9 = \epsilon ( h_8 - h_6 )$$

$$WZ ( h_8 - h_9 ) = WF ( h_7 - h_6 )$$


---

$$h_8 - h_9 = \frac{WF}{WZ} ( h_7 - h_6 )$$

$$h_9 = h_8 - \frac{WF}{WZ} ( h_7 - h_6 )$$

$$\epsilon ( h_8 - h_6 ) = h_8 - h_9 + \frac{WF}{WZ} ( h_7 - h_6 )$$

$$\epsilon ( h_8 - h_6 ) = \frac{WF}{WZ} ( h_7 - h_6 )$$

$$WF ( h_7 - h_6 ) = WZ \epsilon ( h_8 - h_6 )$$

$$WF h_7 = WF h_6 + WZ \epsilon ( h_8 - h_6 )$$

Bu değeri birinci denkleme yerine koyarsak;

$$q_{KAY} = \underbrace{h_1 + WZ h_8 - WF h_6}_{A} - \epsilon \underbrace{WZ ( h_8 - h_6 )}_{B}$$

$$q_{KAY} = A - \epsilon B$$

$$STK = \frac{q_{BUH}}{q_{KAY}} = \frac{q_{BUH}}{A - \epsilon B}$$

Denklemden de eriyik eşanjörü etkenliği arttıkça soğutma tesir

katsayısı artar.

Amonyak-su çifti için;

$$q_{KAY} = h_1 + WF \cdot h_8 - WZ \cdot h_7$$

$$h_8 - h_9 = \epsilon ( h_8 - h_6 )$$

$$WF ( h_8 - h_9 ) = WZ ( h_7 - h_6 )$$

$$h_8 - h_9 = \frac{WZ}{WF} ( h_7 - h_6 )$$

$$h_9 = h_8 - \frac{WZ}{WF} ( h_7 - h_6 )$$

$$\epsilon ( h_8 - h_6 ) = h_8 - h_9 + \frac{WZ}{WF} ( h_7 - h_6 )$$

$$\epsilon ( h_8 - h_6 ) = \frac{WZ}{WF} ( h_7 - h_6 )$$

$$WZ ( h_7 - h_6 ) = WF \epsilon ( h_8 - h_6 )$$

$$WZ \cdot h_7 = WZ \cdot h_6 + WF \epsilon ( h_8 - h_6 )$$

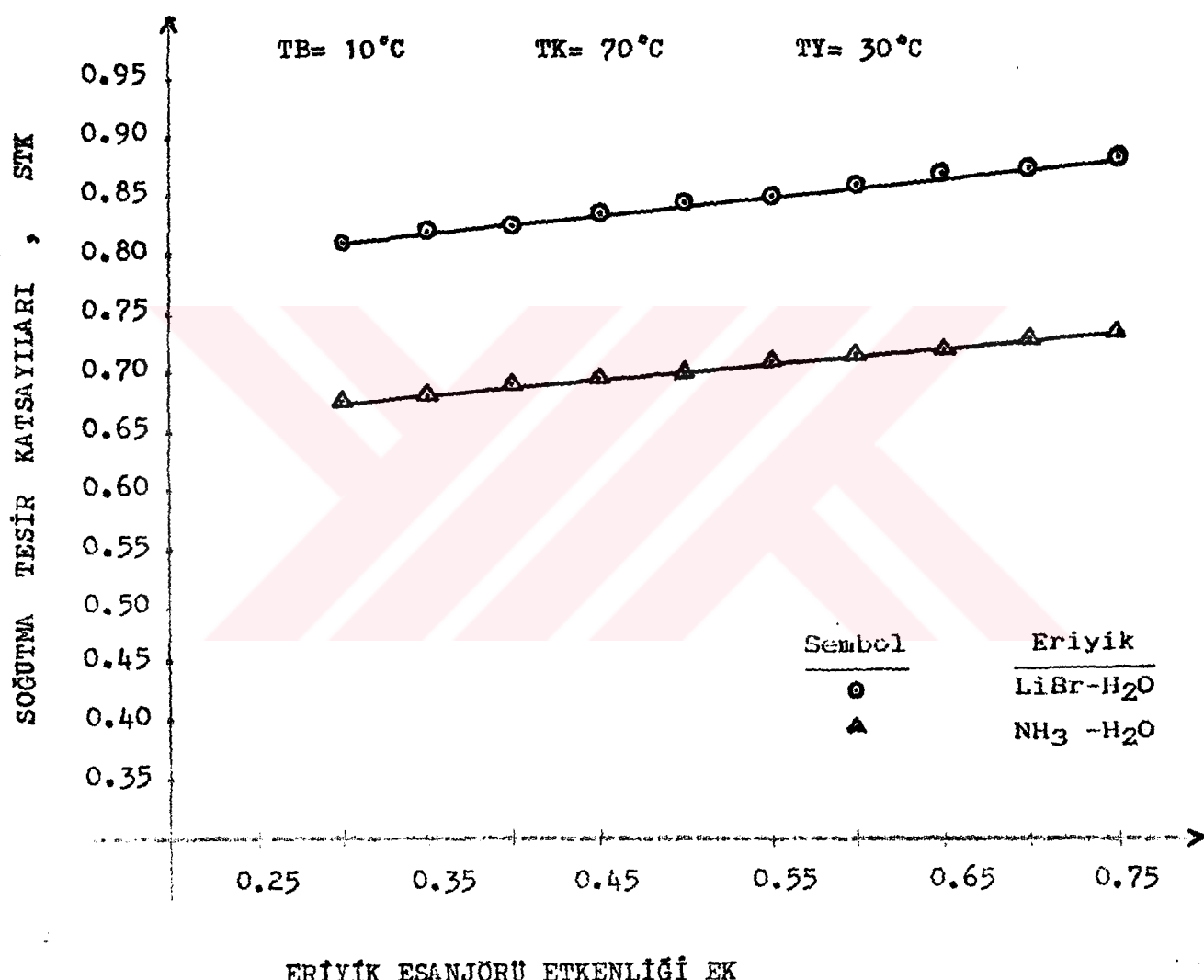
Bu değeri birinci denklemde yerine koyarsak;

$$q_{KAY} = \underbrace{h_1 + WF \cdot h_8 - WZ \cdot h_6}_{A} - \underbrace{\epsilon WF ( h_8 - h_6 )}_{B}$$

$$q_{KAY} = A - \epsilon B$$

$$STK = \frac{q_{BUH}}{q_{KAY}} = \frac{q_{BUH}}{A - \epsilon B}$$

Eriyik esanjörü etkenliğinin etkisinin, iki soğutucu akışkan çifti içinde farklı olmasının sebebi; Amonyak-su eriyiği kullanan absorbsiyonlu soğutma sisteminde zengin veya fakir eriyik diye isimlendirmenin amonyaga göre olması ve bunun yanında Lityum bromür-su eriyiği kullanan absorbsiyonlu soğutma sisteminde ise zenginliğin ve fakirligin Lityum bromüre göre yapılmasıdır.



Sekil 5. 8 Yoğunluk, buharlaştırıcı ve kaynatıcı sıcaklıklarının sabit olmak üzere soğutma tesir katsayılarının, eriyik eşanjörü etkenliğine göre değişimi

Sekil 5. 9' da buharlastırıcı ve kaynatıcı sıcaklığı sabit olmak üzere yoğunsturucu ıslı kapasitelerinin yoğunsturucu sıcaklığına göre değişimleri gösterilmiştir.

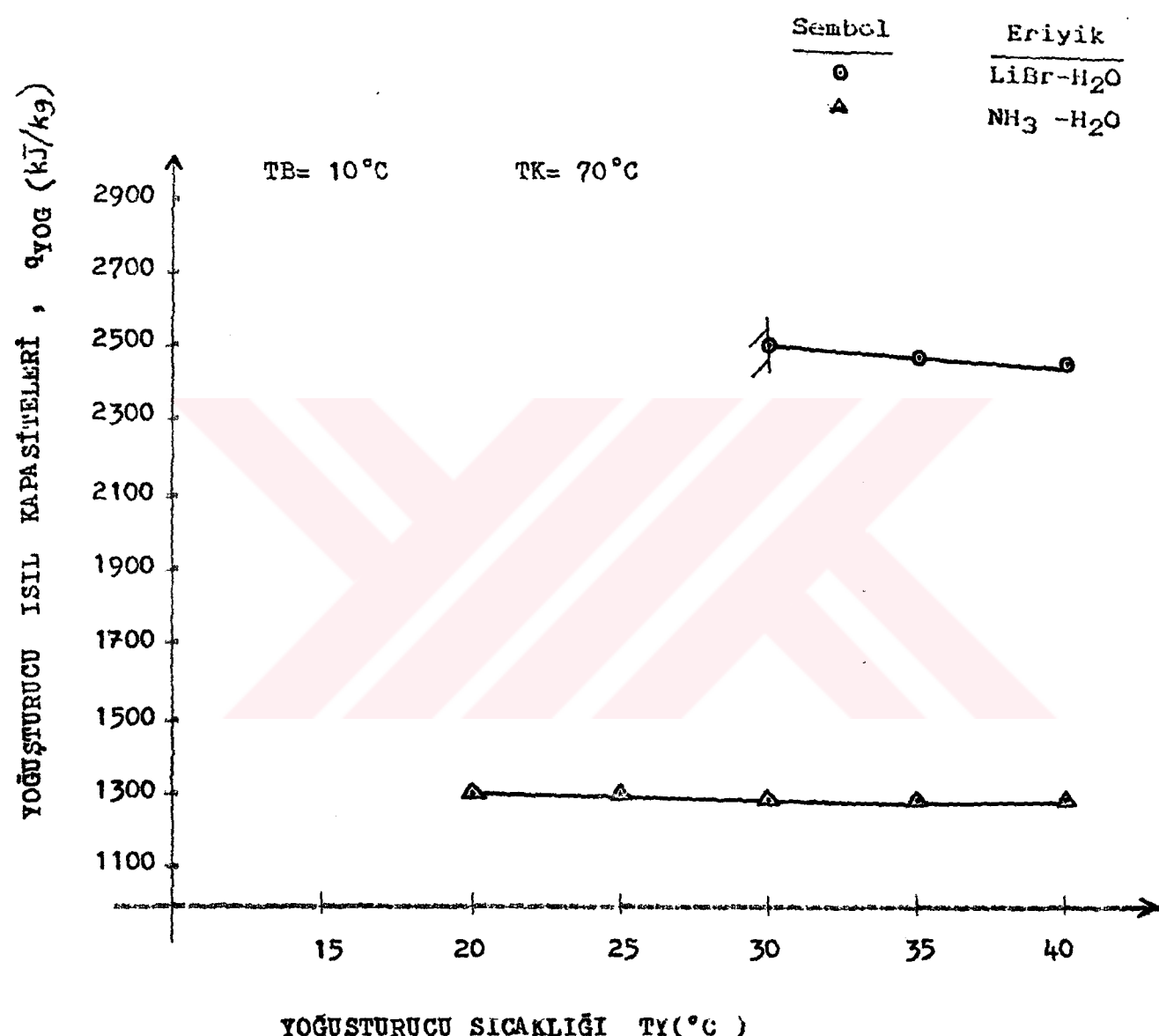
Sekil 5. 10' da yoğunsturucu ve kaynatıcı sıcaklığı sabit olmak üzere yoğunsturucu ıslı kapasitelerinin buharlastırıcı sıcaklığına göre değişimleri gösterilmiştir.

Sekil 5. 11' de buharlastırıcı ve yoğunsturucu sıcaklığı sabit olmak üzere yoğunsturucu ıslı kapasitelerinin kaynatıcı sıcaklığına göre değişimleri gösterilmiştir.

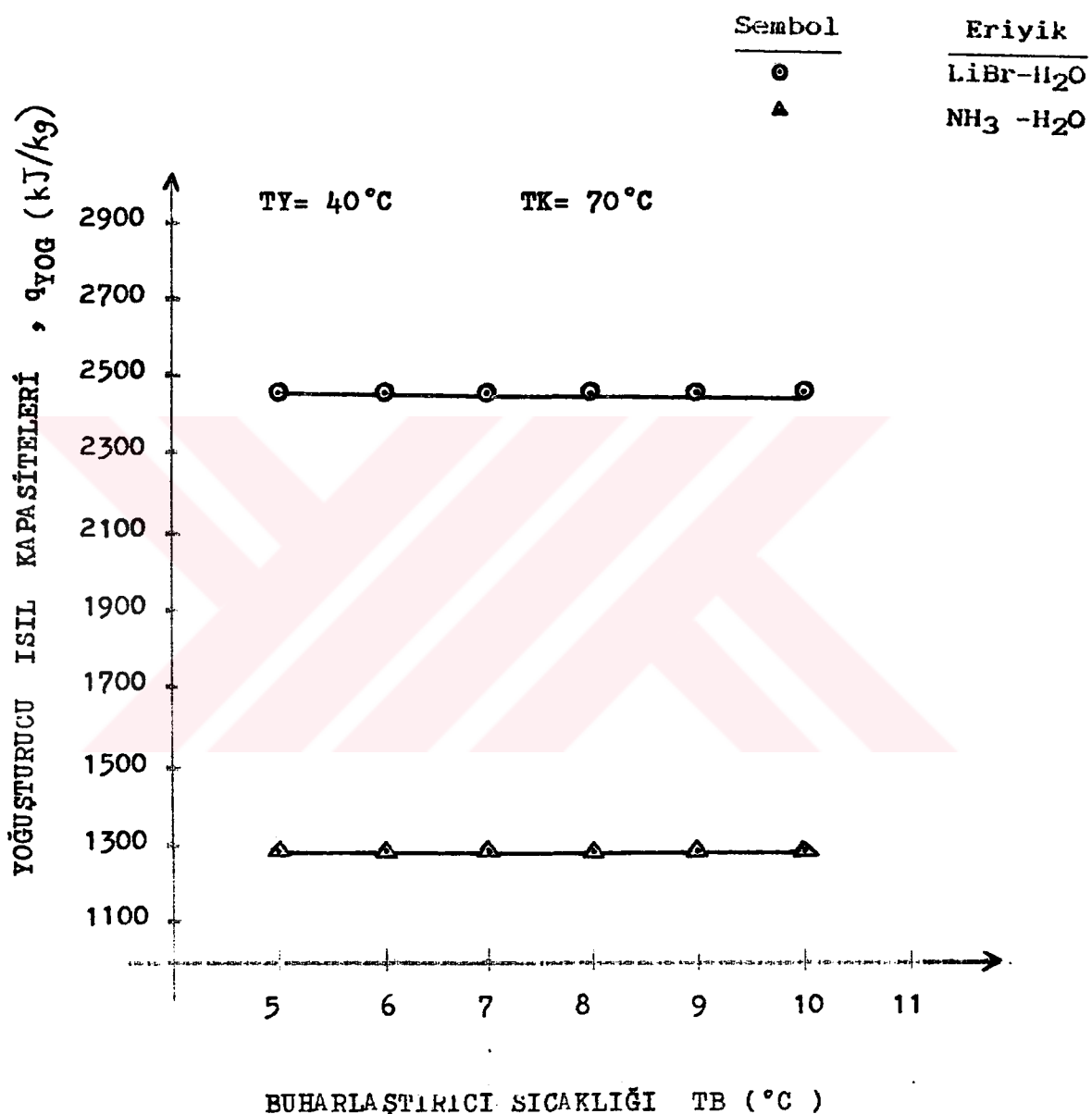
Sekillerden de görüldüğü gibi, Lityum bromür-su çifti kullanan absorbsiyonlu soğutma sisteminde, yoğunsturucu ıslı kapasitesi, amonyak-su çifti kullanan absorbsiyonlu soğutma sistemindekine nazaran daha büyütür.

Buharlastırıcı ve kaynatıcı sıcaklığı sabit tutulup, yoğunsturucu sıcaklığı arttırıldığında, yoğunsturucu ıslı kapasitesinde azda olsa bir düşme olmaktadır. Kaynatıcı sıcaklığı sabit tutulup, yoğunsturucu sıcaklığı artırıldığında, yoğunsturucu giriş noktası olan 1 noktasının antalpisi düşecektir. Aynı zamanda yoğunsturucu çıkış noktası olan 2 noktasının antalpisinde de olan düşüş, yoğunsturucu ıslı kapasitesindeki azalmaya sebep olacaktır.

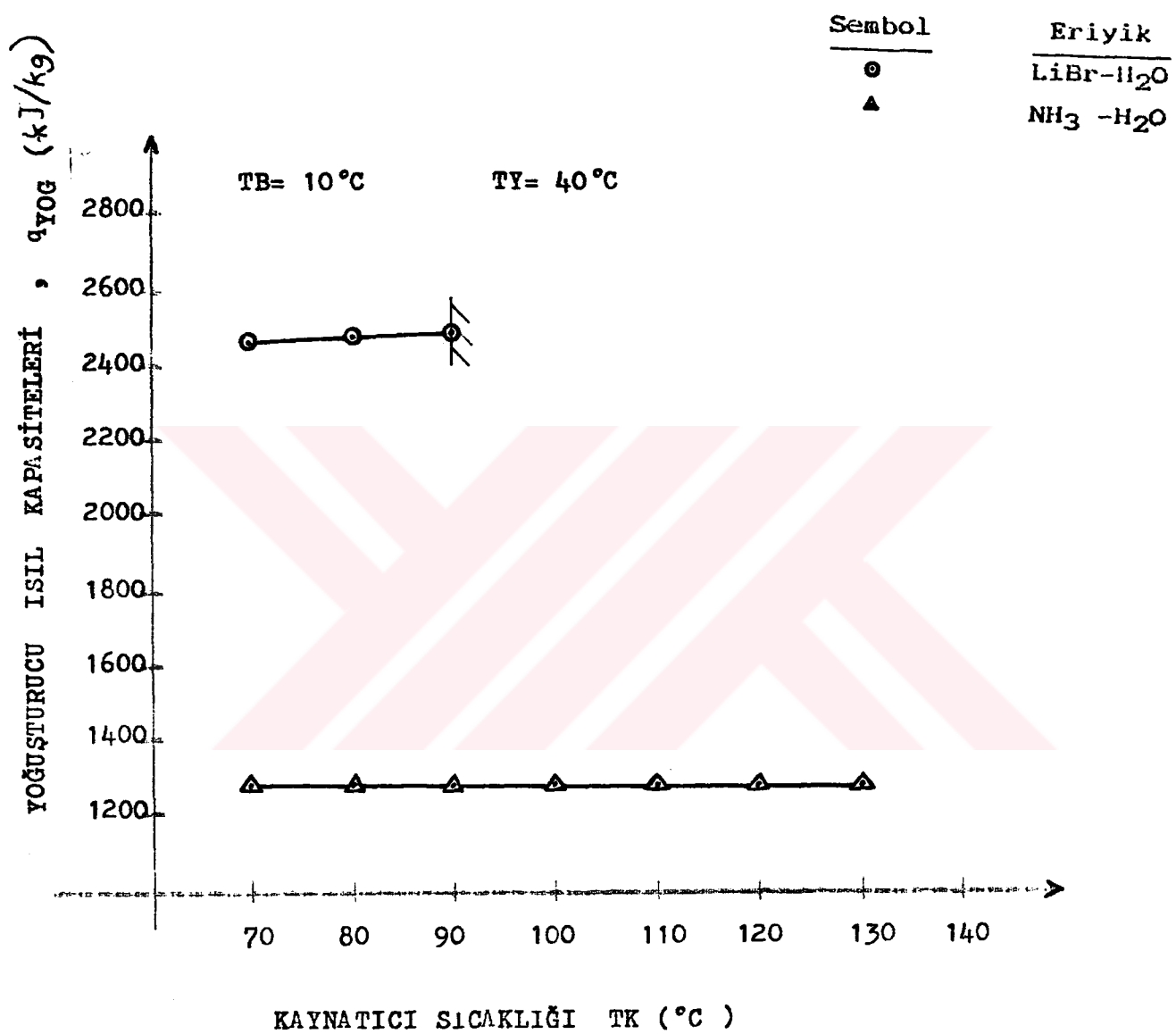
Yönensturucu ve buharlastırıcı sıcaklıkları sabit tutulup, kaynatıcı sıcaklığı arttırıldığında yoğunsturucu giriş noktası antalpisinde bir artış gözleneceğinden, bu artışın etkisiyle yoğunsturucu ıslı kapsitesinde azda olsa bir çoğalma gözlenecektir.



Sekil 5. 9 Buharlaştırıcı ve kaynatıcı sıcaklığı sabit olmak üzere yoğunstırucu ısil kapasitelerinin, yoğunstırucu sıcaklığına göre değişimleri gösterilmiştir.



Sekil 5. 10 Yoğusturucu ve kaynatıcı sıçaklığı sabit olmak üzere yoğunstırıcı ısıl kapasitelerinin, buharlaştırıcı sıçaklığına göre değişimleri



Sekil 5. 11 Buharlaştırıcı ve yoğunsturucu sıcaklığı sabit olmak üzere yoğunsturucu ısıl kapasitelerinin, kaynatıcı sıcaklığına göre değişimleri

Sekil 5. 12' de buharlaştırıcı ve kaynاتıcı sıcaklığı sabit olmak üzere buharlaştırıcı ısil kapasitelerinin yoğunstırucu sıcaklığına göre değişimleri gösterilmistir.

Sekil 5. 13' de yoğunstırucu ve kaynatacı sıcaklığı sabit olmak üzere buharlaştırıcı ısil kapasitelerinin buharlaştırıcı sıcaklığına göre değişimleri gösterilmistir.

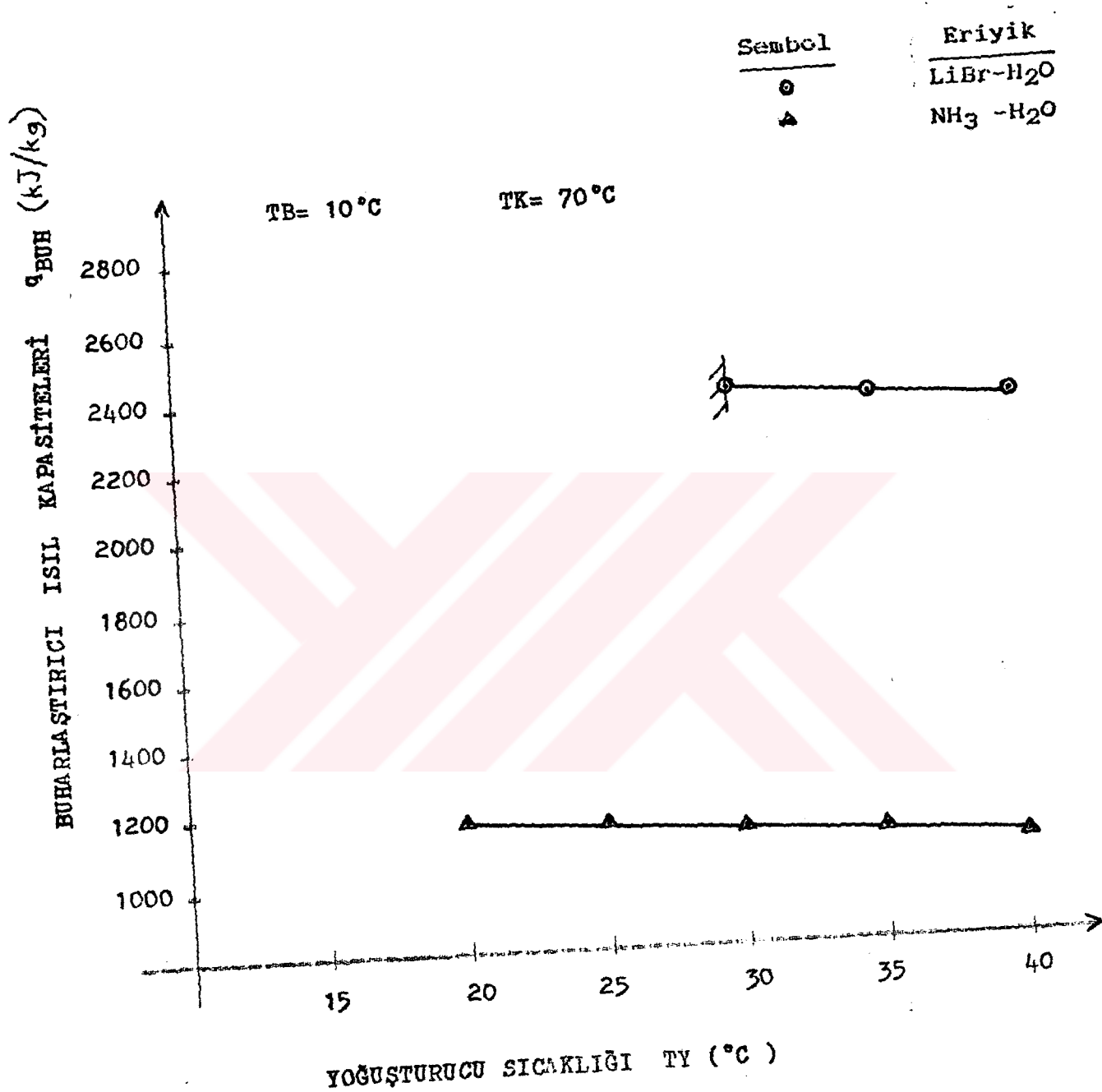
Sekil 5. 14' de buharlaştırıcı ve yoğunstırucu sıcaklığı sabit olmak üzere buharlaştırıcı ısil kapasitelerinin kaynatacı sıcaklığına göre değişimleri gösterilmistir.

Sekillerden de görüldüğü gibi, Lityum bromür-su çifti kullanan absorbsiyonlu soğutma sisteminde, buharlaştırıcı ısil kapasitesi, amonyak-su çifti kullanan absorbsiyonlu soğutma sistemindekine nazaran daha büyütür.

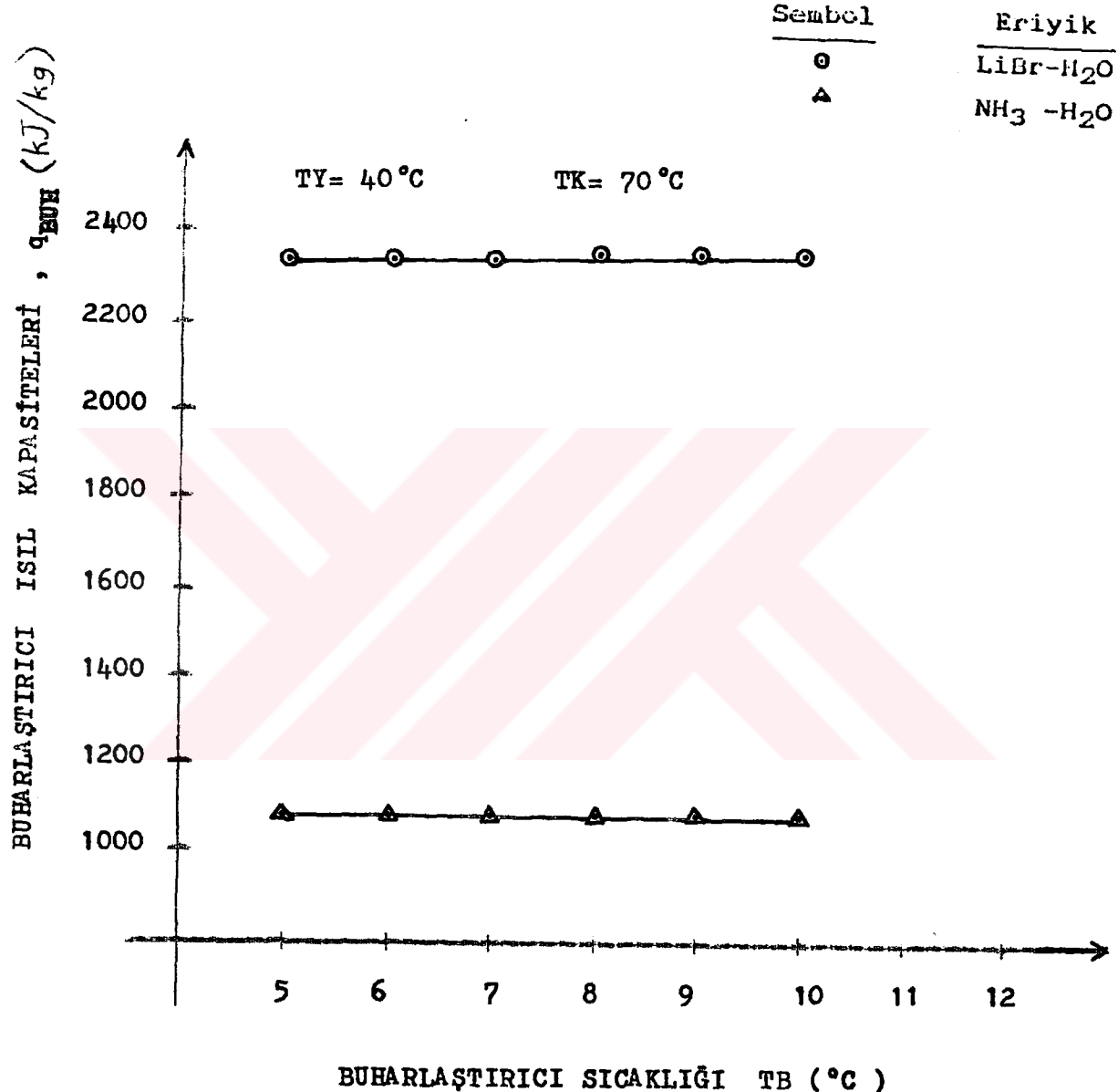
Buharlaştırıcı ve kaynatacı sıcaklığı sabit tutulup, yoğunstırucu sıcaklığı arttırıldığında, buharlaştırıcı ısil kapasitesinde azda olsa bir düşme olmaktadır. Yoğunstırucu sıcaklığı artırıldığında, yoğunstırucu çıkış noktası olan 2 noktasının antalpisinde bir düşüş olacaktır, 2 noktasının antalpi 3 noktasının antalpisine eşit olduğundan ( kısılma vanasında antalpi sabit hal değişimi olur ), buharlaştırıcı giriş noktası olan 3 noktası antalpisindeki düşüş buharlaştırıcı ısil kapasitesindeki azalmaya sebep olacaktır.

Kaynatacı sıcaklığındaki artış, buharlaştırıcı ısil kapasitesi üzerinde fazla bir rol oynamayacaktır.

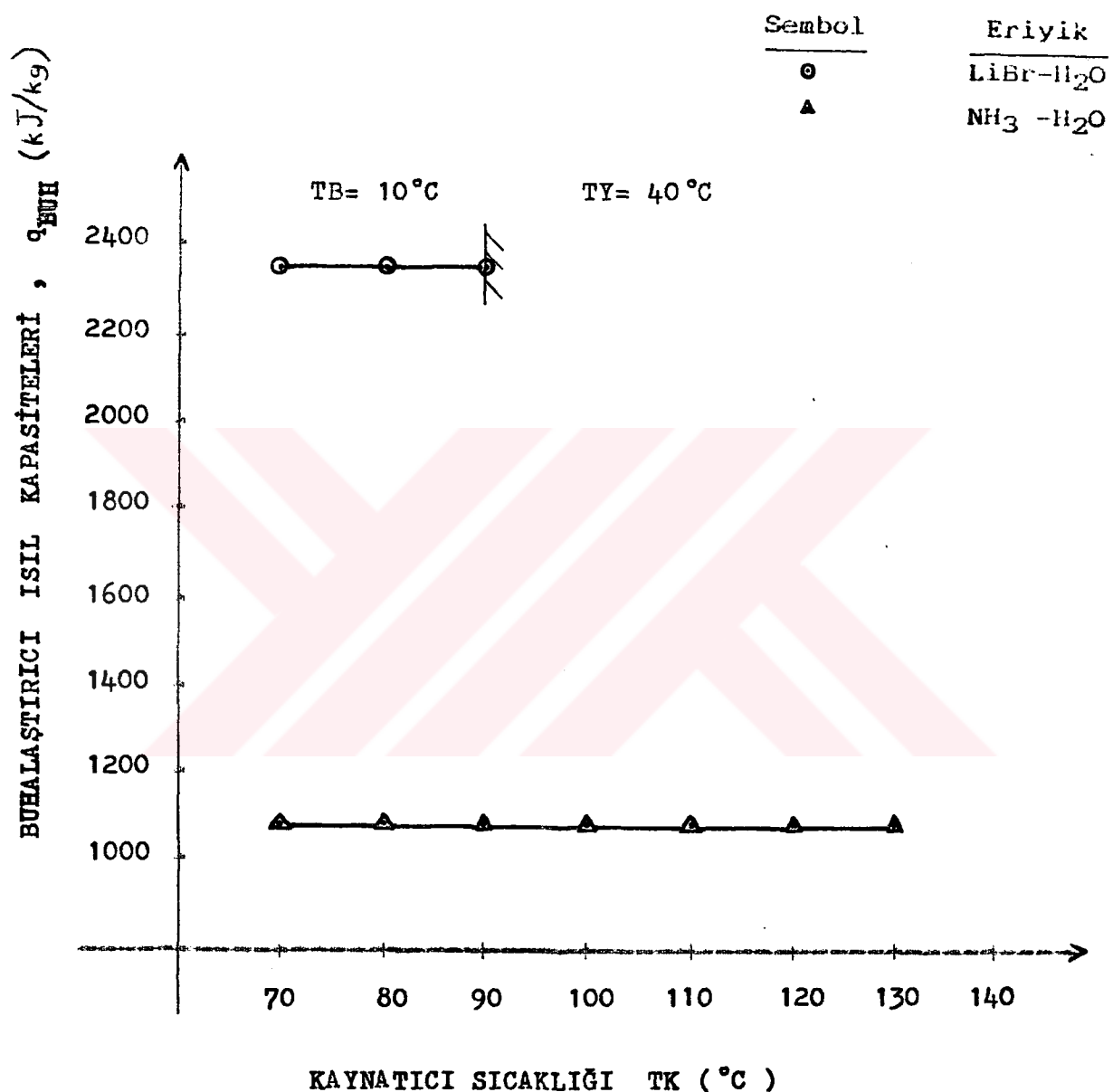
Yoğunstırucu sıcaklığının sabit tutulup, buharlaştırıcı sıcaklığının arttırılması durumunda ise, buharlaştırıcı çıkış noktası olan 4 noktası antalpisinde bir artış gözlenecek, bu artış buharlaştırıcı ısil kapasitesini artıracaktır.



Sekil 5. 12 Buharlastırıcı ve kaynatıcı sıcaklığı sabit olmak üzere buharlastırıcı ıslı kapasitelerinin, yoğunstırucu sıcaklığına göre değişimleri



**Sekil 5. 13** Yoğuturucu ve kaynatıcı sıcaklığı sabit olmak üzere buharlaştırıcı ısil kapasitelerinin, buharlaştırıcı sıcaklığına göre değişimleri



Sekil 5. 14 Buharlaştırıcı ve yoğunsturucu sıcaklığı sabit olmak üzere buharlaştırıcı ısıl kapasitelerinin, kaynatıcı sıcaklığına göre değişimleri

Şekil 5. 15' de buharlaştırıcı ve kaynatıcı sıcaklığı sabit olmak üzere kaynatıcı ıslık kapasitelerinin yoğunsturucu sıcaklığına göre değişimleri gösterilmüştür.

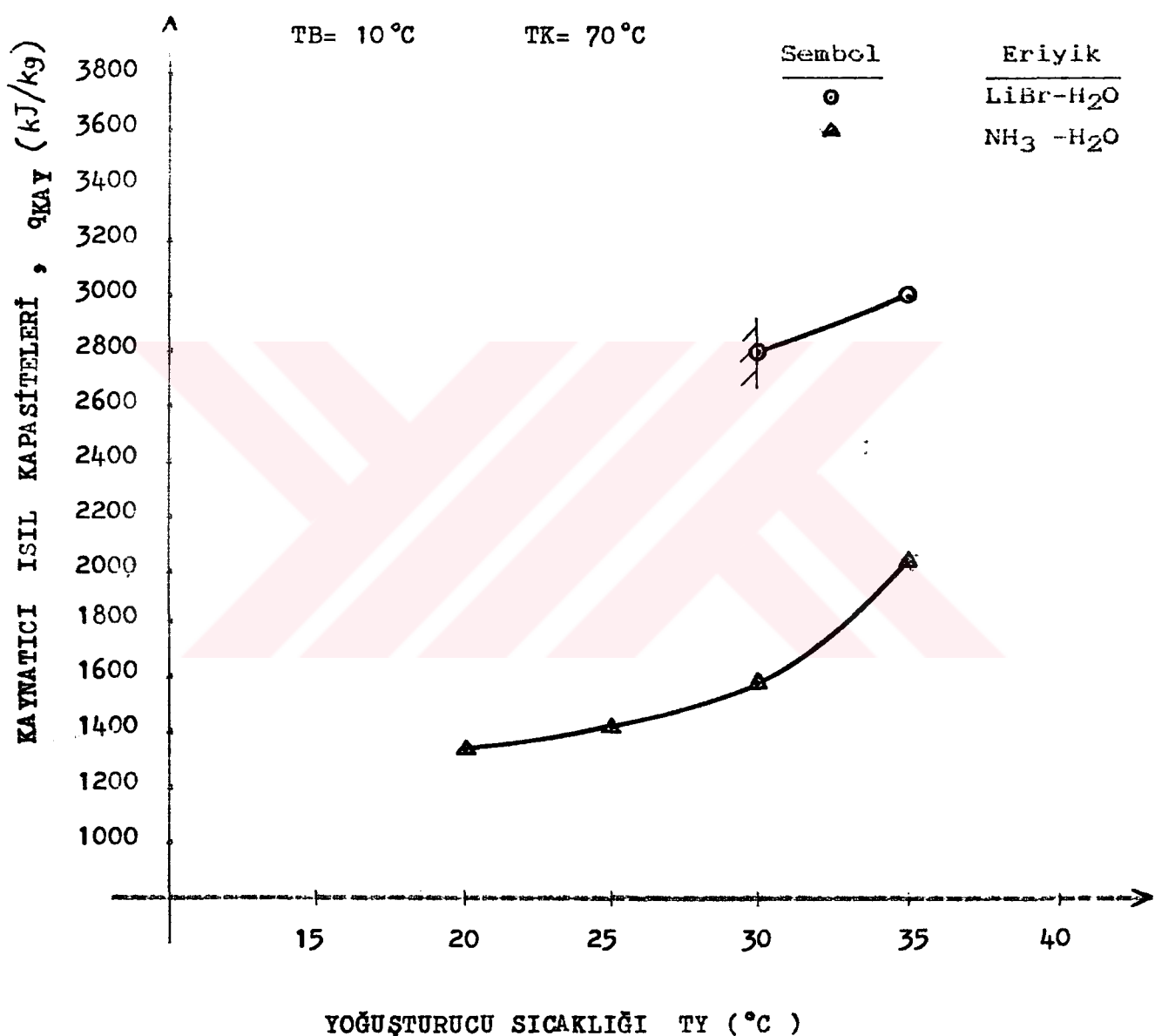
Şekil 5. 16' da yoğunsturucu ve kaynatıcı sıcaklığı sabit olmak üzere kaynatıcı ıslık kapasitelerinin buharlaştırıcı sıcaklığına göre değişimleri gösterilmüştür.

Şekil 5. 17' de buharlaştırıcı ve yoğunsturucu sıcaklığı sabit olmak üzere kaynatıcı ıslık kapasitelerinin kaynatıcı sıcaklığına göre değişimleri gösterilmüştür.

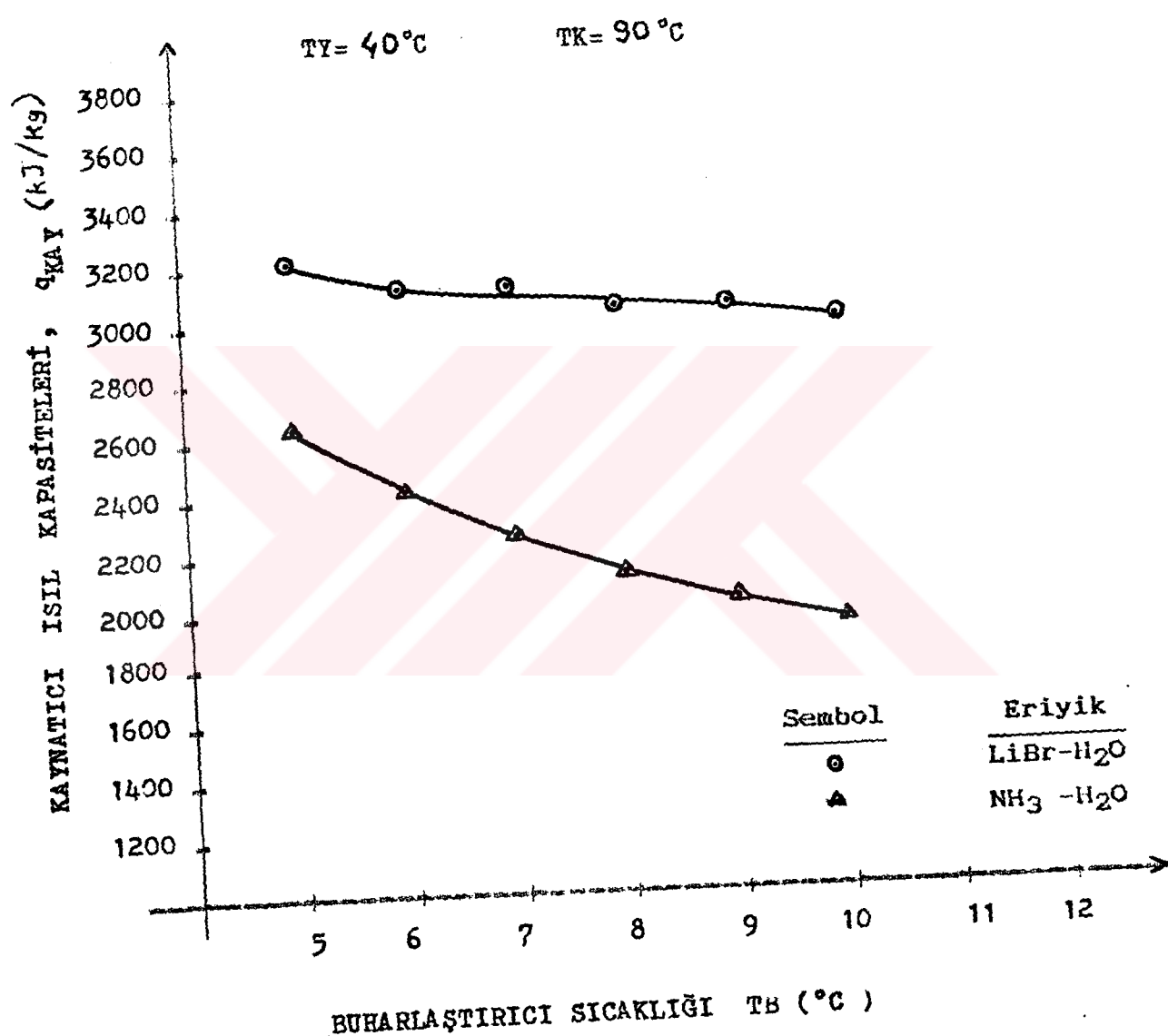
Şekillerden de görüldüğü gibi, Lityum bromür-su çifti kullanan absorpsiyonlu soğutma sisteminde, kaynatıcı ıslık kapasitesi, amonyak-su çifti kullanan absorpsiyonlu soğutma sistemindekine nazaran daha büyütür.

Buharlaştırıcı ve kaynatıcı sıcaklığı sabit tutulup, yoğunsturucu sıcaklığı artırıldığında, kaynatıcı ıslık kapasitesinde artış olmaktadır. Yoğunsturucu sıcaklığı artırıldığında, yoğunsturucu basıncı yoğunsturucu sıcaklığına tekabül eden doyma basıncı olduğundan, yoğunsturucu basıncıda artacaktır. Kaynatıcı sıcaklığı sabit tutulup, yoğunsturucu sıcaklığı artırıldığında eriyik konsantrasyonunda bir artış olacak ve bu artış kaynatıcı ıslık kapasitesinde coğalmaya sebebiyet verecektir. Yine bunun tersi olarak, yoğunsturucu basıncı sabit tutulup, kaynatıcı sıcaklığı artırıldığında, eriyik konsantrasyonunda bir azalma olacak ve bu azalma, kaynatıcı ıslık kapasitesinde düşüse sebebiyet verecektir.

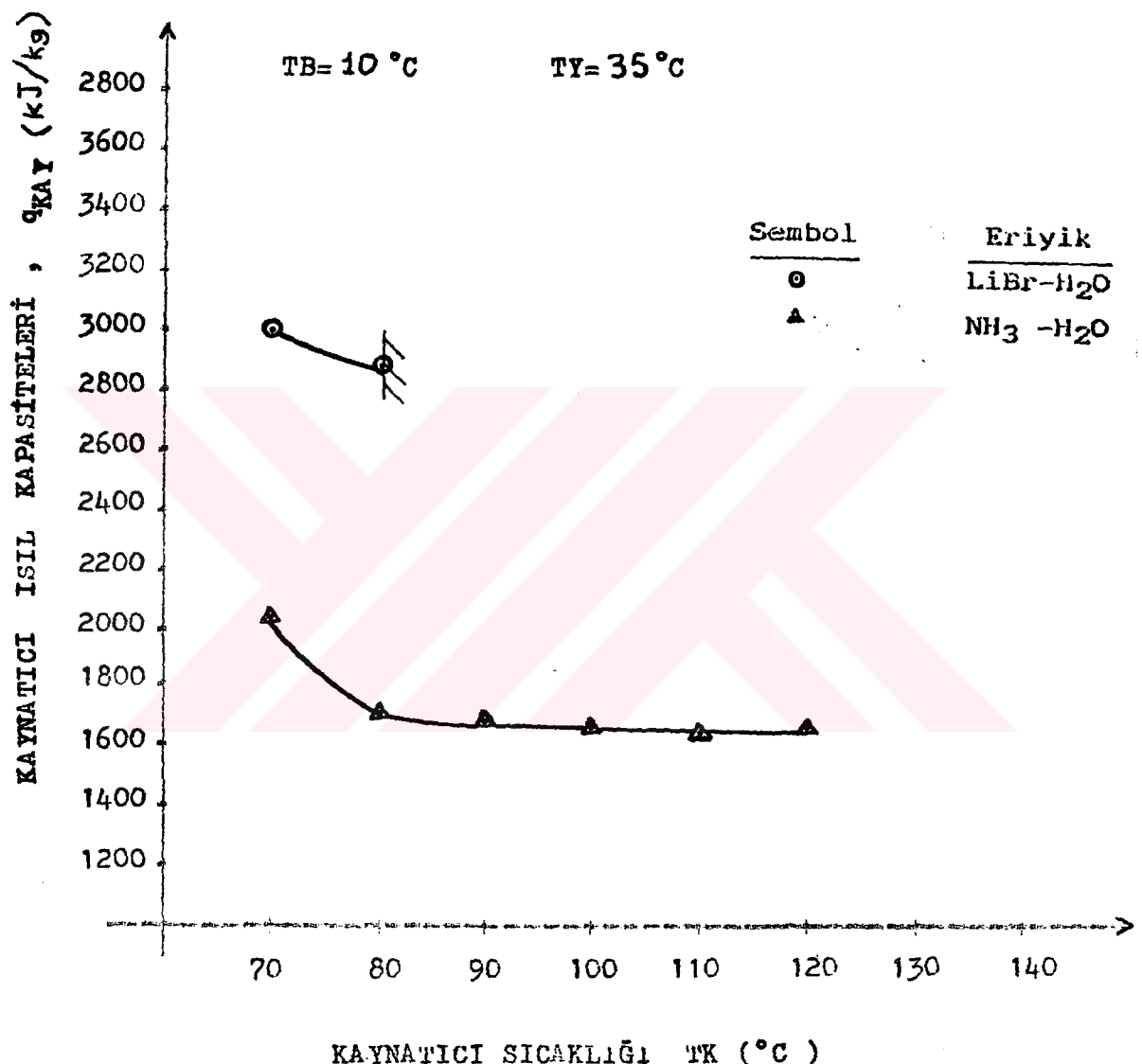
Buharlaştırıcı sıcaklığı artırıldığında, buharlaştırıcı basıncı buharlaştırıcı sıcaklığına tekabül eden doyma basıncı olduğundan, buharlaştırıcı basıncıda artacaktır. Yoğunsturucu sıcaklığı sabit tutulup, buharlaştırıcı sıcaklığı artırıldığında fakir eriyik konsantrasyonunda bir artış olacak ve bu artış kaynatıcı ıslık kapasitesinde azalmaya sebebiyet verecektir.



**Sekil 5. 15 Buharlaştırıcı ve kaynatıcı sıcaklığı sabit olmak üzere kaynatıcı ısil kapasitelerinin, yoğuneturucu sıcaklığına göre değişimleri**



Sekil 5. 16 Yoğursturucu ve kaynatıcı sıcaklığı sabit olmak üzere kaynatıcı ısıllı kapasitelerinin, buharlaştırıcı sıcaklığına göre değişimleri



Sekil 5. 17 Buharlaştırıcı ve yoğunsturucu sıcaklığı sabit olmak üzere kaynatıcı ısıl kapasitelerinin, kaynatıcı sıcaklığına göre değişimleri

Sekil 5. 18' de buharlaştırcı ve kaynatıcı sıcaklığı sabit olmak üzere absorber ısıl kapasitelerinin yoğunsturucu sıcaklığına göre değişimleri gösterilmistiir.

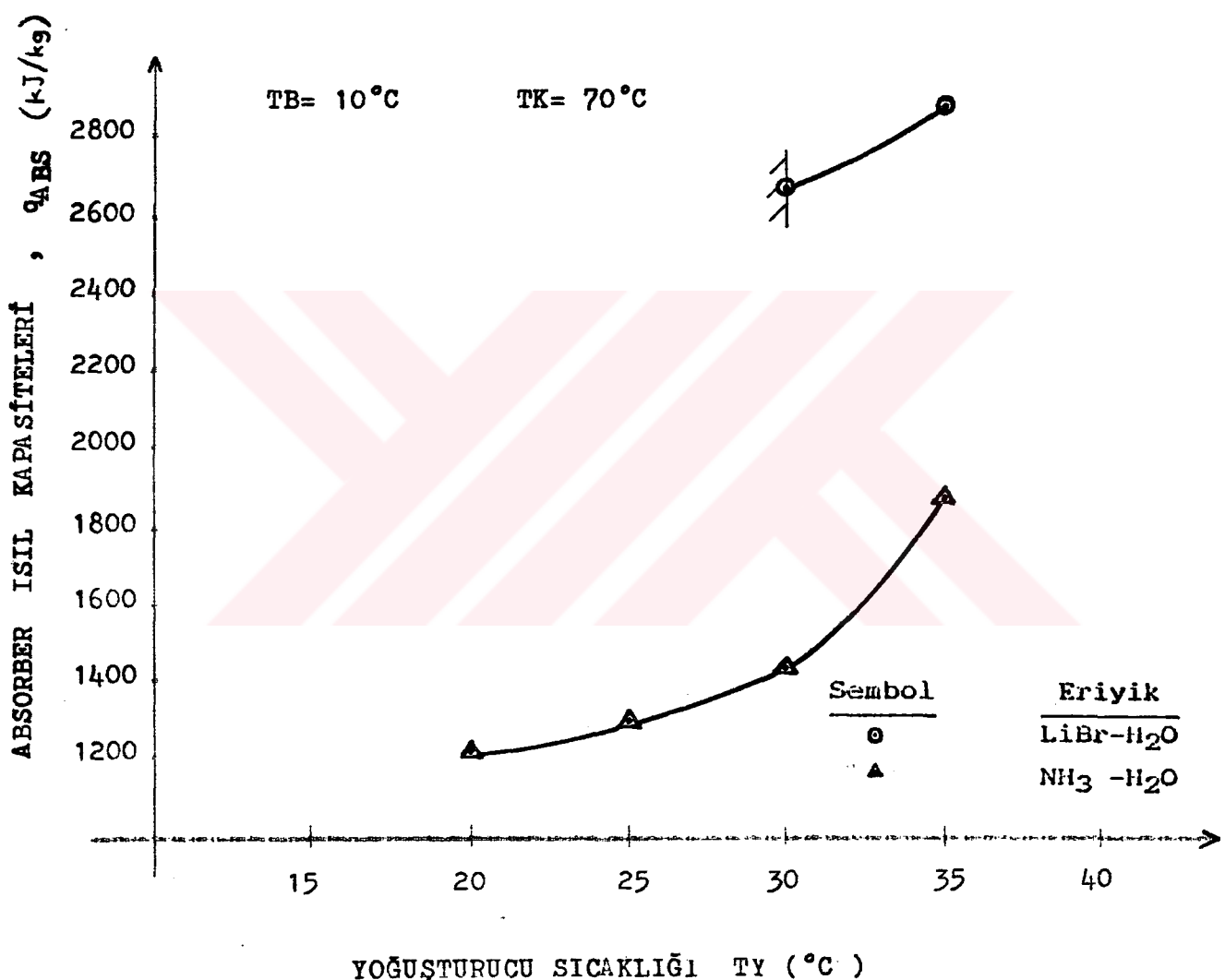
Sekil 5. 19' da yoğunsturucu ve kaynatıcı sıcaklığı sabit olmak üzere absorber ısıl kapasitelerinin buharlaştırcı sıcaklığına göre değişimleri gösterilmistiir.

Sekil 5. 20' de buharlaştırcı ve yoğunsturucu sıcaklığı sabit olmak üzere absorber ısıl kapasitelerinin kaynatıcı sıcaklığına göre değişimleri gösterilmistiir.

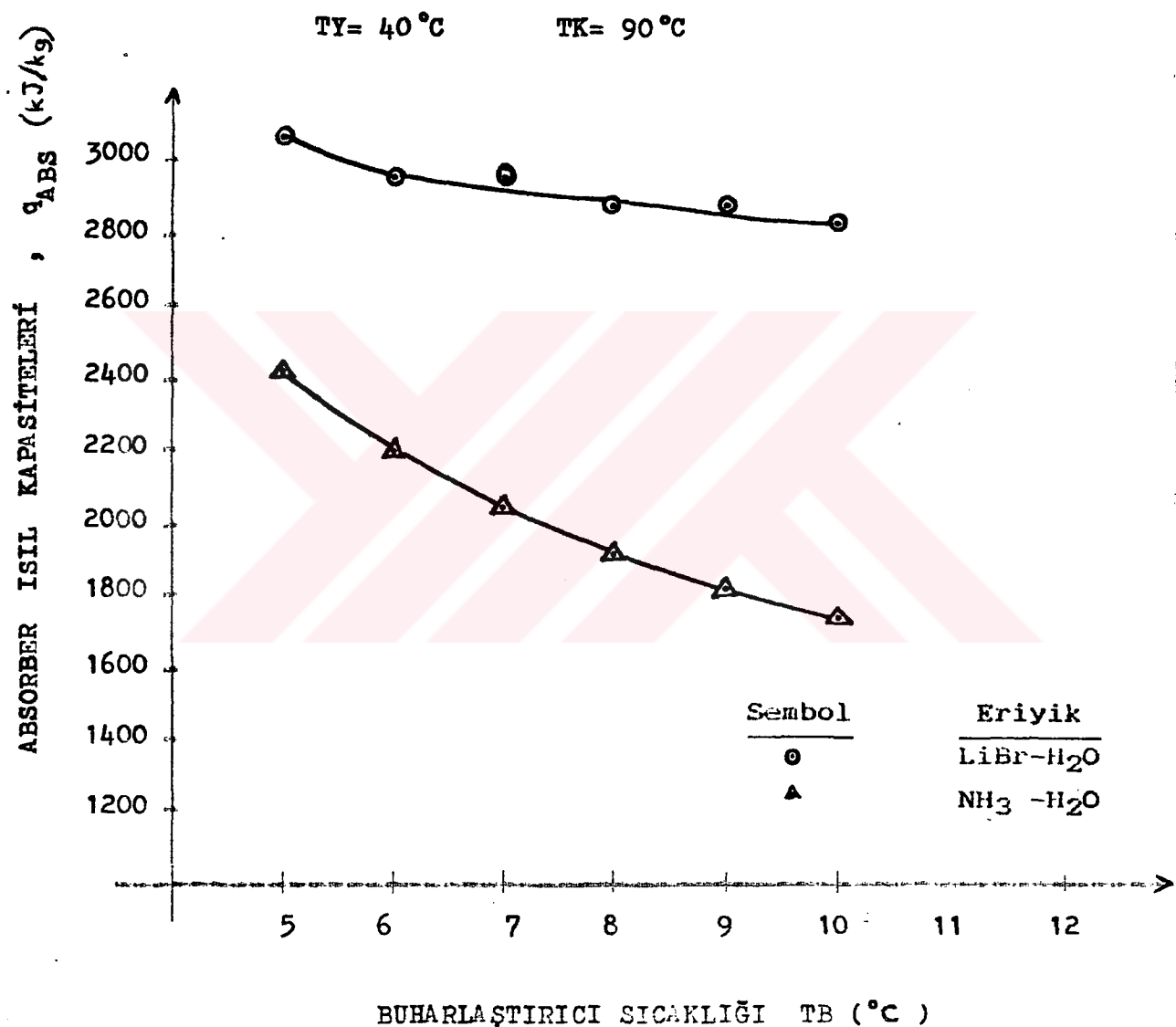
Sekillerden de görüldüğü gibi, Lityum bromür-su çifti kullanan absorbşyonlu soğutma sisteminde, absorber ısıl kapasitesi, amonyak-su çifti kullanan absorbşyonlu soğutma sistemindenkeine nazaran daha büyütür.

Buharlaştırcı ve kaynatıcı sıcaklığı sabit tutulup, yoğunsturucu sıcaklığı arttırdığında, absorber ısıl kapasitesinde artış olmaktadır. Yoğunsturucu sıcaklığı arttırdığında, yoğunsturucu basıncı yoğunsturucu sıcaklığına tekabül eden doyma basıncı olduğundan, yoğunsturucu basıncıda artacaktır. Kaynatıcı sıcaklığı sabit tutulup, yoğunsturucu sıcaklığı arttırdığında eriyik konsantrasyonunda bir artış olacak ve absorber giriş sıcaklığı azalacaktır. Bu esanada yoğunsturucu sıcaklığına eşit olan absorber çıkış sıcaklığı, yoğunsturucu sıcaklığı arttıkça artacağından absorberden çekilen ısı miktarında bir artış gözlenecektir. Yine bunun tersi olarak, yoğunsturucu basıncı sabit tutulup, kaynatıcı sıcaklığı arttırdığında, eriyik konsantrasyonunda bir azalma olacak ve absorber giriş sıcaklığı artacaktır. Absorber çıkış sıcaklığı sabit olarak kaldıgından, absorberden çekilen ısı miktarında gözle görülür bir azalma olacaktır.

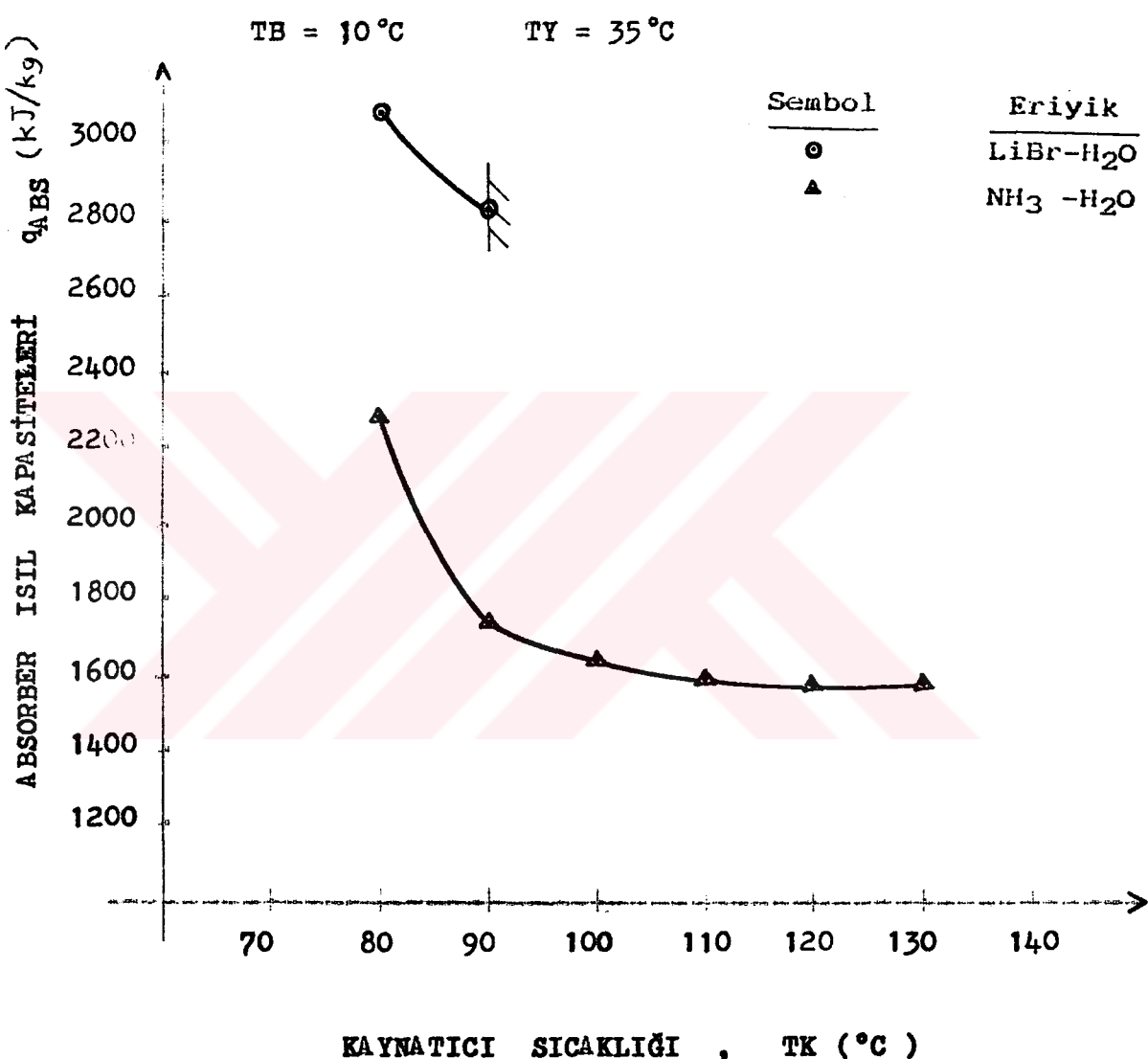
Yoğunsturucu sıcaklığı sabit tutulup, buharlaştırcı sıcaklığı arttırdığında fakir eriyik konsantrasyonunda bir artış olacak ve bu artış absorber ısıl kapasitesinde azalmaya sebebiyet verecektir.



Sekil 5. 18 Buharlaştırıcı ve kaynatıcı sıcaklığı sabit olmak üzere absorber ısıl kapasitelerinin, yoğunsturucu sıcaklığına göre değişimleri



Sekil 5. 19 Yoğuşturucu ve kaynatıcı sıcaklığı sabit olmak üzere absorber ısıl kapasitelerinin, buharlaştırıcı sıcaklığına göre değişimleri



Sekil 5. 20 Buharlaştırıcı ve yoğunsturucu sıcaklığı sabit olmak üzere absorber ısıl kapasitelerinin, kaynاتıcı sıcaklığına göre değişimleri

Sekil 5. 21' de buharlaştırcı ve kaynatıcı sıcaklığı sabit olmak üzere dolasım oranlarının, yoğunsturucu sıcaklığına göre değişimleri gösterilmiştir.

Sekil 5. 22' de yoğunsturucu ve kaynatıcı sıcaklığı sabit olmak üzere dolasım oranlarının, buharlaştırcı sıcaklığına göre değişimleri gösterilmiştir.

Sekil 5. 23' de buharlaştırcı ve yoğunsturucu sıcaklığı sabit olmak üzere dolasım oranlarının, kaynatıcı sıcaklığına göre değişimleri gösterilmiştir.

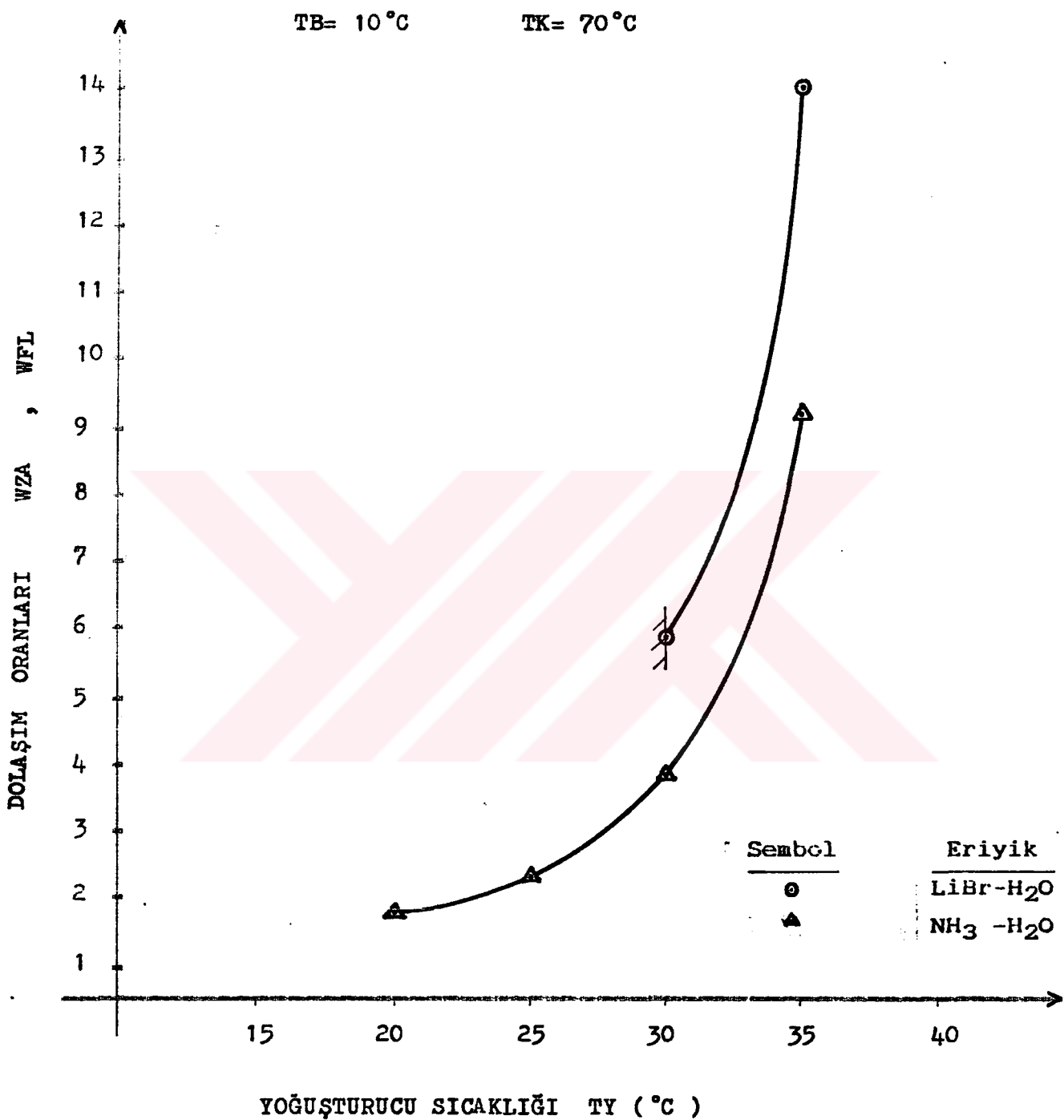
Amonyak-su eriyiği kullanan absorbsiyonlu soğutma sisteminde zengin veya fakir eriyik diye isimlendirme amonyaga göre yapılmakta ve bunun yanında Lityum bromür-su eriyiği kullanan absorbsiyonlu soğutma sisteminde ise zenginlik veya fakirlik Lityum bromüre göre yapılmaktadır.

Dolasım oranları, zengin veya fakir eriyik konsantrasyonlarına direkt olarak bağlı olduklarından, bunlardaki değişiklik dolasım oranlarını büyük ölçüde etkilemektedir.

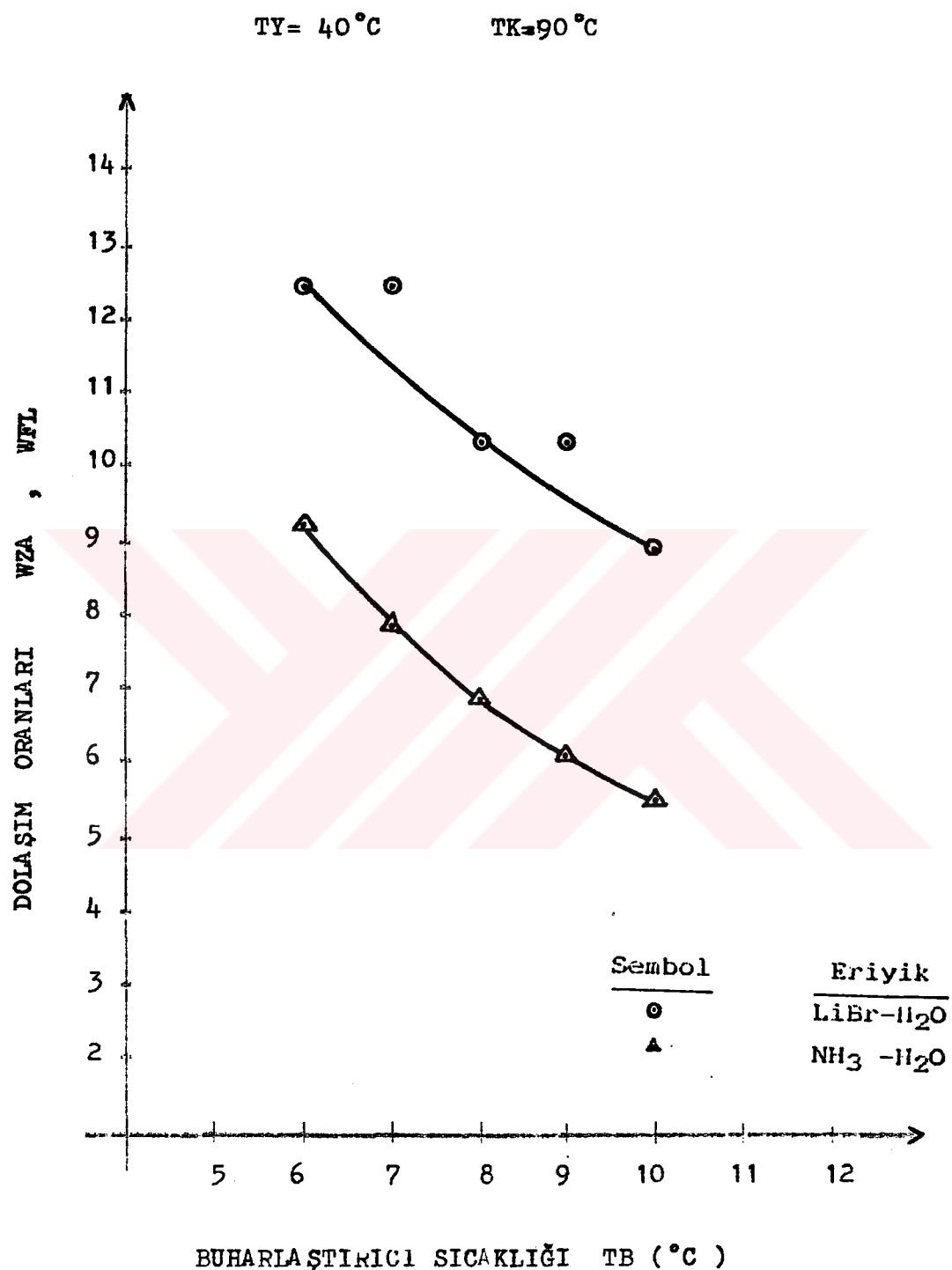
Sekillerden de görüldüğü gibi, Lityum bromür-su çifti kullanan absorbsiyonlu soğutma sisteminde, dolasım oranları, amonyak-su çifti kullanan absorbsiyonlu soğutma sistemindekiere nazaran daha büyütür.

Kaynatıcı sıcaklığı sabit tutulup, yoğunsturucu sıcaklığı arttırıldığında ( ki bu yoğunsturucu basıncını artırmak demektir ), zengin eriyik konsantrasyonunda bir azalma, fakir eriyik konsantrasyonunda bir artma görülür. Bunun sonucunda dolasım oranlarında gözle görülür bir artış olur.

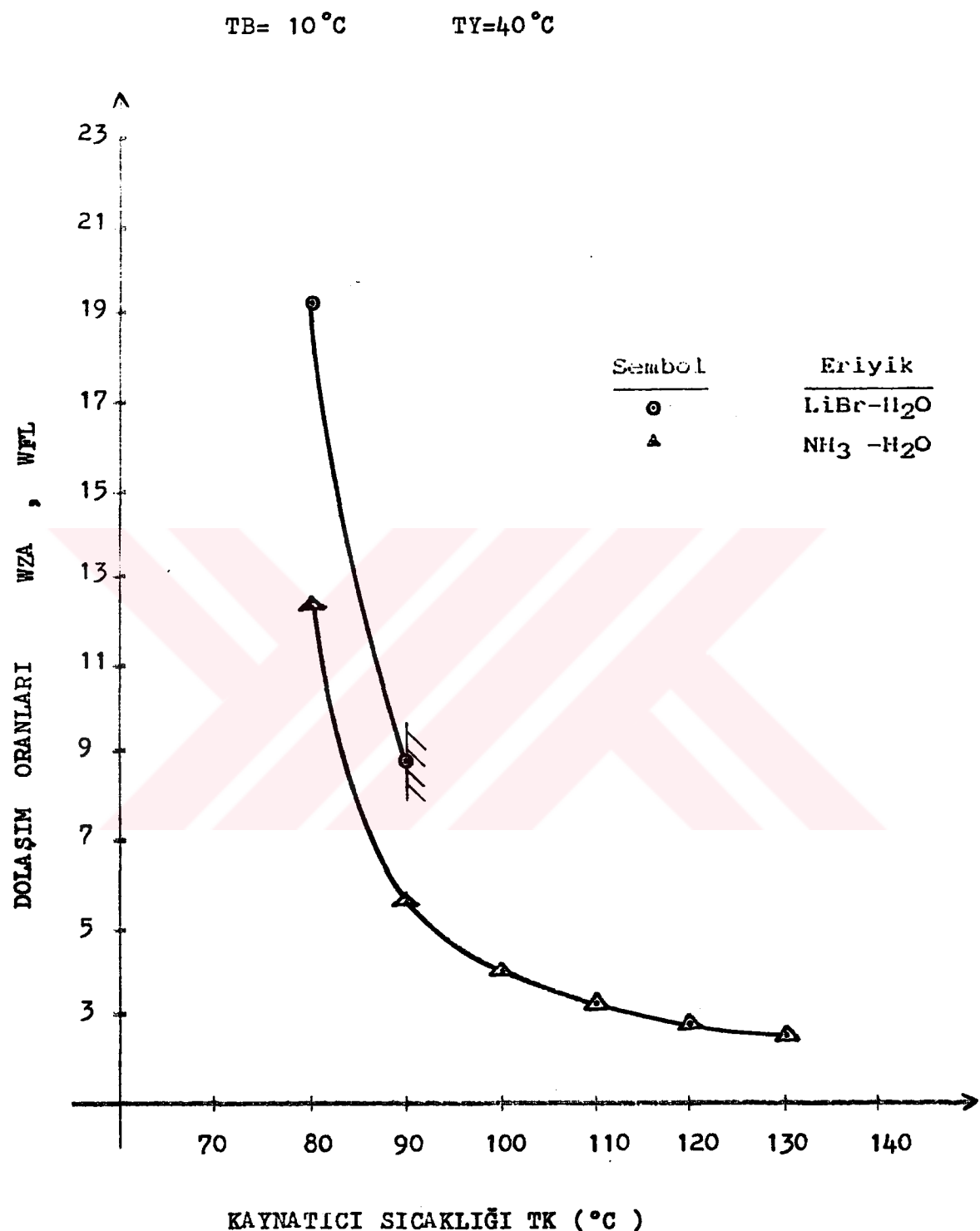
Buharlaştırcı ve yoğunsturucu sıcaklığı sabit tutulup, kaynatıcı sıcaklığı arttırıldığında ise, zengin eriyik konsantrasyonundaki artış sebebiyle, dolasım oranlarında azalma olur.



**Şekil 5. 21 Buharlaştırıcı ve kaynatıcı sıcaklığı sabit olmak üzere dolaşım oranlarının, yoğunsturucu sıcaklığına göre değişimleri**



Sekil 5. 22 Yoğusturucu ve kaynatıcı sıcaklığı sabit olmak üzere dolaşım oranlarının, buharlaştırıcı sıcaklığına göre değişimleri



**Şekil 5. 23 Buharlaştırıcı ve yoğunsturucu sıcaklığı sabit olmak üzere dolasım oranlarının, kaynatıcı sıcaklığına göre değişimleri**

Amonyak-su çifti kullanan absorbsiyonlu soğutma sisteminin, Lityum bromür-su çifti kullanan absorbsiyonlu soğutma sisteminden önemli bir farkı da, amonyak-su çifti kullanan sistemde mutlaka rektifikasyon kolonuna ve rektifye gereksinim duyulmasıdır. Bunun nedeni ise, kaynaticıda denge şartlarında amonyak buharı bir miktar su buharı ihtiyacılıkla. Amaç soğutma devresine (yani yoğunlukucuya ve buharlaştırıcıya) saf amonyak göndermek olduğuna göre, kaynaticıdan çıkan buharda, amonyak derişikliğini artırmak için kaynaticı üstündeki rektifikasyon kolonundan amonyak bakımından zengin eriyik geçirtilerek amonyak buharı zenginleştirilir ve neticede % 99 saflikta amonyak buharı elde edilir[56]. Oysa, Lityum bromür-su çifti kullanan sistemde böyle bir sorun yoktur, çünkü suyun buharlaşma sıcaklığı, Lityum bromüre göre oldukça düşüktür.

Amonyak-su çifti kullanan sistemde soğutucu akışkan olarak amonyak kullanıldığından çok düşük sıcaklıklara inmek söz konusu olduğu halde, soğutucu akışkan olarak su kullanan Lityum bromür-su çiftli sistemde, suyun donma tehlikesi yüzünden düşük sıcaklıklara inmek söz konusu değildir.

Amonyak-su çifti kullanan sistemde sınırlayıcı etken pek olmadığı halde, Lityum bromür-su çifti kullanan sistemde, soğutucu akışkanın su olmasından dolayı düşük sıcaklıklara inilememesi bir sınırlayıcı etken olmasının yanında, yüksek sıcaklıklarda ise suyun tamamının ayrılop kristal yapıya sahip olan Lityum bromürü yalnız bırakıp boruların tıkanmasına sebebiyet vermesi diğer bir sınırlayıcı etkeni oluşturarak, bu sistemin çalışma aralığını sınırlamaktadır.

Aynı kaynaklar arasında çalışan Lityum bromür-su çifti kullanan absorbsiyonlu soğutma sistemiyle, amonyak-su çifti kullanan absorbsiyonlu soğutma sisteminin, soğutma tesir katsayıları kıyaslandığında, Lityum bromür-su çifti kullanan sistemin soğutma tesir katsayısunın, amonyak-su çifti kullanan sistemin soğutma tesir katsayıısından büyük olduğu görülür.

Amonyak-su eriyiği kullanan absorbsiyonlu soğutma sisteminde, Eki Şekil 3 ve Eki Şekil 4' de gösterilen eriyiklerin geri gönderilmesi olayı mümkün olduğu halde, Lityum bromür-su eriyiği kullanan absorbsiyonlu soğutma sisteminde bu durum, kristalizasyon tehlikesi oluşturacağından uygulanmaz. Eriyiklerin geri gönderilmesi, sistemin soğutma tesir katsayısını artıran yöntemlerden biridir. Eriyiklerin geri gönderilmesi olayının uygulandığı sistemlerde, normalde eşanjöre gönderilmesi gereken kaynatıcı çıkış sıcaklığındaki amonyak açısından fakir olan eriyik, tekrar kaynatıcıya sokulup, kaynatıcı giriş sıcaklığına kadar soğutulduktan sonra eriyik eşanjörüne gönderilir. Amonyak bakımından fakir olan eriyığın kaynatıcı çıkış sıcaklığından, kaynatıcı giriş sıcaklığına kadar soğuması esnasında verdiği ısı kaynatıcıda kullanıldıgından, dışardan kaynatıcıya verilmesi gereken ısı miktarında düşüse sebep olur. Soğutma tesir katsayısı ifadesinin paydasında olan kaynatıcıya dışarıdan verilen ısıının azalmasında soğutma tesir katsayısını arttırır.

Diger çalışmalarla karşılaştırma;

Tablo 1' den görüldüğü üzere, Absorbsiyonlu Soğutma Sistemlerinin ana elemanlarının boyutlandırılmasında, soğutma ve ısıtma tesir katsayılarının hesaplanması, diyagramlar yardımıyla çözümde elde edilen sonuçlar, hal denklemleri yardımıyla bilgisayarda çözümde çıkan sonuçlarla uyum içindedir. Yapılan bilgisayar programı, diyagramdan değerlerin çok hassas okunmasıyla elde edilen sonuçları vermektedir.

Tablo 1 Absorbsiyonlu Soğutma Sistemlerinin, bilinen klasik yolla( diyagramlar yardımıyla ) çözümü ile bilgisayar yardımıyla çözümünden çıkan sonuçların mukayesesesi

$T_y = 40^{\circ}\text{C}$ ,  $T_b = 10^{\circ}\text{C}$ ,  $T_k = 100^{\circ}\text{C}$  ve  $\epsilon = 0.6$  olmak üzere;

| LiBr-H <sub>2</sub> O eriyiği kullanan<br>Absorbsiyonlu Soğutma<br>Sisteminde |                                      | NH <sub>3</sub> -H <sub>2</sub> O eriyiği kullanan<br>Absorbsiyonlu Soğutma<br>Sisteminde |                                      |
|---|--------------------------------------|---|--------------------------------------|
| Diyagram<br>yardımıyla<br>çözümden  | Bilgisayar<br>yardımıyla<br>çözümden | Diyagram<br>yardımıyla<br>çözümden  | Bilgisayar<br>yardımıyla<br>çözümden |
| STK   | 0.803                                | 0.805   | 0.591                                |
| ITK   | 1.803                                | 1.805   | 1.591                                |

Bu konuda yapılan diğer çalışmalarla karşılaştırma ise aşağıda sunulmuştur;

Lityum Bromür-su eriyiği kullanan Absorbsiyonlu Soğutma Sisteminde,

Tablo 2 Mevcut çalışmanın diğer çalışmalarla karşılaştırılması

|                | Rosenfeld<br>[27] | Mevcut<br>Çalışma | Landauro-<br>Parades<br>[60] | Mevcut<br>Çalışma | A. Yigit<br>[63] | Mevcut<br>Çalışma |
|----------------|-------------------|-------------------|------------------------------|-------------------|------------------|-------------------|
| T <sub>y</sub> | 38                | 38                | 42.5                         | 42.5              | 42               | 42                |
| T <sub>b</sub> | 8.6               | 8.6               | 7.4                          | 7.4               | 5                | 5                 |
| T <sub>k</sub> | 93                | 93                | 99.6                         | 99.6              | 98               | 98                |
| STK            | 0.70              | 0.77              | 0.63                         | 0.7               | 0.7              | 0.722             |

Amonyak-su eriyiği kullanan Absorbsiyonlu Soğutma Sisteminde,

Tablo 3 Mevcut çalışmanın diğer çalışmalarla karşılaştırılması

|                | E. Ataer<br>Y. Göğüs<br>[62] | Mevcut<br>Çalışma |
|----------------|------------------------------|-------------------|
| T <sub>y</sub> | 30                           | 30                |
| T <sub>b</sub> | 10                           | 10                |
| T <sub>k</sub> | 100                          | 100               |
| STK            | 0.75                         | 0.737             |

Tablolarda görülen teorik çalışmaların karşılaştırılması neticesinde, sonuçların birbirine olan yakınlığı, mevcut çalışma sonucu bulunan değerlerin teorik olarak soğutma sistemlerini karakterize eden değerler olduğu sonucunu doğurmusstur.

## TARTIŞMA VE SONUC

Buhar sıkıştırmalı mekanik soğutma sistemlerinde, kompresör ısı çok fazla çıkmaktadır. Buna paralel olarak da elektrik enerjisi gideri arttıkından, çalışma maliyeti yüksek olmaktadır.

Buhar sıkıştırmalı mekanik soğutma çevrimindeki mekanik işlemin yerini, absorbsiyonlu soğutma sistemlerinde fiziko-kimyasal işlemler almıştır. Mekanik kompresör yerine, absorbsiyonlu soğutma sisteminde termik kopresör kullanılmaktadır. Soğutma elde etmek için, buhar sıkıştırmalı mekanik soğutma sistemindeki mekanik ve elektrik enerjisi yerine, absorbsiyonlu soğutma sistemlerinde ısı enerjisi kullanılmaktadır. Bunun sağlamış olduğu avantajlarla çeşitli endüstriyel tesislerdeki atık ısı enerjisinin değerlendirilmesi ve tükenmez bir enerji kaynağı olan güneş enerjisinin kullanılması yoluyla enerjinin pahalı olduğu günümüzde absorbsiyonlu soğutma sistemleri daha ekonomik olur.

Absorbsiyonlu soğutma sistemlerinde, yaygın olarak kullanılan akışkan çiftleri olarak, amonyak-su çifti ve lityum bromür-su çifti göze çarpmaktadır. Her iki çiftinde çeşitli avantajları olmasına rağmen, özellikle son senelerde geliştirilen çift olan lityum bromür-su çiftinin, amonyak-su çiftine nazaran daha avantajlı olduğu yapılan araştırmalar neticesinde görülmüştür. Bir çok açıdan lityum bromür-su çiftinin daha avantajlı olduğu görülmüştür. Bütün bu avantajlarına rağmen lityum bromür-su çiftinin dezavantajlarının olduğuna da rastlanılmıştır. Bu çiftin en önemli dezavantajı kritализasyon tehlikesidir. Lityum bromür katı haldeyken kristal yapıya sahiptir. Tuzların çoğu gibi Lityum bromür'de suda çözülebilir. Lityum bromürün su ile yaptığı çözeltinin belirli bir konsantrasyon değerinde belirli bir minimum çözelti sıcaklığı vardır. Bu minimum sıcaklığın altında tuz çözeltiden ayrılmaya başlar. Yani katı hale gelmeye başlar, kristalleşme olur. Kristalleşmeye başlayan lityum bromür boruları tıkayarak, akışa engel olur. Bu sebeple

kristalizasyon istenmeyen bir olaydır.

Lityum bromür-su çiftinin diğer bir dezavantajında, lityum bromür-su eriyiği kullanan absorbsyonlu soğutma sisteminde, soğutucu akışkan olarak suyun kullanılması ve bu sebeple çok düşük sıcaklıklara inilememesidir. Bu iki dezavantaj lityum bromür-su eriyiği kullanan absorbsyonlu soğutma sisteminin çalışma şartlarını sınırlar. Çok düşük sıcaklıklara inilemez, su donarak boruları tıkayabilir. Çok yüksek sıcaklıklara çıkıldığında ise hem kristalizasyon tehlikesi olur hem de su buharlasarak kristal yapıya sahip lityum bromürü yalnız bırakır, böylece boruların tıkanmasına yol açar.

Lityum bromür-su eriyiği kullanan absorbsyonlu soğutma sistemi, bu alt ve üst sınırlar arasında sağlıklı çalışabilir. Bütün bu dezavantajların yanında, bu alt ve üst sınırlar arasında lityum bromür-su çifti, amonyak-su çiftinden birçok açıdan üstündür.

Lityum bromür-su eriyığının kristalizasyon sıcaklığı sadece Lityum bromür konsantrasyonuna bağlıdır. Lityum bromür konsantrasyonu arttıkça, kristalizasyon sıcaklığı artmaktadır.

Buharlaştırıcı ve yoğunsturucu sıcaklıkları sabit tutulup, kaynatıcı sıcaklığı arttırıldığında, soğutma tesir katsayıları artmaktadır. Fakat kaynatıcı sıcaklığı belli bir değere ulaştıktan sonra, soğutma tesir katsayısının sabit kaldığı gözlenmiştir.

Ideal soğutma tesir katsayısı direkt olarak kaynatıcı, yoğunsturucu ve buharlaştırıcı sıcaklıklarınak bağlıdır. Yoğunsturucu ve buharlaştırıcı sıcaklıkları sabit tutulup, kaynatıcı sıcaklığı arttırıldığında, ideal soğutma tesir katsayısı lineer olarak artmaktadır.

Kaynatıcı ve buharlaştırıcı sıcaklıkları sabit tutulup, yoğunsturucu sıcaklığı arttırıldığında, soğutma tesir katsayılarının azlığı görülmüştür. Yoğunsturucu sıcaklığının,

kaynاتıcı sıcaklığına yaklaşma derecesine göre soğutma tesir katsayılarının azaldığı görülmüş olup, bu duruma müsade edilmemesi geregi anlaşılmıştır. Lityum bromür-su eriyiği kullanan sistemin daha avantajlı olduğu, fakat kristalizasyon tehlikesi sebebiyle alt ve üst sınırlar arasında çalıştığı gözlenmiştir. Sınırlayıcı etkenin olmadığı amonyak-su eriyikli sistemin soğutma tesir katsayısunının daha düşük olduğu görülmüştür.

Buharlaştırıcı ve kaynاتıcı sıcaklığı sıcaklıkları sabit tutulup, yoğunluk sıcaklığı arttırıldığında ideal soğutma tesir katsayısunının azaldığı gözlenmiştir.

Yöneticili sıcaklığı sabit tutulup, kaynاتıcı sıcaklığı artırıldığında soğutma tesir katsayılarının arttığı, fakat çok yüksek kaynatacı sıcaklıklarında soğutma tesir katsayılarının azaldıkları görülmüştür. Bu durumu düzeltmek için yoğunluk sıcaklığı ile kaynatacı sıcaklığı arasındaki optimum çalışma aralığını seçmek gereklidir. Yöneticili sıcaklığının azalmasıyla soğutma tesir katsayılarının arttığı, fakat bu seferde cevrimin üst basıncının azalması ve buna bağlı olarak soğutma gücünün azaldığı görülmüştür.

Yöneticili sıcaklığı sabit tutulup, buharlaştırıcı sıcaklığı artırıldığında soğutma tesir katsayıları artmaktadır. Buharlaştırıcı sıcaklığı arttıkça, buharlaşma gizli ısısı artmakta olduğundan soğutma tesir katsayıları artar. Lityum bromür-su eriyiği kullanan sistemin soğutma tesir katsayısı büyük olmasına rağmen, alttan soğutucu akışkanın su olmasından dolayı donma tehlikesi yüzünden bir alt sınır, üstte ise kristalizasyon tehlikesi yüzünden bir üst sınır söz konusudur. Sınırlayıcı etkeni olmayan amonyak-su eriyiği kullanan absorpsiyonlu soğutma sisteminin soğutma tesir katsayısı Lityum bromür-su eriyiği kullanan sisteme göre düşüktür.

Yöneticili sıcaklıkları sabit tutulup, buharlaştırıcı sıcaklığı artırıldığında ideal soğutma tesir katsayısı artar. Fakat bu artış yoğunluk sıcaklığının artısına karşılık ideal soğutma tesir katsayısunının artısı kadar fazla

değildir.

Buharlaştırıcı, yoğunsturucu ve kaynatıcı sıcaklıkları sabit tutulup, eriyik eşanjörü etkenliği arttırıldığında soğutma tesir katsayısının arttığı görülmüştür.

Lityum bromür-su çifti kullanan absorbsiyonlu soğutma sisteminde, yoğunsturucu ıslık kapasitesi, amonyak-su çifti kullanan absorbsiyonlu soğutma sistemine nazaran daha büyüktür.

Buharlaştırıcı ve kaynatıcı sıcaklığı sabit tutulup, yoğunsturucu sıcaklığı arttırıldığında, yoğunsturucu ıslık kapasitesinde azda olsa bir düşme olmaktadır. Kaynatıcı sıcaklığı sabit tutulup, yoğunsturucu sıcaklığı artırıldığında, yoğunsturucu giriş noktasının antalpisi düşecektir. Aynı zamanda yoğunsturucu çıkış noktasının antalpisinde de olan düşüş, yoğunsturucu ıslık kapasitesindeki azalmaya sebep olacaktır.

Yönensturucu ve buharlaştırıcı sıcaklıkları sabit tutulup, kaynatıcı sıcaklığı artırıldığında yoğunsturucu giriş noktası antalpisinde bir artış gözleneceğinden, bu artışın etkisiyle yoğunsturucu ıslık kapasitesinde azda olsa bir coğalma gözlenecektir.

Lityum bromür-su çifti kullanan absorbsiyonlu soğutma sisteminde, buharlaştırıcı ıslık kapasitesi, amonyak-su çifti kullanan absorbsiyonlu soğutma sistemine nazaran daha büyüktür.

Buharlaştırıcı ve kaynatıcı sıcaklığı sabit tutulup, yoğunsturucu sıcaklığı artırıldığında, buharlaştırıcı ıslık kapasitesinde azda olsa bir düşme olmaktadır. Yüzensturucu sıcaklığı artırıldığında, yoğunsturucu çıkış noktasının antalpisinde bir düşüş olacaktır, yoğunsturucu çıkış noktasının antalpisi buharlaştırıcı giriş noktasının antalpisine esit olduğundan ( kısılma vanasında antalpi sabit hal değişimi olur ), buharlaştırıcı giriş noktası antalpisindeki düşüş buharlaştırıcı

ısil kapasitesindeki azalmaya sebep olacaktır.

Kaynاتıcı sıcaklığındaki artış, buharlaştırıcı ısil kapasitesi üzerinde fazla bir rol oynamayacaktır.

Yoğusturucu sıcaklığının sabit tutulup, buharlaştırıcı sıcaklığının arttırılması durumunda ise, buharlaştırıcı çıkış noktası antalpisinde bir artış gözlenecek, bu artış buharlaştırıcı ısil kapasitesini artıracaktır.

Lityum bromür-su çifti kullanan absorbsiyonlu soğutma sisteminde, kaynاتıcı ısil kapasitesi, amonyak-su çifti kullanan absorbsiyonlu soğutma sistemine nazaran daha büyüktür.

Buharlaştırıcı ve kaynاتıcı sıcaklığı sabit tutulup, yoğusturucu sıcaklığı arttırıldığında, kaynاتıcı ısil kapasitesinde artış olmaktadır. Yoğusturucu sıcaklığı artırıldığında, yoğusturucu basıncı yoğusturucu sıcaklığına tekabül eden doyma basıncı olduğundan, yoğusturucu basıncıda artacaktır. Kaynatacı sıcaklığı sabit tutulup, yoğusturucu sıcaklığı artırıldığında eriyik konsantrasyonunda bir artış olacak ve bu artış kaynatacı ısil kapasitesinde coğalmaya sebebiyet verecektir. Yine bunun tersi olarak, yoğusturucu basıncı sabit tutulup, kaynatacı sıcaklığı artırıldığında, eriyik konsantrasyonunda bir azalma olacak ve bu azalma, kaynatacı ısil kapasitesinde düşüse sebebiyet verecektir.

Buharlaştırıcı sıcaklığı artırıldığında, buharlaştırıcı basıncı buharlaştırıcı sıcaklığına tekabül eden doyma basıncı olduğundan, buharlaştırıcı basıncıda artacaktır. Yoğusturucu sıcaklığı sabit tutulup, buharlaştırıcı sıcaklığı artırıldığında fakir eriyik konsantrasyonunda bir artış olacak ve bu artış kaynatacı ısil kapasitesinde azalmaya sebebiyet verecektir.

Lityum bromür-su çifti kullanan absorbsiyonlu soğutma sisteminde, absorber ısil kapasitesi, amonyak-su çifti kul-

lanan absorbsiyonlu soğutma sistemindeki nazaran daha büyüktür.

Buharlaştırıcı ve kaynatıcı sıcaklığı sabit tutulup, yoğunsturucu sıcaklığı arttırıldığında, absorber ıslı kapasitesinde artış olmaktadır. Yoğunsturucu sıcaklığı artırıldığında, yoğunsturucu basıncı yoğunsturucu sıcaklığının tekabül eden doyma basıncı olduğundan, yoğunsturucu basıncıda artacaktır. Kaynatıcı sıcaklığı sabit tutulup, yoğunsturucu sıcaklığı arttırıldığında eriyik konsantrasyonunda bir artış olacak ve absorber giriş sıcaklığı azalacaktır. Bu esanada yoğunsturucu sıcaklığına eşit olan absorber çıkış sıcaklığı, yoğunsturucu sıcaklığı arttıkça artacağından absorberden çekilen ısı miktarında bir artış gözlenecektir. Yine bunun tersi olarak, yoğunsturucu basıncı sabit tutulup, kaynatıcı sıcaklığı artırıldığında, eriyik konsantrasyonunda bir azalma olacak ve absorber giriş sıcaklığı artacaktır. Absorber çıkış sıcaklığı sabit olarak kaldıgından, absorberden çekilen ısı miktarında gözle görülür bir azalma olacaktır.

Yoğunsturucu sıcaklığı sabit tutulup, buharlaştırıcı sıcaklığı arttırıldığında fakir eriyik konsantrasyonunda bir artış olacak ve bu artış absorber ıslı kapasitesinde azalmaya sebebiyet verecektir.

Amonyak-su eriyiği kullanan absorbsiyonlu soğutma sisteminde zengin veya fakir eriyik diye isimlendirme amonyaga göre yapılmakta ve bunun yanında Lityum bromür-su eriyiği kullanan absorbsiyonlu soğutma sisteminde ise zenginlik veya fakirlik Lityum bromüre göre yapılmaktadır.

Dolasım oranları, zengin veya fakir eriyik konsantrasyonlarına direkt olarak bağlı olduklarından, bunlardaki değişiklik dolasım oranlarını büyük ölçüde etkilemektedir.

Lityum bromür-su çifti kullanan absorbsiyonlu soğutma sisteminde, dolasım oranları, amonyak-su çifti kullanan absorbsiyonlu soğutma sistemindenekilere nazaran daha büyüktür.

Kaynaticı sıcaklığı sabit tutulup, yoğunsturucu sıcaklığı arttırıldığında ( ki bu yoğunsturucu basıncını artırmak demektir ), zengin eriyik konsantrasyonunda bir azalma, fakir eriyik konsantrasyonunda bir artma görülür. Bunun sonucunda dolasım oranlarında gözle görülür bir artış olur.

Buharlastırıcı ve yoğunsturucu sıcaklığı sabit tutulup, kaynaticı sıcaklığı arttırıldığında ise, zengin eriyik konsantrasyonundaki artış sebebiyle, dolasım oranlarında azalma olur.

Amonyak-su çifti kullanan absorbsiyonlu soğutma sisteminin, Lityum bromür-su çifti kullanan absorbsiyonlu soğutma sisteminden önemli bir farkıda, amonyak-su çifti kullanan sistemde mutlaka rektifikasyon kolonuna ve rektifyera gereksinim duyulmasıdır. Bunun nedeni ise, kaynaticıda denge şartlarında amonyak buharı bir miktar su buharı ihtiva eder. Amaç soğutma devresine ( yani yoğunsturucuya ve buharlastırıcıya ) saf amonyak göndermek olduğuna göre, kaynaticıdan çıkan buharda, amonyak derişliğini artırmak için kaynaticı üstündeki rektifikasyon kolonundan amonyak bakımından zengin eriyik geçirtilerek amonyak buharı zenginleştirilir ve neticede % 99 saflikta amonyak buharı elde edilir[56]. Oysa, Lityum bromür-su çifti kullanan sistemde böyle bir sorun yoktur, çünkü suyun buharlaşma sıcaklığı, Lityum bromüre göre oldukça düşüktür.

Amonyak-su çifti kullanan sistemde soğutucu akışkan olarak amonyak kullanıldığından çok düşük sıcaklıklara inmek sözkonusu olduğu halde, soğutucu akışkan olarak su kullanan Lityum bromür-su çiftli sistemde, suyun donma tehlikesi yüzünden düşük sıcaklıklara inmek sözkonusu değildir.

Amonyak-su çifti kullanan sistemde sınırlayıcı etken pek olmadığı halde, Lityum bromür-su çifti kullanan sistemde, soğutucu akışkanın su olmasından dolayı düşük sıcaklıklara inilememesi bir sınırlayıcı etken olmasının yanında, yüksek

sıcaklıklarda ise suyun tamamının ayrılop kristal yapıya sahip olan Lityum bromürü yalnız bırakıp boruların tıkanmasına sebebiyet vermesi diğer bir sınırlayıcı etkeni oluşturarak, bu sistemin çalışma aralığını sınırlamaktadır.

Aynı kaynaklar arasında çalışan Lityum bromür-su çifti kullanan absorbsiyonlu soğutma sistemiyle, amonyak-su çifti kullanan absorbsiyonlu soğutma sisteminin, soğutma tesir katsayıları kıyaslandığında, Lityum bromür-su çifti kullanan sistemin soğutma tesir katsayısunun, amonyak-su çifti kullanan sistemin soğutma tesir katsayılarından büyük olduğu görülür.

Amonyak-su eriyiği kullanan absorbsiyonlu soğutma sisteminde, eriyiklerin geri gönderilmesi olayı mümkün olduğu halde, Lityum bromür-su eriyiği kullanan absorbsiyonlu soğutma sisteminde bu durum, kristalizasyon tehlikesi olusturacağından uygulanmaz. Eriyiklerin geri gönderilmesi, sistemin soğutma tesir katsayısunu arttıran yöntemlerden biridir. Eriyiklerin geri gönderilmesi olayının uygulandığı sistemlerde, normalde eşanjöre gönderilmesi gereken kaynاتıcı çıkış sıcaklığındaki amonyak açısından fakir olan eriyik, tekrar kaynaticiya sokulup, kaynaticı giriş sıcaklığına kadar soğutulduktan sonra eriyik eşanjörüne gönderilir. Amonyak bakımından fakir olan eriyığın kaynaticı çıkış sıcaklığından, kaynaticı giriş sıcaklığına kadar soğuması esnasında verdiği ısı kaynaticıda kullanıldıgından, dışardan kaynaticiya verilmesi gereken ısı miktarında düşüse sebep olur. Kaynaticiya dışarıdan verilen ısısunın azalmasında soğutma tesir katsayısunı arttırır.

## ÖZET

Çalışmanın amacı, absorbsiyonlu soğutma sistemlerinde amonyak-su çifti ile lityum bromür-su çiftinin kıyaslanmasıdır. Bunun için öncelikle soğutmanın tanımı yapılmış, absorbsiyonlu soğutma sisteminin, genel soğutma sistemleri sınıflandırmamasındaki yerinin tespiti yapılmıştır.

Absorbsiyonlu soğutma sistemini iyi anlamak için, bu sistemin esasını teşkil eden buhar sıkıştırmalı mekanik soğutma sistemi tanıtılmasına gerek duyulmuştur. Bunun için öncelikle buhar sıkıştırmalı mekanik soğutma sisteminin ana elemanları tanıtılmış ve sistemin çalışma prensibi kısaca anlatılmıştır. Daha sonra absorbsiyonlu soğutma sistemiyle, buhar sıkıştırmalı mekanik soğutma sisteminin farkı ve benzerlikleri üzerinde durulmuştur. Absorbsiyonlu soğutma sisteminin ana elemanları tanıtılmış ve sistemin çalışma prensipleri anlatılmıştır. Uygulamada kullanılan soğutucu akışkan tipleri tanıtılmış, özellikle konunun esasını teşkil eden amonyak-su çifti ve lityum bromür-su çifti üzerinde durulmuştur. Bu iki çiftin diyagramlar ve hal denklemleri yardımıyla özelliklerinin nasıl bulunacağı anlatılmıştır. Absorpsiyonlu soğutma sisteminin hesaplarının, hem diyagram yardımıyla hem de bilgisayar yardımıyla nasıl olacağı birer sayısal örnekle anlatılmıştır. Hesaplar neticesinde çizilen diyagramlar yardımıyla amonyak-su çifti ile lityum bromür-su çiftinin çeşitli yönlerden kıyaslaması yapılmıştır.

## KAYNAKLAR

- [1] Zorkun, M. E. ve Ardic, A. R., *Sogutma Teknigi ve Klima*, Milli Egitim Bakanligi Yayıni, İstanbul, (1980).
- [2] Özkol, N., *Uygulamali Sogutma Teknigi*, Makina Müh. Odası Yayıni, Ankara, (1985).
- [3] Reay, D. A. ve Macmichael, D. B. A., "Heat Pumps Design and Applications," Great Britain , (1979).
- [4] McQuiston, F. C. ve Parker, J. D., "Heating, Ventilating and Air Conditioning," John Wiley & Sons Inc., U. S. A.,(1988).
- [5] Raznjevic, K., *Handbook of Thermodynamic Tables And Charts*, U. S. A., (1976).
- [6] Perez-Blonco, H., "Absorbtion Heat Pump Performance For Different Types of Solutions" International Journal of Refrigeration, Sayı 7, (1984), pp 115-122.
- [7] Bourseau, P. ve Bugarel, R., "Refrigeration par Cycle a Absorption des Systemes NH<sub>3</sub>-NASCN ", International Journal of Refrigeration, July, (1986), pp 206-214.
- [8] Cleland, A. C., "Computer Subroutines For Rapid Evaluation of Refrigerant Thermodynamic Properties", International Journal of Refrigeration, Nowember, (1986), pp 346-351.
- [9] Zeigler, B. ve Trepp, C., "Equation of State for Ammonia-water Mixtures", International Jornal of Refrigeration, Volume 7, Sayı 2, Mart, (1984), pp 101-106.
- [10] Schulz, S. C. G., "Equation of State for the System Ammonia-water Mixtures" I. I. R., Washington D. C., Commission II, (1971).
- [11] Özal L., Ataer, Ö. E. ve Göğüs, Y., "Amonyak Sogutuculu Su Soguruculu Sistemin Simülasyonu" 6. Ulusal Isı Bilimi ve Teknigi Kongresi, Ankara, Eylül, (1987).
- [12] Jennings, B. H. ve Shannon, F. P., "Tables of the Properties of Aqua-Ammonia Solutions" Refrigerating Engineering, 35, pp 333-36, May (1938).
- [13] Perman, E. P., "Vapour Pressure of Aqueous Ammonia Solutions" J. Chem. Soc. 79, pp 718-725 (1901).
- [14] Clifford, I. L. ve Hunter, E., "The System Ammonia-Water at Temperatures to 150°C and at Pressures to 20 Atmospheres" J. Phys. Chem. 37, pp 101-118 (1933).

- [15] Macriss, R. A. ve Eakin, B. E., "Thermodynamic Properties of Ammonia-water Solutions and Pressures Extended to Higher Temperatures, ASHRAE Trans. Vol. 70, pp 319-27, (1964).
- [16] Jennings, B. H., "Ammonia-Water Properties (Experimentally Determined P,V,T,x Liquid Phase Data), ASHRAE Trans. Vol. 71, pp 21-29, (1965).
- [17] Macriss, R. A., Eakin, B. E., Ellington, R. T. ve Heubler, J., " Physical and Thermodynamic Properties of Ammonia-water Mixtures " Research Bulletin No.34 Institute of Gas Technology, Chicago, Ill. (1964).
- [18] Tables of Thermodynamic Properties of Ammonia , U. S. Bur. of Standards Circular No.142 (1923).
- [19] Scatchard, G., Epstein, L. F., Warburton, Jr. ve Cody, P.J., " Thermodynamic Properties of the Saturated Liquid and Vapor of Ammonia-water Mixtures" Refrig. Eng. 53, pp 413-419, 446 (1947).
- [20] ASME Steam Tables; Thermodynamic and Transport Properties of Steam, ASME, New York, (1967).
- [21] Boryta, D. A., " Physical Properties of Lithium Bromide Aqueous Solutions" Foote Mineral Company, (1971).
- [22] Pennington, W., " How to Find Accurate Vapor Pressures of Lithium Bromide Water Solutions " Refrig. Eng. 63, pp 57-61, May, (1955).
- [23] Ellington, R. T., Kunst, G., Peck, R. E. ve Reed, J. F., " The Absorption Cooling Process," Institute of Gas Technology Research Bulletin, 114 (1957).
- [24] Lower, H., " Thermodynamic and Physical Properties of Aqueous Lithium Bromide Solutions " Technical University, Karlsruhe, Germany, (1961).
- [25] Jackson, T. R., Squire, W. ve Kaufman, J. E., "Absorption Refrigeration Computer Program " AGA Project ZQ-63, (1961).
- [26] McNeely, L. A. ve Reeve, A. C., " Thermodynamic Properties of Aqueous Solutions of Lithium Bromide " Carrier Corp. unpublished Technical Report, (1964).
- [27] Rosenfeld, L. M. ve Karnaugh, M. S., " Enthalpy-Concentration Diagram of Aqueous Lithium Bromide Solutions " Cholodilnaja Technika, Vol. 1, (1958).

- [28] Greeley, E. M., "Vapor Pressure of Lithium Bromide Solutions at Absorber Conditions" Carrier Corp. unpublished memorandum Report, (1959).
- [29] McNeely, L. A., "Thermodynamic Properties of Aqueous Solutions of Lithium Bromide" ASHRAE Transactions, Vol. 85, No. 3, pp 413-434, (1979).
- [30] Jennings, B. H., "The Thermodynamic Properties of Ammonia-water mixtures: A reassessment in Tabular form" ASHRAE Transactions, Volume 87, Part 2, pp 419-433 (1981).
- [31] Perman, E. P., "Vapor Pressure of Aqueous Ammonia Solutions" J. Chem. Soc. 79, pp 718-725 (1901).
- [32] Clifford, I. L. ve Hunter, E., "The System Ammonia-Water at Temperatures to 150°C and at Pressures to Atmospheres" J. Phys. Chem. 37, pp 101-118, (1933).
- [33] Eisa, M. A. R., Devotta, S. ve Holland, F. A., "A study of economiser performance in a water-lithium bromide absorption cooler" International Journal of Heat And Mass Transfer, Vol. 28, No. 12, Pergamon Press, December (1985).
- [34] Kumar, P., Devotta, S. ve Holland, A., "Effect of flow ratio on the performance of an experimental absorption cooling system" Chem. Eng. Res. Des. 62, pp 194, (1984).
- [35] Vliet, G. C., Lawson, M. B. ve Lithgow, R. A.: "Water-lithium bromide double-effect absorption cooling cycle analysis" Trans. Am. Soc. Heat. Refrig. Air-Condit. Engrs 88, 811 (1982).
- [36] Van Kasteren, P. H. G., "The Crystallization behaviour and caloric properties of water/ammonia mixtures between 70 and 300 K" I. I. F.- I. I. R.- Commission RI, pp 81-87 (1971).
- [37] Patterson, M. R., Perez-Blonco, H., "Numerical Fits of the Properties of Lithium Bromide- Water Solutions" ASHRAE Trans., Volume 88, Part 2, pp 2059-2077, (1988).
- [38] DeVault, R. C., "Developments in gas fired absorption heat pumps in North America" Proceeding of 1987 International Energy Agency Heat Pump Conference, Chelsea, April, (1987).

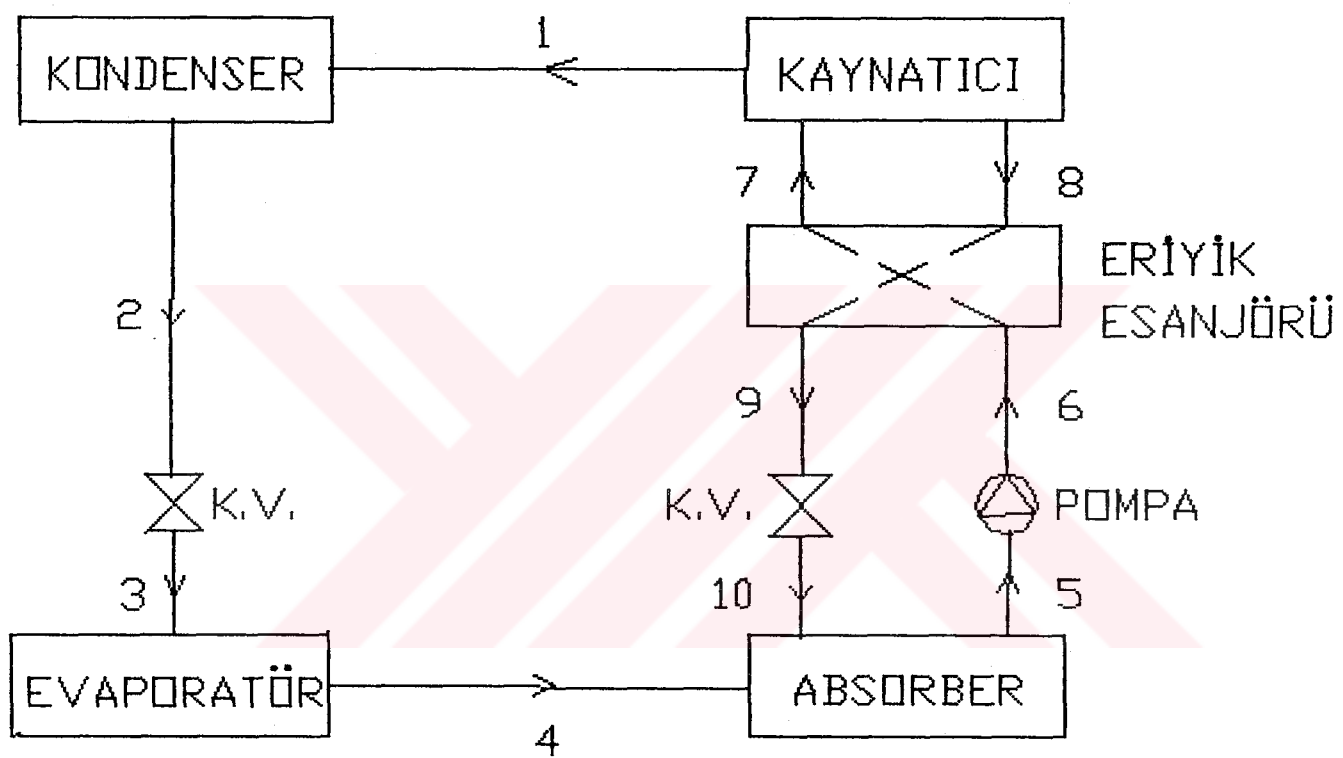
- [39] Herold, K. E. ve Moran, M. J., " Thermodynamic Properties of lithium bromide/water solutions " ASHRAE Transactions, Vol. 93, Part 1, pp 35- 50 (1987).
- [40] Uemura, T., " Properties of refrigerant-absorbent systems used for absorption-type refrigeration machines " Reito, Vol. 52, No. 600, (1975).
- [41] Grossman, G. ve Michelson, E., " A Modular Computer Simulation of Absorption Systems " ASHRAE Trans. Vol. 36, No. 2, pp 1808-1827 (1988).
- [42] Grossman, G. ve Perez-Blanco, H., " Conceptual design and performance analysis of absorption heat pumps for waste heat utilization " ASHRAE Trans., Vol. 88, part 1, 2691 (1982).
- [43] Huntley, W. R., " Performance Test Results of a Lithium Bromide/water absorption heat pump using low temperature waste heat " ORNL/TM-9072 (1984).
- [44] Schulz, S. C. G., " Equations of State for the System Ammonia-water for use with computers " I. I. F.- I. I. R. Commission RI, pp 431-436 (1964).
- [45] Perez-Blanco, H., " Absorption Heat Pump Performance for Different Types of Solutions " International Journal of Refrigeration, Vol. 7, Sayı 2, Mart, pp 115-122 (1984).
- [46] Jacop, X., Albright, C. F. ve Tucker, W. H., " Factors affecting the coefficient of performance for absorption air conditioning systems " ASHRAE Trans., Volume 75, Part 1, pp 103-10 (1969).
- [47] Mansoori, G. A. ve Patel, V., " Thermodynamic basis for the choice of working fluids for solar absorption cooling systems " Sol Energy, 22, pp 483-91, (1979).
- [48] Iedema, P. D., " Mixtures for the absorption heat pump " International Journal of Refrigeration, Vol. 5, Sayı 5, pp 262-73, (1982).
- [49] Althouse, A. D., Turnquist, C. H. ve Bracciano, A. F., Modern Refrigeration and Air Conditioning, South Holland, The Goodheart-Willcox Company Inc., (1979).
- [50] 1988 ASHRAE Equipment Handbook " Absorption Cooling, Heating and Refrigeration Equipment " Chapter 13, 13.1-13.12, (1988).

- [51] Renon, H., Guillevic, J. L. ve Richon, D., " A Cubic Equation of State Representation of Ammonia-water Vapour-liquid equilibrium data " Int. J. Refrig. Vol. 9, March, pp 70-73 (1986).
- [52] Scatchard, G., Epstein, L. F. ve Warburton, J., " Thermodynamic Properties of saturated liquid and vapour of ammonia-water mixtures " Refrig., Eng. 53, pp 413-445 (1947).
- [53] Macriss, R.A., Eakin, B. E., Ellington,R.T. ve Heubler,J.: " Physical and thermodynamic properties of ammonia-water mixtures " Research Bulletin, No. 34, Institute of Gas Technology, Chicago, IL, U. S. A., (1964).
- [54] Bolzan, M. ve Lazzarin, R., " Comparison between two absorption cooling systems of the 'open' type under different climatic conditions " Int. J. of Refrig., Vol. 2, Sayı 3, Mayıs, (1979).
- [55] Dossat, R. J., " Principles of Refrigeration " John Wiley and Sons, Canada, (1981).
- [56] Ayber, R., Soğutma Tekniği, İ. T. Ü. Yayınları, Yayın No. 5, İstanbul, (1986).
- [57] Merrick, R. H., " A Direct, Evaporatively Cooled, Three-Ton Lithium Bromide-Water Absorption Chiller for Solar Application " ASHRAE Trans., Volume 82, Part 5, No. 1, pp 797-809, (1986).
- [58] McLinden, M. ve Radermacher, R., " An Experimental Comparison of Ammonia-Water and Ammonia-Water Lithium Bromide Mixtures in an Absorption Heat Pump " ASHRAE Trans. Vol. 85, Part 36, No. 4, pp 1337-1846, (1985).
- [59] Hayes, F. C., " Evaluation of Advanced Design Concepts for Absorption Heat Pumps " DoE/ORNL Heat Pump Conference Washington D. C., (1984).
- [60] ASHRAE Transactions, (1980-1989).
- [61] Yamankaradeniz, R., Ders Notları, (1988).
- [62] Ataer, Ö. E. ve Göğüs, Y., " Amonyak/su soğurmali sisteminin analizi ve ısıl süreçlerdeki tersinmezliklerin karşılaştırılması" İSİ Bil. Tek. Kongresi, (1988).
- [63] Yigit, A., " Absorbsiyonlu Soğutma Sisteminin Simülasyonu" İ. T. Ü., Doktora Tezi, İstanbul, (1989).

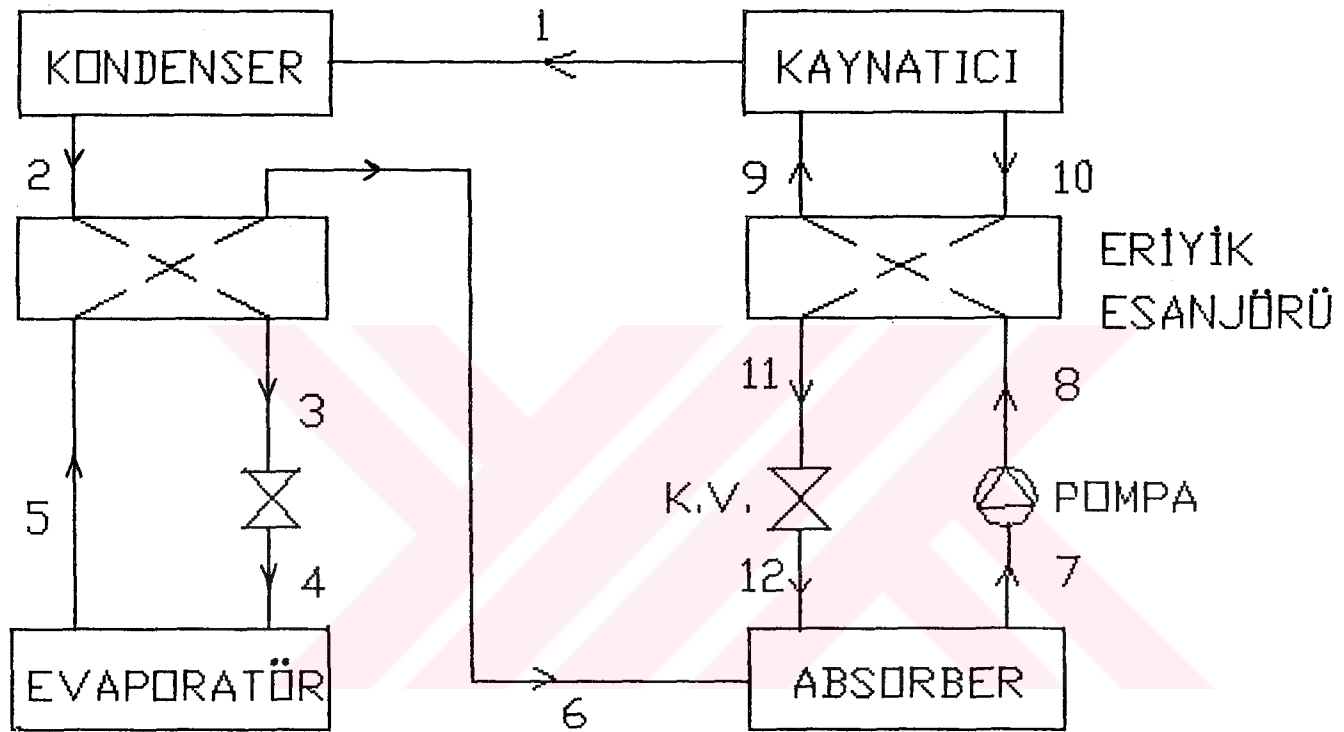
**EKLER**

- Ek1 : Şekiller**
- Ek2 : Tablolar ve Diyagramlar**
- Ek3 : Bilgisayar Programı**

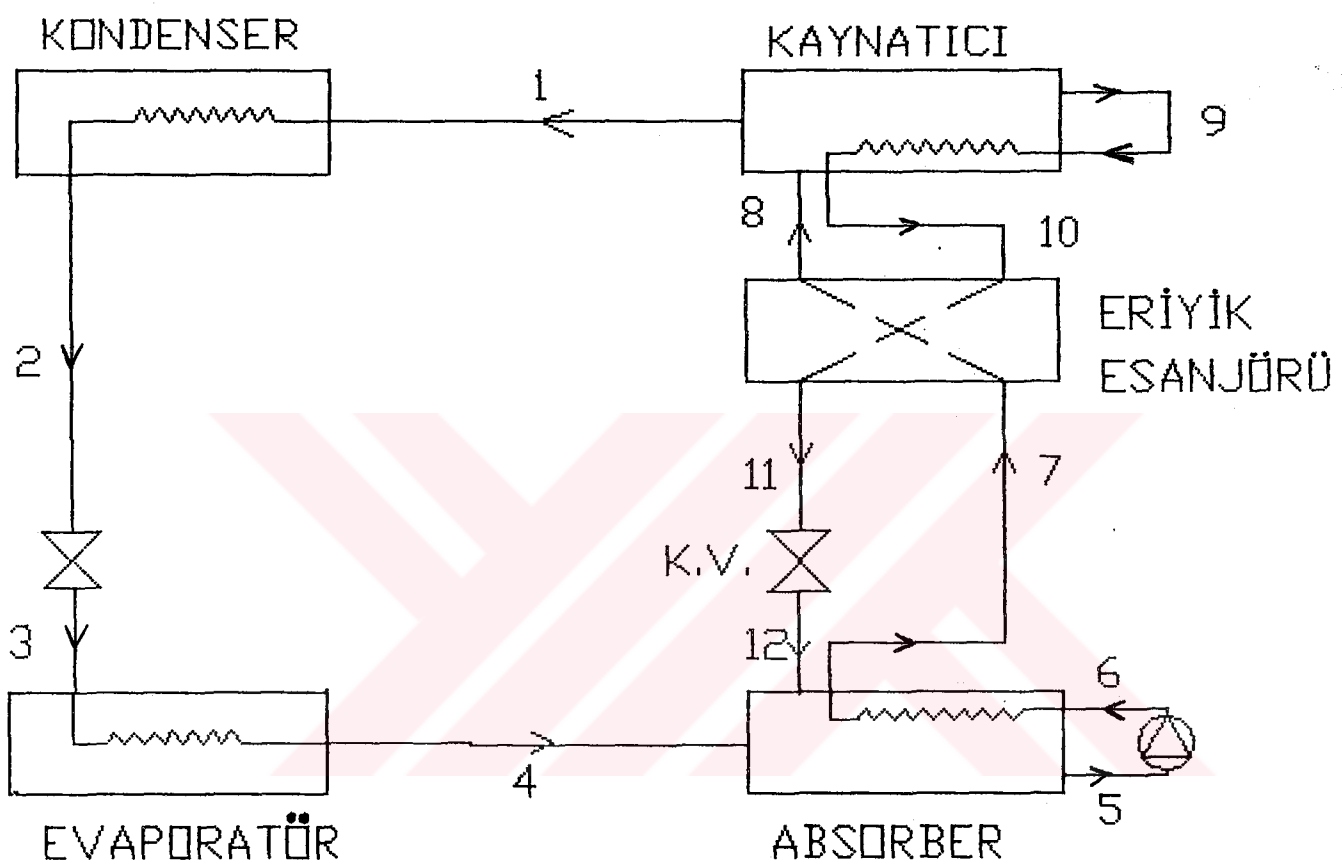
Eki : Sekiller



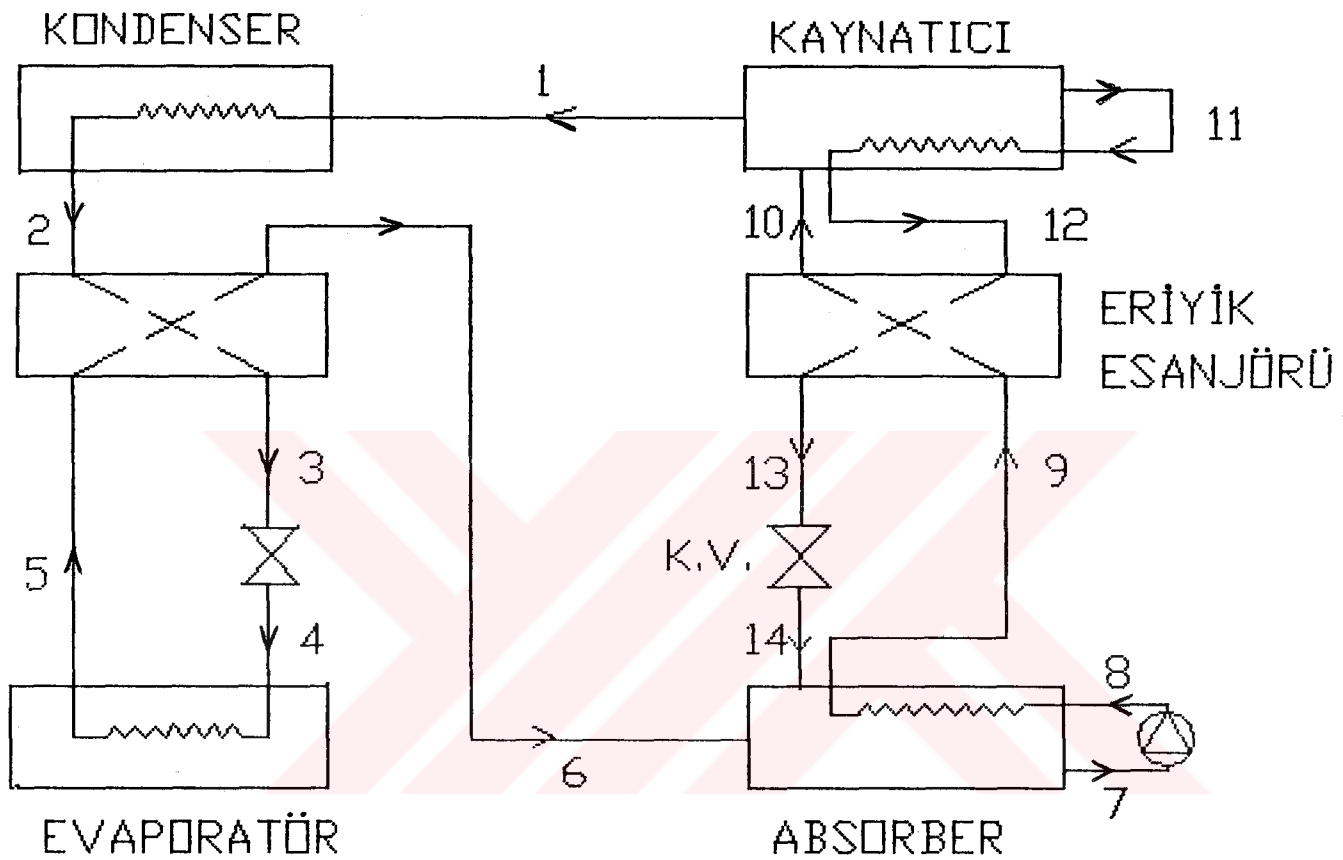
Sekil 1. Eriyik Esanjörlü Absorbsiyonlu Soğutma Sistemi



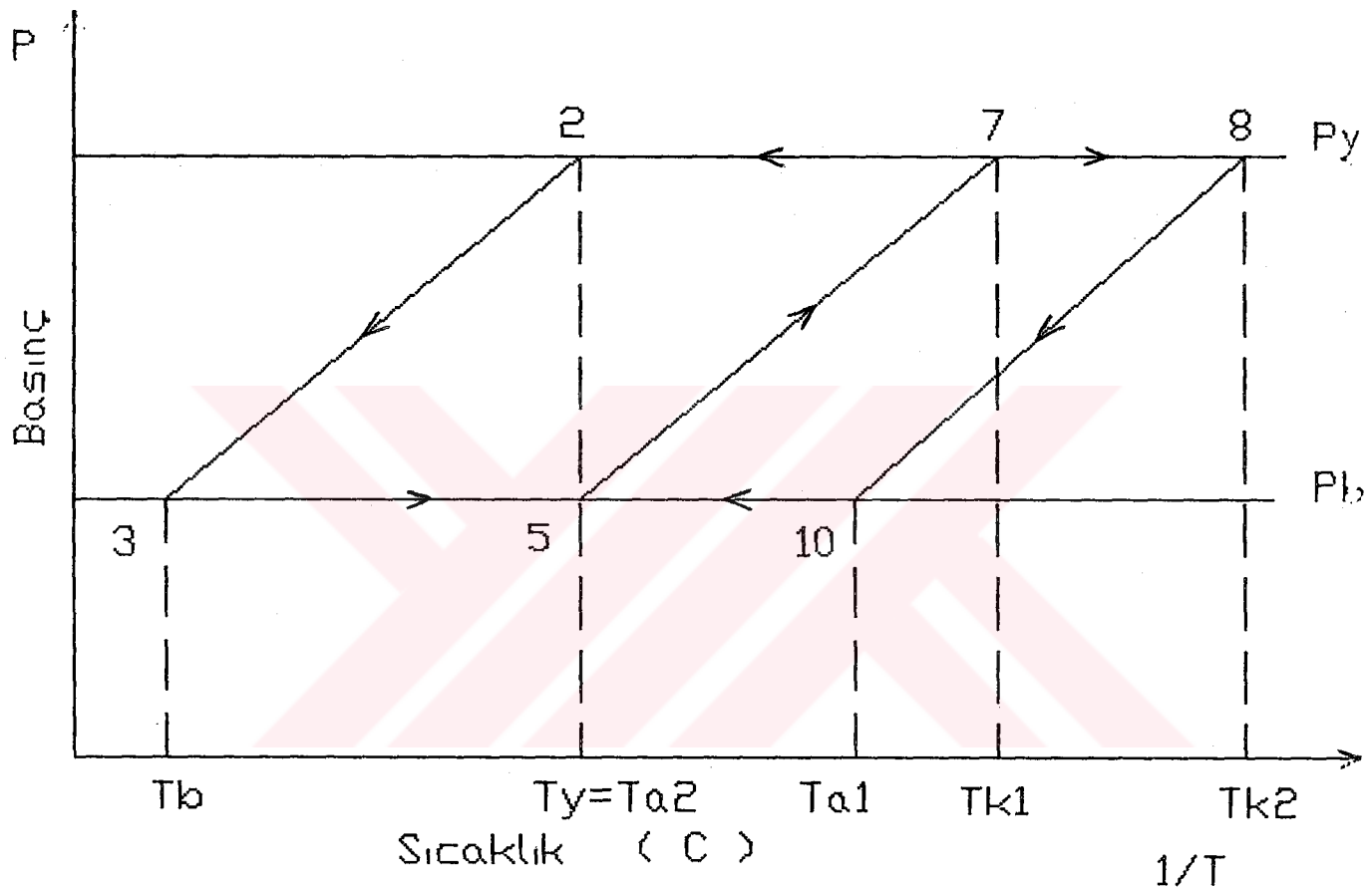
Sekil 2 Eriyik Esanjörlü ve Soğutma Devresi Esanjörlü  
Absorbsiyonlu Soğutma Sistemi



Sekil 3 Eriyik Esanjörlü ve Eriyiklerin Geri Gönderildiği  
Absorbsiyonlu Soğutma Sistemi

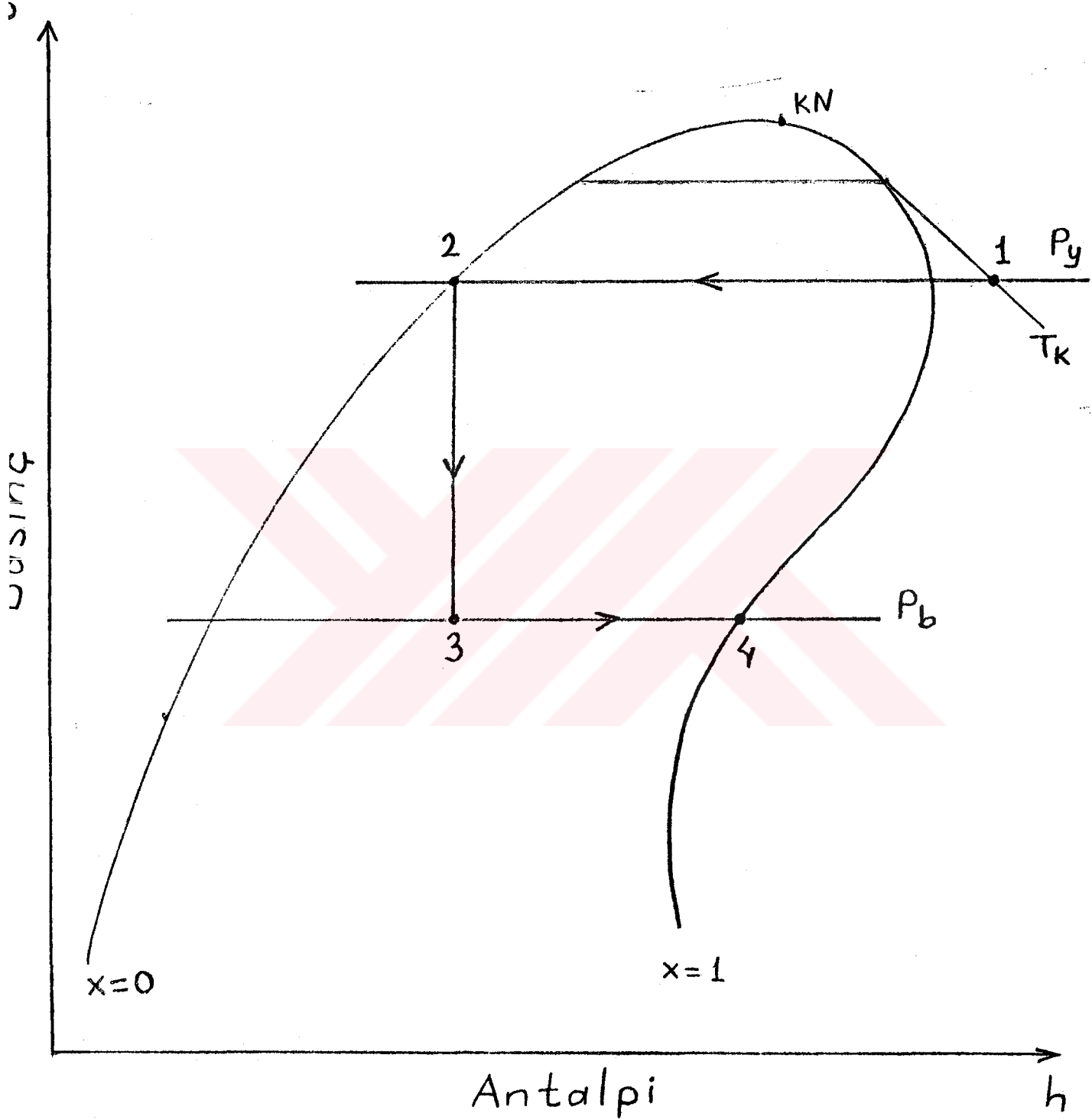


Sekil 4 Eriyik Esanjörlü, Soğutma Devresi Esanjörlü ve  
Eriyiklerin Geri gönderildiği Absorbsiyonlu Soğutma  
Sistemi

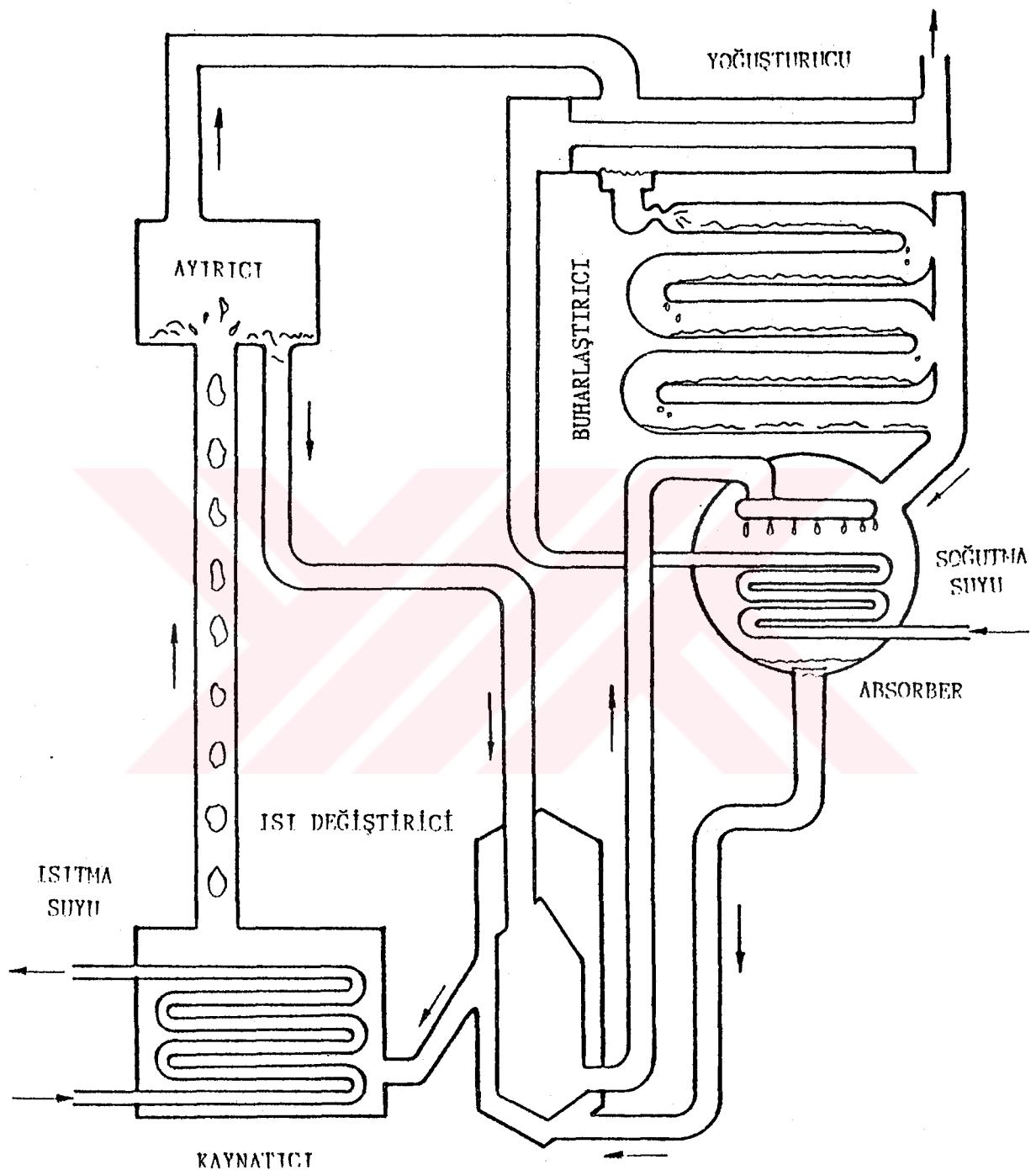


Sekil 5 Absorbsiyonlu Soğutma Sistemi Çevriminin

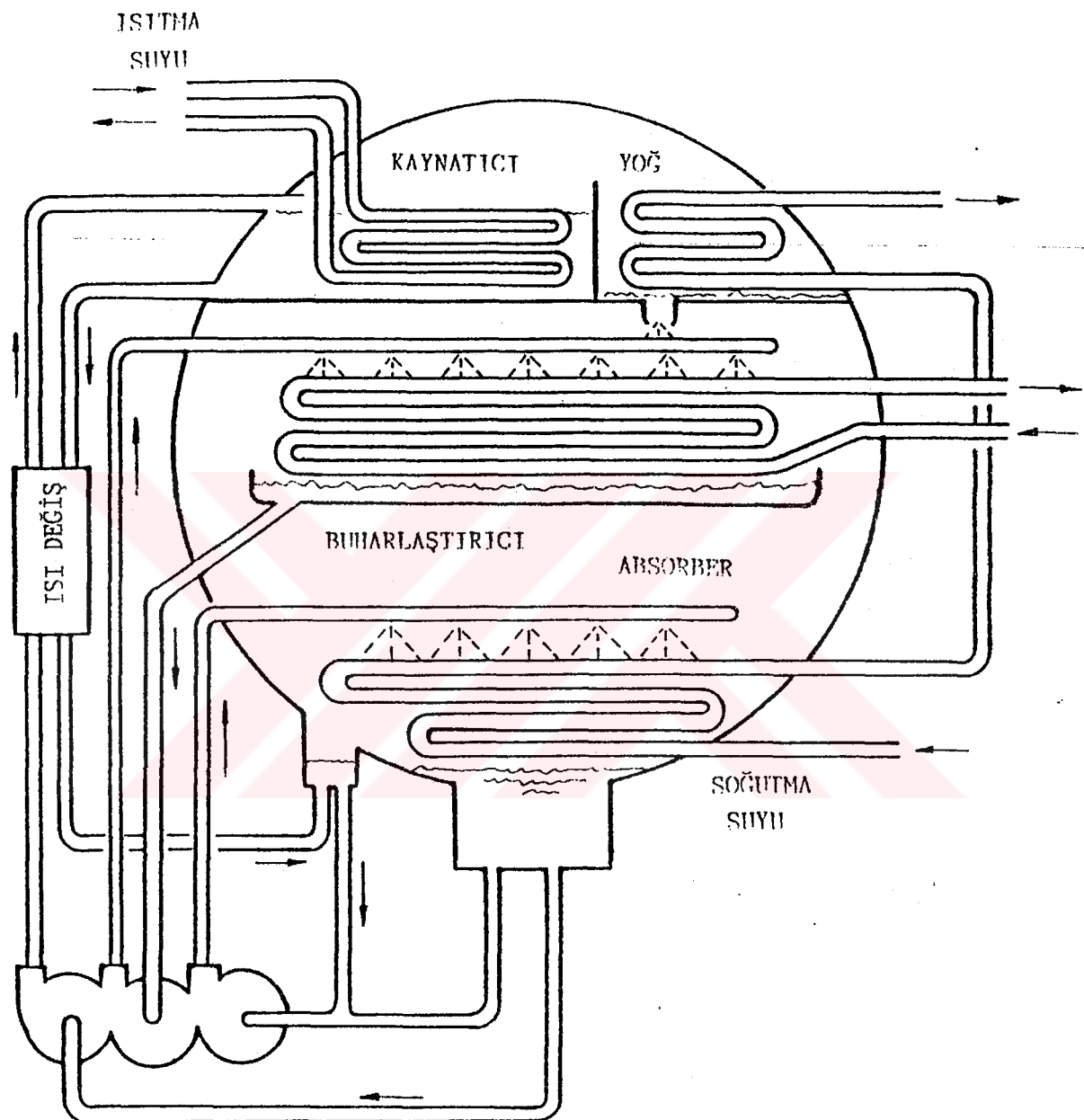
$\ln P - \frac{1}{T}$  diyagramında gösterilisi



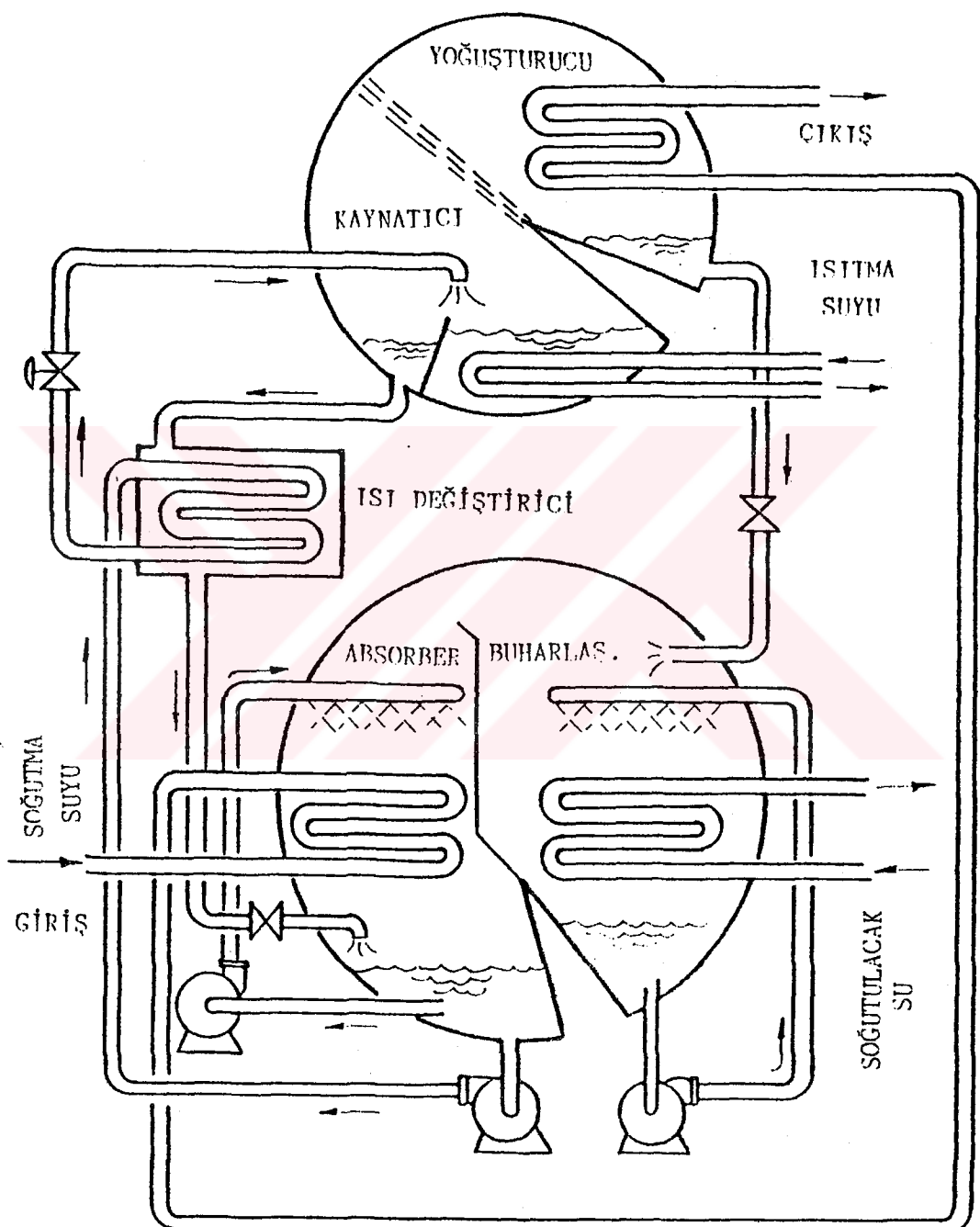
Sekil 6 Absorbsiyonlu Soğutma Siteminde Soğutma Devresindeki  
Hal Değişimlerinin  $h-s$  Diyagramında Gösterilisi



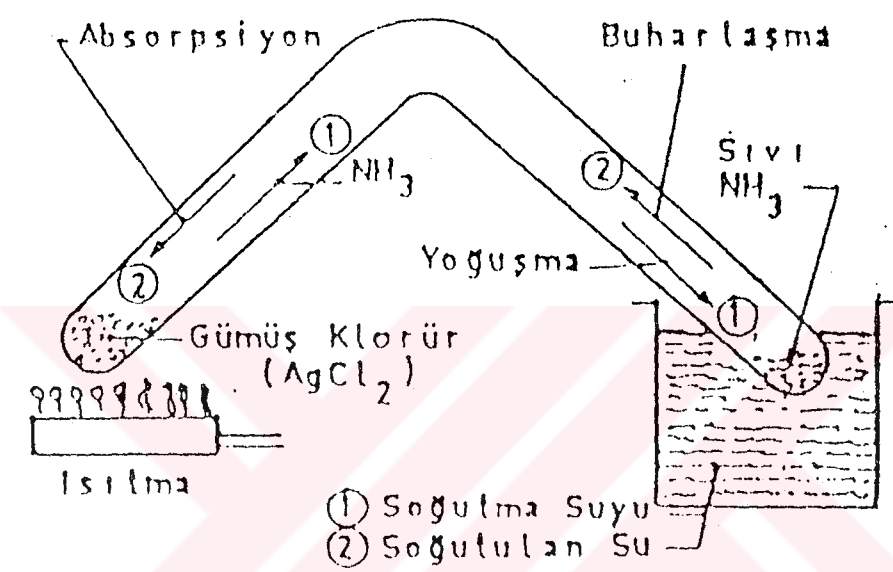
Sekil 7 ARKLA Firması Tarafından Üretilen Dört Ayrı Bölümeli Absorbsiyonlu Soğutma Sistemi[63].



Sekil 8 TRANE Firması Tarafından Üretilen Absorbsiyonlu Soğutma Makinası[63].

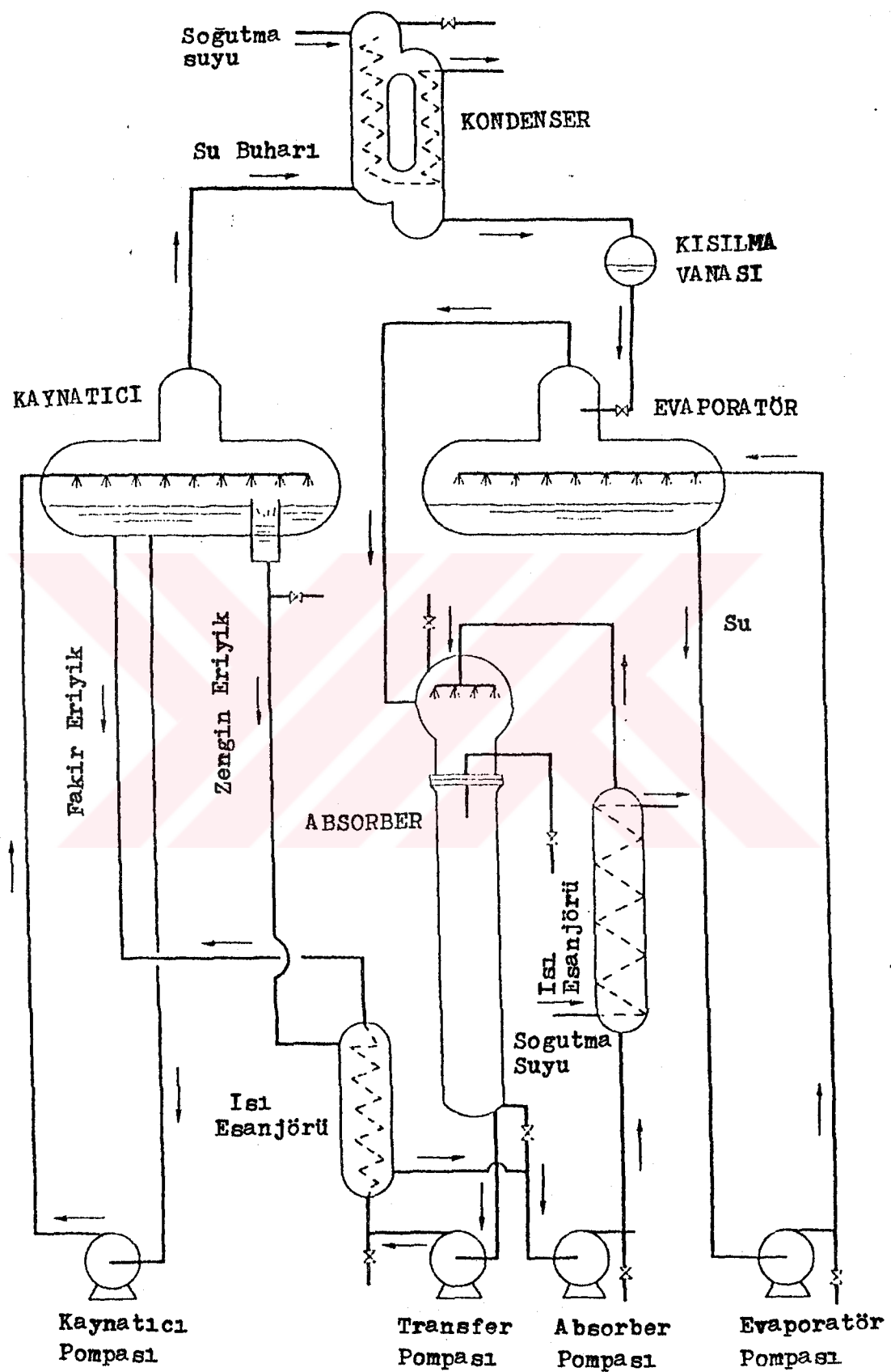


Sekil 9 CARRIER Firması Tarafından Üretilen Absorbsiyonlu Soğutma Makinası[63].



- ① Isıtma + Yoğustırma ( $\text{NH}_3$ )
- ② Absorpsiyon + Soğutma

Sekil 10 Faraday'ın Absorbsiyon Deney Aygıt[2].



Sekil 11 Deneysel Absorbsiyonlu Soğutma Sisteminin  
Sematik Diyagramı[33].

**Ek 2 : Diyagramlar ve Tablolar**

**Tablo 1 Su buharının Doymuş Haller Tablosu [5]**

| Sıcaklık<br>°C | Basınç<br>bar | Özgül Hacim       |              | Yığınluk     |              | Özgül Antalpi |              | Bukarlaşma<br>Gizli<br>İş Enerjisi<br>kJ/kg | Özgül Entropi  |                |
|----------------|---------------|-------------------|--------------|--------------|--------------|---------------|--------------|---|----------------|----------------|
|                |               | Sıvı              | Buhar        | Sıvı         | Buhar        | Sıvı          | Buhar        |   | Sıvı           | Buhar          |
|                |               | <i>v'</i>         | <i>v''</i>   | <i>p'</i>    | <i>p''</i>   | <i>i'</i>     | <i>i''</i>   |   | <i>s'</i>      | <i>s''</i>     |
| <i>t</i><br>°C | <i>T</i><br>K | <i>p</i><br>m³/kg | <i>m³/kg</i> | <i>kg/m³</i> | <i>kg/m³</i> | <i>kJ/kg</i>  | <i>kJ/kg</i> |   | <i>kJ/kg K</i> | <i>kJ/kg K</i> |
| 0.01           | 273.16        | 0.006106          | 0.0010002    | 206.3        | 999.80       | 0.004847      | 0.00         | 2501  | 2501           | 0.0000         |
| 1              | 274.15        | 0.006566          | 0.0010001    | 192.6        | 999.90       | 0.005192      | 4.22         | 2502  | 2498           | 0.0154         |
| 2              | 275.15        | 0.007054          | 0.0010001    | 179.9        | 999.90       | 0.005559      | 8.42         | 2504  | 2496           | 0.0306         |
| 3              | 276.15        | 0.007575          | 0.0010001    | 168.2        | 999.90       | 0.005945      | 12.63        | 2506  | 2493           | 0.0458         |
| 4              | 277.15        | 0.008129          | 0.0010001    | 157.3        | 999.90       | 0.006357      | 16.84        | 2508  | 2491           | 0.0610         |
| 5              | 278.15        | 0.008719          | 0.0010001    | 147.2        | 999.90       | 0.006793      | 21.05        | 2510  | 2489           | 0.0762         |
| 6              | 279.15        | 0.009347          | 0.0010001    | 137.8        | 999.90       | 0.007257      | 25.25        | 2512  | 2489           | 0.0913         |
| 7              | 280.15        | 0.010013          | 0.0010001    | 129.1        | 999.90       | 0.007746      | 29.45        | 2514  | 2485           | 0.1063         |
| 8              | 281.15        | 0.010721          | 0.0010002    | 121.0        | 999.80       | 0.008264      | 33.55        | 2516  | 2482           | 0.1212         |
| 9              | 282.15        | 0.011473          | 0.0010003    | 113.4        | 999.70       | 0.008818      | 37.85        | 2517  | 2479           | 0.1361         |
| 10             | 283.15        | 0.012277          | 0.0010004    | 106.42       | 999.60       | 0.009398      | 42.04        | 2519  | 2477           | 0.1510         |
| 11             | 284.15        | 0.013118          | 0.0010005    | 99.91        | 999.50       | 0.010001      | 46.22        | 2521  | 2475           | 0.1658         |
| 12             | 285.15        | 0.014016          | 0.0010006    | 93.84        | 999.40       | 0.01066       | 50.41        | 2523  | 2473           | 0.1805         |
| 13             | 286.15        | 0.014967          | 0.0010007    | 88.18        | 999.30       | 0.01134       | 54.60        | 2525  | 2470           | 0.1952         |
| 14             | 287.15        | 0.015974          | 0.0010008    | 82.90        | 999.20       | 0.01206       | 58.78        | 2527  | 2468           | 0.2098         |
| 15             | 288.15        | 0.017041          | 0.0010010    | 77.97        | 999.00       | 0.01282       | 62.97        | 2528  | 2465           | 0.2244         |
| 16             | 289.15        | 0.018170          | 0.0010011    | 73.39        | 998.90       | 0.01363       | 67.16        | 2530  | 2463           | 0.2389         |
| 17             | 290.14        | 0.019364          | 0.0010013    | 69.10        | 998.70       | 0.01447       | 71.34        | 2532  | 2461           | 0.2534         |
| 18             | 291.15        | 0.02062           | 0.0010015    | 65.09        | 998.50       | 0.01536       | 75.53        | 2534  | 2458           | 0.2678         |
| 19             | 292.15        | 0.02196           | 0.0010016    | 61.34        | 998.40       | 0.01630       | 79.72        | 2536  | 2456           | 0.2821         |
| 20             | 293.15        | 0.02337           | 0.0010018    | 57.84        | 998.20       | 0.01729       | 83.90        | 2537  | 2454           | 0.2964         |
| 21             | 294.15        | 0.02486           | 0.0010021    | 54.56        | 997.90       | 0.01833       | 88.09        | 2539  | 2451           | 0.3107         |
| 22             | 295.15        | 0.02643           | 0.0010023    | 51.50        | 997.71       | 0.01942       | 92.27        | 2541  | 2449           | 0.3249         |
| 23             | 296.15        | 0.02808           | 0.0010025    | 48.62        | 997.51       | 0.02057       | 96.46        | 2543  | 2447           | 0.3391         |
| 24             | 297.15        | 0.02982           | 0.0010028    | 45.93        | 997.21       | 0.02177       | 100.63       | 2545  | 2444           | 0.3532         |
| 25             | 298.15        | 0.03166           | 0.0010030    | 43.40        | 997.01       | 0.02304       | 104.81       | 2547  | 2442           | 0.3672         |
| 26             | 299.15        | 0.03360           | 0.0010033    | 41.04        | 996.71       | 0.02437       | 108.99       | 2548  | 2440           | 0.3812         |
| 27             | 300.15        | 0.03564           | 0.0010036    | 38.82        | 996.41       | 0.02576       | 113.17       | 2550  | 2437           | 0.3951         |
| 28             | 301.15        | 0.03779           | 0.0010038    | 36.73        | 996.21       | 0.02723       | 117.35       | 2552  | 2435           | 0.4090         |
| 29             | 302.15        | 0.04004           | 0.0010041    | 34.77        | 995.92       | 0.02876       | 121.53       | 2554  | 2432           | 0.4228         |
| 30             | 303.15        | 0.04241           | 0.0010044    | 32.93        | 995.62       | 0.03037       | 125.71       | 2556  | 2430           | 0.4366         |
| 31             | 304.15        | 0.04491           | 0.0010047    | 31.20        | 995.32       | 0.03205       | 129.89       | 2558  | 2428           | 0.4503         |
| 32             | 305.15        | 0.04753           | 0.0010051    | 29.57        | 994.93       | 0.03382       | 134.07       | 2559  | 2425           | 0.4640         |
| 33             | 306.15        | 0.05029           | 0.0010054    | 28.04        | 994.63       | 0.03566       | 138.25       | 2561  | 2423           | 0.4777         |
| 34             | 307.15        | 0.05318           | 0.0010057    | 26.60        | 994.33       | 0.03759       | 142.42       | 2563  | 2421           | 0.4913         |
| 35             | 308.15        | 0.05622           | 0.0010061    | 25.24        | 993.94       | 0.03962       | 146.60       | 2565  | 2418           | 0.5049         |
| 36             | 309.15        | 0.05940           | 0.0010064    | 23.97        | 993.64       | 0.04172       | 150.78       | 2567  | 2416           | 0.5185         |
| 37             | 310.15        | 0.06274           | 0.0010068    | 22.77        | 993.25       | 0.04392       | 154.96       | 2569  | 2414           | 0.5320         |
| 38             | 311.15        | 0.06624           | 0.0010071    | 21.63        | 992.95       | 0.04623       | 159.14       | 2570  | 2411           | 0.5455         |
| 39             | 312.15        | 0.06991           | 0.0010075    | 20.56        | 992.56       | 0.04864       | 163.32       | 2572  | 2409           | 0.5589         |
| 40             | 313.15        | 0.07375           | 0.0010079    | 19.55        | 992.16       | 0.05115       | 167.50       | 2574  | 2406           | 0.5723         |
| 41             | 314.15        | 0.07777           | 0.0010083    | 18.59        | 991.77       | 0.05379       | 171.67       | 2575  | 2403           | 0.5856         |
| 42             | 315.15        | 0.08198           | 0.0010087    | 17.69        | 991.38       | 0.05653       | 175.86       | 2577  | 2401           | 0.5988         |
| 43             | 316.15        | 0.08639           | 0.0010091    | 16.84        | 990.98       | 0.05938       | 180.04       | 2579  | 2399           | 0.6120         |
| 44             | 317.15        | 0.09101           | 0.0010095    | 16.04        | 990.59       | 0.06234       | 184.22       | 2581  | 2397           | 0.6252         |
| 45             | 318.15        | 0.09584           | 0.0010099    | 15.28        | 990.20       | 0.06544       | 188.40       | 2582  | 2394           | 0.6384         |
| 46             | 319.15        | 0.10068           | 0.0010103    | 14.56        | 989.81       | 0.06868       | 192.58       | 2584  | 2391           | 0.6516         |
| 47             | 320.15        | 0.10614           | 0.0010108    | 13.88        | 989.32       | 0.07205       | 196.76       | 2586  | 2389           | 0.6647         |
| 48             | 321.15        | 0.11163           | 0.0010112    | 13.23        | 988.92       | 0.07559       | 200.93       | 2588  | 2387           | 0.6778         |
| 49             | 322.15        | 0.11736           | 0.0010116    | 12.62        | 988.53       | 0.07924       | 205.11       | 2590  | 2385           | 0.6908         |
| 50             | 323.15        | 0.12335           | 0.0010121    | 12.04        | 988.04       | 0.08306       | 209.3        | 2592  | 2383           | 0.7038         |
| 51             | 324.15        | 0.12960           | 0.0010126    | 11.50        | 987.56       | 0.08696       | 213.5        | 2593  | 2380           | 0.7167         |
| 52             | 325.15        | 0.13612           | 0.0010130    | 10.98        | 987.17       | 0.09107       | 217.7        | 2595  | 2377           | 0.7295         |
| 53             | 326.15        | 0.14292           | 0.0010135    | 10.49        | 986.68       | 0.09533       | 221.9        | 2597  | 2375           | 0.7423         |
| 54             | 327.15        | 0.15001           | 0.0010140    | 10.02        | 986.19       | 0.09980       | 226.0        | 2599  | 2373           | 0.7551         |

Tablo 1'e devam

| Sıcaklık<br>°C | Basınç<br>K<br>bar | Özgül Hacim |             | Yığunluk    |              | Özgül Antalpi |              | Buharlı<br>Gizli<br>İş Enerjisi<br>kJ/kg | Özgül Entropi |                |        |
|----------------|--------------------|-------------|-------------|-------------|--------------|---------------|--------------|--|---------------|----------------|--------|
|                |                    | Sıvı        | Buhar       | Sıvı        | Buhar        | Sıvı          | Buhar        |  | Sıvı          | Buhar          |        |
|                |                    | p<br>m³/kg  | v'<br>m³/kg | p'<br>kg/m³ | p''<br>kg/m³ | r<br>kJ/kg    | r''<br>kJ/kg |  | s'<br>kJ/kg K | s''<br>kJ/kg K |        |
| 55             | 328.15             | 0.15740     | 0.0010145   | 9.578       | 985.71       | 0.1044        | 230.2        | 2600                                     | 2370          | 0.7679         | 7.9901 |
| 56             | 329.15             | 0.16510     | 0.0010150   | 9.158       | 985.22       | 0.1092        | 234.4        | 2602                                     | 2368          | 0.7806         | 7.9736 |
| 57             | 330.15             | 0.17312     | 0.0010155   | 8.757       | 984.74       | 0.1142        | 238.6        | 2604                                     | 2365          | 0.7933         | 7.9571 |
| 58             | 331.15             | 0.18146     | 0.0010160   | 8.380       | 984.25       | 0.1193        | 242.8        | 2606                                     | 2363          | 0.8059         | 7.9407 |
| 59             | 332.15             | 0.19014     | 0.0010166   | 8.020       | 983.67       | 0.1247        | 246.9        | 2608                                     | 2361          | 0.8185         | 7.9245 |
| 60             | 333.15             | 0.19917     | 0.0010171   | 7.678       | 983.19       | 0.1302        | 251.1        | 2609                                     | 2358          | 0.8311         | 7.9084 |
| 61             | 334.15             | 0.2086      | 0.0010177   | 7.353       | 982.61       | 0.1360        | 255.3        | 2611                                     | 2355          | 0.8436         | 7.8925 |
| 62             | 335.15             | 0.2184      | 0.0010182   | 7.043       | 982.13       | 0.1420        | 259.5        | 2613                                     | 2353          | 0.8561         | 7.8767 |
| 63             | 336.15             | 0.2285      | 0.0010188   | 6.749       | 981.55       | 0.1482        | 263.7        | 2614                                     | 2350          | 0.8686         | 7.8609 |
| 64             | 337.15             | 0.2391      | 0.0010193   | 6.468       | 981.07       | 0.1546        | 267.9        | 2616                                     | 2348          | 0.8810         | 7.8452 |
| 65             | 338.15             | 0.2501      | 0.0010199   | 6.201       | 980.49       | 0.1613        | 272.1        | 2617                                     | 2345          | 0.8934         | 7.8297 |
| 66             | 339.15             | 0.2615      | 0.0010205   | 5.947       | 979.91       | 0.1681        | 276.2        | 2619                                     | 2343          | 0.9057         | 7.8144 |
| 67             | 340.15             | 0.2733      | 0.0010210   | 5.705       | 979.43       | 0.1753        | 280.4        | 2621                                     | 2341          | 0.9180         | 7.7992 |
| 68             | 341.15             | 0.2856      | 0.0010216   | 5.475       | 978.86       | 0.1826        | 284.6        | 2623                                     | 2338          | 0.9303         | 7.7841 |
| 69             | 342.15             | 0.2984      | 0.0010222   | 5.255       | 978.28       | 0.1903        | 288.8        | 2625                                     | 2336          | 0.9426         | 7.7692 |
| 70             | 343.15             | 0.3117      | 0.0010228   | 5.045       | 977.71       | 0.1982        | 293.0        | 2626                                     | 2333          | 0.9549         | 7.7544 |
| 71             | 344.15             | 0.3254      | 0.0010234   | 4.846       | 977.14       | 0.2064        | 297.2        | 2628                                     | 2331          | 0.9672         | 7.7396 |
| 72             | 345.15             | 0.3396      | 0.0010240   | 4.655       | 976.56       | 0.2148        | 301.4        | 2630                                     | 2329          | 0.9794         | 7.7249 |
| 73             | 346.15             | 0.3543      | 0.0010246   | 4.473       | 975.99       | 0.2236        | 305.6        | 2631                                     | 2326          | 0.9916         | 7.7103 |
| 74             | 347.15             | 0.3696      | 0.0010252   | 4.299       | 975.42       | 0.2326        | 309.8        | 2633                                     | 2323          | 1.0037         | 7.6958 |
| 75             | 348.15             | 0.3855      | 0.0010258   | 4.133       | 974.85       | 0.2420        | 314.0        | 2635                                     | 2321          | 1.0157         | 7.6815 |
| 76             | 349.15             | 0.4019      | 0.0010264   | 3.975       | 974.28       | 0.2516        | 318.2        | 2636                                     | 2318          | 1.0277         | 7.6673 |
| 77             | 350.15             | 0.4189      | 0.0010270   | 3.824       | 973.71       | 0.2615        | 322.4        | 2638                                     | 2316          | 1.0396         | 7.6533 |
| 78             | 351.15             | 0.4365      | 0.0010277   | 3.679       | 973.05       | 0.2718        | 326.4        | 2639                                     | 2313          | 1.0515         | 7.6393 |
| 79             | 352.15             | 0.4547      | 0.0010283   | 3.540       | 972.48       | 0.2825        | 330.6        | 2641                                     | 2310          | 1.0634         | 7.6254 |
| 80             | 353.15             | 0.4736      | 0.0010290   | 3.408       | 971.82       | 0.2934        | 334.9        | 2643                                     | 2308          | 1.0753         | 7.6116 |
| 81             | 354.15             | 0.4931      | 0.0010297   | 3.282       | 971.16       | 0.3047        | 339.1        | 2645                                     | 2306          | 1.0872         | 7.5979 |
| 82             | 355.15             | 0.5133      | 0.0010304   | 3.161       | 970.50       | 0.3164        | 343.3        | 2646                                     | 2303          | 1.0990         | 7.5843 |
| 83             | 356.15             | 0.5342      | 0.0010310   | 3.045       | 969.93       | 0.3284        | 347.5        | 2648                                     | 2300          | 1.1107         | 7.5707 |
| 84             | 357.15             | 0.5558      | 0.0010317   | 2.934       | 969.27       | 0.3408        | 351.7        | 2650                                     | 2298          | 1.1225         | 7.5572 |
| 85             | 358.15             | 0.5781      | 0.0010324   | 2.828       | 968.62       | 0.3536        | 355.9        | 2651                                     | 2295          | 1.1342         | 7.5438 |
| 86             | 359.15             | 0.6011      | 0.0010331   | 2.727       | 967.96       | 0.3667        | 360.1        | 2653                                     | 2293          | 1.1459         | 7.5305 |
| 87             | 360.15             | 0.6249      | 0.0010338   | 2.629       | 967.31       | 0.3804        | 364.3        | 2655                                     | 2291          | 1.1576         | 7.5174 |
| 88             | 361.15             | 0.6495      | 0.0010345   | 2.536       | 966.65       | 0.3943        | 368.5        | 2656                                     | 2288          | 1.1693         | 7.5044 |
| 89             | 362.15             | 0.6749      | 0.0010352   | 2.447       | 966.00       | 0.4087        | 372.7        | 2658                                     | 2285          | 1.1809         | 7.4915 |
| 90             | 363.15             | 0.7011      | 0.0010359   | 2.361       | 965.34       | 0.4235        | 377.0        | 2659                                     | 2282          | 1.1925         | 7.4787 |
| 91             | 364.15             | 0.7281      | 0.0010366   | 2.279       | 964.69       | 0.4388        | 381.2        | 2661                                     | 2280          | 1.2041         | 7.4660 |
| 92             | 365.15             | 0.7560      | 0.0010373   | 2.200       | 964.04       | 0.4545        | 385.4        | 2662                                     | 2277          | 1.2157         | 7.4533 |
| 93             | 366.15             | 0.7848      | 0.0010381   | 2.124       | 963.30       | 0.4708        | 389.6        | 2664                                     | 2274          | 1.2272         | 7.4407 |
| 94             | 367.15             | 0.8145      | 0.0010388   | 2.052       | 962.65       | 0.4873        | 393.8        | 2666                                     | 2272          | 1.2387         | 7.4281 |
| 95             | 368.15             | 0.8451      | 0.0010396   | 1.982       | 961.91       | 0.5045        | 398.0        | 2668                                     | 2270          | 1.2502         | 7.4155 |
| 96             | 369.15             | 0.8767      | 0.0010404   | 1.915       | 961.17       | 0.5222        | 402.2        | 2669                                     | 2267          | 1.2617         | 7.4030 |
| 97             | 370.15             | 0.9093      | 0.0010412   | 1.851       | 960.43       | 0.5402        | 406.4        | 2671                                     | 2265          | 1.2731         | 7.3907 |
| 98             | 371.15             | 0.9429      | 0.0010420   | 1.789       | 959.69       | 0.5590        | 410.7        | 2673                                     | 2262          | 1.2845         | 7.3786 |
| 99             | 372.15             | 0.9775      | 0.0010427   | 1.730       | 959.05       | 0.5780        | 414.9        | 2674                                     | 2259          | 1.2958         | 7.3666 |
| 100            | 373.15             | 1.0131      | 0.0010435   | 1.673       | 958.31       | 0.5977        | 419.1        | 2676                                     | 2257          | 1.3071         | 7.3547 |
| 101            | 374.15             | 1.0498      | 0.0010443   | 1.618       | 957.58       | 0.6181        | 423.3        | 2677                                     | 2254          | 1.3184         | 7.3429 |
| 102            | 375.15             | 1.0876      | 0.0010450   | 1.566       | 956.94       | 0.6386        | 427.5        | 2679                                     | 2251          | 1.3297         | 7.3311 |
| 103            | 376.15             | 1.1265      | 0.0010458   | 1.515       | 956.21       | 0.6601        | 431.7        | 2680                                     | 2248          | 1.3409         | 7.3193 |
| 104            | 377.15             | 1.1666      | 0.0010466   | 1.466       | 955.47       | 0.6821        | 436.0        | 2681                                     | 2245          | 1.3521         | 7.3076 |
| 105            | 378.15             | 1.2079      | 0.0010474   | 1.419       | 954.75       | 0.7047        | 440.2        | 2683                                     | 2243          | 1.3632         | 7.2959 |
| 106            | 379.15             | 1.2504      | 0.0010482   | 1.374       | 954.02       | 0.7278        | 444.4        | 2685                                     | 2241          | 1.3743         | 7.2843 |
| 107            | 380.15             | 1.2941      | 0.0010490   | 1.331       | 953.29       | 0.7513        | 448.6        | 2687                                     | 2238          | 1.3854         | 7.2728 |
| 108            | 381.15             | 1.3390      | 0.0010498   | 1.289       | 952.56       | 0.7758        | 452.9        | 2688                                     | 2235          | 1.3964         | 7.2614 |
| 109            | 382.15             | 1.3852      | 0.0010507   | 1.249       | 951.75       | 0.8006        | 457.1        | 2689                                     | 2232          | 1.4074         | 7.2500 |

Table 1'e devam

| Sıcaklık | Basınç | Özgül Hacim |           | Yögunluk |        | Özgül Antalpi |       | Buharlaşma Enerjisi | Özgül Entropi |         |         |
|----------|--------|-------------|-----------|----------|--------|---------------|-------|---------------------|---------------|---------|---------|
|          |        | Sıvı        | Buhar     | Sıvı     | Buhar  | Sıvı          | Buhar |                     | Sıvı          | Buhar   |         |
|          |        | t           | T         | p        | v'     | v''           | p'    | p''                 | r'            | r''     | s'      |
| °C       | K      | bar         | m³/kg     | m³/kg    | kg/m³  | kg/m³         | kJ/kg | kJ/kg               | kJ/kg         | kJ/kg K | kJ/kg K |
| 110      | 383.15 | 1.4326      | 0.0010515 | 1.210    | 951.02 | 0.8264        | 461.3 | 2691                | 2230          | 1.4184  | 7.2387  |
| 111      | 384.15 | 1.4814      | 0.0010523 | 1.173    | 950.30 | 0.8525        | 465.6 | 2693                | 2222          | 1.4294  | 7.2274  |
| 112      | 385.15 | 1.5316      | 0.0010532 | 1.137    | 949.49 | 0.8795        | 469.8 | 2694                | 2224          | 1.4404  | 7.2162  |
| 113      | 386.15 | 1.5831      | 0.0010540 | 1.102    | 948.77 | 0.9074        | 474.0 | 2696                | 2222          | 1.4514  | 7.2051  |
| 114      | 387.15 | 1.6361      | 0.0010549 | 1.069    | 947.96 | 0.9354        | 478.2 | 2697                | 2219          | 1.4624  | 7.1941  |
| 115      | 388.15 | 1.6905      | 0.0010559 | 1.036    | 947.15 | 0.9652        | 482.5 | 2698                | 2216          | 1.4733  | 7.1832  |
| 116      | 389.15 | 1.7464      | 0.0010567 | 1.005    | 946.34 | 0.9950        | 486.7 | 2700                | 2213          | 1.4842  | 7.1724  |
| 117      | 390.15 | 1.8038      | 0.0010576 | 0.9754   | 945.54 | 1.025         | 491.0 | 2702                | 2211          | 1.4951  | 7.1616  |
| 118      | 391.15 | 1.8628      | 0.0010585 | 0.9465   | 944.73 | 1.056         | 495.2 | 2703                | 2208          | 1.5060  | 7.1509  |
| 119      | 392.15 | 1.9233      | 0.0010594 | 0.9186   | 943.93 | 1.089         | 499.5 | 2705                | 2205          | 1.5169  | 7.1403  |
| 120      | 393.15 | 1.9854      | 0.0010603 | 0.8917   | 943.13 | 1.121         | 503.7 | 2706                | 2202          | 1.5277  | 7.1298  |
| 121      | 394.15 | 2.0491      | 0.0010612 | 0.8657   | 942.33 | 1.155         | 507.9 | 2708                | 2200          | 1.5385  | 7.1193  |
| 122      | 395.15 | 2.1144      | 0.0010621 | 0.8407   | 941.53 | 1.189         | 512.2 | 2709                | 2197          | 1.5492  | 7.1089  |
| 123      | 396.15 | 2.1814      | 0.0010630 | 0.8164   | 940.73 | 1.225         | 516.5 | 2710                | 2194          | 1.5599  | 7.0985  |
| 124      | 397.15 | 2.2502      | 0.0010640 | 0.7930   | 939.85 | 1.261         | 520.8 | 2712                | 2191          | 1.5706  | 7.0881  |
| 125      | 398.15 | 2.3208      | 0.0010649 | 0.7704   | 939.06 | 1.298         | 525.0 | 2713                | 2188          | 1.5814  | 7.0777  |
| 126      | 399.15 | 2.3932      | 0.0010658 | 0.7486   | 938.26 | 1.336         | 529.2 | 2715                | 2186          | 1.5922  | 7.0674  |
| 127      | 400.15 | 2.4674      | 0.0010668 | 0.7276   | 937.38 | 1.374         | 533.4 | 2716                | 2183          | 1.6029  | 7.0573  |
| 128      | 401.15 | 2.5434      | 0.0010677 | 0.7074   | 936.59 | 1.414         | 537.7 | 2718                | 2180          | 1.6135  | 7.0472  |
| 129      | 402.15 | 2.6213      | 0.0010687 | 0.6880   | 935.72 | 1.454         | 542.0 | 2719                | 2177          | 1.6240  | 7.0372  |
| 130      | 403.15 | 2.7011      | 0.0010697 | 0.6683   | 934.84 | 1.496         | 546.3 | 2721                | 2174          | 1.6354  | 7.0272  |
| 131      | 404.15 | 2.7829      | 0.0010707 | 0.6499   | 933.97 | 1.539         | 550.5 | 2722                | 2171          | 1.6450  | 7.0173  |
| 132      | 404.15 | 2.8668      | 0.0010717 | 0.6321   | 933.10 | 1.582         | 554.8 | 2723                | 2168          | 1.6555  | 7.0074  |
| 133      | 406.15 | 2.9528      | 0.0010727 | 0.6148   | 932.23 | 1.626         | 559.0 | 2724                | 2165          | 1.6659  | 6.9976  |
| 134      | 407.15 | 3.041       | 0.0010737 | 0.5981   | 931.36 | 1.672         | 563.2 | 2725                | 2162          | 1.6764  | 6.9878  |
| 135      | 408.15 | 3.130       | 0.0010747 | 0.5820   | 930.49 | 1.718         | 567.5 | 2727                | 2159          | 1.6869  | 6.9781  |
| 136      | 409.15 | 3.222       | 0.0010757 | 0.5664   | 929.63 | 1.765         | 571.8 | 2728                | 2156          | 1.6973  | 6.9685  |
| 137      | 410.15 | 3.317       | 0.0010767 | 0.5512   | 928.76 | 1.814         | 576.1 | 2730                | 2154          | 1.7078  | 6.9589  |
| 138      | 411.15 | 3.414       | 0.0010777 | 0.5366   | 927.90 | 1.864         | 580.4 | 2731                | 2151          | 1.7183  | 6.9493  |
| 139      | 412.15 | 3.513       | 0.0010788 | 0.5224   | 926.96 | 1.914         | 584.7 | 2733                | 2148          | 1.7278  | 6.9398  |
| 140      | 413.15 | 3.614       | 0.0010798 | 0.5087   | 926.10 | 1.966         | 589.0 | 2734                | 2145          | 1.7392  | 6.9304  |
| 141      | 414.15 | 3.717       | 0.0010808 | 0.4953   | 925.24 | 2.019         | 593.3 | 2735                | 2142          | 1.7496  | 6.9211  |
| 142      | 415.15 | 3.823       | 0.0010819 | 0.4824   | 924.30 | 2.073         | 597.6 | 2737                | 2139          | 1.7599  | 6.9117  |
| 143      | 416.15 | 3.931       | 0.0010829 | 0.4699   | 923.45 | 2.128         | 601.9 | 2738                | 2136          | 1.7702  | 6.9024  |
| 144      | 417.15 | 4.042       | 0.0010840 | 0.4579   | 922.51 | 2.184         | 606.2 | 2739                | 2133          | 1.7804  | 6.8932  |
| 145      | 418.15 | 4.155       | 0.0010851 | 0.4461   | 921.57 | 2.242         | 610.5 | 2740                | 2130          | 1.7907  | 6.8839  |
| 146      | 419.15 | 4.271       | 0.0010862 | 0.4347   | 920.64 | 2.300         | 614.8 | 2742                | 2127          | 1.8009  | 6.8747  |
| 147      | 420.15 | 4.389       | 0.0010873 | 0.4237   | 919.71 | 2.360         | 619.1 | 2743                | 2124          | 1.8112  | 6.8655  |
| 148      | 421.15 | 4.510       | 0.0010884 | 0.4130   | 918.78 | 2.421         | 623.4 | 2744                | 2121          | 1.8214  | 6.8564  |
| 149      | 422.15 | 4.634       | 0.0010895 | 0.4026   | 917.85 | 2.484         | 627.8 | 2745                | 2117          | 1.8316  | 6.8473  |
| 150      | 423.15 | 4.760       | 0.0010906 | 0.3926   | 916.93 | 2.547         | 632.2 | 2746                | 2114          | 1.8418  | 6.8383  |
| 151      | 424.15 | 4.889       | 0.0010917 | 0.3828   | 916.00 | 2.612         | 636.6 | 2748                | 2111          | 1.8520  | 6.8293  |
| 152      | 425.15 | 5.020       | 0.0010928 | 0.3733   | 915.08 | 2.679         | 641.0 | 2749                | 2108          | 1.8622  | 6.8204  |
| 153      | 426.15 | 5.155       | 0.0010939 | 0.3641   | 914.16 | 2.746         | 645.3 | 2750                | 2105          | 1.8723  | 6.8115  |
| 154      | 427.15 | 5.293       | 0.0010950 | 0.3552   | 913.24 | 2.815         | 649.6 | 2752                | 2102          | 1.8824  | 6.8027  |
| 155      | 428.15 | 5.433       | 0.0010962 | 0.3466   | 912.24 | 2.885         | 653.9 | 2753                | 2099          | 1.8924  | 6.7940  |
| 156      | 429.15 | 5.576       | 0.0010974 | 0.3381   | 911.24 | 2.958         | 658.2 | 2754                | 2096          | 1.9025  | 6.7854  |
| 157      | 430.15 | 5.723       | 0.0010986 | 0.3299   | 910.25 | 3.030         | 662.5 | 2755                | 2092          | 1.9125  | 6.7768  |
| 158      | 431.15 | 5.872       | 0.0010998 | 0.3220   | 909.26 | 3.106         | 666.9 | 2756                | 2089          | 1.9226  | 6.7681  |
| 159      | 432.15 | 6.024       | 0.0011009 | 0.3143   | 908.35 | 3.182         | 671.2 | 2757                | 2086          | 1.9326  | 6.7595  |
| 160      | 433.15 | 6.180       | 0.0011021 | 0.3068   | 907.36 | 3.258         | 675.6 | 2758                | 2082          | 1.9427  | 6.7508  |
| 161      | 434.15 | 6.339       | 0.0011033 | 0.2996   | 906.37 | 3.338         | 679.9 | 2759                | 2079          | 1.9527  | 6.7421  |
| 162      | 435.15 | 6.502       | 0.0011044 | 0.2925   | 905.47 | 3.419         | 684.2 | 2760                | 2076          | 1.9627  | 6.7335  |
| 163      | 436.15 | 6.667       | 0.0011056 | 0.2856   | 904.49 | 3.500         | 688.6 | 2761                | 2072          | 1.9726  | 6.7250  |
| 164      | 437.15 | 6.836       | 0.0011069 | 0.2790   | 903.42 | 3.584         | 692.9 | 2762                | 2069          | 1.9825  | 6.7165  |

Tablo 2 Su buharının Kızgın Buhar Tablosu [5]

| Basınç           |        | 0.01 bar  |                |   | 0.04 bar               |  |                  | 0.05 bar   |                |                  | 0.06 bar               |                |                  |
|------------------|--------|---|----------------|---|------------------------|--|------------------|--|----------------|------------------|------------------------|----------------|------------------|
| Sıcaklık         |        | $t_s = 6.92^\circ\text{C}$<br>$i'' = 2.513 \text{ kJ/kg}$<br>$v'' = 129.9 \text{ m}^3/\text{kg}$<br>$s'' = 8.975 \text{ kJ/kg K}$ |                | $t_s = 28.979^\circ\text{C}$<br>$i'' = 2.554 \text{ kJ/kg}$<br>$v'' = 34.81 \text{ m}^3/\text{kg}$<br>$s'' = 8.473 \text{ kJ/kg K}$ |                        | $t_s = 32.88^\circ\text{C}$<br>$i'' = 2.561 \text{ kJ/kg}$<br>$v'' = 28.19 \text{ m}^3/\text{kg}$<br>$s'' = 8.393 \text{ kJ/kg K}$ |                  | $t_s = 36.18^\circ\text{C}$<br>$i'' = 2.567 \text{ kJ/kg}$<br>$v'' = 23.74 \text{ m}^3/\text{kg}$<br>$s'' = 8.328 \text{ kJ/kg K}$ |                |                  |                        |                |                  |
| $t$              | $T$    | $v$   | $i$            | $s$   | $v$                    | $i$  | $s$              | $v$  | $i$            | $s$              | $v$                    | $i$            | $s$              |
| $^\circ\text{C}$ | K      | $\text{m}^3/\text{kg}$  | $\text{kJ/kg}$ | $\text{kJ/kg K}$  | $\text{m}^3/\text{kg}$ | $\text{kJ/kg}$   | $\text{kJ/kg K}$ | $\text{m}^3/\text{kg}$   | $\text{kJ/kg}$ | $\text{kJ/kg K}$ | $\text{m}^3/\text{kg}$ | $\text{kJ/kg}$ | $\text{kJ/kg K}$ |
| 0                | 273.15 | 0.0010002   | 0.0            | 0.0000  | 0.0010002              | 0.0  | 0.0000           | 0.0010002  | 0.0            | 0.0000           | 0.0010002              | 0.0            | 0.0000           |
| 10               | 283.15 | 131.3   | 2518           | 8.995   | 0.0010003              | 41.9   | 0.1511           | 0.0010003  | 41.9           | 0.1511           | 0.0010003              | 41.9           | 0.1511           |
| 20               | 293.15 | 136.0   | 2537           | 9.056   | 0.0010018              | 83.7   | 0.2964           | 0.0010018  | 83.7           | 0.2964           | 0.0010018              | 83.7           | 0.2964           |
| 30               | 303.15 | 140.7   | 2556           | 9.117   | 34.95                  | 2556   | 8.470            | 0.0010044  | 125.6          | 0.4363           | 0.0010044              | 125.6          | 0.4363           |
| 40               | 313.15 | 145.4   | 2575           | 9.178   | 36.12                  | 2574   | 8.537            | 28.87  | 2574           | 8.434            | 24.72                  | 2574           | 8.350            |
| 50               | 323.15 | 150.0   | 2594           | 9.238   | 37.29                  | 2593   | 8.595            | 29.80  | 2593           | 8.492            | 24.82                  | 2593           | 8.407            |
| 60               | 333.15 | 154.7   | 2613           | 9.296   | 38.45                  | 2612   | 8.651            | 30.73  | 2612           | 8.549            | 25.59                  | 2612           | 8.464            |
| 70               | 343.15 | 159.4   | 2632           | 9.352   | 39.60                  | 2631   | 8.707            | 31.65  | 2631           | 8.605            | 26.36                  | 2631           | 8.520            |
| 80               | 353.15 | 164.0   | 2651           | 9.406   | 40.75                  | 2650   | 8.762            | 32.58  | 2650           | 8.659            | 27.13                  | 2650           | 8.574            |
| 90               | 363.15 | 168.7   | 2669           | 9.459   | 41.91                  | 2669   | 8.815            | 33.50  | 2669           | 8.712            | 27.91                  | 2669           | 8.627            |
| 100              | 373.15 | 173.3   | 2688           | 9.510   | 43.07                  | 2688   | 8.867            | 34.43  | 2688           | 8.764            | 28.68                  | 2688           | 8.679            |
| 110              | 383.15 | 177.9   | 2707           | 9.560   | 44.23                  | 2707   | 8.917            | 35.35  | 2707           | 8.814            | 29.45                  | 2707           | 8.729            |
| 120              | 393.15 | 182.6   | 2726           | 9.609   | 45.39                  | 2726   | 8.966            | 36.28  | 2726           | 8.863            | 30.22                  | 2726           | 8.778            |
| 130              | 403.15 | 187.2   | 2745           | 9.656   | 46.54                  | 2745   | 9.014            | 37.20  | 2745           | 8.911            | 30.99                  | 2745           | 8.826            |
| 140              | 413.15 | 191.9   | 2764           | 9.703   | 47.69                  | 2764   | 9.060            | 38.13  | 2764           | 8.957            | 31.76                  | 2764           | 8.873            |
| 150              | 423.15 | 196.5   | 2783           | 9.748   | 48.85                  | 2783   | 9.105            | 39.05  | 2783           | 9.002            | 32.53                  | 2783           | 8.918            |
| 160              | 433.15 | 201.1   | 2803           | 9.793   | 50.01                  | 2803   | 9.150            | 39.98  | 2803           | 9.047            | 33.30                  | 2803           | 8.963            |
| 170              | 443.15 | 205.8   | 2822           | 9.837   | 51.16                  | 2822   | 9.195            | 40.90  | 2822           | 9.092            | 34.07                  | 2822           | 9.007            |
| 180              | 453.15 | 210.4   | 2841           | 9.880   | 52.31                  | 2841   | 9.238            | 41.83  | 2841           | 9.135            | 34.84                  | 2841           | 9.050            |
| 190              | 463.15 | 215.1   | 2860           | 9.922   | 53.47                  | 2860   | 9.280            | 42.75  | 2860           | 9.177            | 35.61                  | 2860           | 9.092            |
| 200              | 473.15 | 219.8   | 2880           | 9.963   | 54.63                  | 2880   | 9.321            | 43.68  | 2880           | 9.219            | 36.38                  | 2880           | 9.134            |
| 210              | 483.15 | 224.4   | 2899           | 10.004  | 55.78                  | 2899   | 9.362            | 44.60  | 2899           | 9.259            | 37.15                  | 2899           | 9.175            |
| 220              | 493.15 | 229.1   | 2918           | 10.044  | 56.93                  | 2918   | 9.402            | 45.53  | 2918           | 9.299            | 37.92                  | 2918           | 9.215            |
| 230              | 503.15 | 233.7   | 2938           | 10.083  | 58.09                  | 2938   | 9.441            | 46.45  | 2938           | 9.338            | 38.69                  | 2938           | 9.254            |
| 240              | 513.15 | 238.3   | 2958           | 10.121  | 59.24                  | 2958   | 9.479            | 47.37  | 2958           | 9.376            | 39.46                  | 2958           | 9.292            |
| 250              | 523.15 | 243.0   | 2977           | 10.159  | 60.40                  | 2977   | 9.517            | 48.30  | 2977           | 9.414            | 40.23                  | 2977           | 9.330            |
| 260              | 533.15 | 247.6   | 2997           | 10.196  | 61.56                  | 2997   | 9.554            | 49.22  | 2997           | 9.451            | 41.00                  | 2997           | 9.367            |
| 280              | 553.15 | 256.9   | 3037           | 10.269  | 63.87                  | 3037   | 9.627            | 51.07  | 3037           | 9.524            | 42.54                  | 3037           | 9.440            |
| 300              | 573.15 | 266.2   | 3077           | 10.340  | 66.18                  | 3077   | 9.698            | 52.92  | 3077           | 9.595            | 44.08                  | 3077           | 9.511            |
| 310              | 583.15 | 270.8   | 3097           | 10.374  | 67.33                  | 3097   | 9.732            | 53.84  | 3097           | 9.630            | 44.85                  | 3097           | 9.545            |
| 320              | 593.15 | 275.4   | 3117           | 10.408  | 68.49                  | 3117   | 9.766            | 54.77  | 3117           | 9.664            | 45.62                  | 3117           | 9.579            |
| 330              | 603.15 | 280.1   | 3137           | 10.441  | 69.64                  | 3137   | 9.800            | 55.69  | 3137           | 9.697            | 46.39                  | 3137           | 9.613            |
| 340              | 513.15 | 284.8   | 3157           | 10.474  | 70.80                  | 3157   | 9.833            | 56.62  | 3157           | 9.730            | 47.16                  | 3157           | 9.646            |
| 350              | 623.15 | 289.5   | 3177           | 10.507  | 71.96                  | 3177   | 9.866            | 57.74  | 3177           | 9.763            | 47.93                  | 3177           | 9.679            |
| 360              | 633.15 | 294.1   | 3198           | 10.539  | 73.11                  | 3198   | 9.899            | 58.47  | 3198           | 9.796            | 48.70                  | 3198           | 9.711            |
| 380              | 653.15 | 303.4   | 3238           | 10.603  | 75.42                  | 3238   | 9.962            | 60.32  | 3238           | 9.859            | 50.24                  | 3238           | 9.775            |
| 400              | 673.15 | 312.6   | 3280           | 10.665  | 77.73                  | 3280   | 10.024           | 62.16  | 3280           | 9.921            | 51.78                  | 3280           | 9.837            |
| 410              | 683.15 | 317.3   | 3301           | 10.696  | 78.89                  | 3301   | 10.055           | 63.08  | 3301           | 9.952            | 52.55                  | 3301           | 9.868            |
| 420              | 693.15 | 321.9   | 3321           | 10.726  | 80.04                  | 3321   | 10.085           | 64.00  | 3321           | 9.982            | 53.32                  | 3321           | 9.898            |
| 430              | 703.15 | 326.6   | 3342           | 10.756  | 81.20                  | 3342   | 10.115           | 64.92  | 3342           | 10.012           | 54.09                  | 3342           | 9.928            |
| 440              | 713.15 | 331.2   | 3363           | 10.786  | 82.35                  | 3363   | 10.145           | 65.85  | 3363           | 10.042           | 54.86                  | 3363           | 9.958            |
| 450              | 723.15 | 335.8   | 3384           | 10.815  | 83.51                  | 3384   | 10.174           | 66.77  | 3384           | 10.071           | 55.63                  | 3384           | 9.987            |
| 460              | 733.15 | 340.5   | 3405           | 10.844  | 84.66                  | 3405   | 10.203           | 67.70  | 3405           | 10.100           | 56.40                  | 3405           | 10.016           |
| 480              | 753.15 | 349.8   | 3448           | 10.902  | 86.97                  | 3448   | 10.261           | 69.54  | 3448           | 10.158           | 57.94                  | 3448           | 10.074           |
| 500              | 773.15 | 359.0   | 3490           | 10.958  | 89.28                  | 3490   | 10.317           | 71.39  | 3490           | 10.214           | 59.84                  | 3490           | 10.130           |
| 510              | 783.15 | 363.7   | 3512           | 10.986  | 90.44                  | 3512   | 10.345           | 72.31  | 3512           | 10.242           | 60.25                  | 3512           | 10.158           |
| 520              | 793.15 | 368.3   | 3533           | 11.014  | 91.59                  | 3533   | 10.373           | 73.24  | 3533           | 10.270           | 61.02                  | 3533           | 10.186           |
| 530              | 803.15 | 372.9   | 3555           | 11.041  | 92.75                  | 3555   | 10.400           | 74.16  | 3555           | 10.297           | 61.79                  | 3555           | 10.213           |
| 540              | 813.15 | 377.6   | 3576           | 11.068  | 93.90                  | 3576   | 10.427           | 75.09  | 3576           | 10.324           | 62.56                  | 3576           | 10.240           |
| 550              | 823.15 | 382.2   | 3598           | 11.095  | 95.06                  | 3598   | 10.454           | 76.01  | 3598           | 10.351           | 63.34                  | 3598           | 10.267           |
| 560              | 833.15 | 386.9   | 3619           | 11.122  | 96.22                  | 3619   | 10.481           | 76.94  | 3619           | 10.378           | 64.11                  | 3619           | 10.294           |
| 580              | 853.15 | 396.2   | 3663           | 11.174  | 98.53                  | 3663   | 10.533           | 78.79  | 3663           | 10.430           | 65.65                  | 3663           | 10.346           |
| 600              | 873.15 | 405.6   | 3707           | 11.226  | 100.84                 | 3707   | 10.585           | 80.64  | 3707           | 10.482           | 67.19                  | 3707           | 10.398           |
| 610              | 883.15 | 410.2   | 3729           | 11.251  | 102.00                 | 3729   | 10.610           | 81.57  | 3729           | 10.507           | 67.96                  | 3729           | 10.423           |
| 620              | 893.15 | 414.8   | 3751           | 11.276  | 103.15                 | 3751   | 10.635           | 82.49  | 3751           | 10.532           | 68.73                  | 3751           | 10.448           |
| 630              | 903.5  | 419.4   | 3773           | 11.301  | 104.31                 | 3773   | 10.660           | 83.42  | 3773           | 10.557           | 69.50                  | 3773           | 10.473           |
| 640              | 913.15 | 424.1   | 3796           | 11.325  | 105.46                 | 3796   | 10.684           | 84.34  | 3796           | 10.581           | 70.27                  | 3796           | 10.497           |
| 650              | 923.15 | 428.7   | 3818           | 11.349  | 106.62                 | 3818   | 10.709           | 85.27  | 3818           | 10.605           | 71.04                  | 3818           | 10.521           |
| 660              | 933.15 | 433.4   | 3841           | 11.373  | 107.77                 | 3841   | 10.733           | 86.19  | 3841           | 10.629           | 71.81                  | 3841           | 10.545           |
| 680              | 953.15 | 442.6   | 3886           | 11.421  | 110.08                 | 3886   | 10.781           | 88.04  | 3886           | 10.677           | 73.35                  | 3886           | 10.593           |
| 700              | 973.15 | 451.9   | 3931           | 11.468  | 112.39                 | 3931   | 10.828           | 89.88  | 3931           | 10.725           | 74.89                  | 3931           | 10.640           |

Tablo 2'ye devam

| Basinc |        | 0.20 bar  |       |         | 0.30 bar  |       |         | 0.40 bar  |       |         | 0.50 bar  |       |         |
|--------|--------|-----------|-------|---------|-----------|-------|---------|-----------|-------|---------|-----------|-------|---------|
| t      | T      | v         | i     | s       | v         | i     | s       | v         | i     | s       | v         | i     | s       |
| °C     | K      | m³/kg     | kJ/kg | kJ/kg K | m³/kg     | kJ/kg | kJ/kg K | m³/kg     | kJ/kg | kJ/kg K | m³/kg     | kJ/kg | kJ/kg K |
| 0      | 273.15 | 0.0010002 | 0.0   | 0.0000  | 0.0010002 | 0.0   | 0.0000  | 0.0010002 | 0.0   | 0.0000  | 0.0010002 | 0.1   | 0.0000  |
| 10     | 283.15 | 0.0010003 | 41.9  | 0.1511  | 0.0010003 | 41.9  | 0.1511  | 0.0010003 | 41.9  | 0.1511  | 0.0010003 | 42.0  | 0.1511  |
| 20     | 293.15 | 0.0010018 | 83.7  | 0.2964  | 0.0010018 | 83.7  | 0.2964  | 0.0010018 | 83.7  | 0.2964  | 0.0010018 | 83.8  | 0.2964  |
| 30     | 303.15 | 0.0010044 | 125.6 | 0.4363  | 0.0010044 | 125.6 | 0.4363  | 0.0010044 | 125.6 | 0.4363  | 0.0010044 | 125.6 | 0.4363  |
| 40     | 313.15 | 0.0010079 | 167.5 | 0.5715  | 0.0010079 | 167.5 | 0.5715  | 0.0010079 | 167.5 | 0.5715  | 0.0010079 | 167.5 | 0.5715  |
| 50     | 323.15 | 0.0010121 | 209.3 | 0.7030  | 0.0010121 | 209.3 | 0.7030  | 0.0010121 | 209.3 | 0.7031  | 0.0010121 | 209.3 | 0.7031  |
| 60     | 333.15 | 0.0010171 | 251.1 | 0.8307  | 0.0010171 | 251.1 | 0.8307  | 0.0010171 | 251.1 | 0.8307  | 0.0010171 | 251.1 | 0.8307  |
| 70     | 343.15 | 7.887     | 2629  | 7.961   | 5.268     | 2627  | 7.770   | 0.0010228 | 293.0 | 0.9546  | 0.0010228 | 293.0 | 0.9546  |
| 80     | 353.15 | 8.119     | 2648  | 8.015   | 5.400     | 2646  | 7.825   | 4.088     | 2645  | 7.690   | 0.0010290 | 334.9 | 1.0748  |
| 90     | 363.15 | 8.351     | 2667  | 8.068   | 5.557     | 2666  | 7.879   | 4.163     | 2665  | 7.745   | 3.324     | 2663  | 7.640   |
| 100    | 373.15 | 8.584     | 2687  | 8.120   | 5.713     | 2685  | 7.931   | 4.282     | 2684  | 7.798   | 3.420     | 2683  | 7.693   |
| 110    | 383.15 | 8.816     | 2706  | 8.171   | 5.869     | 2705  | 7.982   | 4.399     | 2703  | 7.849   | 3.514     | 2703  | 7.745   |
| 120    | 393.15 | 9.049     | 2725  | 8.220   | 6.025     | 2724  | 8.031   | 4.516     | 2723  | 7.899   | 3.608     | 2722  | 7.795   |
| 130    | 403.15 | 9.281     | 2744  | 8.268   | 6.180     | 2743  | 8.079   | 4.633     | 2742  | 7.947   | 3.702     | 2741  | 7.843   |
| 140    | 413.15 | 9.513     | 2763  | 8.315   | 6.335     | 2762  | 8.126   | 4.750     | 2761  | 7.995   | 3.795     | 2761  | 7.890   |
| 150    | 423.15 | 9.745     | 2782  | 8.361   | 6.490     | 2782  | 8.172   | 4.866     | 2781  | 8.041   | 3.889     | 2780  | 7.936   |
| 160    | 433.15 | 9.977     | 2801  | 8.406   | 6.645     | 2801  | 8.217   | 4.982     | 2800  | 8.086   | 3.982     | 2799  | 7.981   |
| 170    | 443.15 | 10.209    | 2821  | 8.450   | 6.800     | 2820  | 8.261   | 5.099     | 2819  | 8.130   | 4.075     | 2819  | 8.025   |
| 180    | 453.15 | 10.441    | 2840  | 8.493   | 6.955     | 2839  | 8.304   | 5.215     | 2838  | 8.173   | 4.169     | 2838  | 8.069   |
| 190    | 463.15 | 10.673    | 2859  | 8.535   | 7.110     | 2859  | 8.346   | 5.331     | 2858  | 8.215   | 4.262     | 2858  | 8.111   |
| 200    | 473.15 | 10.905    | 2879  | 8.576   | 7.264     | 2878  | 8.388   | 5.447     | 2878  | 8.256   | 4.355     | 2877  | 8.152   |
| 210    | 483.15 | 11.137    | 2898  | 8.617   | 7.419     | 2898  | 8.429   | 5.564     | 2897  | 8.297   | 4.448     | 2897  | 8.193   |
| 220    | 493.15 | 11.369    | 2918  | 8.657   | 7.573     | 2917  | 8.469   | 5.680     | 2917  | 8.337   | 4.540     | 2916  | 8.233   |
| 230    | 503.15 | 11.600    | 2937  | 8.696   | 7.728     | 2937  | 8.508   | 5.796     | 2937  | 8.376   | 4.633     | 2936  | 8.272   |
| 240    | 513.15 | 11.832    | 2957  | 8.735   | 7.882     | 2956  | 8.547   | 5.912     | 2956  | 8.415   | 4.726     | 2956  | 8.311   |
| 250    | 523.15 | 12.064    | 2976  | 8.773   | 8.037     | 2976  | 8.585   | 6.028     | 2976  | 8.453   | 4.819     | 2975  | 8.349   |
| 260    | 533.15 | 12.295    | 2996  | 8.810   | 8.191     | 2996  | 8.622   | 6.144     | 2995  | 8.490   | 4.912     | 2995  | 8.386   |
| 280    | 553.15 | 12.758    | 3036  | 8.883   | 8.500     | 3036  | 8.695   | 6.376     | 3035  | 8.564   | 5.098     | 3035  | 8.460   |
| 300    | 573.15 | 13.220    | 3077  | 8.954   | 8.809     | 3076  | 8.766   | 6.608     | 3076  | 8.635   | 5.284     | 3076  | 8.531   |
| 310    | 583.15 | 13.452    | 3097  | 8.989   | 8.964     | 3096  | 8.801   | 6.723     | 3096  | 8.669   | 5.377     | 3096  | 8.565   |
| 320    | 593.15 | 13.683    | 3117  | 9.023   | 9.118     | 3116  | 8.835   | 6.839     | 3116  | 8.703   | 5.470     | 3116  | 8.599   |
| 330    | 603.15 | 13.914    | 3137  | 9.057   | 9.272     | 3136  | 8.869   | 6.954     | 3136  | 8.737   | 5.563     | 3136  | 8.633   |
| 340    | 613.15 | 14.145    | 3157  | 9.090   | 9.426     | 3157  | 8.902   | 7.070     | 3156  | 8.770   | 5.656     | 3156  | 8.666   |
| 350    | 623.15 | 14.376    | 3177  | 9.123   | 9.580     | 3177  | 8.935   | 7.186     | 3177  | 8.803   | 5.749     | 3176  | 8.699   |
| 360    | 633.15 | 14.606    | 3198  | 9.155   | 9.734     | 3198  | 8.967   | 7.301     | 3197  | 8.835   | 5.841     | 3197  | 8.731   |
| 380    | 653.15 | 15.068    | 3238  | 9.219   | 10.042    | 3238  | 9.031   | 7.533     | 3238  | 8.899   | 6.027     | 3237  | 8.795   |
| 400    | 673.15 | 15.530    | 3280  | 9.281   | 10.351    | 3280  | 9.093   | 7.765     | 3279  | 8.962   | 6.212     | 3279  | 8.858   |
| 410    | 683.15 | 15.761    | 3301  | 9.312   | 10.505    | 3300  | 9.124   | 7.880     | 3300  | 8.992   | 6.304     | 3300  | 8.889   |
| 420    | 693.15 | 15.992    | 3321  | 9.342   | 10.659    | 3321  | 9.155   | 7.996     | 3321  | 9.022   | 6.397     | 3320  | 8.919   |
| 430    | 703.15 | 16.220    | 3342  | 9.372   | 10.813    | 3342  | 9.185   | 8.112     | 3341  | 9.053   | 6.489     | 3341  | 8.949   |
| 440    | 713.15 | 16.45     | 3363  | 9.402   | 10.967    | 3363  | 9.215   | 8.228     | 3362  | 9.083   | 6.582     | 3362  | 8.979   |
| 450    | 723.15 | 16.68     | 3384  | 9.431   | 11.121    | 3384  | 9.244   | 8.343     | 3383  | 9.112   | 6.674     | 3383  | 9.008   |
| 460    | 733.15 | 16.90     | 3405  | 9.460   | 11.275    | 3405  | 9.273   | 8.459     | 3404  | 9.141   | 6.766     | 3404  | 9.037   |
| 480    | 753.15 | 17.36     | 3448  | 9.518   | 11.583    | 3447  | 9.331   | 8.690     | 3447  | 9.199   | 6.951     | 3447  | 9.095   |
| 500    | 773.15 | 17.82     | 3490  | 9.575   | 11.891    | 3490  | 9.388   | 8.921     | 3490  | 9.256   | 7.136     | 3489  | 9.152   |
| 510    | 783.15 | 18.05     | 3512  | 9.603   | 12.045    | 3512  | 9.416   | 9.036     | 3511  | 9.284   | 7.229     | 3511  | 9.180   |
| 520    | 793.51 | 18.28     | 3533  | 9.631   | 12.199    | 3533  | 9.444   | 9.152     | 3532  | 9.311   | 7.321     | 3532  | 9.208   |
| 530    | 803.15 | 18.52     | 3555  | 9.659   | 12.353    | 3555  | 9.472   | 9.267     | 3554  | 9.339   | 7.413     | 3554  | 9.236   |
| 540    | 813.15 | 18.75     | 3576  | 9.686   | 12.507    | 3576  | 9.499   | 9.382     | 3576  | 9.366   | 7.506     | 3576  | 9.263   |
| 550    | 823.15 | 18.99     | 3598  | 9.713   | 12.661    | 3598  | 9.526   | 9.498     | 3597  | 9.393   | 7.598     | 3597  | 9.290   |
| 560    | 833.15 | 19.22     | 3619  | 9.739   | 12.815    | 3619  | 9.552   | 9.613     | 3619  | 9.419   | 7.690     | 3619  | 9.316   |
| 580    | 853.15 | 19.69     | 3663  | 9.791   | 13.123    | 3663  | 9.604   | 9.843     | 3663  | 9.471   | 7.874     | 3663  | 9.368   |
| 600    | 873.15 | 20.15     | 3707  | 9.842   | 13.430    | 3707  | 9.655   | 10.074    | 3707  | 9.522   | 8.058     | 3707  | 9.419   |
| 610    | 883.15 | 20.38     | 3729  | 9.867   | 13.584    | 3729  | 9.680   | 10.190    | 3729  | 9.547   | 8.150     | 3729  | 9.444   |
| 620    | 893.15 | 20.61     | 3751  | 9.892   | 13.738    | 3751  | 9.705   | 10.305    | 3751  | 9.572   | 8.242     | 3741  | 9.469   |
| 630    | 903.15 | 20.84     | 3773  | 9.917   | 13.892    | 3773  | 9.730   | 10.420    | 3773  | 9.597   | 8.335     | 3773  | 9.494   |
| 640    | 913.15 | 21.07     | 3796  | 9.942   | 14.046    | 3796  | 9.755   | 10.536    | 3795  | 9.622   | 8.427     | 3795  | 9.519   |
| 650    | 923.15 | 21.30     | 3818  | 9.966   | 14.200    | 3818  | 9.779   | 10.651    | 3818  | 9.646   | 8.520     | 3818  | 9.543   |
| 660    | 933.15 | 21.53     | 3841  | 9.990   | 14.353    | 3841  | 9.803   | 10.767    | 3840  | 9.670   | 8.612     | 3840  | 9.567   |
| 680    | 953.15 | 21.99     | 3886  | 10.038  | 14.661    | 3886  | 9.851   | 10.998    | 3885  | 9.718   | 8.797     | 3885  | 9.615   |
| 700    | 973.15 | 22.45     | 3931  | 10.085  | 14.969    | 3931  | 9.898   | 11.228    | 3930  | 9.765   | 8.982     | 3930  | 9.662   |

Table 2<sup>ye</sup> devam

| Basinc  |        | 0.07 bar   |            |              | 0.08 bar   |            |              | 0.09 bar   |            |              | 0.10 bar   |            |              |
|---------|--------|------------|------------|--------------|------------|------------|--------------|------------|------------|--------------|------------|------------|--------------|
| t<br>°C | T<br>K | v<br>m³/kg | i<br>kJ/kg | s<br>kJ/kg K | v<br>m³/kg | i<br>kJ/kg | s<br>kJ/kg K | v<br>m³/kg | i<br>kJ/kg | s<br>kJ/kg K | v<br>m³/kg | i<br>kJ/kg | s<br>kJ/kg K |
| 0       | 273.15 | 0.0010002  | 0.0        | 0.0000       | 0.0010002  | 0.0        | 0.0000       | 0.0010002  | 0.0        | 0.0000       | 0.0010002  | 0.0        | 0.0000       |
| 10      | 283.15 | 0.0010003  | 41.9       | 0.1511       | 0.0010003  | 41.9       | 0.1511       | 0.0010003  | 41.9       | 0.1511       | 0.0010003  | 41.9       | 0.1511       |
| 20      | 293.15 | 0.0010018  | 83.7       | 0.2964       | 0.0010018  | 83.7       | 0.2964       | 0.0010018  | 83.7       | 0.2964       | 0.0010018  | 83.7       | 0.2964       |
| 30      | 303.15 | 0.0010044  | 125.6      | 0.4363       | 0.0010044  | 125.6      | 0.4363       | 0.0010044  | 125.6      | 0.4363       | 0.0010044  | 125.6      | 0.4363       |
| 40      | 313.15 | 20.94      | 2574       | 8.279        | 0.0010079  | 167.5      | 0.5715       | 0.0010079  | 167.5      | 0.5715       | 0.0010079  | 167.5      | 0.5715       |
| 50      | 323.15 | 21.27      | 2593       | 8.336        | 18.61      | 2593       | 8.274        | 16.57      | 2593       | 8.220        | 15.00      | 2592       | 8.170        |
| 60      | 333.15 | 21.94      | 2612       | 8.393        | 19.19      | 2612       | 8.331        | 17.09      | 2612       | 8.277        | 15.35      | 2611       | 8.227        |
| 70      | 343.15 | 22.60      | 2631       | 8.449        | 19.76      | 2631       | 8.387        | 17.61      | 2631       | 8.333        | 15.81      | 2630       | 8.283        |
| 80      | 353.15 | 23.26      | 2650       | 8.503        | 20.34      | 2650       | 8.441        | 18.12      | 2650       | 8.387        | 16.27      | 2649       | 8.337        |
| 90      | 363.15 | 23.92      | 2669       | 8.556        | 20.92      | 2669       | 8.494        | 18.64      | 2669       | 8.440        | 16.74      | 2669       | 8.390        |
| 100     | 373.15 | 24.58      | 2688       | 8.608        | 21.50      | 2688       | 8.546        | 19.16      | 2688       | 8.492        | 17.20      | 2688       | 8.442        |
| 110     | 383.15 | 25.24      | 2707       | 8.658        | 22.08      | 2707       | 8.596        | 19.67      | 2707       | 8.542        | 17.67      | 2707       | 8.493        |
| 120     | 393.15 | 25.90      | 2726       | 8.707        | 22.26      | 2726       | 8.645        | 20.19      | 2726       | 8.591        | 18.13      | 2726       | 8.542        |
| 130     | 403.15 | 26.56      | 2745       | 8.755        | 23.24      | 2745       | 8.693        | 20.70      | 2745       | 8.639        | 18.59      | 2745       | 8.589        |
| 140     | 413.15 | 27.22      | 2764       | 8.802        | 23.82      | 2764       | 8.740        | 21.22      | 2764       | 8.686        | 19.06      | 2764       | 8.636        |
| 150     | 423.15 | 27.88      | 2783       | 8.847        | 24.40      | 2783       | 8.785        | 21.73      | 2783       | 8.731        | 19.52      | 2783       | 8.682        |
| 160     | 433.15 | 28.54      | 2802       | 8.892        | 24.97      | 2802       | 8.830        | 22.25      | 2802       | 8.776        | 19.98      | 2802       | 8.727        |
| 170     | 443.15 | 29.20      | 2822       | 8.936        | 25.55      | 2822       | 8.874        | 22.76      | 2822       | 8.820        | 20.44      | 2822       | 8.771        |
| 180     | 453.15 | 29.86      | 2841       | 8.979        | 26.13      | 2841       | 8.917        | 23.28      | 2841       | 8.863        | 20.90      | 2841       | 8.814        |
| 190     | 463.15 | 30.52      | 2860       | 9.021        | 26.71      | 2860       | 8.959        | 23.79      | 2860       | 8.905        | 21.36      | 2860       | 8.856        |
| 200     | 473.15 | 31.18      | 2880       | 9.062        | 27.29      | 2880       | 9.000        | 24.31      | 2879       | 8.946        | 21.83      | 2879       | 8.897        |
| 210     | 483.15 | 31.84      | 2899       | 9.103        | 27.86      | 2899       | 9.041        | 24.83      | 2899       | 8.987        | 22.30      | 2899       | 8.938        |
| 220     | 493.15 | 32.50      | 2918       | 9.143        | 28.44      | 2918       | 9.081        | 25.34      | 2918       | 9.027        | 22.76      | 2918       | 8.978        |
| 230     | 503.15 | 33.16      | 2938       | 9.182        | 29.02      | 2938       | 9.120        | 25.86      | 2938       | 9.066        | 23.22      | 2938       | 9.017        |
| 240     | 513.15 | 33.82      | 2957       | 9.221        | 29.60      | 2957       | 9.159        | 26.37      | 2957       | 9.105        | 23.68      | 2957       | 9.056        |
| 250     | 523.15 | 34.48      | 2977       | 9.258        | 30.18      | 2977       | 9.197        | 26.89      | 2977       | 9.143        | 24.14      | 2977       | 9.094        |
| 260     | 533.15 | 35.14      | 2997       | 9.295        | 30.75      | 2997       | 9.234        | 27.40      | 2997       | 9.180        | 24.60      | 2997       | 9.131        |
| 280     | 553.15 | 36.46      | 3037       | 9.368        | 31.90      | 3037       | 9.306        | 28.43      | 3037       | 9.252        | 25.53      | 3037       | 9.203        |
| 300     | 573.15 | 37.78      | 3077       | 9.439        | 33.06      | 3077       | 9.377        | 29.46      | 3077       | 9.323        | 26.46      | 3077       | 9.274        |
| 310     | 583.15 | 38.44      | 3097       | 9.474        | 33.64      | 3097       | 9.412        | 29.98      | 3097       | 9.358        | 26.92      | 3097       | 9.309        |
| 320     | 593.15 | 39.10      | 3117       | 9.508        | 34.22      | 3117       | 9.446        | 30.49      | 3117       | 9.392        | 27.38      | 3117       | 9.343        |
| 330     | 603.15 | 39.76      | 3137       | 9.541        | 34.79      | 3137       | 9.480        | 31.00      | 3137       | 9.426        | 27.84      | 3137       | 9.377        |
| 340     | 613.15 | 40.42      | 3157       | 9.574        | 35.37      | 3157       | 9.513        | 31.51      | 3157       | 9.459        | 28.30      | 3157       | 9.410        |
| 350     | 623.15 | 41.08      | 3177       | 9.607        | 35.94      | 3177       | 9.546        | 32.03      | 3177       | 9.492        | 28.76      | 3177       | 9.443        |
| 360     | 633.15 | 41.74      | 3198       | 9.640        | 36.52      | 3198       | 9.578        | 32.54      | 3198       | 9.524        | 29.23      | 3198       | 9.475        |
| 380     | 653.15 | 43.06      | 3238       | 9.703        | 37.68      | 3238       | 9.641        | 33.57      | 3238       | 9.587        | 30.15      | 3238       | 9.539        |
| 400     | 673.15 | 44.38      | 3280       | 9.765        | 38.84      | 3280       | 9.704        | 34.60      | 3280       | 9.650        | 31.08      | 3280       | 9.601        |
| 410     | 683.15 | 45.04      | 3301       | 9.796        | 39.41      | 3301       | 9.735        | 35.12      | 3301       | 9.681        | 31.54      | 3301       | 9.632        |
| 420     | 693.15 | 45.70      | 3321       | 9.826        | 39.98      | 3321       | 9.765        | 35.63      | 3321       | 9.711        | 32.00      | 3321       | 9.662        |
| 430     | 703.15 | 46.36      | 3342       | 9.856        | 40.56      | 3342       | 9.795        | 36.15      | 3342       | 9.741        | 32.46      | 3342       | 9.692        |
| 440     | 713.15 | 47.02      | 3363       | 9.886        | 41.14      | 3363       | 9.825        | 36.66      | 3363       | 9.771        | 32.93      | 3363       | 9.722        |
| 450     | 723.15 | 47.68      | 3384       | 9.916        | 41.72      | 3384       | 9.854        | 37.18      | 3384       | 9.800        | 33.39      | 3384       | 9.751        |
| 460     | 733.15 | 48.34      | 3405       | 9.945        | 42.30      | 3405       | 9.883        | 37.69      | 3405       | 9.829        | 33.85      | 3405       | 9.780        |
| 480     | 753.15 | 49.66      | 3448       | 10.002       | 43.46      | 3448       | 9.941        | 38.72      | 3448       | 9.887        | 34.77      | 3448       | 9.838        |
| 500     | 773.15 | 50.98      | 3490       | 10.059       | 44.61      | 3490       | 9.997        | 39.75      | 3490       | 9.943        | 35.70      | 3490       | 9.895        |
| 510     | 783.15 | 51.64      | 3512       | 10.086       | 45.18      | 3512       | 10.025       | 40.27      | 3512       | 9.971        | 36.16      | 3512       | 9.922        |
| 520     | 793.15 | 52.30      | 3533       | 10.114       | 45.76      | 3533       | 10.053       | 40.78      | 3533       | 9.999        | 36.63      | 3533       | 9.950        |
| 530     | 803.15 | 52.96      | 3555       | 10.142       | 46.34      | 3555       | 10.080       | 41.30      | 3555       | 10.026       | 37.09      | 3555       | 9.977        |
| 540     | 813.15 | 53.62      | 3576       | 10.169       | 46.91      | 3576       | 10.107       | 41.81      | 3576       | 10.053       | 37.55      | 3576       | 10.004       |
| 550     | 823.15 | 54.28      | 3598       | 10.196       | 47.49      | 3598       | 10.134       | 42.32      | 3598       | 10.080       | 38.01      | 3598       | 10.031       |
| 560     | 833.15 | 54.94      | 3619       | 10.223       | 48.07      | 3619       | 10.161       | 42.83      | 3619       | 10.107       | 38.47      | 3619       | 10.058       |
| 580     | 853.15 | 56.26      | 3663       | 10.275       | 49.23      | 3663       | 10.213       | 43.86      | 3663       | 10.159       | 39.40      | 3663       | 10.110       |
| 600     | 873.15 | 57.58      | 3707       | 10.327       | 50.38      | 3707       | 10.265       | 44.89      | 3707       | 10.211       | 40.32      | 3707       | 10.162       |
| 610     | 883.15 | 58.24      | 3729       | 10.352       | 50.95      | 3729       | 10.290       | 45.40      | 3729       | 10.236       | 40.78      | 3729       | 10.187       |
| 620     | 893.15 | 58.90      | 3751       | 10.377       | 51.53      | 3751       | 10.315       | 45.92      | 3751       | 10.261       | 41.24      | 3751       | 10.212       |
| 630     | 903.15 | 59.56      | 3773       | 10.402       | 52.11      | 3773       | 10.340       | 46.43      | 3773       | 10.286       | 41.70      | 3773       | 10.237       |
| 640     | 913.15 | 60.22      | 3796       | 10.426       | 52.69      | 3796       | 10.365       | 46.95      | 3796       | 10.311       | 42.17      | 3796       | 10.262       |
| 650     | 923.15 | 60.88      | 3818       | 10.450       | 53.27      | 3818       | 10.389       | 47.46      | 3818       | 10.355       | 42.63      | 3818       | 10.286       |
| 660     | 933.15 | 61.54      | 3841       | 10.474       | 53.84      | 3841       | 10.413       | 47.98      | 3841       | 10.359       | 43.10      | 3841       | 10.310       |
| 680     | 953.15 | 62.86      | 3886       | 10.522       | 54.99      | 3886       | 10.461       | 49.01      | 3886       | 10.407       | 44.02      | 3886       | 10.358       |
| 700     | 973.15 | 64.17      | 3931       | 10.569       | 56.15      | 3931       | 10.508       | 50.04      | 3931       | 10.454       | 44.94      | 3931       | 10.405       |

Table 2'ye devam

| Basing |        | 0.12 bar  |       |         | 0.14 bar  |       |         | 0.16 bar  |       |         | 0.18 bar  |       |         |
|--------|--------|-----------|-------|---------|-----------|-------|---------|-----------|-------|---------|-----------|-------|---------|
| t      | T      | v         | i     | s       | v         | i     | s       | v         | i     | s       | v         | i     | s       |
| °C     | K      | m³/kg     | kJ/kg | kJ/kg K | m³/kg     | kJ/kg | kJ/kg K | m³/kg     | kJ/kg | kJ/kg K | m³/kg     | kJ/kg | kJ/kg K |
| 0      | 273.15 | 0.0010002 | 0.0   | 0.0000  | 0.0010002 | 0.0   | 0.0000  | 0.0010002 | 0.0   | 0.0000  | 0.0010002 | 0.0   | 0.0000  |
| 10     | 283.15 | 0.0010003 | 41.9  | 0.1511  | 0.0010003 | 41.9  | 0.1511  | 0.0010003 | 41.9  | 0.1511  | 0.0010003 | 41.9  | 0.1511  |
| 20     | 293.15 | 0.0010018 | 83.7  | 0.2964  | 0.0010018 | 83.7  | 0.2964  | 0.0010018 | 83.7  | 0.2964  | 0.0010018 | 83.7  | 0.2964  |
| 30     | 303.15 | 0.0010044 | 125.6 | 0.4363  | 0.0010044 | 125.6 | 0.4363  | 0.0010044 | 125.6 | 0.4363  | 0.0010044 | 125.6 | 0.4363  |
| 40     | 313.15 | 0.0010079 | 167.5 | 0.5715  | 0.0010079 | 167.5 | 0.5715  | 0.0010079 | 167.5 | 0.5715  | 0.0010079 | 167.5 | 0.5715  |
| 50     | 323.15 | 12.44     | 2592  | 8.086   | 0.0010121 | 209.3 | 0.7030  | 0.0010121 | 209.3 | 0.7030  | 0.0010121 | 209.3 | 0.7030  |
| 60     | 333.15 | 12.78     | 2611  | 8.143   | 10.95     | 2611  | 8.071   | 9.573     | 2610  | 8.009   | 8.497     | 2610  | 7.954   |
| 70     | 343.15 | 13.17     | 2630  | 8.199   | 11.28     | 2630  | 8.127   | 9.867     | 2629  | 8.065   | 8.764     | 2629  | 8.010   |
| 80     | 353.15 | 13.55     | 2649  | 8.253   | 11.61     | 2649  | 8.191   | 10.160    | 2649  | 8.120   | 9.024     | 2648  | 8.064   |
| 90     | 363.15 | 13.94     | 2668  | 8.306   | 11.94     | 2668  | 8.235   | 10.450    | 2668  | 8.173   | 9.283     | 2667  | 8.117   |
| 100    | 373.15 | 14.33     | 2687  | 8.358   | 12.27     | 2687  | 8.287   | 10.740    | 2687  | 8.225   | 9.542     | 2687  | 8.169   |
| 110    | 383.15 | 14.72     | 2706  | 8.408   | 12.61     | 2706  | 8.337   | 11.030    | 2706  | 8.275   | 9.800     | 2706  | 8.220   |
| 120    | 393.15 | 15.10     | 2725  | 8.457   | 12.94     | 2725  | 8.386   | 11.320    | 2725  | 8.324   | 10.058    | 2725  | 8.269   |
| 130    | 403.15 | 15.49     | 2744  | 8.505   | 13.27     | 2744  | 8.434   | 11.610    | 2744  | 8.372   | 10.316    | 2744  | 8.317   |
| 140    | 413.15 | 15.87     | 2764  | 8.552   | 13.60     | 2763  | 8.481   | 11.899    | 2763  | 8.419   | 10.574    | 2763  | 8.364   |
| 150    | 423.15 | 16.26     | 2783  | 8.598   | 13.93     | 2782  | 8.527   | 12.189    | 2782  | 8.465   | 10.832    | 2782  | 8.410   |
| 160    | 433.15 | 16.64     | 2802  | 8.643   | 14.26     | 2802  | 8.572   | 12.478    | 2802  | 8.510   | 11.090    | 2802  | 8.455   |
| 170    | 443.15 | 17.03     | 2822  | 8.687   | 14.59     | 2821  | 8.616   | 12.768    | 2821  | 8.554   | 11.347    | 2821  | 8.499   |
| 180    | 453.15 | 17.42     | 2841  | 8.730   | 14.92     | 2840  | 8.659   | 13.057    | 2840  | 8.597   | 11.605    | 2840  | 8.542   |
| 190    | 463.15 | 17.80     | 2860  | 8.772   | 15.25     | 2860  | 8.701   | 13.346    | 2860  | 8.639   | 11.862    | 2860  | 8.584   |
| 200    | 473.15 | 18.19     | 2879  | 8.813   | 15.58     | 2879  | 8.742   | 13.635    | 2879  | 8.680   | 12.120    | 2879  | 8.625   |
| 210    | 483.15 | 18.57     | 2898  | 8.854   | 15.91     | 2898  | 8.783   | 13.924    | 2898  | 8.721   | 12.377    | 2898  | 8.666   |
| 220    | 493.15 | 18.96     | 2918  | 8.894   | 16.24     | 2918  | 8.823   | 14.213    | 2918  | 8.761   | 12.634    | 2918  | 8.706   |
| 230    | 503.15 | 19.34     | 2937  | 8.933   | 16.57     | 2937  | 8.862   | 14.502    | 2937  | 8.800   | 12.892    | 2937  | 8.745   |
| 240    | 513.15 | 19.73     | 2957  | 8.972   | 16.90     | 2957  | 8.900   | 14.790    | 2957  | 8.838   | 13.149    | 2957  | 8.784   |
| 250    | 523.15 | 20.11     | 2977  | 9.010   | 17.23     | 2977  | 8.938   | 15.079    | 2977  | 8.876   | 13.406    | 2976  | 8.822   |
| 260    | 533.15 | 20.50     | 2996  | 9.047   | 17.56     | 2997  | 8.975   | 15.367    | 2997  | 8.913   | 13.663    | 2997  | 8.859   |
| 280    | 553.15 | 21.27     | 3036  | 9.119   | 18.22     | 3037  | 9.048   | 15.943    | 3037  | 9.896   | 14.177    | 3037  | 8.932   |
| 300    | 573.15 | 22.04     | 3077  | 9.190   | 18.88     | 3077  | 9.119   | 16.52     | 3077  | 9.057   | 14.690    | 3077  | 9.003   |
| 310    | 583.15 | 22.42     | 3097  | 9.225   | 19.21     | 3097  | 9.154   | 16.81     | 3097  | 9.092   | 14.947    | 3097  | 9.038   |
| 320    | 593.15 | 22.81     | 3117  | 9.259   | 19.54     | 3117  | 9.188   | 17.10     | 3117  | 9.126   | 15.204    | 3117  | 9.072   |
| 330    | 603.15 | 23.19     | 3137  | 9.292   | 19.87     | 3137  | 9.221   | 17.39     | 3137  | 9.160   | 15.460    | 3137  | 9.106   |
| 340    | 613.15 | 23.58     | 3157  | 9.326   | 20.20     | 3157  | 9.255   | 17.68     | 3157  | 9.193   | 15.716    | 3157  | 9.139   |
| 350    | 623.15 | 23.96     | 3177  | 9.359   | 20.53     | 3177  | 9.288   | 17.96     | 3177  | 9.226   | 15.971    | 3177  | 9.171   |
| 360    | 633.15 | 24.35     | 3198  | 9.391   | 20.86     | 3198  | 9.320   | 18.25     | 3198  | 9.258   | 16.23     | 3198  | 9.204   |
| 380    | 653.15 | 25.12     | 3238  | 9.455   | 21.52     | 3238  | 9.383   | 18.83     | 3238  | 9.322   | 16.74     | 3238  | 9.268   |
| 400    | 673.15 | 25.89     | 3280  | 9.517   | 22.18     | 3280  | 9.446   | 19.41     | 3280  | 9.384   | 17.26     | 3280  | 9.330   |
| 410    | 683.15 | 26.28     | 3301  | 9.548   | 22.51     | 3301  | 9.476   | 19.70     | 3301  | 9.415   | 17.51     | 3301  | 9.361   |
| 420    | 693.15 | 26.66     | 3321  | 9.578   | 22.84     | 3321  | 9.506   | 19.99     | 3321  | 9.445   | 17.76     | 3321  | 9.391   |
| 430    | 703.15 | 27.04     | 3342  | 9.608   | 23.17     | 3342  | 9.536   | 20.28     | 3342  | 9.475   | 18.02     | 3342  | 9.421   |
| 440    | 713.15 | 27.43     | 3363  | 9.638   | 23.50     | 3363  | 9.566   | 20.56     | 3363  | 9.504   | 18.27     | 3363  | 9.450   |
| 450    | 723.15 | 27.82     | 3384  | 9.667   | 23.83     | 3384  | 9.596   | 20.85     | 3384  | 9.534   | 18.53     | 3384  | 9.480   |
| 460    | 733.15 | 28.20     | 3405  | 9.696   | 24.16     | 3405  | 9.625   | 21.13     | 3405  | 9.563   | 18.78     | 3405  | 9.509   |
| 480    | 753.15 | 28.96     | 3448  | 9.754   | 24.82     | 3448  | 9.683   | 21.71     | 3448  | 9.621   | 19.29     | 3448  | 9.567   |
| 500    | 773.15 | 29.74     | 3490  | 9.810   | 25.49     | 3490  | 9.739   | 22.29     | 3490  | 9.678   | 19.80     | 3490  | 9.624   |
| 510    | 783.15 | 30.13     | 3512  | 9.838   | 25.82     | 3512  | 9.767   | 22.58     | 3512  | 9.706   | 20.06     | 3512  | 9.652   |
| 520    | 793.15 | 30.52     | 3533  | 9.866   | 26.15     | 3533  | 9.795   | 22.87     | 3533  | 9.734   | 20.32     | 3533  | 9.680   |
| 530    | 803.15 | 30.90     | 3555  | 9.894   | 26.48     | 3555  | 9.823   | 23.16     | 3555  | 9.762   | 20.58     | 3555  | 9.708   |
| 540    | 813.15 | 31.29     | 3576  | 9.921   | 26.81     | 3576  | 9.850   | 23.45     | 3576  | 9.789   | 20.83     | 3576  | 9.735   |
| 550    | 823.15 | 31.67     | 3598  | 9.948   | 27.14     | 3598  | 9.877   | 23.74     | 3598  | 9.816   | 21.09     | 3598  | 9.762   |
| 560    | 833.15 | 32.06     | 3619  | 9.974   | 27.47     | 3619  | 9.903   | 24.03     | 3619  | 9.842   | 21.35     | 3619  | 9.788   |
| 580    | 853.15 | 32.83     | 3663  | 10.026  | 28.13     | 3663  | 9.955   | 24.60     | 3663  | 9.894   | 21.87     | 3663  | 9.840   |
| 600    | 873.15 | 33.60     | 3707  | 10.078  | 28.79     | 3707  | 10.007  | 25.18     | 3707  | 9.945   | 22.39     | 3707  | 9.891   |
| 610    | 883.15 | 33.98     | 3729  | 10.103  | 29.12     | 3729  | 10.032  | 25.47     | 3729  | 9.970   | 22.64     | 3729  | 9.916   |
| 620    | 893.15 | 34.37     | 3751  | 10.128  | 29.45     | 3751  | 10.057  | 25.76     | 3751  | 9.995   | 22.90     | 3751  | 9.941   |
| 630    | 903.15 | 34.75     | 3773  | 10.153  | 29.78     | 3773  | 10.082  | 26.05     | 3773  | 10.020  | 23.16     | 3773  | 9.966   |
| 640    | 913.15 | 35.14     | 3796  | 10.178  | 30.11     | 3796  | 10.106  | 26.34     | 3796  | 10.045  | 23.41     | 3796  | 9.991   |
| 650    | 923.15 | 35.52     | 3818  | 10.202  | 30.44     | 3818  | 10.130  | 26.63     | 3818  | 10.069  | 23.67     | 3818  | 10.015  |
| 660    | 933.15 | 35.91     | 3841  | 10.226  | 30.77     | 3841  | 10.154  | 26.92     | 3841  | 10.093  | 23.92     | 3841  | 10.039  |
| 680    | 953.15 | 36.68     | 3886  | 10.274  | 31.42     | 3886  | 10.202  | 27.50     | 3886  | 10.141  | 24.44     | 3886  | 10.087  |
| 700    | 973.15 | 37.44     | 3931  | 10.321  | 32.08     | 3931  | 10.249  | 28.08     | 3931  | 10.188  | 24.95     | 3931  | 10.133  |

| Sıcaklık<br>°C | Basinc |             |           | Yogunluk |       |           | Özgül Hacim |        |         | Özgül Antalpi |          |        | Buharlaşma |        |        | Özgül Entropi |         |         |
|----------------|--------|-------------|-----------|----------|-------|-----------|-------------|--------|---------|---------------|----------|--------|------------|--------|--------|---------------|---------|---------|
|                | T<br>K | ρ<br>kp/cm³ | ρ'<br>bar | Sıvı     |       |           | Buzlar      |        |         | Sıvı          |          |        | Buzlar     |        |        | Gizli Isıslı  |         |         |
|                |        |             |           | ρ''      | kg/m³ | m³/kg     | v'          | m³/kg  | m³/kg   | v''           | m³/kg    | m³/kg  | v''        | m³/kg  | m³/kg  | kJ/kg         | kcal/kg | kJ/kg K |
| -16            | 257.15 | 2.309       | 2.26436   | 659.8    | 1.989 | 0.0015155 | 0.5295      | 82.50  | 345.411 | 396.79        | 1661.280 | 314.29 | 1315.869   | 0.9343 | 3.9117 | 2.1567        | 9.0297  |         |
| -15            | 258.15 | 2.410       | 2.36340   | 658.5    | 1.966 | 0.0015185 | 0.5087      | 83.59  | 349.975 | 397.12        | 1662.662 | 313.53 | 1312.687   | 0.9385 | 3.9293 | 2.1532        | 9.0150  |         |
| -14            | 259.15 | 2.514       | 2.46539   | 657.2    | 2.046 | 0.0015215 | 0.4889      | 84.68  | 354.538 | 397.44        | 1664.002 | 312.76 | 1309.464   | 0.9427 | 3.9469 | 2.1498        | 9.0008  |         |
| -13            | 260.15 | 2.621       | 2.57032   | 655.9    | 2.128 | 0.0015245 | 0.4700      | 85.76  | 359.060 | 397.75        | 1665.300 | 311.99 | 1306.240   | 0.9469 | 3.9645 | 2.1464        | 8.9865  |         |
| -12            | 261.15 | 2.732       | 2.67918   | 654.6    | 2.213 | 0.0015276 | 0.4520      | 86.85  | 363.624 | 398.06        | 1666.598 | 311.21 | 1302.974   | 0.9511 | 3.9821 | 2.1430        | 8.9723  |         |
| -11            | 262.15 | 2.847       | 2.79195   | 653.3    | 2.300 | 0.0015307 | 0.4348      | 87.94  | 368.187 | 398.37        | 1667.896 | 310.43 | 1299.708   | 0.9552 | 3.9992 | 2.1396        | 8.9581  |         |
| -10            | 263.15 | 2.966       | 2.90865   | 652.0    | 2.390 | 0.0015338 | 0.4184      | 89.03  | 372.751 | 398.67        | 1669.152 | 309.64 | 1296.401   | 0.9593 | 4.0164 | 2.1362        | 8.9448  |         |
| -9             | 264.15 | 3.089       | 3.02927   | 650.7    | 2.483 | 0.0015369 | 0.4028      | 90.28  | 377.314 | 398.97        | 1670.408 | 308.85 | 1289.093   | 0.9634 | 4.0336 | 2.1329        | 8.9300  |         |
| -8             | 265.15 | 3.216       | 3.15382   | 649.3    | 2.579 | 0.0015400 | 0.3878      | 91.91  | 381.878 | 399.27        | 1671.664 | 308.06 | 1289.786   | 0.9675 | 4.0507 | 2.1296        | 8.9162  |         |
| -7             | 266.15 | 3.347       | 3.28229   | 648.0    | 2.678 | 0.0015432 | 0.3735      | 92.30  | 386.442 | 399.56        | 1672.878 | 307.25 | 1286.394   | 0.9716 | 4.0679 | 2.1263        | 8.9024  |         |
| -6             | 267.15 | 3.481       | 3.41369   | 646.7    | 2.779 | 0.0015464 | 0.3599      | 93.40  | 391.047 | 399.85        | 1674.092 | 306.45 | 1283.045   | 0.9757 | 4.0851 | 2.1231        | 8.8890  |         |
| -5             | 268.15 | 3.619       | 3.54903   | 645.3    | 2.883 | 0.0015496 | 0.3469      | 94.50  | 395.653 | 400.14        | 1675.306 | 305.64 | 1279.654   | 0.9798 | 4.1022 | 2.1199        | 8.8756  |         |
| -4             | 269.15 | 3.761       | 3.68828   | 644.0    | 2.991 | 0.0015528 | 0.3344      | 95.59  | 400.216 | 400.42        | 1676.478 | 304.83 | 1276.262   | 0.9839 | 4.1194 | 2.1167        | 8.8622  |         |
| -3             | 270.15 | 3.908       | 3.83244   | 642.6    | 3.102 | 0.0015561 | 0.3225      | 96.69  | 404.822 | 400.70        | 1677.651 | 304.01 | 1277.829   | 0.9880 | 4.1366 | 2.1135        | 8.8488  |         |
| -2             | 271.15 | 4.060       | 3.98150   | 641.3    | 3.216 | 0.0015594 | 0.3111      | 97.79  | 409.427 | 400.98        | 1678.823 | 303.19 | 1269.396   | 0.9920 | 4.1533 | 2.1103        | 8.8354  |         |
| -1             | 272.15 | 4.217       | 4.13546   | 639.9    | 3.332 | 0.0015627 | 0.3002      | 98.89  | 414.033 | 401.25        | 1679.954 | 302.36 | 1265.921   | 0.9960 | 4.1701 | 2.1072        | 8.8224  |         |
| 0              | 273.15 | 4.379       | 4.29433   | 638.6    | 3.452 | 0.0015660 | 0.2897      | 100.00 | 418.680 | 401.52        | 1681.084 | 301.52 | 1262.404   | 1.0000 | 4.1868 | 2.1041        | 8.8094  |         |
| 1              | 274.15 | 4.545       | 4.45712   | 637.2    | 3.576 | 0.0015694 | 0.2797      | 101.10 | 423.285 | 401.78        | 1682.173 | 300.68 | 1258.887   | 1.0040 | 4.2035 | 2.1010        | 8.7965  |         |
| 2              | 275.15 | 4.716       | 4.62482   | 635.8    | 3.702 | 0.0015727 | 0.2700      | 102.21 | 427.933 | 402.04        | 1683.261 | 299.84 | 1255.370   | 1.0080 | 4.2203 | 2.0979        | 8.7835  |         |
| 3              | 276.15 | 4.892       | 4.79741   | 634.5    | 3.834 | 0.0015761 | 0.2608      | 103.32 | 432.580 | 402.30        | 1684.350 | 298.99 | 1251.811   | 1.0120 | 4.2370 | 2.0949        | 8.7709  |         |
| 4              | 277.15 | 5.073       | 4.97491   | 633.1    | 3.969 | 0.0015796 | 0.2520      | 104.43 | 437.228 | 402.55        | 1685.396 | 298.13 | 1248.211   | 1.0160 | 4.2538 | 2.0919        | 8.7584  |         |
| 5              | 278.15 | 5.259       | 5.15732   | 631.7    | 4.108 | 0.0015831 | 0.2435      | 105.54 | 441.875 | 402.80        | 1686.443 | 297.26 | 1244.568   | 1.0200 | 4.2705 | 2.0889        | 8.7458  |         |
| 6              | 279.15 | 5.450       | 5.34462   | 630.3    | 4.250 | 0.0015866 | 0.2353      | 106.65 | 446.522 | 403.04        | 1687.448 | 296.39 | 1240.926   | 1.0240 | 4.2873 | 2.0859        | 8.7332  |         |
| 7              | 280.15 | 5.647       | 5.53382   | 628.9    | 4.396 | 0.0015901 | 0.2275      | 107.76 | 451.176 | 403.27        | 1688.411 | 295.51 | 1237.241   | 1.0280 | 4.3040 | 2.0829        | 8.7207  |         |
| 8              | 281.15 | 5.849       | 5.73391   | 627.5    | 4.546 | 0.0015936 | 0.2200      | 108.87 | 455.817 | 403.50        | 1689.374 | 294.63 | 1233.557   | 1.0319 | 4.3204 | 2.0799        | 8.7081  |         |
| 9              | 282.15 | 6.057       | 5.93899   | 626.1    | 4.700 | 0.0015972 | 0.2128      | 109.99 | 460.506 | 403.73        | 1690.337 | 293.74 | 1229.831   | 1.0358 | 4.3367 | 2.0770        | 8.6960  |         |
| 10             | 283.15 | 6.271       | 6.14975   | 624.7    | 4.859 | 0.0016008 | 0.2058      | 111.19 | 465.195 | 403.95        | 1691.258 | 292.84 | 1226.063   | 1.0397 | 4.3530 | 2.0741        | 8.6838  |         |
| 11             | 284.15 | 6.490       | 6.36452   | 623.3    | 5.022 | 0.0016045 | 0.1992      | 112.23 | 469.885 | 404.17        | 1692.179 | 291.94 | 1222.294   | 1.0436 | 4.3693 | 2.0712        | 8.6717  |         |
| 12             | 285.15 | 6.715       | 6.58317   | 621.8    | 5.189 | 0.0016081 | 0.1927      | 113.35 | 474.574 | 404.38        | 1693.058 | 291.03 | 1218.484   | 1.0475 | 4.3857 | 2.0683        | 8.6596  |         |
| 13             | 286.15 | 6.946       | 6.81170   | 620.4    | 5.361 | 0.0016118 | 0.1866      | 114.47 | 479.263 | 404.59        | 1693.937 | 290.12 | 1214.674   | 1.0514 | 4.4020 | 2.0654        | 8.6474  |         |
| 14             | 287.15 | 7.183       | 7.04412   | 619.0    | 5.537 | 0.0016156 | 0.1806      | 115.59 | 483.952 | 404.79        | 1694.775 | 289.20 | 1210.823   | 1.0553 | 4.4183 | 2.0626        | 8.6357  |         |
| 15             | 288.15 | 7.427       | 7.28340   | 617.5    | 5.718 | 0.0016193 | 0.1749      | 116.72 | 488.683 | 404.99        | 1695.612 | 288.27 | 1206.929   | 1.0592 | 4.4347 | 2.0598        | 8.6240  |         |
| 16             | 289.15 | 7.667       | 7.53857   | 616.1    | 5.904 | 0.0016231 | 0.1694      | 117.85 | 493.414 | 405.19        | 1696.449 | 287.34 | 1203.035   | 1.0631 | 4.4510 | 2.0570        | 8.6122  |         |
| 17             | 290.15 | 7.933       | 7.77962   | 614.6    | 6.094 | 0.0016270 | 0.1642      | 118.98 | 498.145 | 405.38        | 1697.245 | 286.40 | 1199.100   | 1.0670 | 4.4673 | 2.0552        | 8.6005  |         |
| 18             | 291.15 | 8.196       | 8.03753   | 613.2    | 6.289 | 0.0016308 | 0.1591      | 120.11 | 502.877 | 405.57        | 1698.040 | 285.46 | 1195.164   | 1.0709 | 4.4836 | 2.0514        | 8.5888  |         |
| 19             | 292.15 | 8.465       | 8.3033    | 611.7    | 6.489 | 0.0016347 | 0.1542      | 121.24 | 507.608 | 405.75        | 1698.794 | 284.51 | 1191.186   | 1.0747 | 4.4996 | 2.0486        | 8.5771  |         |
| 20             | 293.15 | 8.741       | 8.57799   | 610.3    | 6.694 | 0.0016386 | 0.1494      | 122.38 | 512.381 | 405.93        | 1699.548 | 283.55 | 1187.167   | 1.0785 | 4.5155 | 2.0459        | 8.5658  |         |
| 21             | 294.15 | 9.024       | 8.8952    | 608.8    | 6.904 | 0.0016426 | 0.1449      | 123.52 | 517.154 | 406.10        | 1700.259 | 282.58 | 1183.106   | 1.0824 | 4.5318 | 2.0432        | 8.5545  |         |
| 22             | 295.15 | 9.314       | 9.13391   | 607.3    | 7.119 | 0.0016466 | 0.1405      | 124.66 | 521.926 | 406.27        | 1700.971 | 281.61 | 1179.045   | 1.0862 | 4.5477 | 2.0405        | 8.5432  |         |
| 23             | 296.15 | 9.611       | 9.42517   | 605.8    | 7.339 | 0.0016507 | 0.1363      | 125.80 | 526.699 | 406.43        | 1701.641 | 280.63 | 1174.942   | 1.0900 | 4.5636 | 2.0378        | 8.5319  |         |
| 24             | 297.15 | 9.915       | 9.73229   | 604.3    | 7.564 | 0.0016546 | 0.1322      | 126.94 | 531.472 | 406.59        | 1702.311 | 279.65 | 1170.839   | 1.0938 | 4.5795 | 2.0351        | 8.5206  |         |
| 25             | 298.15 | 10.255      | 10.0230   | 602.8    | 7.795 | 0.0016588 | 0.1283      | 128.09 | 536.287 | 406.75        | 1702.981 | 278.66 | 1166.694   | 1.0976 | 4.5954 | 2.0324        | 8.5093  |         |
| 26             | 299.15 | 10.544      | 10.3213   | 601.3    | 8.031 | 0.0016630 | 0.1245      | 129.24 | 541.102 | 406.89        | 1703.567 | 277.66 | 1162.507   | 1.1014 | 4.6113 | 2.0297        | 8.4979  |         |
| 27             | 300.15 | 10.870      | 10.63983  | 599.8    | 8.273 | 0.0016672 | 0.1209      | 130.39 | 545.917 | 407.03        | 1704.153 | 276.65 | 1158.278   | 1.1052 | 4.6273 | 2.0270        | 8.4866  |         |
| 28             | 301.15 | 11.204      | 10.9837   | 598.3    | 8.521 | 0.0016714 | 0.1174      | 131.54 | 550.732 | 407.17        | 1704.739 | 275.64 | 1154.030   | 1.1090 | 4.6332 | 2.0243        | 8.4753  |         |

Table 3'e devam

| Sıcaklık<br><i>t</i> | Barometre<br><i>P</i> | Yogunluk |          |                                 | Özgül Hacim      |                   |                     | Özgül Antalpi      |                      |                   | Buharlaşma          |                                  |                   | Özgül Entropi          |                                    |                                |                             |
|----------------------|-----------------------|----------|----------|---------------------------------|------------------|-------------------|---------------------|--------------------|----------------------|-------------------|---------------------|----------------------------------|-------------------|------------------------|------------------------------------|--------------------------------|-----------------------------|
|                      |                       | T<br>°C  | K        | <i>p'</i><br>kp/cm <sup>2</sup> | <i>v'</i><br>bar | Sıvı<br><i>ρ'</i> | Buhar<br><i>ρ''</i> | Sıvı<br><i>v''</i> | Buhar<br><i>v'''</i> | Sıvı<br><i>i'</i> | Buhar<br><i>i''</i> | Gizli Isıtma<br><i>i''' - i'</i> | Sıvı<br><i>s'</i> | Buharlar<br><i>s''</i> | Gizli Kötüleme<br><i>kcal/kg K</i> | Buharlaşma<br><i>kcal/kg K</i> | Boyuşma<br><i>kcal/kg K</i> |
| 29                   | 302.15                | 11.546   | 11.32276 | 596.8                           | 8.775            | 0.0016757         | 0.1140              | 132.69             | 555.546              | 407.30            | 1705.284            | 274.62                           | 1149.779          | 1.1128                 | 4.6591                             | 2.0217                         | 8.4645                      |
| 30                   | 303.15                | 11.895   | 11.66501 | 595.2                           | 9.034            | 0.0016800         | 0.1107              | 133.84             | 560.361              | 407.43            | 1705.828            | 273.59                           | 1145.467          | 1.1165                 | 4.6746                             | 2.0191                         | 8.4536                      |
| 31                   | 304.15                | 12.252   | 12.01511 | 593.7                           | 9.300            | 0.0016844         | 0.1075              | 135.00             | 565.218              | 407.55            | 1706.330            | 272.55                           | 1141.112          | 1.1203                 | 4.6905                             | 2.0165                         | 8.4427                      |
| 32                   | 305.15                | 12.617   | 12.37305 | 592.1                           | 9.573            | 0.0016888         | 0.1045              | 136.16             | 570.075              | 407.67            | 1706.833            | 271.50                           | 1136.716          | 1.1241                 | 4.7064                             | 2.0139                         | 8.4318                      |
| 33                   | 306.15                | 12.991   | 12.73982 | 590.6                           | 9.852            | 0.0016932         | 0.1015              | 137.32             | 574.931              | 407.78            | 1707.293            | 270.45                           | 1132.320          | 1.1278                 | 4.7219                             | 2.0113                         | 8.4209                      |
| 34                   | 307.15                | 13.374   | 13.11541 | 589.0                           | 10.138           | 0.0016977         | 0.0986              | 138.48             | 579.788              | 407.88            | 1707.712            | 269.39                           | 1127.882          | 1.1315                 | 4.7374                             | 2.0087                         | 8.4100                      |
| 35                   | 308.15                | 13.765   | 13.49885 | 587.5                           | 10.431           | 0.0017023         | 0.0959              | 139.65             | 584.687              | 407.97            | 1708.089            | 268.32                           | 1123.407          | 1.1352                 | 4.7529                             | 2.0061                         | 8.3991                      |
| 36                   | 309.15                | 14.165   | 13.89112 | 585.9                           | 10.731           | 0.0017069         | 0.0932              | 140.82             | 589.585              | 408.06            | 1708.466            | 267.24                           | 1118.880          | 1.1390                 | 4.7688                             | 2.0035                         | 8.3883                      |
| 37                   | 310.15                | 14.573   | 14.29123 | 584.3                           | 11.038           | 0.0017115         | 0.0906              | 141.99             | 594.484              | 408.5             | 1708.842            | 266.15                           | 1114.317          | 1.1427                 | 4.7843                             | 2.0009                         | 8.3774                      |
| 38                   | 311.15                | 14.990   | 14.70017 | 582.7                           | 11.353           | 0.0017162         | 0.0881              | 143.16             | 599.382              | 408.23            | 1709.177            | 265.06                           | 1109.753          | 1.1464                 | 4.7997                             | 1.9984                         | 8.3669                      |
| 39                   | 312.15                | 15.415   | 15.11665 | 581.1                           | 11.675           | 0.0017209         | 0.0857              | 144.34             | 604.323              | 408.30            | 1709.940            | 263.96                           | 1105.148          | 1.1501                 | 4.8152                             | 1.9958                         | 8.3560                      |
| 40                   | 313.15                | 15.850   | 15.54354 | 579.5                           | 12.005           | 0.0017257         | 0.0833              | 145.52             | 609.263              | 408.37            | 1709.764            | 262.85                           | 1100.500          | 1.1538                 | 4.8307                             | 1.9933                         | 8.3455                      |
| 41                   | 314.15                | 16.294   | 15.97896 | 577.9                           | 12.34            | 0.0017305         | 0.0810              | 146.70             | 614.204              | 408.43            | 1710.015            | 261.73                           | 1095.811          | 1.1575                 | 4.8462                             | 1.9908                         | 8.3351                      |
| 42                   | 315.15                | 16.747   | 16.42320 | 576.2                           | 12.69            | 0.0017354         | 0.0788              | 147.88             | 619.144              | 408.49            | 1710.266            | 260.60                           | 1091.080          | 1.1612                 | 4.8617                             | 1.9882                         | 8.3242                      |
| 43                   | 316.15                | 17.210   | 16.87724 | 574.6                           | 13.04            | 0.0017404         | 0.0767              | 149.06             | 624.084              | 408.54            | 1710.475            | 259.47                           | 1086.349          | 1.1649                 | 4.8772                             | 1.9857                         | 8.3137                      |
| 44                   | 317.15                | 17.682   | 17.34012 | 572.9                           | 13.40            | 0.0017454         | 0.0746              | 150.24             | 629.025              | 408.58            | 1710.643            | 258.33                           | 1081.576          | 1.1686                 | 4.8927                             | 1.9832                         | 8.3033                      |
| 45                   | 318.15                | 18.165   | 17.81378 | 571.3                           | 13.77            | 0.0017504         | 0.0726              | 151.43             | 634.007              | 408.61            | 1710.768            | 257.18                           | 1076.761          | 1.1722                 | 4.9078                             | 1.9807                         | 8.2928                      |
| 46                   | 319.15                | 18.658   | 18.29725 | 569.6                           | 14.15            | 0.0017555         | 0.0707              | 152.62             | 638.989              | 408.64            | 1710.894            | 256.02                           | 1071.905          | 1.1759                 | 4.9233                             | 1.9781                         | 8.2819                      |
| 47                   | 320.15                | 19.161   | 18.79052 | 568.0                           | 14.54            | 0.0017607         | 0.0688              | 153.81             | 643.972              | 408.66            | 1710.978            | 254.85                           | 1067.006          | 1.1796                 | 4.9387                             | 1.9756                         | 8.2714                      |
| 48                   | 321.15                | 19.673   | 19.29262 | 566.3                           | 14.94            | 0.0017659         | 0.0670              | 155.00             | 648.954              | 408.68            | 1711.061            | 253.67                           | 1062.066          | 1.1832                 | 4.9538                             | 1.9731                         | 8.2610                      |
| 49                   | 322.15                | 20.195   | 19.80553 | 564.6                           | 15.34            | 0.0017712         | 0.0652              | 156.20             | 653.978              | 408.70            | 1711.145            | 252.48                           | 1057.083          | 1.1868                 | 4.9689                             | 1.9706                         | 8.2505                      |
| 50                   | 323.15                | 20.727   | 20.32624 | 562.8                           | 15.75            | 0.0017775         | 0.0635              | 157.38             | 658.919              | 408.72            | 1711.229            | 251.34                           | 1052.310          | 1.1905                 | 4.9844                             | 1.9683                         | 8.2409                      |
| 52                   | 325.15                | 21.83    | 21.40192 | 559.1                           | 16.59            | 0.001788          | 0.0602              | 159.8              | 669.051              | 408.7             | 1711.145            | 248.9                            | 1042.095          | 1.1982                 | 5.0166                             | 1.9638                         | 8.2220                      |
| 54                   | 327.15                | 22.97    | 22.52588 | 555.4                           | 17.47            | 0.001800          | 0.0572              | 162.2              | 679.099              | 408.8             | 1711.564            | 246.6                            | 1032.465          | 1.2056                 | 5.0476                             | 1.9590                         | 8.2019                      |
| 56                   | 329.15                | 24.15    | 23.68006 | 551.6                           | 18.39            | 0.001812          | 0.0543              | 164.6              | 689.147              | 408.8             | 1711.564            | 244.2                            | 1022.417          | 1.2130                 | 5.0786                             | 1.9542                         | 8.1818                      |
| 58                   | 331.15                | 25.37    | 24.87947 | 547.8                           | 19.35            | 0.001825          | 0.0515              | 167.1              | 699.614              | 408.7             | 1711.145            | 241.6                            | 1011.531          | 1.2205                 | 5.1100                             | 1.9494                         | 8.1617                      |
| 60                   | 333.15                | 26.66    | 26.14453 | 544.0                           | 20.35            | 0.001838          | 0.0489              | 169.6              | 710.081              | 408.6             | 1710.726            | 238.0                            | 996.458           | 5.1414                 | 5.1414                             | 1.9445                         | 8.1412                      |
| 62                   | 335.15                | 27.98    | 27.43001 | 540.2                           | 21.41            | 0.001851          | 0.0464              | 172.2              | 720.967              | 408.5             | 1710.308            | 236.3                            | 989.341           | 5.1724                 | 5.2354                             | 1.9396                         | 8.1207                      |
| 64                   | 337.15                | 29.36    | 28.7932  | 536.4                           | 22.53            | 0.001864          | 0.0441              | 174.8              | 731.953              | 408.3             | 1709.470            | 233.5                            | 977.618           | 5.1248                 | 5.2054                             | 1.9347                         | 8.1002                      |
| 66                   | 339.15                | 30.77    | 30.17506 | 532.6                           | 23.73            | 0.001877          | 0.0420              | 177.4              | 742.338              | 408.0             | 1708.214            | 230.6                            | 965.476           | 5.12502                | 5.2343                             | 1.9297                         | 8.0793                      |
| 68                   | 341.15                | 32.25    | 31.62645 | 528.8                           | 25.01            | 0.001891          | 0.0399              | 180.0              | 753.624              | 407.7             | 1706.958            | 227.7                            | 953.334           | 5.2576                 | 5.2653                             | 1.9247                         | 8.0583                      |
| 70                   | 343.15                | 33.77    | 33.11706 | 524.8                           | 26.36            | 0.001905          | 0.0379              | 182.7              | 764.528              | 407.3             | 1705.284            | 224.6                            | 940.355           | 5.2650                 | 5.2963                             | 1.9196                         | 8.0370                      |

1 at = 1 kp/cm<sup>2</sup> = 98 066.5 Pa = 98 066.5 N/m<sup>2</sup> = 9.806 65 N/cm<sup>2</sup> = 0.980 665 bar

1 kcal = 4.186 8 kJ

Tablo 4 Amonyak Kızgın Buhar Tablosu

| $P = 50 \text{ kPa} \quad T_d = -46.541 \text{ C}$ |        |        | T<br>(C) | $P = 75 \text{ kPa} \quad T_d = -39.18 \text{ C}$  |        |        |
|--|--------|--------|----------|--|--------|--------|
| $v_b$  | $h_b$  | $s_b$  |          | $v$  | $h$    | $s$    |
| 2.1758   | 1378.3 | 6.0854 | —20      | 1.6233   | 1433.0 | 6.1190 |
| 2.5481   | 1457.0 | 6.4077 | —10      | 1.6915   | 1454.7 | 6.2028 |
| 2.6482   | 1478.1 | 6.4865 | 0        | 1.7591   | 1476.1 | 6.2828 |
| 2.7479   | 1499.2 | 6.5625 | 10       | 1.8263   | 1497.5 | 6.3597 |
| 2.8473   | 1520.4 | 6.6360 | 20       | 1.8932   | 1518.9 | 6.4339 |
| 2.9464   | 1541.7 | 6.7073 | 30       | 1.9597   | 1540.3 | 6.5058 |
| 3.0453   | 1563.0 | 6.7766 | 40       | 2.0261   | 1561.8 | 6.5756 |
| 3.1441   | 1584.5 | 6.8441 | 50       | 2.0923   | 1583.4 | 6.6434 |
| 3.2427   | 1606.1 | 6.9099 | 60       | 2.1584   | 1605.1 | 6.7096 |
| 3.3413   | 1627.8 | 6.9743 | 70       | 2.2244   | 1626.9 | 6.7742 |
| 3.4397   | 1649.7 | 7.0372 | 80       | 2.2903   | 1648.9 | 6.8373 |
| $P = 100 \text{ kPa} \quad T_d = -33.61 \text{ C}$ |        |        |          | $P = 150 \text{ kPa} \quad T_d = -25.23 \text{ C}$ |        |        |
| $v_b$  | $h_b$  | $s_b$  |          | $v_b$  | $h_b$  | $s_b$  |
| 1.1384   | 1399.1 | 5.8435 | —20      | 0.7790   | 1411.6 | 5.7028 |
| 1.1210   | 1430.1 | 5.9695 | —10      | 0.7984   | 1424.1 | 5.7526 |
| 1.2631   | 1452.2 | 6.0552 | 0        | 0.8344   | 1447.3 | 5.8424 |
| 1.3145   | 1474.1 | 6.1366 | 10       | 0.8697   | 1469.8 | 5.9266 |
| 1.3654   | 1495.7 | 6.2144 | 20       | 0.9045   | 1492.1 | 6.0066 |
| 1.4160   | 1517.3 | 6.2894 | 30       | 0.9388   | 1514.1 | 6.0831 |
| 1.4664   | 1538.9 | 6.3618 | 40       | 0.9729   | 1536.1 | 6.1568 |
| 1.5165   | 1560.5 | 6.4321 | 50       | 1.0068   | 1558.0 | 6.2280 |
| 1.5664   | 1582.2 | 6.5003 | 60       | 1.0405   | 1580.0 | 6.2970 |
| 1.6163   | 1604.1 | 6.5668 | 70       | 1.0740   | 1602.0 | 6.3641 |
| 1.6659   | 1626.0 | 6.6316 | 80       | 1.1074   | 1624.1 | 6.4295 |
| 1.7155   | 1648.0 | 6.6950 | 100      | 1.1408   | 1646.3 | 6.4933 |
| 1.8145   | 1692.6 | 6.8177 |          | 1.2072   | 1691.1 | 6.6167 |

Table 4'e devam

| P = 200 kPa T <sub>d</sub> = -18.86 C |                |                | T<br>(C)                             | P = 250 kPa T <sub>d</sub> = -13.67 C |                |                |
|---------------------------------------|----------------|----------------|--------------------------------------|---------------------------------------|----------------|----------------|
| v <sub>b</sub>                        | h <sub>b</sub> | s <sub>b</sub> |                                      | v <sub>b</sub>                        | h <sub>b</sub> | s <sub>b</sub> |
| 0.5952                                | 1420.5         | 5.6031         |                                      | 0.4824                                | 1427.4         | 5.5256         |
| v                                     | h              | s              |                                      | v                                     | h              | s              |
| 0.6199                                | 1442.0         | 5.6863         | -10                                  | 0.4910                                | 1436.6         | 5.5609         |
| 0.6471                                | 1465.5         | 5.7737         | 0                                    | 0.5135                                | 1461.0         | 5.6517         |
| 0.6737                                | 1488.4         | 5.8559         | 10                                   | 0.5354                                | 1484.5         | 5.7365         |
| 0.7001                                | 1510.9         | 5.9342         | 20                                   | 0.5568                                | 1507.6         | 5.8165         |
| 0.7261                                | 1533.2         | 6.0061         | 30                                   | 0.5780                                | 1530.3         | 5.8928         |
| 0.7519                                | 1555.5         | 6.0813         | 40                                   | 0.5989                                | 1552.9         | 5.9661         |
| 0.7774                                | 1577.7         | 1.1512         | 50                                   | 0.6196                                | 1575.4         | 6.0368         |
| 0.8029                                | 1599.9         | 6.2189         | 60                                   | 0.6401                                | 1597.8         | 6.1052         |
| 0.8282                                | 1622.2         | 6.2849         | 70                                   | 0.6605                                | 1620.3         | 6.1717         |
| 0.8533                                | 1644.6         | 6.3491         | 80                                   | 0.6809                                | 1642.8         | 6.2365         |
| 0.9035                                | 1689.6         | 6.4732         | 100                                  | 0.7212                                | 1688.2         | 6.3613         |
| P = 300 kPa T <sub>d</sub> = -9.23 C  |                |                | P = 350 kPa T <sub>d</sub> = -5.35 C |                                       |                |                |
| v <sub>b</sub>                        | h <sub>b</sub> | s <sub>b</sub> |                                      | v <sub>b</sub>                        | h <sub>b</sub> | s <sub>b</sub> |
| 0.4066                                | 1432.9         | 5.4622         |                                      | 0.3513                                | 1437.6         | 5.4085         |
| 0.4243                                | 1456.3         | 5.5493         | 0                                    | 0.3605                                | 1451.5         | 5.4600         |
| 0.4430                                | 1480.6         | 5.6366         | 10                                   | 0.3770                                | 1476.5         | 5.5502         |
| 0.4613                                | 1504.2         | 5.7186         | 20                                   | 0.3929                                | 1500.7         | 5.6342         |
| 0.4792                                | 1527.4         | 5.7963         | 30                                   | 0.4086                                | 1524.4         | 5.7135         |
| 0.4968                                | 1550.3         | 5.8707         | 40                                   | 0.4239                                | 1547.6         | 5.7890         |
| 0.5143                                | 1573.0         | 5.9423         | 50                                   | 0.4391                                | 1570.7         | 5.8615         |
| 0.5316                                | 1595.7         | 6.0114         | 60                                   | 0.4541                                | 1593.6         | 5.9314         |
| 0.5488                                | 1618.4         | 6.0785         | 70                                   | 0.4689                                | 1616.5         | 5.9990         |
| 0.5658                                | 1641.1         | 6.1437         | 80                                   | 0.4857                                | 1639.3         | 6.0647         |
| 0.5997                                | 1686.7         | 6.2693         | 100                                  | 0.5129                                | 1685.2         | 6.1910         |

Table 4'e devam

| P = 400 kPa T <sub>d</sub> = -1.89 C |                |                | T<br>(C) | P = 450 kPa T <sub>d</sub> = 1.26 C |                |                |
|--------------------------------------|----------------|----------------|----------|-------------------------------------|----------------|----------------|
| v <sub>b</sub>                       | h <sub>b</sub> | s <sub>b</sub> |          | v <sub>b</sub>                      | h <sub>b</sub> | s <sub>b</sub> |
| 0.3020                               | 1442.2         | 5.3528         |          | 0.2669                              | 1444.8         | 5.3204         |
| v                                    | h              | s              |          | v                                   | h              | s              |
| 0.3125                               | 1446.5         | 5.3803         | 0        | 0.2752                              | 1441.3         | 5.3078         |
| 0.3274                               | 1472.4         | 5.4735         | 10       | 0.2887                              | 1468.1         | 5.4042         |
| 0.3417                               | 1497.2         | 5.5597         | 20       | 0.3017                              | 1493.6         | 5.4926         |
| 0.3556                               | 1521.3         | 5.6405         | 30       | 0.3143                              | 1518.2         | 5.5752         |
| 0.3692                               | 1544.9         | 5.7173         | 40       | 0.3266                              | 1542.5         | 5.6532         |
| 0.3826                               | 1568.3         | 5.7907         | 50       | 0.3387                              | 1565.9         | 5.7275         |
| 0.3959                               | 1591.5         | 5.8613         | 60       | 0.3506                              | 1589.3         | 5.7989         |
| 0.4090                               | 1614.5         | 5.9296         | 70       | 0.3624                              | 1612.6         | 5.8978         |
| 0.4220                               | 1637.6         | 5.9957         | 80       | 0.3740                              | 1635.8         | 5.9345         |
| 0.4478                               | 1683.7         | 6.1228         | 100      | 0.3971                              | 1682.2         | 6.0623         |
| P = 500 kPa T <sub>d</sub> = 4.14 C  |                |                | T<br>(C) | P = 600 kPa T <sub>d</sub> = 9.29 C |                |                |
| v <sub>b</sub>                       | h <sub>b</sub> | s <sub>b</sub> |          | v <sub>b</sub>                      | h <sub>b</sub> | s <sub>b</sub> |
| 0.2505                               | 1557.7         | 5.2834         |          | 0.2105                              | 1452.7         | 5.2191         |
| 0.2698                               | 1489.9         | 5.4314         | 20       | 0.2217                              | 1482.4         | 5.3222         |
| 0.2813                               | 1515.0         | 5.5157         | 30       | 0.2317                              | 1508.6         | 5.4102         |
| 0.2926                               | 1539.5         | 5.5950         | 40       | 0.2414                              | 1533.8         | 5.4923         |
| 0.3036                               | 1563.4         | 5.6704         | 50       | 0.2508                              | 1558.5         | 5.5697         |
| 0.3144                               | 1587.1         | 5.7425         | 60       | 0.2600                              | 1582.7         | 5.6436         |
| 0.3251                               | 1610.6         | 5.8120         | 70       | 0.2691                              | 1606.6         | 5.7144         |
| 0.3357                               | 1634.0         | 5.8793         | 80       | 0.2781                              | 1630.4         | 5.7826         |
| 0.3565                               | 1680.7         | 6.0079         | 100      | 0.2957                              | 1677.7         | 5.9129         |
| 0.3771                               | 1727.5         | 6.1301         | 120      | 0.3130                              | 1724.9         | 6.0363         |
| 0.3975                               | 1774.7         | 6.2472         | 140      | 0.3302                              | 1772.4         | 6.1541         |

Table 4'e devam

| P = 700 kPa T <sub>d</sub> = 13.81 C |                |                | T<br>(C) | P = 800 kPa T <sub>d</sub> = 17.86 C |                |                |
|--------------------------------------|----------------|----------------|----------|--------------------------------------|----------------|----------------|
| v <sub>b</sub>                       | h <sub>b</sub> | s <sub>b</sub> |          | v <sub>b</sub>                       | h <sub>b</sub> | s <sub>b</sub> |
| 0.1816                               | 1456.6         | 5.1644         |          | 0.1597                               | 1459.9         | 5.1167         |
| v                                    | h              | s              |          | v                                    | h              | s              |
| 0.1874                               | 1474.5         | 5.2259         | 20       | 0.1615                               | 1466.3         | 5.1387         |
| 0.1963                               | 1501.9         | 5.3179         | 30       | 0.1696                               | 1495.0         | 5.2351         |
| 0.2048                               | 1528.1         | 5.4029         | 40       | 0.1773                               | 1522.2         | 5.3232         |
| 0.2131                               | 1553.4         | 5.4826         | 50       | 0.1848                               | 1548.3         | 5.4053         |
| 0.2212                               | 1578.2         | 5.5582         | 60       | 0.1920                               | 1573.7         | 5.4827         |
| 0.2291                               | 1602.6         | 5.6303         | 70       | 0.1991                               | 1598.6         | 5.5562         |
| 0.2369                               | 1626.8         | 5.6997         | 80       | 0.2060                               | 1623.1         | 5.6268         |
| 0.2522                               | 1674.6         | 5.8316         | 100      | 0.2196                               | 1671.6         | 5.7603         |
| 0.2672                               | 1722.4         | 5.9562         | 120      | 0.2329                               | 1719.8         | 5.8861         |
| 0.2821                               | 1770.2         | 6.0749         | 140      | 0.2459                               | 1768.0         | 6.0057         |
| P = 900 kPa T <sub>d</sub> = 21.54 C |                |                | T<br>(C) | P = 1.0 MPa T <sub>d</sub> = 24.91 C |                |                |
| v <sub>b</sub>                       | h <sub>b</sub> | s <sub>b</sub> |          | v <sub>b</sub>                       | h <sub>b</sub> | s <sub>b</sub> |
| 0.1425                               | 1462.6         | 5.0744         |          | 0.1287                               | 1464.9         | 5.0366         |
| 0.1488                               | 1488.0         | 5.1593         | 30       | 0.1321                               | 1480.6         | 5.0889         |
| 0.1559                               | 1516.2         | 5.2508         | 40       | 0.1388                               | 1510.0         | 5.1840         |
| 0.1627                               | 1543.0         | 5.3354         | 50       | 0.1450                               | 1537.7         | 5.2713         |
| 0.1693                               | 1569.1         | 5.4147         | 60       | 0.1511                               | 1564.4         | 5.3525         |
| 0.1757                               | 1594.4         | 5.4897         | 70       | 0.1570                               | 1590.3         | 5.4292         |
| 0.1820                               | 1619.4         | 5.5614         | 80       | 0.1627                               | 1615.6         | 5.5021         |
| 0.1942                               | 1668.5         | 5.6968         | 100      | 0.1739                               | 1665.4         | 5.6392         |
| 0.2061                               | 1717.1         | 5.8237         | 120      | 0.1847                               | 1714.5         | 5.7647         |
| 0.2178                               | 1765.7         | 5.9442         | 140      | 0.1954                               | 1763.4         | 5.8888         |
| 0.2294                               | 1814.4         | 6.0594         | 160      | 0.2058                               | 1812.4         | 6.0047         |

Table 4'e devam

| P = 1.2 MPa T <sub>d</sub> = 30.96 C |                |                | T<br>(C) | P = 1.4 MPa T <sub>d</sub> = 36.28 C |                |                |
|--------------------------------------|----------------|----------------|----------|--------------------------------------|----------------|----------------|
| v <sub>b</sub>                       | h <sub>b</sub> | s <sub>b</sub> |          | v <sub>b</sub>                       | h <sub>b</sub> | s <sub>b</sub> |
| 0.1076                               | 1468.4         | 4.9701         |          | 0.0924                               | 1470.9         | 4.9131         |
| v                                    | h              | s              |          | v                                    | h              | s              |
| 0.1129                               | 1497.1         | 5.0629         | 40       | 0.0944                               | 1483.4         | 4.9534         |
| 0.1185                               | 1526.6         | 5.1560         | 50       | 0.0995                               | 1515.1         | 5.0530         |
| 0.1238                               | 1554.7         | 5.2416         | 60       | 0.1042                               | 1544.7         | 5.1434         |
| 0.1289                               | 1581.7         | 5.3215         | 70       | 0.1088                               | 1573.0         | 5.2270         |
| 0.1338                               | 1608.0         | 5.3970         | 80       | 0.1132                               | 1600.2         | 5.3053         |
| 0.1434                               | 1659.2         | 5.5379         | 100      | 0.1216                               | 1652.8         | 5.4501         |
| 0.1526                               | 1709.2         | 5.6687         | 120      | 0.1297                               | 1703.9         | 5.5836         |
| 0.1616                               | 1758.9         | 5.7919         | 140      | 0.1376                               | 1754.3         | 5.7087         |
| 0.1705                               | 1808.5         | 5.9091         | 160      | 0.1452                               | 1804.5         | 5.8273         |
| 0.1792                               | 1858.2         | 6.0214         | 180      | 0.1528                               | 1854.7         | 5.9406         |
| P = 1.6 MPa T <sub>d</sub> = 41.05 C |                |                | T<br>(C) | P = 2.0 MPa T <sub>d</sub> = 45.39 C |                |                |
| v <sub>b</sub>                       | h <sub>b</sub> | s <sub>b</sub> |          | v <sub>b</sub>                       | h <sub>b</sub> | s <sub>b</sub> |
| 0.0809                               | 1472.5         | 4.8630         |          | 0.0719                               | 1473.4         | 4.8177         |
| 0.0851                               | 2502.9         | 4.9584         | 50       | 0.0648                               | 1476.1         | 4.7834         |
| 0.0895                               | 1534.4         | 5.0543         | 60       | 0.0688                               | 1512.0         | 4.8930         |
| 0.0937                               | 1564.0         | 5.1419         | 70       | 0.0725                               | 1544.9         | 4.9902         |
| 0.0977                               | 1592.3         | 5.2232         | 80       | 0.0760                               | 1575.6         | 5.0786         |
| 0.1053                               | 1646.4         | 5.3722         | 100      | 0.0824                               | 1633.2         | 5.2371         |
| 0.1125                               | 1698.5         | 5.5084         | 120      | 0.0885                               | 1687.6         | 5.3793         |
| 0.1195                               | 1749.7         | 5.6355         | 140      | 0.0943                               | 1740.4         | 5.5104         |
| 0.1263                               | 1800.5         | 5.7555         | 160      | 0.0999                               | 1792.4         | 5.6333         |
| 0.1330                               | 1851.2         | 5.8699         | 180      | 0.1054                               | 1844.1         | 5.7499         |

Tablo 5 Amonyak-su Eriyiklerinin Termodynamik Özellikleri [30]

**Amonyak (sıvı) kütle yüzdesi**  
**Amonyak (buhar) kütle yüzdesi**  
ve **h<sub>f</sub>** ve **h<sub>v</sub>** sıvı ve buhar amonyak antalpileri ( kJ/kg )





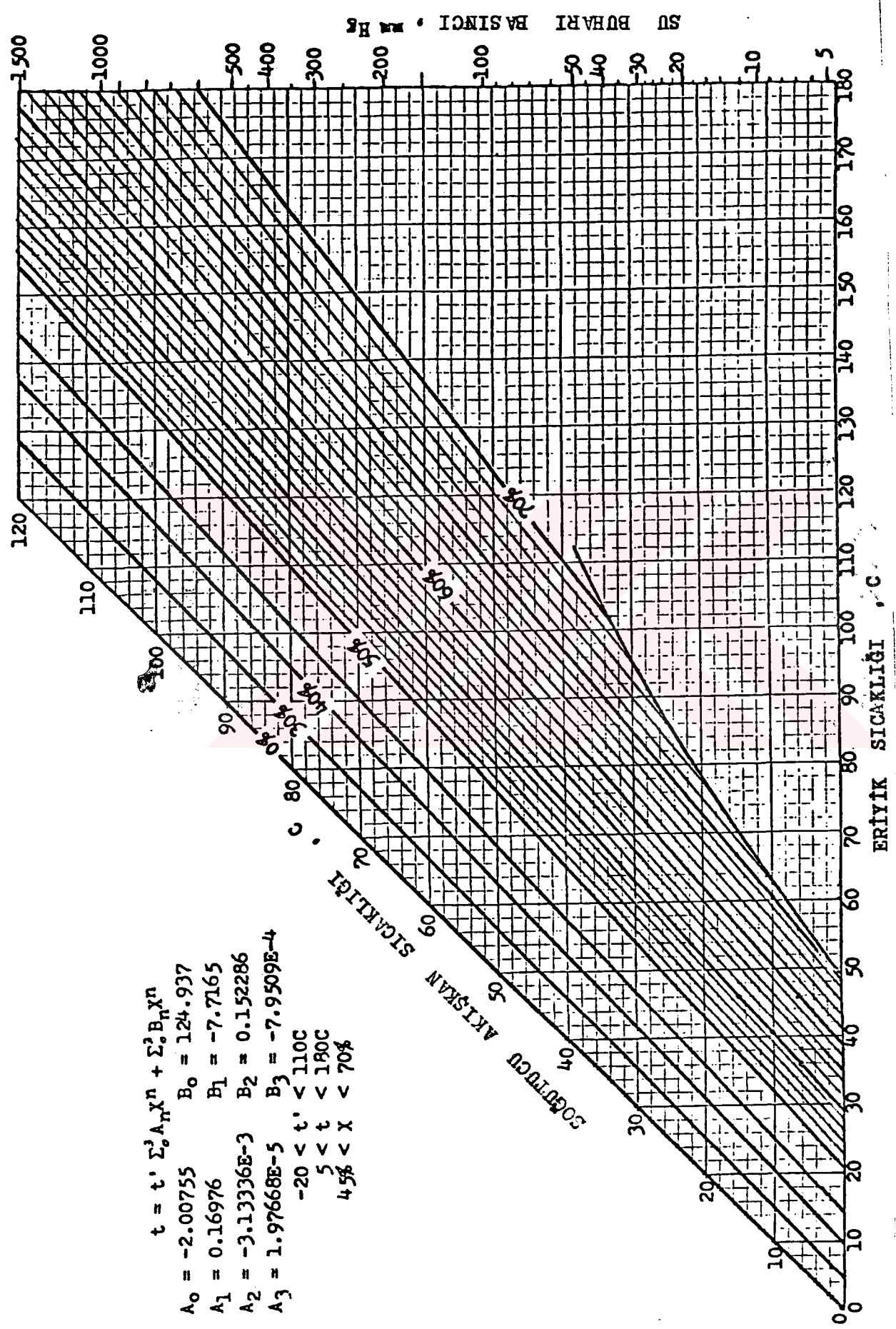
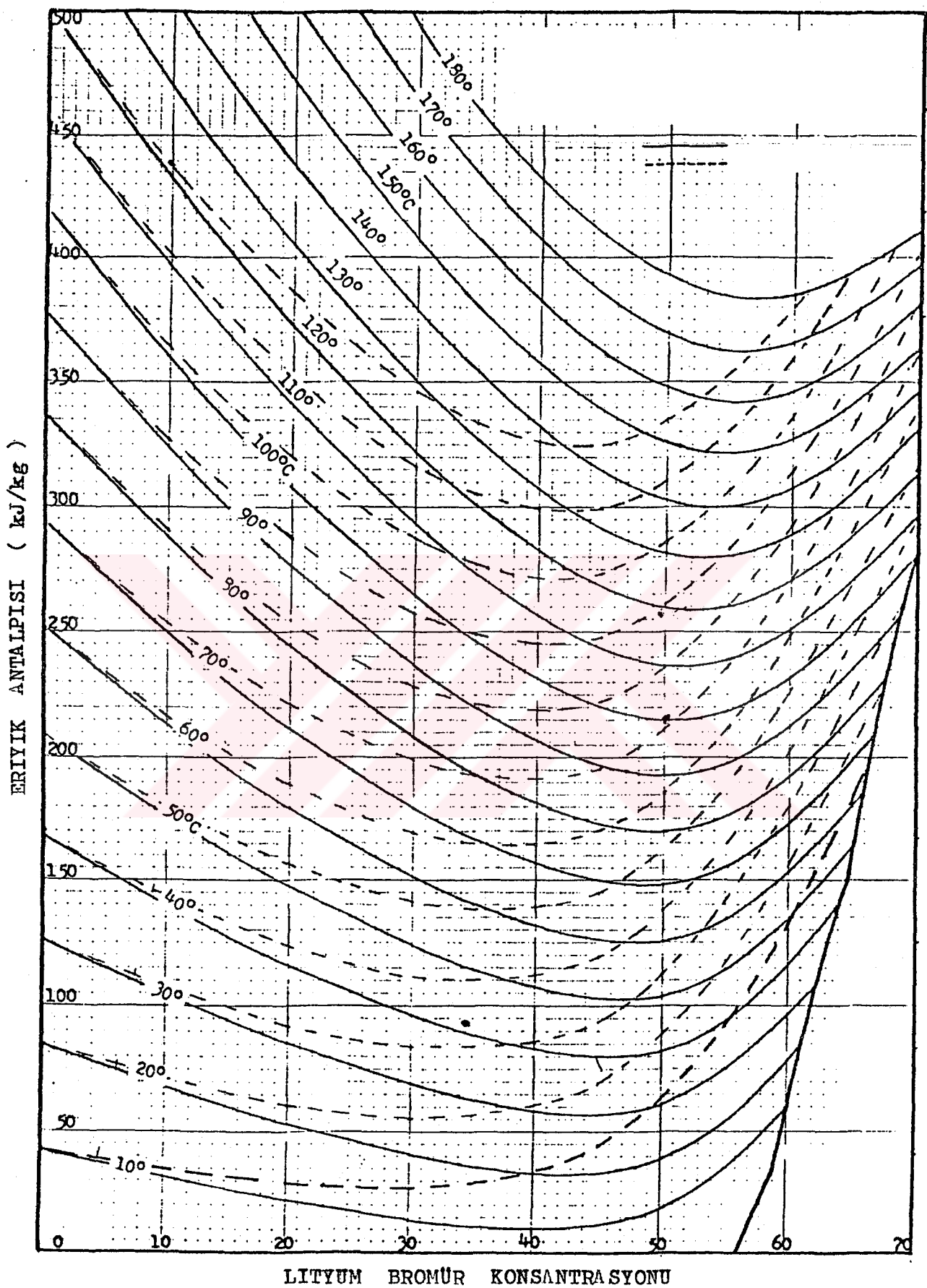
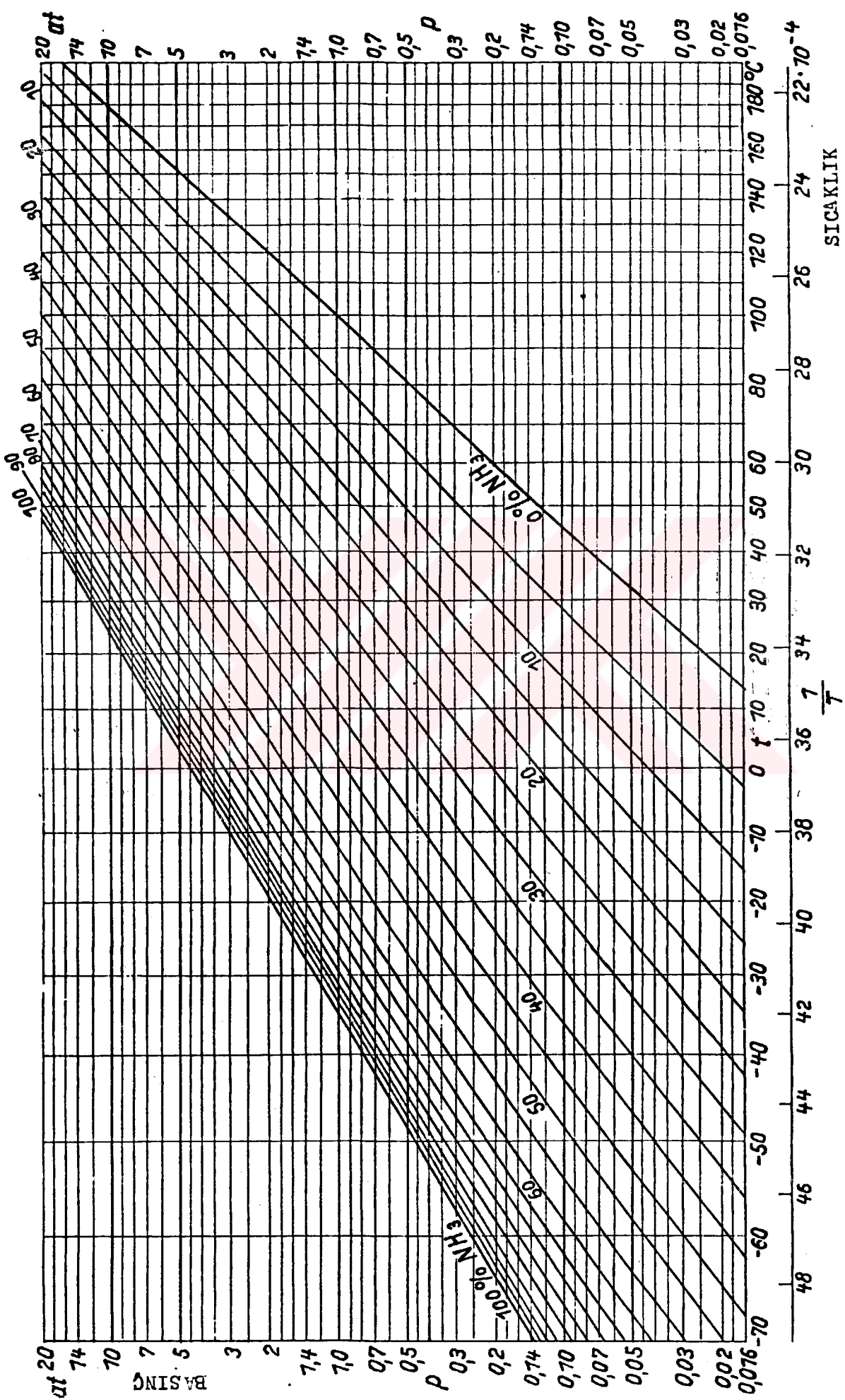


Diagram 1 Litium Bromür-su Eriyili için Basinc-Sicaklik-Konsantrasyon

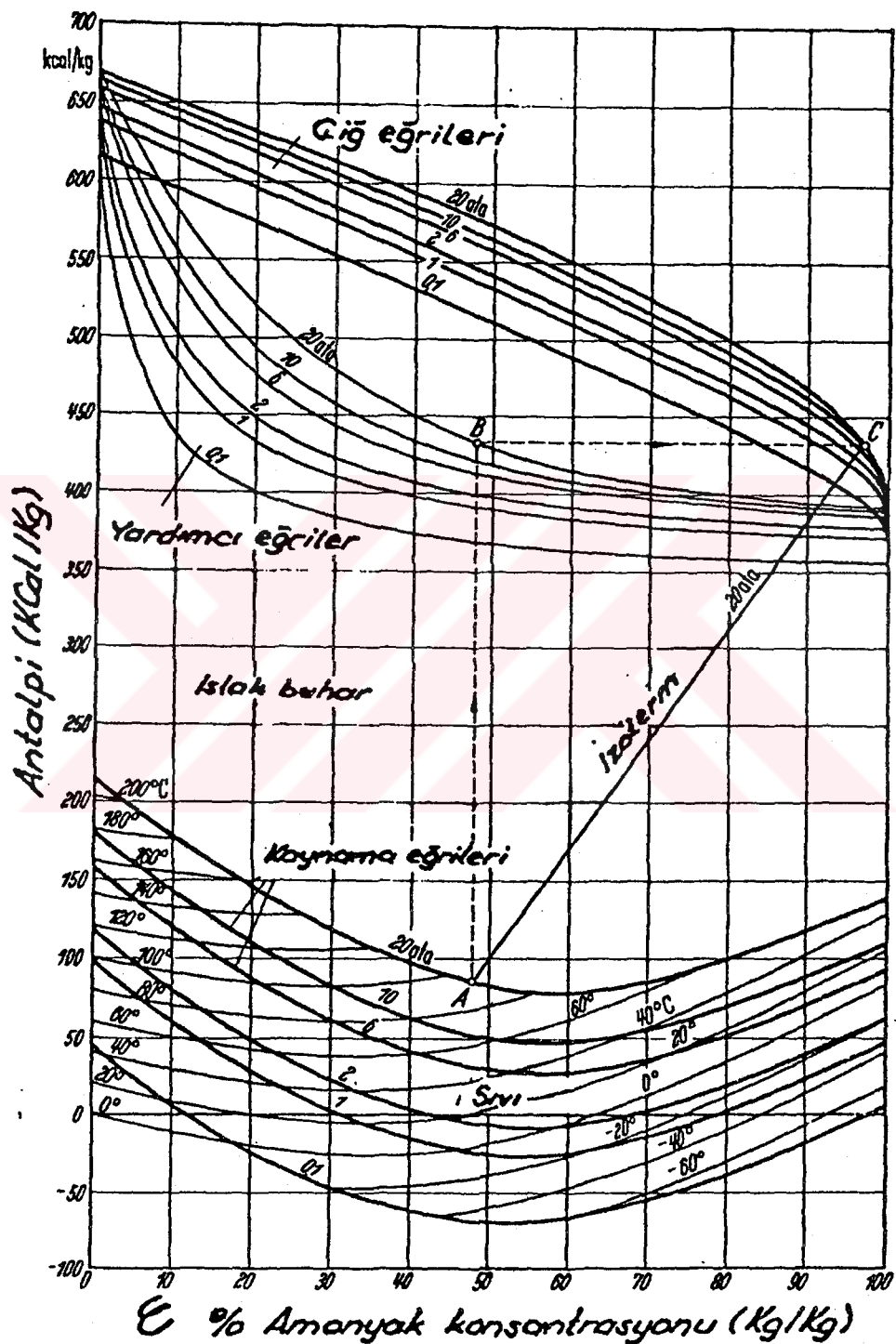
Diagram [29]



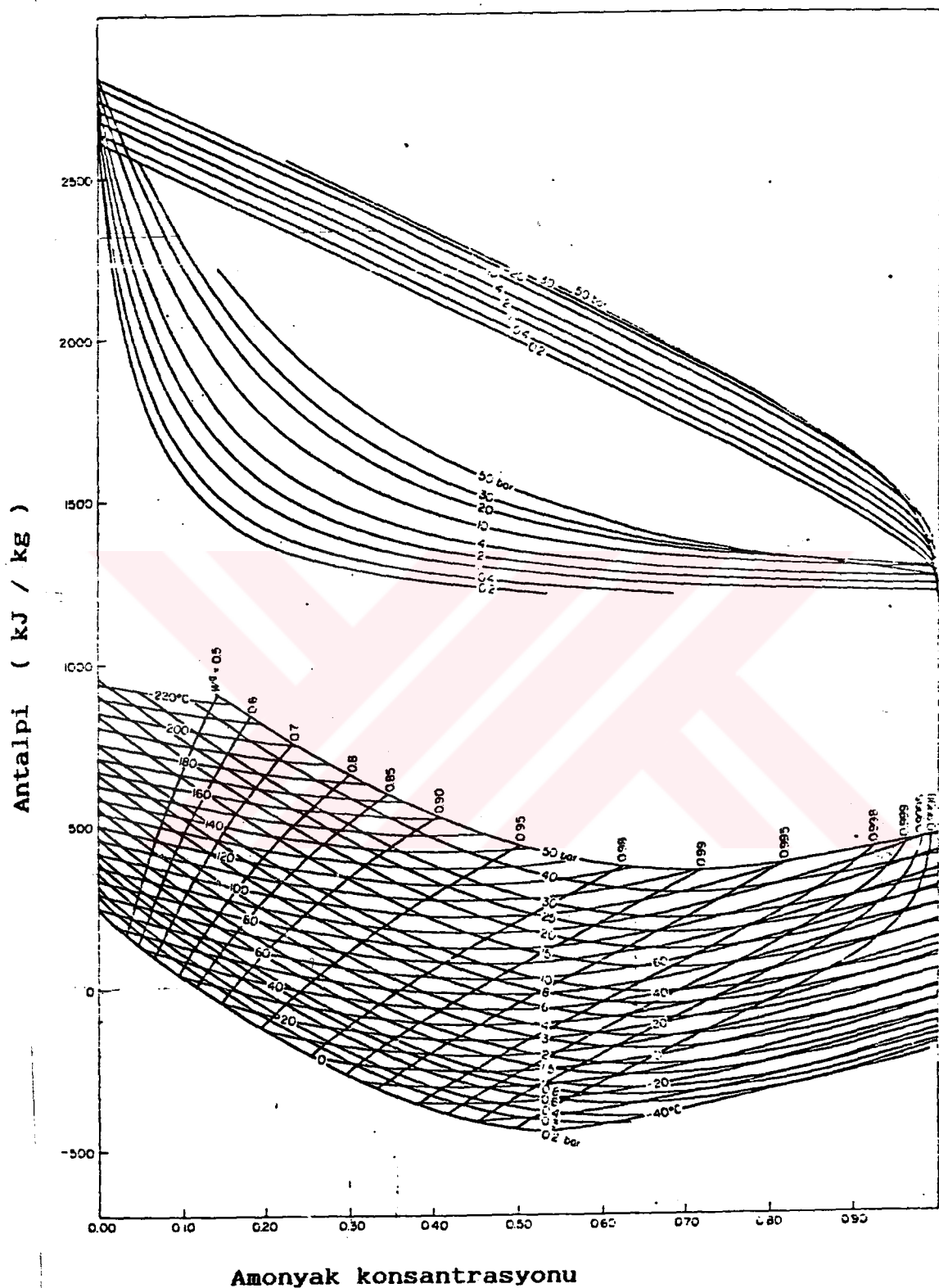
Diyagram 2 Lityum Bromür-su Eriyigi için Antalpi-Konsantrasyon Diyagramı [29].



Diyagram 3 Amonyak-su Eriyigi Icin  $\ln P - \frac{1}{T}$  Diyagramı



Diyagram 4 Amonyak-su Eriyigi için Antalpi-Konsantrasyon  
Diyagramı



Diyagram 5 Amonyak-su Eriyigi için Antalpi-Konsantrasyon

Diyagramı ( SI Biriminde ) [9]

### Ek3 : Bilgisayar Programı

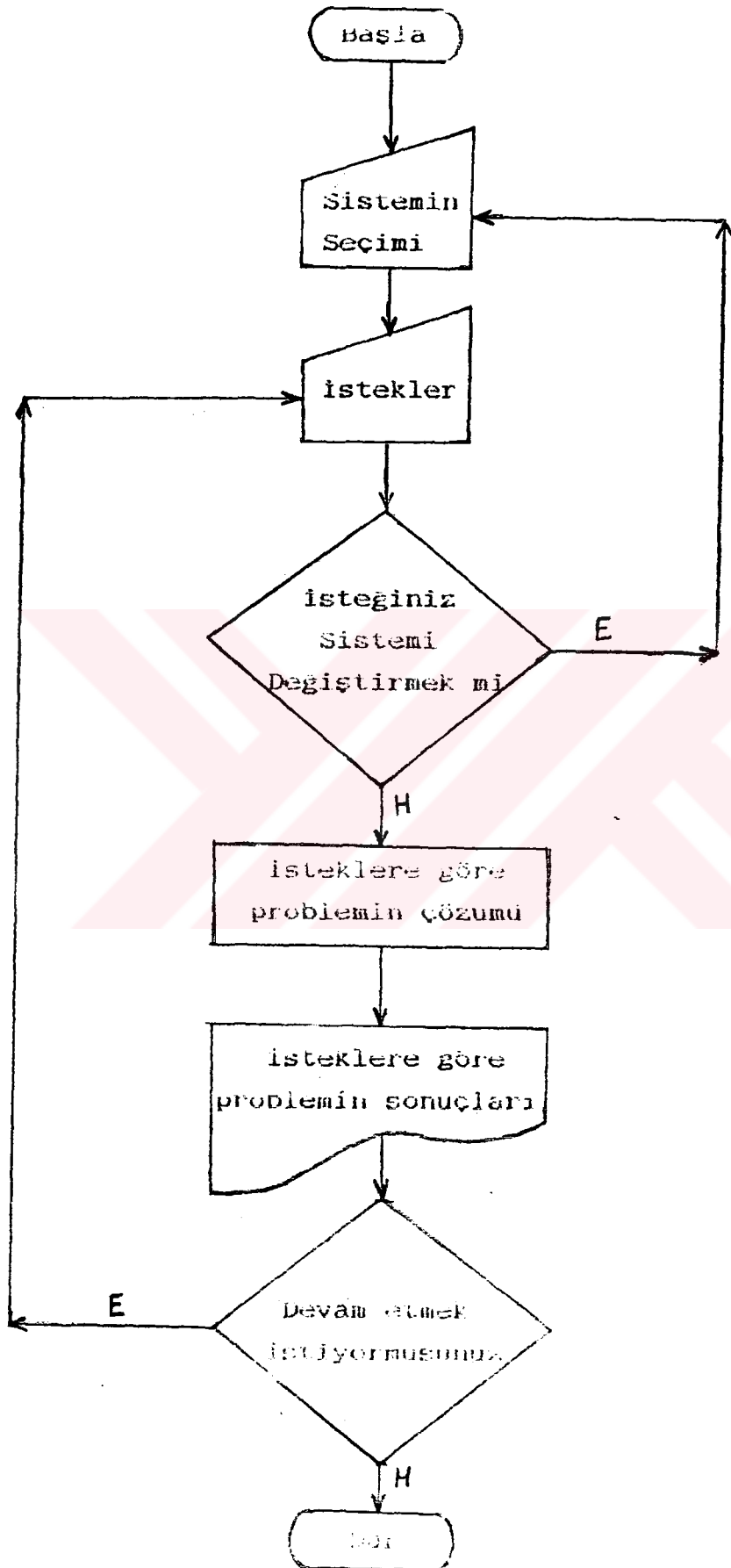
Bu programın yazılıminin temel amacı, absorbsiyonlu soğutma çevriminin bütün noktalarının termodinamik özelliklerini bulmak, zengin ve fakir eriyik konsantrasyonları yardımıyla dolasım oranını bularak, buradan absorbsiyonlu soğutma sisteminin temel elemanlarını boyutlandırmak, soğutma tesir katsayısını hesaplamak ve bulunan değerleri grafik olarak ifade edip, bu iki çiftin birbirlerine göre mukayeselerini yapmaktadır. Bunun için Şekil 1. 1-b' de gösterilen absorbsiyonlu soğutma sistemi göz önüne alınmıştır.

Bu kısımda verilen diyagram yardımıyla uzun ve dikkatli bir çalışma gerektiren çevrim noktalarının termodinamik özelliklerinin bulunması işlemleri, güvenli ve hızlı bir şekilde hesaplanabilmekte ve istediği takdirde hesaplanan bu değerler tablolar halinde alınıp ve sonuçlar grafik halinde görülebilmektedir.

Hem Amonyak-su çifti kullanan absorbsiyonlu soğutma sistemi, hem de Lityum bromür-su çifti kullanan absorbsiyonlu soğutma sistemi için hesaplamalar yapılmış ve elde edilen grafikler Bölüm 5' de sunulmuştur.

Bu bilgisayar programı, program çıktıları ve program çalıştırıldığında ekranda görülen veriler sunulmuştur.

Program, kullanıcının yapacağı işlemleri minumuma indirecek şekilde yapılmıştır. Ekran çıktılarında da görüleceği üzere, kullanıcıya sadece istediği işlemi yaptırmak, istediği grafiği görmek için seçenek tuşlarına basmak kalıyor.



Şekil 12 Bilgisayar Programı Akış Şeması

```

10 KEY OFF
20 SCREEN 0
30 CLS
40 REM *****
50 REM ***** ULUDAG UNIVERSITESI MUEHENDISLIK FAKULTESI *****
60 REM ***** MAKINA MUEHENDISLIGI BOLUMU *****
70 REM ***** YUKSEK Lisans TEZI *****
80 REM ***** BURSA *****
90 REM *****
100 REM *****
110 REM ***** ILHAMİ HORUZ HAZIRAN - 1990 *****
120 REM *****
130 REM *****
140 REM ***** ABSORBSİYONLU SOĞUTMA SİSTEMLERİNDE *****
150 REM ***** AMONYAK-SU ÇİFTİ İLE LİTYUM BROMUR-SU ÇİFTİNİN *****
160 REM ***** KİYASLANMASI *****
170 REM *****
180 REM *****
190 REM *****
200 PRINT *****
210 PRINT *****
220 PRINT ***** ABSORBSİYONLU SOĞUTMA SİSTEMLERİNDE *****
230 PRINT ***** AMONYAK-SU ÇİFTİ İLE LİTYUM BROMUR-SU ÇİFTİNİN *****
240 PRINT ***** KİYASLANMASI *****
250 PRINT *****
260 PRINT *****
270 PRINT *****
280 PRINT "BİRİMLER"
290 PRINT *****
300 PRINT *****
310 PRINT " P : Basinc ( kPa )":PRINT
320 PRINT " T : Sicaklik ( °C )":PRINT
330 PRINT " h : Antalpi ( kj / kg )":PRINT
340 PRINT " X : Konsantrasyon ( % )":PRINT
350 PRINT " Q : Isı Kapasitesi ( kj / kg )":PRINT
360 PRINT:PRINT "DEVAM ETMEK İÇİN SPACE TUŞUNA BASINIZ "
370 B$=INKEY$:IF B$="" THEN 380 ELSE 370
380 CLS
390 PRINT:PRINT:PRINT:PRINT
400 PRINT *****
410 PRINT " LÜTFEN SEÇİMİNİZİ GIRİNİZ "
420 PRINT *****
430 PRINT:PRINT
440 PRINT " 1- SONUCLARI TABLO HALİNDE GORMEK İSTİYORSANIZ ":PRINT
450 PRINT " 2- SONUCLARI GRAFIK HALİNDE GORMEK İSTİYORSANIZ ":PRINT
460 PRINT " 3- SİSTEMİ YENİDEN SECMEK İSTİYORSANIZ ":PRINT
470 PRINT " 4- PROGRAMDAN CIKMAK İSTİYORSANIZ ":PRINT
480 PRINT:PRINT:PRINT " SECİMİNİZ ( 1 , 2 , 3 , 4 ) ..... : "
490 C$=INKEY$:IF C$="" THEN 490
500 IF C$="1" OR C$="2" OR C$="3" OR C$="4" THEN 520
510 CLS:LOCATE 15,10:PRINT "LÜTFEN 1 İLE 4 ARASINDA BIR RAKAM GIRİNİZ! "
:FOR FF=1 TO 12500:NEXT FF:GOTO 380
520 CLS
530 IF C$="1" THEN GOTO 1400
540 IF C$="2" THEN GOTO 570
550 IF C$="3" THEN GOTO 30
560 IF C$="4" THEN GOTO 7900
570 CLS
580 SCREEN 0
590 PRINT *****
600 PRINT " LÜTFEN SEÇİMİNİZİ GIRİNİZ ( 1. SAYFA ) "
610 PRINT *****
620 PRINT " 1- KRİSTALLESME SICAKLIGININ KONSANTRASYONA BAGLI DIYAGRAMI ":PRINT
630 PRINT " 2- SOĞUTMA TESİR KATSAYISININ KAYNATICI SICAKLIGINA BAGLI DIYAGRAMI "
:PRINT
640 PRINT " 3- IDEAL SOĞUTMA TESİR KATSAYISININ KAYNATICI SICAKLIGINA BAGLI
DIYAGRAMI ":PRINT
650 PRINT " 4- SOĞUTMA TESİR KATSAYISININ KONDENSER SICAKLIGINA BAGLI DIYAGRAMI "
:PRINT
660 PRINT " 5- IDEAL SOĞUTMA TESİR KATSAYISININ KONDENSER SICAKLIGINA BAGLI
DIYAGRAMI ":PRINT
670 PRINT " 6- SOĞUTMA TESİR KATSAYISININ BUHARLASTIRICI SICAKLIGINA BAGLI
DIYAGRAMI ":PRINT
680 PRINT " 7- IDEAL SOĞUTMA TESİR KATSAYISININ BUHARLASTIRICI SICAKLIGINA BAGLI
DIYAGRAMI ":PRINT
690 PRINT " 8- PROGRAMDAN CIKIS":PRINT
700 PRINT " 9- İKİNCİ SAYFAYA GECİS":PRINT

```

```

710 PRINT:PRINT" SECIMINIZ ( 1 , 2 , 3 , 4 , 5 , 6 , 7 , 8 , 9 ) ..... : "
720 G$=INKEY$:IF G$="" THEN 720
730 IF G$="1" OR G$="2" OR G$="3" OR G$="4" OR G$="5" OR G$="6" OR G$="7" OR
G$="8" OR G$="9" THEN 750
740 CLS:LOCATE 15,10:PRINT"LUTFEN 1 ILE 9 ARASINDA BIR RAKAM GIRINIZ! "
:FOR FF=1 TO 12500:NEXT :GOTO 570
750 CLS
760 IF G$="1" THEN GOTO 1760
770 IF G$="2" THEN GOTO 1960
780 IF G$="3" THEN GOTO 2180
790 IF G$="4" THEN GOTO 2370
800 IF G$="5" THEN GOTO 2590
810 IF G$="6" THEN GOTO 2780
820 IF G$="7" THEN GOTO 3000
830 IF G$="8" THEN GOTO 7900
840 IF G$="9" THEN GOTO 850
850 CLS
860 PRINT" %%%%%%%%%%%%%% LUFEN SECIMINIZI GIRINIZ ( 2. SAYFA )"
870 PRINT" %%%%%%%%%%%%%%"
880 PRINT" 1- SOGUTMA TESIR KATSAYISININ ESANJOR EIKENLIGINE BAGLI DIYAGRAMI "
:PRINT
900 PRINT" 2- KONDENSER ISIL YUKUNUN KONDENSER SICAKLIGINA BAGLI DIYAGRAMI "
:PRINT
910 PRINT" 3- KONDENSER ISIL YUKUNUN BUHARLASTIRICI SICAKLIGINA BAGLI DIYAGRAMI "
:PRINT
920 PRINT" 4- KONDENSER ISIL YUKUNUN KAYNATICI SICAKLIGINA BAGLI DIYAGRAMI "
:PRINT
930 PRINT" 5- BUHARLASTIRICI ISIL YUKUNUN KONDENSER SICAKLIGINA BAGLI DIYAGRAMI "
:PRINT
940 PRINT" 6- BUHARLASTIRICI ISIL YUKUNUN BUHARLASTIRICI SICAKLIGINA BAGLI
DIYAGRAMI ":PRINT
950 PRINT" 7- BUHARLASTIRICI ISIL YUKUNUN KAYNATICI SICAKLIGINA BAGLI DIYAGRAMI "
:PRINT
960 PRINT" 8- BIRINCI SAYFAYA GERI DONUS ":PRINT
970 PRINT" 9- UCUNCU SAYFAYA GECIS":PRINT
980 PRINT:PRINT" SECIMINIZ ( 1 , 2 , 3 , 4 , 5 , 6 , 7 , 8 , 9 ) ..... : "
990 H$=INKEY$:IF H$="" THEN 990
1000 IF H$="1" OR H$="2" OR H$="3" OR H$="4" OR H$="5" OR H$="6" OR H$="7" OR
H$="8" OR H$="9" THEN 1020
1010 CLS:LOCATE 15,10:PRINT"LUFEN 1 ILE 9 ARASINDA BIR RAKAM GIRINIZ! "
:FOR FF=1 TO 12500:NEXT :GOTO 850
1020 CLS
1030 IF H$="1" THEN GOTO 3190
1040 IF H$="2" THEN GOTO 3410
1050 IF H$="3" THEN GOTO 3630
1060 IF H$="4" THEN GOTO 3850
1070 IF H$="5" THEN GOTO 4070
1080 IF H$="6" THEN GOTO 4290
1090 IF H$="7" THEN GOTO 4510
1100 IF H$="8" THEN GOTO 590
1110 IF H$="9" THEN GOTO 1120
1120 CLS
1130 SCREEN 0
1140 PRINT" %%%%%%%%%%%%%% LUFEN SECIMINIZ ( 3. SAYFA )"
1150 PRINT" %%%%%%%%%%%%%%"
1160 PRINT" 1- KAYNATICI ISIL YUKUNUN KONDENSER SICAKLIGINA BAGLI DIYAGRAMI "
:PRINT
1180 PRINT" 2- KAYNATICI ISIL YUKUNUN BUHARLASTIRICI SICAKLIGINA BAGLI DIYAGRAMI "
:PRINT
1190 PRINT" 3- KAYNATICI ISIL YUKUNUN KAYNATICI SICAKLIGINA BAGLI DIYAGRAMI "
:PRINT
1200 PRINT" 4- ABSORBER ISIL YUKUNUN KONDENSER SICAKLIGINA BAGLI DIYAGRAMI "
:PRINT
1210 PRINT" 5- ABSORBER ISIL YUKUNUN BUHARLASTIRICI SICAKLIGINA BAGLI DIYAGRAMI "
:PRINT
1220 PRINT" 6- ABSORBER ISIL YUKUNUN KAYNATICI SICAKLIGINA BAGLI DIYAGRAMI "
:PRINT
1230 PRINT" 7- DOLASIM ORANININ KONDENSER SICAKLIGINA BAGLI DIYAGRAMI ":PRINT
1240 PRINT" 8- DOLASIM ORANININ BUHARLASTIRICI SICAKLIGINA BAGLI DIYAGRAMI "
:PRINT
1250 PRINT" 9- DOLASIM ORANININ KAYNATICI SICAKLIGINA BAGLI DIYAGRAMI ":PRINT
1260 PRINT:PRINT" SECIMINIZ ( 1 , 2 , 3 , 4 , 5 , 6 , 7 , 8 , 9 ) ..... : "
1270 X$=INKEY$:IF X$="" THEN 1270

```

```

1280 IF X$="1" OR X$="2" OR X$="3" OR X$="4" OR X$="5" OR X$="6" OR X$="7" OR
X$="8" OR X$="9" THEN 1300
1290 CLS:LOCATE 15,10:PRINT"LUIFEN 1 ILE 9 ARASINDA BIR RAKAM GIRINIZ! "
:FOR FF=1 TO 12500:NEXT :GOTO 1120
1300 CLS
1310 IF X$="1" THEN GOTO 5390
1320 IF X$="2" THEN GOTO 5610
1330 IF X$="3" THEN GOTO 5830
1340 IF X$="4" THEN GOTO 4730
1350 IF X$="5" THEN GOTO 4950
1360 IF X$="6" THEN GOTO 5170
1370 IF X$="7" THEN GOTO 6050
1380 IF X$="8" THEN GOTO 6270
1390 IF X$="9" THEN GOTO 6490
1400 REM ##########
1410 REM ##### SONUCLARIN YAZDIRILMASI #####
1420 REM ##########
1430 EK=.6
1440 GOSUB 6790
1450 PRINI"TY= ",TY"C TB= ",TB"C TK= ",TK"C TA= ",TA"C "
1455 PRINT"LİTYUM BROMÜR-SU ERIYİĞİ KULLANAN ABSORBSİYONLU SÖĞUTMA SİSTEMİ
İÇİN"
1460 X=XL(5)
1470 GOSUB 8540
1480 PRINT"tcrl(5)= ",TCRL
1490 IF TL(5)<=TCRL THEN PRINT"ABSORBER CIKISINDA KRISTALİZASYON TEHLİKESİ VAR !
"
1500 X=XL(9)
1510 GOSUB 8540
1520 PRINI"tcrl(9)= ",TCRL
1530 IF TL(9)<=TCRL THEN PRINT"ESANJOR CIKISINDA KRISTALİZASYON TEHLİKESİ VAR !"
1540 FOR I=1 TO 10
1550 II=I+5
1560 LOCATE II,1:PRINT I:LOCATE II,6:PRINT"TL("I")=";TL(I):LOCATE II,22
:PRINT"PL("I")=";PL(I):LOCATE II,45:PRINT"HL("I")=";HL(I):LOCATE II,67
:PRINT"XL("I")=";XL(I)
1570 NEXT I
1580 PRINT:PRINT:PRINT"QYOGL=";QYOGL" QBUHL=";QBUHL" QABSL=";QABSL" QKAYL
=";QKAYL
1590 PRINT:PRINT:PRINT"STKL=";STKL" ITKL=";ITKL
1600 PRINT:PRINT "DEVAM ETMEK İÇİN SPACE TUSUNA BASINIZ"
1610 T$=INKEY$:IF T$=" " THEN 1620 ELSE 1610
1620 CLS
1630 PRINT"TY= ",TY"C TB= ",TB"C TK= ",TK"C TA= ",TA"C "
1635 PRINT"AMONYAK-SU ERIYİĞİ KULLANAN ABSORBSİYONLU SÖĞUTMA SİSTEMİ İÇİN"
1640 FOR I=1 TO 10
1650 II=I+4
1660 LOCATE II,1:PRINT I:LOCATE II,6:PRINT"TA("I")=";TA(I):LOCATE II,22
:PRINT"PA("I")=";PA(I):LOCATE II,45:PRINT"HA("I")=";HA(I):LOCATE II,67
:PRINT"XA("I")=";XA(I)
1670 NEXT I
1680 PRINT:PRINT
1690 PRINI"QYOGA=";QYOGA" QBUHA=";QBUHA" QABSA=";QABSA" QKAYA=";QKAYA
1700 PRINT:PRINT:PRINT"SIKA=";SIKA" ITKA=";ITKA
1710 PRINT:PRINT" DEVAM ETMEK İSTİYORMUSUNUZ ( E / H )"
1720 W$=INKEY$:IF W$="" THEN 1720
1730 IF W$="E" OR W$="e" OR W$="H" OR W$="h" THEN 1740
1740 IF W$="E" OR W$="e" THEN 380
1750 STOP:END
1760 REM ##########
1770 REM ##### KRİSTALLESME - KONSANTRASYON DIYAGRAMI #####
1780 REM ##########
1790 CLS
1800 SCREEN 2:WINDOW (0,150)-(90,0)
1810 LINE (40,0)-(40,150):LINE (35,10)-(90,10)
1820 FOR R=45 TO 85 STEP 5
1830 LINE (R,9)-(R,11)
1840 NEXT R
1850 FOR F=20 TO 140 STEP 10
1860 LINE (39.5,F)-(40.5,F)
1870 NEXT F
1880 FOR X=55 TO 70 STEP .05
1890 A0=-24482.82511:A1=119660.0351:A2=-193206.971:A3=104338.2631
1900 XX=X/100
1910 TCR=A0+A1*XX+A2*XX^2+A3*XX^3
1920 TCRL=TCR-273.15
1930 PSET ((X),TCRL)
1940 NEXT X

```

```

1950 GOTO 6710
1960 REM ##### STK - KAYNATICI SICAKLIGI DIYAGRAMI #####
1970 REM ##### ( TB = SABIT TA = SABIT ) #####
1980 REM #####
1990 REM #####
2000 CLS
2010 SCREEN 2:WINDOW (0,1)-(150,0)
2020 LINE (60,.05)-(60,1):LINE (55,.1)-(150,.1)
2030 FOR R=70 TO 140 STEP 10
2040 LINE (R,9.000001E-02)-(R,.11)
2050 NEXT R
2060 FOR F=.2 TO 1 STEP .1
2070 LINE (59.5,F)-(60.5,F)
2080 NEXT F
2090 FOR TK=70 TO 130 STEP 10
2100 TB=10:TY=40:TA=TY
2110 GOSUB 6800
2120 GOSUB 9790
2130 IF TL(9)<=TCRL OR TL(5)<=TCRL THEN 2150
2140 PSET (TK,STKL)
2150 PSET (TK,STKA)
2160 NEXT TK
2170 GOTO 6710
2180 REM #####
2190 REM ##### ISTK - KAYNATICI SICAKLIGI DIYAGRAMI #####
2200 REM ##### ( TB = SABIT TA = SABIT ) #####
2210 REM #####
2220 CLS
2230 SCREEN 2:WINDOW (0,2.6)-(150,0)
2240 LINE (50,.2)-(50,2.6):LINE (45..4)-(150,.4)
2250 FOR R=60 TO 140 STEP 10
2260 LINE (R,.38)-(R,.43)
2270 NEXT R
2280 FOR F=.6 TO 2.6 STEP .2
2290 LINE (49,F)-(51,F)
2300 NEXT F
2310 FOR TK=70 TO 130 STEP 1
2320 TB=10:TY=40:TA=TY
2330 ISTKL=((TB+273.15)*(TK-TA))/((TK+273.15)*(TY-TB)))
2340 FSET (TK,ISTKL)
2350 NEXT TK
2360 GOTO 6710
2370 REM #####
2380 REM ##### STK - YOGUSTURUCU SICAKLIGI DIYAGRAMI #####
2390 REM ##### ( TB = SABIT TK = SABIT ) #####
2400 REM #####
2410 CLS
2420 SCREEN 2:WINDOW (0,1)-(50,0)
2430 LINE (15,.25)-(15,1):LINE (14..3)-(50,.3)
2440 FOR R=20 TO 45 STEP 5
2450 LINE (R,.29)-(R,.31)
2460 NEXT R
2470 FOR F=.4 TO 1 STEP .1
2480 LINE (14.9,F)-(15.1,F)
2490 NEXT F
2500 FOR TY=20 TO 40 STEP 5
2510 TB=10:TK=70:TA=TY
2520 GOSUB 6800
2530 GOSUB 9790
2540 IF TL(9)<=TCRL OR TL(5)<=TCRL THEN 2560
2550 PSET (TY,STKL)
2560 PSET (TY,STKA)
2570 NEXT TY
2580 GOTO 6710
2590 REM #####
2600 REM ##### ISTK - YOGUSTURUCU SICAKLIGI DIYAGRAMI #####
2610 REM ##### ( TB = SABIT TK = SABIT ) #####
2620 REM #####
2630 CLS
2640 SCREEN 2:WINDOW (0,7)-(50,0)
2650 LINE (10,0)-(10,7):LINE (7,.5)-(50,.5)
2660 FOR R=15 TO 45 STEP 5
2670 LINE (R,.45)-(R,.55)
2680 NEXT R
2690 FOR F=1 TO 6.5 STEP .5

```

```

2700 LINE (9.7,F)-(10.3,F)
2710 NEXT F
2720 FOR TY=20 TO 40 STEP 1
2730 TB=10:TK=100:TA=TY
2740 ISTKL=(((TB+273.15)*(TK-TA))/((TK+273.15)*(TY-TB)))
2750 PSET (TY,ISTKL)
2760 NEXT TY
2770 GOTO 6710
2780 REM ##### STK - BUHARLASTIRICI SICAKLIGI DIYAGRAMI #####
2790 REM ##### ( TY = SABIT , TK = SABIT ) #####
2800 REM ##### ( TB = SABIT , TK = SABIT ) #####
2810 REM ##### ( TB = SABIT , TK = SABIT ) #####
2820 CLS
2830 SCREEN 2:WINDOW (0,1)-(15,0)
2840 LINE (4,.25)-(4,1):LINE (3.5,.3)-(14,.3)
2850 FOR R=5 TO 13 STEP 1
2860 LINE (R,.29)-(R,.31)
2870 NEXT R
2880 FOR F=.4 TO 1 STEP .1
2890 LINE (3.95,F)-(4.05,F)
2900 NEXT F
2910 FOR TB=5 TO 10 STEP 1
2920 TK=70:TY=30:TA=TY
2930 GOSUB 6800
2940 GOSUB 9790
2950 IF TL(9)<=TCRL OR TL(5)<=TCRL THEN 2970
2960 PSET (TB,STKL)
2970 PSET (TB,STKA)
2980 NEXT TB
2990 GOTO 6710
3000 REM ##### STK - BUHARLASTIRICI SICAKLIGI DIYAGRAMI #####
3010 REM ##### ( TY = SABIT , TK = SABIT ) #####
3020 REM ##### ( TB = SABIT , TK = SABIT ) #####
3030 REM ##### ( TB = SABIT , TK = SABIT ) #####
3040 CLS
3050 SCREEN 2:WINDOW (0,2.5)-(14,0)
3060 LINE (4,.6)-(4,7):LINE (3,.8)-(13,.8)
3070 FOR R=5 TO 12 STEP 1
3080 LINE (R,.785)-(R,.82)
3090 NEXT R
3100 FOR F=1 TO 2.5 STEP .2
3110 LINE (3.95,F)-(4.05,F)
3120 NEXT F
3130 FOR TB=5 TO 10 STEP .1
3140 TY=40:TK=100:TA=TY
3150 ISTKL=(((TB+273.15)*(TK-TA))/((TK+273.15)*(TY-TB)))
3160 PSET (TB,ISTKL)
3170 NEXT TB
3180 GOTO 6710
3190 REM ##### STK - ESANJOR ETKENLIGI DIYAGRAMI #####
3200 REM ##### ( TY = SABIT , TK = SABIT , TB=SABIT ) #####
3210 REM ##### ( TY = SABIT , TK = SABIT , TB=SABIT ) #####
3220 REM ##### ( TY = SABIT , TK = SABIT , TB=SABIT ) #####
3230 CLS
3240 SCREEN 2:WINDOW (0,1)-(9,0)
3250 LINE (.2,.25)-(.2,1):LINE (.15,.3)-(87,.3)
3260 FOR R=.25 TO .85 STEP .05
3270 LINE (R,.295)-(R,.305)
3280 NEXT R
3290 FOR F=.35 TO 1 STEP .05
3300 LINE (.198,F)-(202,F)
3310 NEXT F
3320 FOR EK=.3 TO .8 STEP .05
3330 TB=10:TK=70:TY=30:TA=TY
3340 GOSUB 6800
3350 GOSUB 9790
3360 IF TL(9)<=TCRL OR TL(5)<=TCRL THEN 3380
3370 PSET (EK,STKL)
3380 PSET (EK,STKA)
3390 NEXT EK
3400 GOTO 6710
3410 REM ##### KONDENSER ISIL YUKU - KONDENSER SICAKLIGI DIYAGRAMI #####
3420 REM ##### ( TB = SABIT , TK = SABIT ) #####
3430 REM ##### ( TB = SABIT , TK = SABIT ) #####
3440 REM ##### ( TB = SABIT , TK = SABIT ) #####
3450 CLS

```

```

3460 SCREEN 2:WINDOW (0,3000)-(50,0)
3470 LINE (10,900)-(10,3000):LINE (8,1000)-(50,1000)
3480 FOR R=15 TO 45 STEP 5
3490 LINE (R,980)-(R,1025)
3500 NEXT R
3510 FOR F=1100 TO 2900 STEP 200
3520 LINE (9.8,F)-(10.2,F)
3530 NEXT F
3540 FOR TY=20 TO 40 STEP 5
3550 TB=10:TK=70:TA=TY
3560 GOSUB 6800
3570 GOSUB 9790
3580 IF TL(9)<=TCRL OR TL(5)<=TCRL THEN 3600
3590 PSET (TY,QYGL)
3600 PSET (TY,QYOGA)
3610 NEXT TY
3620 GOTO 6710
3630 REM #####KONDENSER ISIL YUKU - BUHARLASTIRICI SICAKLIGI DIYAGRAMI#####
3640 REM iii KONDENSER ISIL YUKU - BUHARLASTIRICI SICAKLIGI DIYAGRAMI iii
3650 REM iii ( TB = SABIT TK = SABIT )
3660 REM #####
3670 CLS
3680 SCREEN 2:WINDOW (0,3000)-(15,0)
3690 LINE (4,900)-(4,3000):LINE (3.5,1000)-(15,1000)
3700 FOR R=5 TO 14 STEP 1
3710 LINE (R,980)-(R,1025)
3720 NEXT R
3730 FOR F=1100 TO 2900 STEP 200
3740 LINE (3.95,F)-(4.05,F)
3750 NEXT F
3760 FOR IB=5 TO 10 STEP 1
3770 TY=40:TK=70:TA=TY
3780 GOSUB 6800
3790 GOSUB 9790
3800 IF TL(9)<=TCRL OR TL(5)<=TCRL THEN 3820
3810 PSET (TB,QYGL)
3820 PSET (TB,QYOGA)
3830 NEXT TB
3840 GOTO 6710
3850 REM #####KONDENSER ISIL YUKU - KAYNATICI SICAKLIGI DIYAGRAMI#####
3860 REM iii KONDENSER ISIL YUKU - KAYNATICI SICAKLIGI DIYAGRAMI iii
3870 REM iii ( TB = SABIT TY = SABIT )
3880 REM #####
3890 CLS
3900 SCREEN 2:WINDOW (0,3000)-(150,0)
3910 LINE (60,900)-(60,3000):LINE (50,1000)-(150,1000)
3920 FOR R=70 TO 140 STEP 10
3930 LINE (R,980)-(R,1025)
3940 NEXT R
3950 FOR F=1200 TO 2900 STEP 200
3960 LINE (59,F)-(61,F)
3970 NEXT F
3980 FOR TK=70 TO 130 STEP 10
3990 TB=10:TY=40:TA=TY
4000 GOSUB 6800
4010 GOSUB 9790
4020 IF TL(9)<=TCRL OR TL(5)<=TCRL THEN 4040
4030 PSET (TK,QYGL)
4040 PSET (TK,QYOGA)
4050 NEXT TK
4060 GOTO 6710
4070 REM #####
4080 REM iii BUHARLASTIRICI ISIL YUKU - KONDENSER SICAKLIGI DIYAGRAMI iii
4090 REM iii ( TB = SABIT TK = SABIT )
4100 REM #####
4110 CLS
4120 SCREEN 2:WINDOW (0,3000)-(50,0)
4130 LINE (10,700)-(10,3000):LINE (8,800)-(50,800)
4140 FOR R=15 TO 45 STEP 5
4150 LINE (R,780)-(R,825)
4160 NEXT R
4170 FOR F=1000 TO 2800 STEP 200
4180 LINE (9.8,F)-(10.2,F)
4190 NEXT F
4200 FOR TY=20 TO 40 STEP 5
4210 TB=10:TK=70:TA=TY

```



```

4950 REM #####  

4960 REM iii ABSORBER ISIL YUKU - BUHARLASTIRICI SICAKLIGI DIYAGRAMI iii  

4970 REM iii ( TB = SABIT TK = SABIT ) iii  

4980 REM #####  

4990 CLS  

5000 SCREEN 2:WINDOW (0,3200)-(14,0)  

5010 LINE (4,900)-(4,3200):LINE (3.5,1000)-(13,1000)  

5020 FOR R=5 TO 12 STEP 1  

5030 LINE (R,980)-(R,1025)  

5040 NEXT R  

5050 FOR F=1200 TO 3000 STEP 200  

5060 LINE (3.95,F)-(4.05,F)  

5070 NEXT F  

5080 FOR TB=5 TO 10 STEP 1  

5090 TY=40:TK=90:TA=TY  

5100 GOSUB 6800  

5110 GOSUB 9790  

5120 IF TL(9)<=TCRL OR TL(5)<=TCRL THEN 5140  

5130 PSET (IB,QABSL)  

5140 PSET (IB,QABSA)  

5150 NEXT TB  

5160 GOTO 6710  

5170 REM #####  

5180 REM iii ABSORBER ISIL YUKU - KAYNATICI SICAKLIGI DIYAGRAMI iii  

5190 REM iii ( TB = SABIT TK = SABIT ) iii  

5200 REM #####  

5210 CLS  

5220 SCREEN 2:WINDOW (0,3200)-(150,0)  

5230 LINE (60,900)-(60,3200):LINE (55,1000)-(150,1000)  

5240 FOR R=70 TO 140 STEP 10  

5250 LINE (R,980)-(R,1025)  

5260 NEXT R  

5270 FOR F=1200 TO 3000 STEP 200  

5280 LINE (59.5,F)-(60.5,F)  

5290 NEXT F  

5300 FOR TK=80 TO 130 STEP 10  

5310 TB=10:TY=40:TA=TY  

5320 GOSUB 6800  

5330 GOSUB 9790  

5340 IF TL(9)<=TCRL OR TL(5)<=TCRL THEN 5360  

5350 PSET (TK,QABSL)  

5360 FSET (TK,QABSA)  

5370 NEXT TK  

5380 GOTO 6710  

5390 REM #####  

5400 REM iii KAYNATICI ISIL YUKU - KONDENSER SICAKLIGI DIYAGRAMI iii  

5410 REM iii ( TB = SABIT TK = SABIT ) iii  

5420 REM #####  

5430 CLS  

5440 SCREEN 2:WINDOW (0,4000)-(50,0)  

5450 LINE (10,650)-(10,4000):LINE (8,800)-(50,800)  

5460 FOR R=15 TO 45 STEP 5  

5470 LINE (R,790)-(R,815)  

5480 NEXT R  

5490 FOR F=1000 TO 3800 STEP 200  

5500 LINE (9.92,F)-(10.08,F)  

5510 NEXT F  

5520 FOR TY=20 TO 40 STEP 5  

5530 TB=10:TK=70:TA=TY  

5540 GOSUB 6800  

5550 GOSUB 9790  

5560 IF TL(9)<=TCRL OR TL(5)<=TCRL THEN 5580  

5570 PSET (TY,QRAYL)  

5580 PSET (TY,QKAYA)  

5590 NEXT TY  

5600 GOTO 6710  

5610 REM #####  

5620 REM iii KAYNATICI ISIL YUKU - BUHARLASTIRICI SICAKLIGI DIYAGRAMI iii  

5630 REM iii ( TB = SABIT TK = SABIT ) iii  

5640 REM #####  

5650 CLS  

5660 SCREEN 2:WINDOW (0,4000)-(14,0)  

5670 LINE (4,900)-(4,4000):LINE (3.5,1000)-(13,1000)  

5680 FOR R=5 TO 12 STEP 1  

5690 LINE (R,980)-(R,1025)  

5700 NEXT R

```

```

5710 FOR F=1200 TO 3800 STEP 200
5720 LINE (3.95,F)-(4.05,F)
5730 NEXT F
5740 FOR TB=5 TO 10 STEP 1
5750 TY=40:TK=90:TA=TY
5760 GOSUB 6800
5770 GOSUB 9790
5780 IF TL(9)<=TCRL OR TL(5)<=TCRL THEN 5800
5790 PSET (TB,QKAYL)
5800 PSET (TB,QKAYA)
5810 NEXT TB
5820 GOTO 6710
5830 REM ##### KAYNATICI ISIL YUKU - KAYNATICI SICAKLIGI DIYAGRAMI #####
5840 REM iii ( TB = SABIT , TK = SABIT )
5850 REM ##### ( TB = SABIT , TK = SABIT )
5860 REM #####
5870 CLS
5880 SCREEN 2:WINDOW (0,4000)-(150,0)
5890 LINE (60,900)-(60,4000):LINE (55,1000)-(150,1000)
5900 FOR R=70 TO 140 STEP 10
5910 LINE (R,980)-(R,1025)
5920 NEXT R
5930 FOR F=1200 TO 3800 STEP 200
5940 LINE (59.7,F)-(60.3,F)
5950 NEXT F
5960 FOR TK=70 TO 120 STEP 10
5970 IB=10:TY=35:TA=TY
5980 GOSUB 6800
5990 GOSUB 9790
6000 IF TL(9)<=TCRL OR TL(5)<=TCRL THEN 6020
6010 PSET (TK,QKAYL)
6020 PSET (TK,QKAYA)
6030 NEXT TK
6040 GOTO 6710
6050 REM ##### DOLASIM ORANI - KONDENSER SICAKLIGI DIYAGRAMI #####
6060 REM iii ( TB = SABIT , TK = SABIT )
6070 REM ##### ( TB = SABIT , TK = SABIT )
6080 REM #####
6090 CLS
6100 SCREEN 2:WINDOW (0,15)-(50,0)
6110 LINE (10,0)-(10,15):LINE (8,.5)-(50,.5)
6120 FOR R=15 TO 45 STEP 5
6130 LINE (R,.45)-(R,.55)
6140 NEXT R
6150 FOR F=1 TO 15 STEP 1
6160 LINE (9.850001,F)-(10.15,F)
6170 NEXT F
6180 FOR TY=20 TO 40 STEP 5
6190 IB=10:TK=70:TA=TY
6200 GOSUB 6800
6210 GOSUB 9790
6220 IF TL(9)<=TCRL OR TL(5)<=TCRL THEN 6240
6230 PSET (TY,WFL)
6240 PSET (TY,WZA)
6250 NEXT TY
6260 GOTO 6710
6270 REM ##### DOLASIM ORANI - BUHARLASTIRICI SICAKLIGI DIYAGRAMI #####
6280 REM iii ( TB = SABIT , TK = SABIT )
6290 REM ##### ( TB = SABIT , TK = SABIT )
6300 REM #####
6310 CLS
6320 SCREEN 2:WINDOW (0,15)-(17,0)
6330 LINE (4,.5)-(4,17):LINE (3.5,1)-(13,1)
6340 FOR R=5 TO 12 STEP 1
6350 LINE (R,.9000001)-(R,1.1)
6360 NEXT R
6370 FOR F=2 TO 17 STEP 1
6380 LINE (3.95,F)-(4.05,F)
6390 NEXT F
6400 FOR TB=5 TO 10 STEP 1
6410 TY=40:TK=90:TA=TY
6420 GOSUB 6800
6430 GOSUB 9790
6440 IF TL(9)<=TCRL OR TL(5)<=TCRL THEN 6460
6450 PSET (TB,WFL)
6460 PSET (TB,WZA)

```







```

8650 REM #####iiiiiiiiiiiiiiiiiiiiiiii
8660 REM iii COZELTI SICAKLIGI iii
8670 REM #####iiiiiiiiiiiiiiiiiiiiiiii#####
8680 REM ***** LITYUM BROMUR-SU CIFTI ICIN *****
8690 REM ***** LITYUM BROMUR-SU CIFTI ICIN *****
8700 REM ***** LITYUM BROMUR-SU CIFTI ICIN *****
8710 A=-1015.07+79.5387*X-2.358016*X^2+3.031583E-02*X^3-(1.400261E-04)*X^4
8720 B=4.68108-(.3037766)*X+(8.44845E-03)*X^2-(1.047721E-04)*X^3
+(4.80097E-07)*X^4
8730 C=-.0049107+(3.83184E-04)*X-(1.078963E-05)*X^2+(1.3152E-07)*X^3
-(5.897E-10)*X^4
8740 BB=B/C
8750 CC=(A/C-(H/(C*2.326)))
8760 DEL1=BB^2-4*CC
8770 DEL=SQR(DEL1)
8780 TC1=(-BB+DEL)/2
8790 TCL=(TC1-32)/1.8
8800 TCL=CINT(TCL)
8810 REM ######iii#####iii#####iii#####
8820 REM *** AMONYAK-SU CIFTI ICIN *****
8830 REM ######iii#####iii#####iii#####
8840 PAC1=PAC1*1000
8850 XAC=XAC1/100
8860 P1=(LOG(PAC1))/2.302585091
8870 M=10.44-1.767*XAC+.9823*XAC^2+.3627*XAC^3
8880 N=2013.8-2155*XAC+1540.9*XAC^2-194.7*XAC^3
8890 TCA1=N/(M-P1)
8900 TCA=TCA1-273.15
8910 TCA=CINT(TCA)
8920 RETURN
8930 REM #####iiiiiiiiiiiiiiii
8940 REM iii DOYMA BASINCI iii
8950 REM #####iiiiiiiiiiiiiiii
8960 REM ***** LITYUM BOMUR-SU CIFTI ICIN *****
8970 REM *** SU BUHARININ DOYMA BASINCI *****
8980 REM ***** LITYUM BOMUR-SU CIFTI ICIN *****
8990 K0=6.21147:K1=-2886.373:K2=-337269.461
9000 TP1=(T*1.8)+32
9010 TP=TP1+459.7
9020 PLOG=K0+K1/TP+K2/TP^2
9030 P=10^(PLOG)
9040 PS=P*6.89643
9050 REM ***** LITYUM BOMUR-SU CIFTI ICIN *****
9060 REM *** AMONYAK BUHARININ DOYMA BASINCI *****
9070 REM ***** LITYUM BOMUR-SU CIFTI ICIN *****
9080 TPA=(T*1.8)+32
9090 TPA=TPA+459.7
9100 A=6.59924:B=-1721.248821:C=-112599.55981
9110 PLOG=A+(B/TPA)+(C/(TPA^2))
9120 PA1=10^(PLOG)
9130 PA=PA1
9140 RETURN
9150 REM #####iiiiiiiiiiiiiiiiiiiiiiiiiiiiiiii
9160 REM iii ASIRI DOYMUS AKISKANIN ANTALFISI iii
9170 REM #####iiiiiiiiiiiiiiiiiiiiiiiiiiiiiiii
9180 REM ***** ASIRI DOYMUS SU BUHARININ ANTALFISI *****
9190 REM ***** ASIRI DOYMUS SU BUHARININ ANTALFISI *****
9200 REM ***** ASIRI DOYMUS SU BUHARININ ANTALFISI *****
9210 THS=(T*1.8)+32
9220 HSL=2.326*(1.001*IHS-32.05)
9230 REM ***** ASIRI DOYMUS SU BUHARININ ANTALFISI *****
9240 REM *** ASIRI DOYMUS AMONYAK BUHARININ ANTALFISI *****
9250 REM ***** ASIRI DOYMUS AMONYAK BUHARININ ANTALFISI *****
9260 THA=(T*1.8)+32
9270 A=1.1106334191:B=42.318715981
9280 HSA=2.326*(A*THA+B)
9290 RETURN
9300 REM #####iiiiiiiiiiiiiiiiiiiiiiiiiiiiiiii
9310 REM iii COZELTI ANTALFISI iii
9320 REM #####iiiiiiiiiiiiiiiiiiiiiiiiiiiiiiii
9330 REM ***** LITYUM BROMUR-SU CIFTI ICIN *****
9340 REM *** LITYUM BROMUR-SU CIFTI ICIN *****
9350 REM ***** LITYUM BROMUR-SU CIFTI ICIN *****
9360 TH=(T*1.8)+32
9370 A=-1015.07+79.5387*X-2.358016*X^2+3.031583E-02*X^3-(1.400261E-04)*X^4
9380 B=4.68108-(.3037766)*X+(8.44845E-03)*X^2-(1.047721E-04)*X^3
+(4.80097E-07)*X^4

```

```

9390 C=-.0049107+(3.83184E-04)*X-(1.078963E-05)*X^2+(1.3152E-07)*X^3
    -(5.897E-10)*X^4
9400 HL=2.326*(A+B*TH+C*TH^2)
9410 REM *****
9420 REM **** AMONYAK-SU CIFTI ICIN ****
9430 REM ****
9440 X=XHA/100
9450 THA=(THA*1.8)+32
9460 A0=-32:A1=85.6883891:A2=-1603.754211:A3=3414.4037761:A4=-1785.6615011
9470 B0=1:B1=-.973705:B2=-5.421558:B3=19.9686951:B4=-14.0568891
9480 C0=0:C1=.002728:C2=.023816:C3=-.051368:C4=.024565
9490 A=A0+A1*X+A2*(X^2)+A3*(X^3)+A4*(X^4)
9500 B=B0+B1*X+B2*(X^2)+B3*(X^3)+B4*(X^4)
9510 C=C0+C1*X+C2*(X^2)+C3*(X^3)+C4*(X^4)
9520 HA=2.326*(A+B*THA+C*(THA^2))
9530 HA=CINT(HA)
9540 RETURN
9550 REM ****
9560 REM iii KURU DOYMUS AKISKAN BUHARININ ANTALPISI iii
9570 REM ****
9580 REM ****
9590 REM **** KURU DOYMUS SU BUHARININ ANTALPISI ****
9600 REM ****
9610 THB=(T*1.8)+32
9620 HBL=2.326*((.00274*THB-.989805)*P+(.44942*THB+1060.8))
9630 REM ****
9640 REM **** KURU DOYMUS AMONYAK BUHARININ ANTALPISI ****
9650 REM ****
9660 HBA=1443.5+1.0577*T-.00766*T^2-.000011*T^3
9670 RETURN
9680 REM ****
9690 REM iii COZELTI SICAKLIGI ( KONSANTRASYONA GORE ) iii
9700 REM ****
9710 REM ****
9720 REM *** LITYUM BROMUR-SU CIFTI ICIN ***
9730 REM ****
9740 A0=-2.00755:A1=.16976:A2=-3.13336E-03:A3=1.97668E-05
9750 B0=124.937:B1=-7.7165:B2=.152286:B3=-7.9509E-04
9760 TU=TAK
9770 TCL=(A0+A1*X+A2*X^2+A3*X^3)*TU+(B0+B1*X+B2*X^2+B3*X^3)
9780 RETURN
9790 REM ****
9800 REM iii KRISTALIZASYON TEHLIKESİ KONTROLU iii
9810 REM ****
9820 REM ****
9830 REM *** LITYUM BROMUR-SU CIFTI ICIN ***
9840 REM ****
9850 X=XL(5)
9860 GOSUB 8540
9870 IF TL(5)<=TCRL THEN LOCATE 1,1:PRINT"ABSORBER CIKISINDA KRISTALIZASYON
    TEHLIKESİ VAR !"
9880 X=XL(9)
9890 GOSUB 8540
9900 IF TL(9)<=TCRL THEN LOCATE 1,1:PRINT"ESANJOR CIKISINDA KRISTALIZASYON
    TEHLIKESİ VAR !"
9910 RETURN

```

RUN

\*\*\*\*\*  
\*\*\*\*\* ABSORBSİYONLU SOĞUTMA SİSTEMLERİNDE \*\*\*\*\*  
\*\*\*\*\* AMONYAK-SU ÇİFTİ İLE LİTYUM BROMUR-SU ÇİFTİİNİN \*\*\*\*\*  
\*\*\*\*\* KİYASLANMASI \*\*\*\*\*  
\*\*\*\*\*

BİRİMLER

%%%%%%%%%%%%%

F : Basınç ( kPa )

T : Sıcaklık ( °C )

h : Antalpi ( kj / kg )

X : Konsantrasyon ( % )

Q : Isı Kapasitesi ( kj / kg )

DEVAM ETMEK İÇİN SPACE TUŞUNA BASINIZ

%%%%%%%%%%%%%  
LÜTFEN SEÇİMİNİZİ GİRİNİZ  
%%%%%%%%%%%%%

- 1- SONUCLARI TABLO HALİNDE GORMEK İSTİYORSANIZ
- 2- SONUCLARI GRAFIK HALİNDE GORMEK İSTİYORSANIZ
- 3- SİSTEMİ YENİDEN SECMEK İSTİYORSANIZ
- 4- PROGRAMDAN CIKMAK İSTİYORSANIZ

SEÇİMİNİZ ( 1 , 2 , 3 , 4 ) .....:

TY= 40 C TB= 10 C TK= 100 C TA= 40 C  
LİTYUM BROMÜR-SU ERİYİĞİ KULLANAN ABSORBSİYONLU SOĞUTMA SİSTEMİ İÇİN  
tcrl(5)= -28.78867  
tcrl(9)= 55.52774  
ESANJOR ÇIKISINDA KRİSTALİZASYON TEHLİKESİ VAR !

1

TL( 1 )= 100  
PL( 1 )= 7.383865  
HL( 1 )= 2682.012  
XL( 1 )= 1

2

TL( 2 )= 40  
PL( 2 )= 7.383865  
HL( 2 )= 167.5976  
XL( 2 )= 1

3

TL( 3 )= 10  
PL( 3 )= 1.227411  
HL( 3 )= 167.5976  
XL( 3 )= 1

4

TL( 4 )= 10  
PL( 4 )= 1.227411  
HL( 4 )= 2517.254  
XL( 4 )= 1

5

TL( 5 )= 40  
PL( 5 )= 1.227411  
HL( 5 )= 93.70092  
XL( 5 )= 55

6

TL( 6 )= 40  
PL( 6 )= 7.383865  
HL( 6 )= 93.70092  
XL( 6 )= 55

7

TL( 7 )= 80  
PL( 7 )= 7.383865  
HL( 7 )= 176.0777  
XL( 7 )= 55

8

TL( 8 )= 100  
PL( 8 )= 7.383865  
HL( 8 )= 258.4544  
XL( 8 )= 66

9

TL( 9 )= 44  
PL( 9 )= 7.383865  
HL( 9 )= 159.6023  
XL( 9 )= 66

10

TL( 10 )= 44  
PL( 10 )= 1.227411  
HL( 10 )= 159.6023  
XL( 10 )= 66

QYOGL= 2514.414 QBUHL= 2349.656 QABSL= 2753.059 QKAYL= 2917.818

STKL= .8052785 ITKL= 1.805278

DEVAM ETMEK ICİN SPACE TUSUNA BASINIZ

TY= 40 C IB= 10 C IK= 100 C TA= 40 C  
AMONYAK-SU ERİYİĞİ KULLANAN ABSORBSİYONLU SOĞUTMA SİSTEMİ İÇİN

1

TA( 1 ) = 100

PA( 1 ) = 1553.815

HA( 1 ) = 1646.23

XA( 1 ) = 1

2

TA( 2 ) = 40

PA( 2 ) = 1553.815

HA( 2 ) = 367.1

XA( 2 ) = 1

3

TA( 3 ) = 10

PA( 3 ) = 614.9466

HA( 3 ) = 367.1

XA( 3 ) = 1

4

TA( 4 ) = 10

PA( 4 ) = 614.9466

HA( 4 ) = 1453.3

XA( 4 ) = 1

5

TA( 5 ) = 40

PA( 5 ) = 614.9466

HA( 5 ) = 117

XA( 5 ) = 55

6

TA( 6 ) = 40

PA( 6 ) = 1553.815

HA( 6 ) = 117

XA( 6 ) = 55

7

TA( 7 ) = 74

PA( 7 ) = 1553.815

HA( 7 ) = 231.3

XA( 7 ) = 55

8

TA( 8 ) = 100

PA( 8 ) = 1553.815

HA( 8 ) = 371

XA( 8 ) = 40

9

TA( 9 ) = 63

PA( 9 ) = 1553.815

HA( 9 ) = 218.6

XA( 9 ) = 40

10

TA( 10 ) = 63

PA( 10 ) = 614.9466

HA( 10 ) = 218.6

XA( 10 ) = 40

QYOGA= 1279.13 QBUHA= 1086.2 QABSA= 1641.1 QKAYA= 1834.03

STKA= .5922478

ITKA= 1.592248

DEVAM ETMEK İSTİYORMUSUNUZ ( E / H )

TY= 40 C TB= 10 C TK= 100 C TA= 40 C  
 LİTYUM BROMÜR-SU ERIYİĞİ KULLANAN ABSORBSİYONLU SOĞUTMA SİSTEMİ İÇİN  
 tcrl(5)= -28.78867  
 tcrl(9)= 55.52774

ESANJOR CİKISINDA KRİSTALİZASYON TEHLİKESİ VAR !

|    |              |                    |                    |              |
|----|--------------|--------------------|--------------------|--------------|
| 1  | IL( 1 )= 100 | PL( 1 )= 7.383865  | HL( 1 )= 2682.012  | XL( 1 )= 1   |
| 2  | IL( 2 )= 40  | PL( 2 )= 7.383865  | HL( 2 )= 167.5976  | XL( 2 )= 1   |
| 3  | IL( 3 )= 10  | PL( 3 )= 1.227411  | HL( 3 )= 167.5976  | XL( 3 )= 1   |
| 4  | IL( 4 )= 10  | PL( 4 )= 1.227411  | HL( 4 )= 2517.254  | XL( 4 )= 1   |
| 5  | IL( 5 )= 40  | PL( 5 )= 1.227411  | HL( 5 )= 93.70092  | XL( 5 )= 55  |
| 6  | IL( 6 )= 40  | PL( 6 )= 7.383865  | HL( 6 )= 93.70092  | XL( 6 )= 55  |
| 7  | IL( 7 )= 80  | PL( 7 )= 7.383865  | HL( 7 )= 176.0777  | XL( 7 )= 55  |
| 8  | IL( 8 )= 100 | PL( 8 )= 7.383865  | HL( 8 )= 258.4544  | XL( 8 )= 66  |
| 9  | IL( 9 )= 44  | PL( 9 )= 7.383865  | HL( 9 )= 159.6023  | XL( 9 )= 66  |
| 10 | IL( 10 )= 44 | PL( 10 )= 1.227411 | HL( 10 )= 159.6023 | XL( 10 )= 66 |

QYOGI= 2514.414 QBUHL= 2349.656 QABSL= 2753.059 QKAYL= 2917.818

STKL= .8052785 ITKL= 1.805278

DEVAM ETMEK İÇİN SPACE TUSUNA BASINIZ

TY= 40 C TB= 10 C TK= 100 C TA= 40 C  
 AMONYAK-SU ERIYİĞİ KULLANAN ABSORBSİYONLU SOĞUTMA SİSTEMİ İÇİN

|    |              |                    |                  |              |
|----|--------------|--------------------|------------------|--------------|
| 1  | TA( 1 )= 100 | PA( 1 )= 1553.815  | HA( 1 )= 1646.23 | XA( 1 )= 1   |
| 2  | TA( 2 )= 40  | PA( 2 )= 1553.815  | HA( 2 )= 367.1   | XA( 2 )= 1   |
| 3  | TA( 3 )= 10  | PA( 3 )= 614.9466  | HA( 3 )= 367.1   | XA( 3 )= 1   |
| 4  | TA( 4 )= 10  | PA( 4 )= 614.9466  | HA( 4 )= 1453.3  | XA( 4 )= 1   |
| 5  | TA( 5 )= 40  | PA( 5 )= 614.9466  | HA( 5 )= 117     | XA( 5 )= 55  |
| 6  | TA( 6 )= 40  | PA( 6 )= 1553.815  | HA( 6 )= 117     | XA( 6 )= 55  |
| 7  | TA( 7 )= 74  | PA( 7 )= 1553.815  | HA( 7 )= 231.3   | XA( 7 )= 55  |
| 8  | TA( 8 )= 100 | PA( 8 )= 1553.815  | HA( 8 )= 371     | XA( 8 )= 40  |
| 9  | TA( 9 )= 63  | PA( 9 )= 1553.815  | HA( 9 )= 218.6   | XA( 9 )= 40  |
| 10 | TA( 10 )= 63 | PA( 10 )= 614.9466 | HA( 10 )= 218.6  | XA( 10 )= 40 |

QYOGA= 1279.13 QBUHA= 1086.2 QABSA= 1641.1 QKAYA= 1834.03

STKA= .5922478 ITKA= 1.592248

DEVAM ETMEK İSTİYORMUSUNUZ ( E / H )

LUTFEN SECIMINIZI GIRINIZ ( 1. SAYFA )

1- KRISTALLESME SICAKLIGININ KONSANTRASYONA BAGLI DIYAGRAMI

- 2- SOGUTMA TESIR KATSAYISININ KAYNATICI SICAKLIGINA BAGLI DIYAGRAMI
- 3- IDEAL SOGUTMA TESIR KATSAYISININ KAYNATICI SICAKLIGINA BAGLI DIYAGRAMI
- 4- SOGUTMA TESIR KATSAYISININ KONDENSER SICAKLIGINA BAGLI DIYAGRAMI
- 5- IDEAL SOGUTMA TESIR KATSAYISININ KONDENSER SICAKLIGINA BAGLI DIYAGRAMI
- 6- SOGUTMA TESIR KATSAYISININ BUHARLASTIRICI SICAKLIGINA BAGLI DIYAGRAMI
- 7- IDEAL SOGUTMA TESIR KATSAYISININ BUHARLASTIRICI SICAKLIGINA BAGLI DIYAGRAMI
- 8- PROGRAMDAN CIKIS
- 9- IKINCI SAYFAYA GECIS

SECIMINIZ ( 1 , 2 , 3 , 4 , 5 , 6 , 7 , 8 , 9 ) ..... :

LUTFEN SECIMINIZI GIRINIZ ( 2. SAYFA )

1- SOGUTMA TESIR KATSAYISININ ESANJOR ETKENLIGINE BAGLI DIYAGRAMI

- 2- KONDENSER ISIL YUKUNUN KONDENSER SICAKLIGINA BAGLI DIYAGRAMI
- 3- KONDENSER ISIL YUKUNUN BUHARLASTIRICI SICAKLIGINA BAGLI DIYAGRAMI
- 4- KONDENSER ISIL YUKUNUN KAYNATICI SICAKLIGINA BAGLI DIYAGRAMI
- 5- BUHARLASTIRICI ISIL YUKUNUN KONDENSER SICAKLIGINA BAGLI DIYAGRAMI
- 6- BUHARLASTIRICI ISIL YUKUNUN BUHARLASTIRICI SICAKLIGINA BAGLI DIYAGRAMI
- 7- BUHARLASTIRICI ISIL YUKUNUN KAYNATICI SICAKLIGINA BAGLI DIYAGRAMI
- 8- BIRINCI SAYFAYA GERI DONUS
- 9- UCUNCU SAYFAYA GECIS

SECIMINIZ ( 1 , 2 . 3 , 4 , 5 , 6 , 7 , 8 , 9 ) ..... :

LUTFEN SECIMINIZI GIRINIZ ( 3. SAYFA )

1- KAYNATICI ISIL YUKUNUN KONDENSER SICAKLIGINA BAGLI DIYAGRAMI

- 2- KAYNATICI ISIL YUKUNUN BUHARLASTIRICI SICAKLIGINA BAGLI DIYAGRAMI
- 3- KAYNATICI ISIL YUKUNUN KAYNATICI SICAKLIGINA BAGLI DIYAGRAMI
- 4- ABSORBER ISIL YUKUNUN KONDENSER SICAKLIGINA BAGLI DIYAGRAMI
- 5- ABSORBER ISIL YUKUNUN BUHARLASTIRICI SICAKLIGINA BAGLI DIYAGRAMI
- 6- ABSORBER ISIL YUKUNUN KAYNATICI SICAKLIGINA BAGLI DIYAGRAMI
- 7- DOLASIM ORANININ KONDENSER SICAKLIGINA BAGLI DIYAGRAMI
- 8- DOLASIM ORANININ BUHARLASTIRICI SICAKLIGINA BAGLI DIYAGRAMI
- 9- DOLASIM ORANININ KAYNATICI SICAKLIGINA BAGLI DIYAGRAMI

SECIMINIZ ( 1 , 2 , 3 , 4 , 5 , 6 , 7 , 8 , 9 ) ..... :

TY= 40 C TB= 10 C TK= 90 C TA= 40 C  
 LİTYUM BROMÜR-SU ERİYİĞİ KULLANAN ABSORBSİYONLU SOĞUTMA SİSTEMİ İÇİN  
 tcrl(5)= -28.78867  
 tcrl(9)= 31.21719

|                 |                    |                    |              |
|-----------------|--------------------|--------------------|--------------|
| 1 TL( 1 )= 90   | PL( 1 )= 7.383865  | HL( 1 )= 2662.349  | XL( 1 )= 1   |
| 2 TL( 2 )= 40   | PL( 2 )= 7.383865  | HL( 2 )= 167.5976  | XL( 2 )= 1   |
| 3 TL( 3 )= 10   | PL( 3 )= 1.227411  | HL( 3 )= 167.5976  | XL( 3 )= 1   |
| 4 TL( 4 )= 10   | PL( 4 )= 1.227411  | HL( 4 )= 2517.254  | XL( 4 )= 1   |
| 5 TL( 5 )= 40   | PL( 5 )= 1.227411  | HL( 5 )= 93.70092  | XL( 5 )= 55  |
| 6 TL( 6 )= 40   | PL( 6 )= 7.383865  | HL( 6 )= 93.70092  | XL( 6 )= 55  |
| 7 TL( 7 )= 73   | PL( 7 )= 7.383865  | HL( 7 )= 161.3389  | XL( 7 )= 55  |
| 8 TL( 8 )= 90   | PL( 8 )= 7.383865  | HL( 8 )= 220.7783  | XL( 8 )= 62  |
| 9 TL( 9 )= 49   | PL( 9 )= 7.383865  | HL( 9 )= 144.5319  | XL( 9 )= 62  |
| 10 TL( 10 )= 49 | PL( 10 )= 1.227411 | HL( 10 )= 144.5319 | XL( 10 )= 62 |

QYOGI= 2494.751 QBUHL= 2349.656 QABSL= 2822.939 QKAYL= 2968.034

STKL= .791654 ITKL= 1.791654

DEVAM ETMEK İÇİN SPACE TUSUNA BASINIZ

TY= 40 C TB= 10 C TK= 90 C TA= 40 C  
 AMONYAK-SU ERİYİĞİ KULLANAN ABSORBSİYONLU SOĞUTMA SİSTEMİ İÇİN

|                 |                    |                   |              |
|-----------------|--------------------|-------------------|--------------|
| 1 TA( 1 )= 90   | PA( 1 )= 1553.815  | HA( 1 )= 1646.23  | XA( 1 )= 1   |
| 2 TA( 2 )= 40   | PA( 2 )= 1553.815  | HA( 2 )= 367.1    | XA( 2 )= 1   |
| 3 TA( 3 )= 10   | PA( 3 )= 614.9466  | HA( 3 )= 367.1    | XA( 3 )= 1   |
| 4 TA( 4 )= 10   | PA( 4 )= 614.9466  | HA( 4 )= 1453.3   | XA( 4 )= 1   |
| 5 TA( 5 )= 40   | PA( 5 )= 614.9466  | HA( 5 )= 117      | XA( 5 )= 55  |
| 6 TA( 6 )= 40   | PA( 6 )= 1553.815  | HA( 6 )= 117      | XA( 6 )= 55  |
| 7 TA( 7 )= 74   | PA( 7 )= 1553.815  | HA( 7 )= 226.4727 | XA( 7 )= 55  |
| 8 TA( 8 )= 90   | PA( 8 )= 1553.815  | HA( 8 )= 340      | XA( 8 )= 45  |
| 9 TA( 9 )= 54   | PA( 9 )= 1553.815  | HA( 9 )= 206.2    | XA( 9 )= 45  |
| 10 TA( 10 )= 54 | PA( 10 )= 614.9466 | HA( 10 )= 206.2   | XA( 10 )= 45 |

QYOGA= 1279.13 QBUHA= 1086.2 QABSA= 1737.7 QKAYA= 1930.63

STKA= .5626143 ITKA= 1.562614

DEVAM ETMEK İSTİYORMUSUNUZ ( E / H )

Bugünkü duruma gelebilmemde en büyük katkısı olan, gerek Üniversite hayatımda ve gerekse Üniversite sonrasında öğretim görevlisi olarak kalmamda bana yol gösteren, Bayındırılık ve İskan Müdürlüğü'nde İnşaat Yüksek Teknikeri olarak görevde iken, tez çalışmam esnasında vefat eden değerli babam MUSTAFA HORUZ'a tanrıdan rahmet dilerim. 31.08.1990.

İLHAMİ HORUZ

W. G.  
Yükseköğretim Kuruluş  
Dokümantasyon Merkezi